

ISSN 0366-5119

ՀԱՅԱՍՏԱՆԻ
ԿԵՆՍաԲԱնՆԱԿԱՆ ՀԱՆԴԻ

БИОЛОГИЧЕСКИЙ ЖУРНАЛ
АРМЕНИИ

BIOLOGICAL JOURNAL
of ARMENIA

Выходит с 1948 года на армянском, русском и английском языках

«Հայասպանի կենսաբանական հանդեսը» իրավարակվում է «Հայասպանի Գիրությունների Ազգային Ակադեմիայի կողմից և փառագրում է հոդվածներ բուսաբանության, կենդանաբանության, ֆիզիոլոգիայի, կենսաքիմիայի, կենսաֆիզիկայի, կենսապիտույքայի, միկրոբուլոգիայի, գենետիկայի և ընդհանուր ու կիրառական կենսաբանության այլ բնագավառների վերաբերյալ:

“Биологический журнал Армении” издается Национальной Академией Наук Армении и публикует оригинальные статьи по ботанике, зоологии, физиологии, биохимии, биофизике, микробиологии, биотехнологии, генетике и другим отраслям общей и прикладной биологии.

“Biological Journal of Armenia” is functioning under the auspice of the National Academy of Sciences of Armenia and publishes original papers in botany, zoology, physiology, biochemistry, biophysics, microbiology, biotechnology, genetics and other fields of general and applied biology.

Editor - in chief - E.G. Afrikian

Executive Secretary - N.H. Apinyan

Խմբագրական կոլեգիա՝ Է.Գ.Աֆրիկյան (գլխավոր խմբագիր), Շ.Մ Ավագյան,
Մ.Ա.Դավթյան, Ժ.Ի.Նակորյան (գլխավոր խմբագրի փեղակալ), Ռ.Մ.Նարությունյան,
Կ.Գ.Ղարավողյան, Ս.Ի.Մայրապետյան, Ս.Վ.Մովսիսյան, Ն.Վ. Վայնյան (պարասիանագոր
քարտուղար)

Խմբագրական խորհուրդ՝ Է.Գ. Աֆրիկյան (նախագահ), Ա.Ս.Աղաբայան,
Ցու.Թ.Ալեքսանյան, Է.Յ.Գարիբելյան, Ա.Ա.Գալոյան, Ա.Լ.Թախիտաջյան, Բ.Տ.Ղարիբջանյան,
Կ.Ս.Պողոսյան, Գ.Ա.Փանոսյան, Լ.Լ.Օսիպյան

Редакционная коллегия: Э.К.Африкян (главный редактор), Շ.Մ.Авакян,
Ժ.И.Акопян (заместитель главного редактора), Ր.Մ.Արունյան, Մ.Ա.Դավտյան,
Կ.Г.Карагезян, Ը.Խ.Майрапетян, Ը.Օ.Մօվսեսյան, Հ.Ա. Ապինյան (ответственный
секретарь)

Редакционный совет: Э.К.Африкян (председатель), Ա.Ս.Աղաբայան,
Յ.Տ.Ալեքսանյան, Է.Շ.Գաբրիելյան, Ա.Ա.Գալոյան, Բ.Տ.Գարիբջանյան, Լ.Լ.Օսипյան,
Գ.Ա.Պանօսյան, Կ.Ս.Պօգօսյան, Ա.Լ.Տախաճյան

Օրիգինալ հոդվածներ • Оригинальные статьи • Original articles

Биолог. журн. Армении, 3-4 (57), 2005

УДК 576.8.097.29:547.953

ПРОТЕКТОРНОЕ ДЕЙСТВИЕ АНТИОКСИДАНТНЫХ ФАКТОРОВ НА КАЧЕСТВЕННО-КОЛИЧЕСТВЕННЫЙ СОСТАВ ФОСФОЛИПИДОВ В ПЕЧЕНИ БЕЛЫХ КРЫС ПРИ ЦИРРОЗЕ

К.Г. КАРАГЕЗЯН^{**}, А.С. МАРГАРЯН^{*}, Л.М. ОВСЕПЯН^{**}, А.А. СИМОНЯН^{*},
Л.А. СИМОНЯН^{*}, И.Г. БАТИКЯН^{*}, Р.Б. БАДАЛИЯН^{*}

^{*}Институт биохимии имени Г. Х. Бунягяна НАН РА, 375014, Ереван

^{**}Институт молекулярной биологии НАН РА, 375014, Ереван

Исследовали сдвиги количественного и качественного состава кислых и нейтральных фосфолипидов (ФЛ) при CCl_4 -индуцированном циррозе в печеночной ткани белых крыс, а также протекторное действие -токоферола и тиосульфата натрия в этих изменениях.² На фоне этой патологии установлены существенные количественные отклонения состава ФЛ. Заметно понижено содержание фосфатидилхолинов (-31%) и фосфатидилэтаноламинов (-49%), а уровень лизофосфатидилхолинов, наоборот, повышен (+127%). Показана эффективность применения антиоксидантных факторов (-токоферола и тиосульфата натрия) для нормализации выявленных изменений в содержании отдельных фракций ФЛ в печеночной ткани больных животных.

Հետազոտվել են թթու և չեզոք ֆոսֆոլիպիդների քանակական և որակական կազմի փոփոխությունները CCl_4 -մակածված փորձարարական ցիոռզի դեպքում սպիտակ աղոնետների լարդում, ինչպես նաև -տոկոֆերոլի և նատրիումի թիոսուլֆատի կարգավորիչ դեր այդ տեղաշարժերի մեջ: Ստացված տվյալները վկայում են, որ փորձարարական ցիոռզի դեպքում նշանակալիորեն ճնշվում է ֆոսֆատիդիլ խոլինի (-31%) և ֆոսֆատիդիլ երանոլամինի (-49%) առաջացումը, իսկ լիզօֆոսֆատիդիլ խոլինի սինթեզը, ընդհակառակը, զգալիորեն աճում է (+127%): Ցույց է տրվել հակաօքսիդանտային գործոնների՝ -տոկոֆերոլի և նատրիումի թիոսուլֆատի արդյունավետությունը առանձին ֆոսֆոլիպիդային ֆրակցիաների փոխանակության նշանական փոփոխությունների կարգավորման մեջ ցիոռզի հիվանդ կենդանիների լարդի հյուսվածքում:

Changes of qualitative and quantitative composition of white rats hepatic tissue acid and neutral phospholipids (PhL) at CCl_4 -induced liver cirrhosis and protective action of -tocopherol and sodium thiosulfate at this pathology have been investigated. The amount of lysophosphatidylcholine (+127%) considerably increases accompanied by the decrease of phosphatidylcholine (-31%) and phosphatidylethanolamine (-49%) contents. The use of antioxidant factors (-tocopherol and sodium thiosulfate) developed a protective effect which leads to the normalization of the investigated PhL in the animals.

Цирроз печени - антиоксидантные факторы - нейтральные фосфолипиды - кислые фосфолипиды

Филогенетически стабилизированный в норме статус качественного и

количественного содержания фосфолипидов (ФЛ) биологических мембран лежит в основе формирования структурно-функциональных и метаболических особенностей клетки [6]. Согласно имеющейся информации, моделирование цирроза печени индуцированным CCl_4 сопровождается чувствительными нарушениями фосфолипид-фосфолипидных (ФЛ-ФЛ) соотношений в разных тканях (головной мозг, кровь) экспериментальных белых крыс. Также выявлено, что при циррозе печени наблюдается изменение активности окислительно-восстановительных ферментов аэробного метаболизма в крови и печени. Повышение уровня липидной пероксидации в печени при циррозе дает основание использовать антиоксидантные системы, ингибиторы этого процесса, в частности -токоферол, как эффективные антистрессорные факторы [11, 16].

Суждения о метаболических нарушениях клеточных мембран в условиях изученной патологии фокусируются в основном на главном компоненте этих образований – ФЛ [6]. Поэтому едва ли можно оспаривать важное функциональное значение ФЛ в обеспечении нормального ритма метаболических превращений, ответственных за обеспечение клеточной активности в целом, ее структурных, обменных, физико-химических и функциональных особенностей.

В связи с полученными данными сформировалась идея о проведении серии исследований в печеночной ткани экспериментальных белых крыс для изучения особенностей качественно-количественных нарушений ФЛ, ФЛ-ФЛ соотношений, а также сдвигов величины отношения суммы нейтральных ФЛ (СНФЛ) – лизофосфатидилхолинов (ЛФХ), сфингомиелинов (СФМ), фосфатидилхолинов (ФХ) и фосфатидилэтаноламинов (ФЭ) – к сумме кислых ФЛ (СКФЛ) – монофосфоинозитидов (МФИ), фосфатидилсеринов (ФС) и кардиолипинов (КЛ) при CCl_4 - индуцированном циррозе, вызванном как у контрольных животных, так и после введения им тиосульфата натрия (ТСН) и -токоферола (ТФ). Такая постановка вопроса имела принципиально важное значение, поскольку ТСН в настоящее время отводится роль мощного синергиста гидрокси формы ТФ как единственному в проявлении антиоксидантных свойств в сложной эндогенной системе антирадикальной защиты клетки. Этот факт был зарегистрирован при многочисленных болезненных состояниях организма [4, 5, 8].

Материалы и методика. Эксперимент проводили на беспородных белых крысах – самцах, массой 180–200 г, разделенных на 6 опытных групп. Животных содержали на стандартном рационе вивария со свободным доступом к воде. В каждой из подопытных групп находилось по 6 особей. Экспериментальный цирроз печени воспроизводили по ранее описанной методике [7]. Животным опытных групп 2, 4 и 6 2 раза в неделю на протяжении 20 дней внутрибрюшинно вводили 0,3 мл 100%-ного раствора CCl_4 . Опытные группы 3 и 4 аналогичным образом получали 0,4 мг ТФ, а группы 5 и 6 – 1 мл ТСН на массу животного. Контрольные животные получали 1 мл физиологического раствора.

Экстракцию ФЛ производили методом Фолча [12] из ацетоновых порошков печеночной ткани в модификации Карагезяна [3]. Полученные экстракти выпаривали под током холодного воздуха, газообразного азота или в роторном испарителе, и образовавшийся сухой остаток растворяли в небольшом объеме хлороформ-метаноловой смеси. Фракционирование индивидуальных ФЛ проводили методом одномерной

восходящей хроматографии с использованием системы растворителей хлороформ-метанол-аммиак (65:35:5). Экстракты ацетоновых порошков наносили на пластинки из силикагеля ("Мерк", Германия). Пятна, соответствующие индивидуальным фракциям ФЛ, проявлялись в камерах, насыщенных парами йода, в виде соответствующих образований желтого цвета, идентифицированных с помощью стандартов ("Sigma", США). После элюирования подкисленным метанолом элюаты выпаривали досуха и сжигали в среде серной и азотной кислот для минерализации органического фосфора. Количество неорганического фосфора определяли по цветной реакции молибденокислого аммония с витамином С [2]. Количество ФЛ рассчитывали в мкг минерализованного липидного фосфора на г сухого остатка исследуемого материала или на мг белка, определенного по Лоури [13], и выражали в процентах от суммы всех ФЛ (СФЛ). Полученные результаты обрабатывали статистически по t-критерию Стьюдента [1].

Результаты и обсуждение. Как видно из данных, приведенных в табл.1, при CCl_4 -индуцированном циррозе печени значительно изменен качественный и количественный состав нейтральных и кислых представителей ФЛ в печеночной ткани экспериментальных животных.

Цирроз печени сопровождается разнонаправленными отклонениями

Таблица 1. Динамика количественных изменений индивидуальных представителей фосфолипидов в печени белых крыс при CCl_4 -индуцированном циррозе, % от их общей суммы

Показатели	Контроль	Цирроз печени CCl_4	Разница с контролем, %
Монофосфоинозитиды	10.83 ± 0.02	14.48 ± 0.01*	+34
Лизофосфатидилхолины	6.82 ± 0.02	15.50 ± 0.01*	+127
Сфингомиелины	9.56 ± 0.02	18.25 ± 0.01*	+91
Фосфатидилхолины	36,60 ± 0.02	25.30 ± 0.01*	-31
Фосфатидилсерины	6.58 ± 0.02	6.31 ± 0.01*	-4
Фосфатидилэтаноламины	22.63 ± 0.02	11.63 ± 0.01*	-49
Кардиолипины	7.00 ± 0.02	8.83 ± 0.01*	+26
СНФЛ	75.60 ± 0.02	70.53 ± 0.02*	-7
СКФЛ	24.40 ± 0.02	29.47 ± 0.01*	+21
СНФЛ/СКФЛ	3.098	2.39	-23

Примечания: n = 6; * достоверность по отношению к контролю - p<0,001.

уровня отдельных фракций КФЛ – МФИ (+34%), ФС (-4%) и КЛ (+26%). Особый интерес представляют количественные сдвиги КЛ, что имеет непосредственное отношение к процессам окисления в клетке. Наблюдающееся увеличение количества МФИ, наряду с возрастанием содержания КЛ, следует, по-видимому, расценивать как своеобразное проявление компенсаторно-приспособительной реакции организма, направленное на поддержание дыхательного потенциала клеточного аппарата, аккумуляцию и трансформацию энергии в биомембрanaх [9].

Патологические изменения выявлены и в НФЛ. На фоне чувствительной убыли содержания ФХ (-31%) обнаруживается адекватное возрастание количества ЛФХ (+127%), объясняемое нами как проявление повышенной активности фосфолипазы A₂, катализирующей реакции деацилирования ФЛ-глицеридов и в первую очередь ФХ. Наблюдающееся

при этом уменьшение уровня фосфатидилэтаноламинов (-49%) интерпретируется как результат активирующихся при патологических состояниях процессов деметилирования, сопровождающихся чрезмерным возрастанием количества ФХ, интенсивно деацетилирующихся под действием фосфолипазы А₂. Таким образом, содержание ФХ не только не возрастает, а наоборот, заметно убывает по сравнению с исходными величинами.

Заметно уменьшается СНФЛ при параллельно наблюдающемся возрастании процентного содержания СКФЛ в общей СФЛ, что находит отражение на величине СНФЛ/СКФЛ, резко уменьшающейся при данной патологии.

Последующее развитие исследований протекало в направлении изучения эффектов ТФ и ТСН на метаболизм ФЛ печеночной ткани интактных белых крыс. Как видно из данных табл. 2, ТФ и ТСН отдельно не вызывают существенных отклонений в метаболизме ФЛ, но эти незначительные отклонения в СНФЛ и СКФЛ влияют на величину СНФЛ/СКФЛ.

**Таблица 2. Динамика количественных изменений индивидуальных представителей фосфолипидов в печени белых крыс под действием ТФ и ТСН,
% от их общей суммы**

Показатели	Контроль	ТФ	ТСН
Монофосфоглицериды	10.83 ± 0.02	9.87 ± 0.03*	10.30 ± 0.02*
Лизофосфатидилхолины	6.82 ± 0.02	7.00 ± 0.01*	7.65 ± 0.03*
Сфингомиелины	9.56 ± 0.02	10.25 ± 0.03*	10.00 ± 0.02*
Фосфатидилхолины	36,60 ± 0.02	37.50 ± 0.03*	35.80 ± 0.01*
Фосфатидилсерины	6.58 ± 0.02	7.20 ± 0.02*	7.63 ± 0.01*
Фосфатидилэтаноламины	22.63 ± 0.02	21.50 ± 0.01*	20.85 ± 0.03*
Кардиолипины	7.00 ± 0.02	6.68 ± 0.01*	7.77 ± 0.03*
СНФЛ	75.60 ± 0.02	76.25 ± 0.01*	74.30 ± 0.02*
СКФЛ	24.40 ± 0.02	23.75 ± 0.03*	25.70 ± 0.01*
СНФЛ/СКФЛ	3.098	3.21	2.89

Примечания: n = 6; * достоверность по отношению к контролю - p<0,001.

Дальнейшие исследования проводили для выявления истинной роли примененных нами ТФ и ТСН как факторов антиоксидантного действия при CCl₄-индуцированном циррозе. Результаты этих исследований, отраженные в табл. 3, свидетельствуют об исключительно важном мобилизирующем влиянии ТФ и его синергиста ТСН на соответствующие системы эндогенной антирадикальной защиты клетки. Они предотвращают и нивелируют метаболические расстройства ФЛ, вызванные индуцированием CCl₄. Эти результаты хорошо коррелируют с литературными данными [14, 15, 17].

Описанные сдвиги, приведенные в табл. 1, 2 и 3, подтверждают необходимость максимального поддержания высокого уровня мобилизованности эндогенной системы антирадикальной защиты клетки. Обобщение полученных результатов служит основанием для расширения фундаментальных исследований и поиска наиболее эффективных средств химической и физической природы, способных к поддержанию существующего в норме, но весьма лабильного

Таблица 3. Количественные изменения индивидуальных представителей фосфолипидов в печени крыс при введении ТФ и ТСН на фоне цирроза, % от общей суммы

Показатели	Цирроз печени CCl_4	ТФ + CCl_4	ТСН + CCl_4
Монофосфоинозитиды	14.48 ± 0.01*	11.87 ± 0.03**	12.28 ± 0.02**
Лизофосфатидилхолины	15.50 ± 0.01*	8.60 ± 0.02**	9.34 ± 0.03**
Сфингомиелины	18.25 ± 0.01*	11.60 ± 0.03**	12.63 ± 0.03**
Фосфатидилхолины	25.30 ± 0.01*	36.70 ± 0.03**	32.78 ± 0.01**
Фосфатидилсерины	6.31 ± 0.01*	7.00 ± 0.01**	8.82 ± 0.03**
Фосфатидилэтаноламины	11.63 ± 0.01*	17.60 ± 0.02**	16.25 ± 0.03**
Кардиолипины	8.83 ± 0.01*	6.63 ± 0.02**	7.95 ± 0.02**
СНФЛ	70.53 ± 0.02*	64.50 ± 0.03**	71.00 ± 0.03**
СКФЛ	29.47 ± 0.01*	25.50 ± 0.03**	29.00 ± 0.01**
СНФЛ/СКФЛ	2.39	2.53	2.44

Примечания: n = 6; * достоверность по отношению к контролю - p<0,001; ** достоверность по отношению к результатам соответствующей группы (CCl_4) - p_t<0,001

динамического равновесия между системами про- и антиоксидантного действия, а также способствующие коррекции патологических сдвигов количественного и качественного состава ФЛ.

ЛИТЕРАТУРА

- Бессмертный Б.С. Математическая статистика в клинической, профилактической и экспериментальной медицине., М., 1967.
- Зубер В. Л. Методы биохимических исследований., Л., 74-87, 1982.
- Карагезян К.Г. Роль фосфолипидов в жизнедеятельности организма., Ереван, 267, 1972.
- Карагезян М.К., Овакимян С.С., Овсепян Л.М., Бояджян А.С., Осипян Л.Л., Карагезян К.Г. Докл. РАН, 341, 3, 408-411, 1995.
- Карагезян К. Г. Лаб. дело. 1, 3-6, 1969.
- Крепс Е.М. Липиды клеточных мембран., Л., Наука, 1981.
- Маргарян А. С., Симонян А. А., Симонян М. А., Аветисян А. А. Докл. НАН РА, 104, 2, 130-135, 2004.
- Менджерицкий А. М., Лысенко А. В., Демьяненко С. В. и др. Нейрохимия, 20, 4, 281-286, 2003.
- Скулачев В.П. Трансформация энергии в биомембранах., М., 1972.
- Angelico M., alvaro D., Catafora A. et al. Gastroenterology, 101, 1, 228-237, 1991.
- Fields M., Lewis C. G. Ann. Clin. Biochem., 13, 656-663, 1997.
- Folch J., Lees M., Sloane-Stanley G. J. Biol. Chem., 226, 497-509, 1957.
- Lowry O.H., Rosebrough N.J., Farr A.L et al. J. Biol. Chem., 193, 1, 265-275, 1951.
- Muriel P., Mourelle M. J. Hepatol., 14, 1, 16-21, 1992.
- Nava-Ocampo A. A., Suster S., Muriel P. Eur. J. Clin. Invest., 27, 1, 77-84, 1997.
- Noguchi N., Gotoh N., Niki E. Biofactors., 7, 41-50, 1998.
- Rahman M. M., Suzuki M., Unno M. et al. Surg. Today., 29, 10, 1047-1052, 1999.

Поступила 18.V.2005

Биолог. журн. Армении, 3-4 (57), 2005

УДК 616.61:612.1:599.322.615.379

ИЗМЕНЕНИЕ АНТИ- И ПРООКСИДАНТНОГО СТАТУСА КРОВИ ПРИ ХРОНИЧЕСКОМ ГЛОМЕРУЛОНЕФРИТЕ, ОСЛОЖНЕННОМ САХАРНЫМ ДИАБЕТОМ

А.С. АЛЕКСАНЯН^{*}, Г.М. СИМОНЯН^{*}, Р.М. СИМОНЯН^{*}, А.Á. СТЕПАНИЯН^{**},
С.С. АЛЕКСАНЯН^{*}, М.А. СИМОНЯН^{*}

^{*}Институт биохимии НАН РА, 375014, Ереван

^{**}Гюмрийская областная клиническая больница, 377510

При хроническом гломерулонефrite, осложненном сахарным диабетом, у пациентов наблюдаются неадекватные изменения уровней и активности металлопротеинов крови – регуляторов метаболизма активных форм кислорода. При этом прооксидантный статус сыворотки крови и эритроцитов выше антиоксидантного статуса, что создает определенный фон оксидативного повреждения компонентов крови.

Ծարքախոտվ քաղդացված գլոմերուլոնեֆրիտով հիվանդների արյան մեջ դիտվում է թթվածին ակտիվ միացությունների նյութափոխանակությունը կարգավորող մետաղապոտեինների մակարդակների և ակտիվության անհամագոր փոփոխություններ: Ընդ որում առկա է արյան շիճուկի և էրիթրոցիտների պրոօքսիդանտային բարձր կարգավիճակ, հակաօքսիդանտային կարգավիճակի համեմատ, առաջացնելով արյան բաղադրամասերի օքսիդատիվ վնասման համապատասխան մակարդակ:

At chronic glomerulonephritis, complicated with diabetes, in the blood of patients non-identical changes of the levels and activity of metalloproteins, the regulators of metabolism of reactive oxygen species take place. At the same time, the prooxidant status of the blood serum and erythrocytes is higher than the antioxidant one. These effects cause an oxidative damage of blood components on a corresponding background.

· Гломерулонефрит - сахарный диабет - кровь- оксидативное повреждение

При хроническом гломерулонефrite, осложненном инсулин- зависимым диабетом (ХГОС), наблюдается секреция в моче альбумина и церулоплазмина (ЦП), что в основном связывается с нарушением селективности мембран клеток почечных клубочков [15]. В последних уровнях лизосомального железа повышается и усиливается явление оксидативного повреждения этих клеток [11]. Одновременно происходит снижение экспрессии мРНК для Cu, Zn-СОД и глутатионпероксидазы [13]. При диабетической нефропатии происходит накопление амилоидного вещества – глюкозированных продуктов в почечной ткани, вызывая повреждение последних [14]. При «чистой» гипергликемии наблюдаются некоторые характерные отклонения от нормы уровней металлопротеинов антиоксидантной активности (МАА) и металлопротеинов прооксидантной активности (МПА), а также антиоксидантного статуса (АС) и прооксидантного

статуса (ПС) в сыворотке крови и эритроцитов [4]. Однако при ХГОС такие исследования отсутствуют.

Целью работы являлось определение молекулярно-биохимических механизмов оксидативного повреждения компонентов крови пациентов ХГОС.

Материал и методика. МАА и МПА, а также эритроцитарные мембранны (ЭМ) получали из крови (по 20 мл) у больных ХГОС (11 больных обоих полов, в возрасте 28-55 лет с давностью заболевания 2-3 г). В качестве контроля были использованы показатели донорской крови – 8 человек обоих полов, в возрасте 34-56 лет. МАА (Cu, Zn-СОД и каталаза из растворимой фракции эритроцитов, ЦП и трансферрин - ТФ из сыворотки крови) и МПА (цит b5 из растворимой фракции эритроцитов, изоформы цитохрома b558 ЭМ – цит b558III и цит b558IV, а также O_2^- -продуцирующий липопротеин сыворотки – супрол) выделяли и очищали биотехнологическим способом путем ионообменной хроматографии белковых фракций сыворотки, растворимой части эритроцитов и ЭМ на целлюлозах DE-52 и KM-52 ("Whatman", Англия), сефадекс Г-50 ("Pharmacia", Швеция) и гель-фильтрации на сефадексах G -100 и G -150 (Pharmacia) [6]. Цит b558III и цит b558IV выделяли и очищали без использования детергента, заметно снижающего стабильность указанных гемопротеинов [8]. Количество металлопротеинов (МП) определяли путем измерения характерной для данного белка плотности максимального оптического поглощения: для цит b5 при 525 нм, для изоформ цит b558 при 530, супрола 430, ЦП-610 и ТФ-470 нм. Активность супероксиддисмутазы и O_2^- -продуцирующую активность цит b558III и супрола определяли нитротетразолиевым синим (HTC) методом [13], путем измерения процента ингибирования (для СОД) или увеличения (для супрола и цит b558III) образования формазана в результате восстановления HTC супероксидными радикалами (O_2^-). За единицу СОД-активности принимали количество фермента, снижающее продуцирование формазана (при 560 нм) на 50%. Удельную СОД-активность определяли в расчете на 1 мл эритроцитов. За единицу НАДРН-зависимой O_2^- -продуцирующей активности цит b558III и супрола принимали количество белков, повышающее образование формазана на 50%. Удельная O_2^- -продуцирующая активность для цит b558III была рассчитана на 1 мл эритроцитов, а супрола – на 1 мл сыворотки. Для определения O_2^- -продуцирующей активности цит b558III в гетерогенной фазе (в ЭМ) к реакционной смеси добавляли 0,5 мл ЭМ, смешанные с 0,04 М калий фосфатным буфером, pH 7,4 (КФБ). Меттемоглобин (метHb)-восстанавливаящую активность цит b558III [9] определяли путем измерения процента снижения плотности поглощения альфа-полосы (при 565 нм) метHb (ферриHb- Fe^{3+}) в течение 4-8 ч при 30°. Такое снижение плотности поглощения альфа-полосы прямо пропорционально увеличению уровня образовавшегося ферро Hb (Fe^{2+} - Hb) при 555 нм. За единицу метHb-восстанавливаящей активности цит b558III принимали количество гемопротеина, уменьшающее интенсивность плотности альфа-полосы (плотность заштрихованной части этого поглощения, как показано на рис.4) до 0,05 в течение 30 мин при 30°. Удельная метHb-восстанавливаящая активность цит b558III была определена в расчете на 1 мл эритроцитов. При определении метHb-восстанавливющей активности цит b558III в гомогенной фазе величина плотности поглощения изолированного цит b558III (A530) в реакционной смеси (3 мл) составляла 0,02. Расчетный уровень добавленного к реакционной смеси цит b558III в гетерогенной фазе (в 0,5 мл ЭМ) ниже приблизительно в 10 раз, по сравнению с содержанием цит b558III в гомогенной фазе. Процедура определения метHb-восстанавливющей активности такова. Непосредственно в кварцевых кюветах спектрофотометра к 2,5 мл свежеполученного метHb из эритроцитов донорской крови добавляли 0,5 мл изолированного цит b558III (гомогенная фаза) или 0,5 мл ЭМ, смешанные с 0,04 М КФБ (гетерогенная фаза). После быстрого смешивания реакционной смеси, ее оставляли в покое и осторожно (без перемешивания) регистрировали снижение плотности альфа-поглощения метHb при указанных выше условиях. Оптические спектральные измерения осуществляли на спектрофотометре «Specord UV-VIS» (Германия), с длиной оптического пути – 1 см. Статистическую обработку полученных результатов осуществляли общезвестным методом вариационной статистики Стьюдента-Фишера, с определением критерия достоверности «р».

Результаты и обсуждение. По сравнению с 100%-ными показателями донорской крови при ХГОС происходит существенное повышение

эндогенного уровня цит 5, видимо, для компенсирования потери уровня изоформ цит b558 ЭМ (табл. I).

Таблица I. Относительные изменения (%) эндогенных уровней МАА и МПА крови и их активности при ХГОС по сравнению с 100%-ными показателями донорской крови ($p < 0,05$, $n = 10$)

МП и их активность	ХГОС
Цит b5	+137,8 ± 5,2
Цит b558Ш	-34,2 ± 3,4
Цит b558	-8,3 ± 1,1
O_2^- - продуц. актив. супрола	+205,4 ± 15,1
O_2^- - продуц. актив. цит b558III в гомогенной фазе	-22,3 ± 1,6
O_2^- - продуц. актив. цит b558III в гетерогенной фазе	+72,7 ± 4,4
ЦП	+12,5 ± 1,1
ТФ	-33,4 ± 1,9
Cu, Zn-СОД	+45,0 ± 2,6
Катализ	-52,3 ± 3,0

При этом НАДРН-зависимая O_2^- -продуцирующая активность цит b558Ш снижается в гомогенной фазе, но значительно повышается в гетерогенной фазе (непосредственно в ЭМ). Уровень другого МП с прооксидантной активностью – супрола повышается при ХГОС, с резким увеличением его O_2^- -продуцирующей активности. Одновременно происходит небольшое повышение уровня ЦП и существенное увеличение Cu, Zn-СОД активности. На фоне этих изменений происходит снижение уровня ТФ и особенно каталазы (табл. I). Расчетный суммарный уровень МАА (антиоксидантный статус – АС) в сыворотке крови пациентов снижается на $20,9 \pm 2,4\%$ ($p < 0,05$, $n=10$), а расчетный суммарный уровень МПА (прооксидантный статус – ПС) резко повышается ($293,6 \pm 21,2\%$, $p < 0,03$, $n=10$). Иная картина в эритроцитах при ХГОС. АС эритроцитов претерпевает

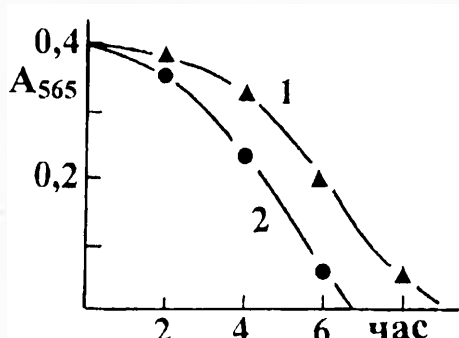


Рис.1. Кинетические кривые снижения поглощения альфа-полосы метHb (гомогенная фаза) под действием изолированного цит b558III из ЭМ донорской крови (1) и из ЭМ пациентов ХГОС (2), при 30° в аэробных условиях *in vitro*. ЭМ после удаления цит b558 не оказывают аналогичного эффекта.

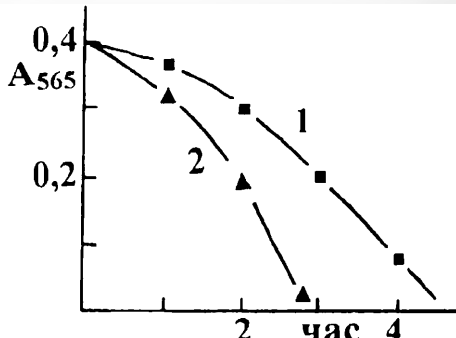


Рис.2. Кинетические кривые снижения альфа-полосы метHb под действием ЭМ (гетерогенная фаза) донорской крови (1) и ЭМ пациентов ХГОС (2), при 30° в аэробных условиях *in vitro*. ЭМ после удаления цит b558 не оказывают аналогичного эффекта.

небольшое снижение ($-7,3 \pm 0,5\%$, $p < 0,01$, $n=8$), а ПС значительно увеличивается ($95,3 \pm 7,1$, $p < 0,05$, $n=10$). В гомогенной фазе, наряду со снижением уровня и O_2^- -продуцирующей активности цит b558III, происходит повышение его метHb-восстанавливающей активности (рис. 1). В гетерогенной фазе наблюдается повышение O_2^- -продуцирующей и метHb-восстанавливающей активности цит b558III (табл. 1, рис. 2, 3). В ходе восстановления метHb (ферриHb) цитохромом b558III в гомогенной и гетерогенной фазах, форма спектра метHb постепенно приближается к форме спектра ферроHb, с соответственным снижением плотности альфа-полосы (заштрихованная часть спектра) при 565 нм. Постепенно появляется единственный максимум поглощения, характерный для ферроHb (Fe^{+2} - Hb) при 555 нм (рис.4). Интересно, что и при цит b558III донорской крови и при цит b558, взятых из ЭМ больных ХГОС, в результате небольшого перемешивания реакционной смеси происходит обратимое окисление ферроHb, с превращением его в ферриHb (Fe^{+3} - Hb), с характерным оптическим спектром поглощения. При дальнейшем инкубировании этой реакционной смеси в покое снова происходит образование ферроHb с характерным оптическим спектром поглощения. Однако скорость повторного восстановления МетHb цитохромом b558III (после повторного перемешивания) выше. Это свидетельствует об образовании в инкубационном периоде этого процесса неопределенного пока соединения. Скорее всего, это соединение кислорода, образовавшегося при повторном перемешивании (аэрации) реакционной смеси. Не исключается и роль NO^- в лигандном окружении цит b558III [11], как переносчика электрона от группы ФАД в составе этого гемопротеина к Fe^{+3} метHb (мет Hb образует нестабильное комплексное соединение с цитохромом b558Ш) [5]. Эти предположения требуют более детального обоснования в дальнейшем.

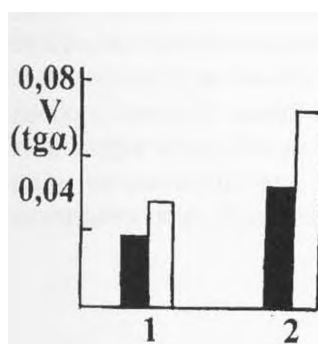


Рис.3. Скорость снижения (lg угла наклона) интенсивности альфа-полосы метHb под действием изолированного цит b558Ш из ЭМ пациентов ХГОС (1) и доноров (2) в гомогенной (n) и гетерогенной (o) фазах.

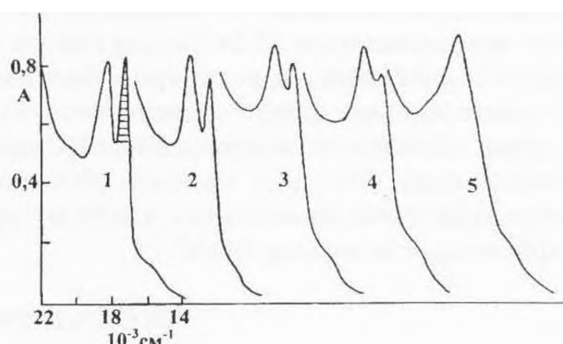


Рис. 4. Оптические спектры поглощения метHb донорской крови (1) под действием цит 558Ш ($A_{530} = 0,02$) из ЭМ пациентов ХГОС в гомогенной фазе: через 2,5 ч (2), 3,5 ч (3), 4 ч (4) и 6 ч (5) при $30^\circ \text{ in vitro}$. Аналогичные изменения более интенсивно наблюдаются под действием 0,5 мл ЭМ пациентов ХГОС (гетерогенная фаза).

Каковы возможные молекулярно-биохимические механизмы наблюдаемых изменений? Повышение уровня цит b5-переносчика электрона для метHb –

редуктазы в растворимой фракции эритроцитов, видимо, связано с определенным снижением подвижности организма больных при ХГОС. Аналогичное явление наблюдается у крыс при гипокинезии [1], а альфа-аминомасляная кислота и пирролидон-2 оказывают протективный эффект [2].

Снижение уровня изоформ цит b558 ЭМ при ХГОС, возможно, связано с накоплением в эритроцитах перекиси водорода из-за снижения активности каталазы. Перекись водорода необратимо деградирует гемопротеины, включая и цит b558 ЭМ [7], вызывая повышение агрегации эритроцитов и цит b558III, с соответствующей потерей текучести ЭМ. Это может отрицательно влиять на гемодинамику при ХГОС. В ответ на это, организм усиливает метHb -восстанавливающую и O_2^- -продуцирующую активность цит b558III, особенно в гетерогенной фазе, положительно влияя на кислородный гомеостаз (метHb не переносит молекулярный кислород к клеткам).

Повышение уровня и O_2^- -продуцирующей активности супрола нежелательное явление, так как это стимулирует агрегацию супрола, что может вызвать изменение вязкости сыворотки и в целом гемодинамики. Против этого явления происходит некоторое повышение уровня ЦП. Видимо, такое изменение уровня ЦП связано с большим его расходом при нейтрализации стехиометрических количеств O_2^- [3].

Ощутимое снижение уровня ТФ может вызывать накопление высокоактивных ионов Fe^{+2} как стимулятора образования NO - радикалов [10].

Увеличение уровня Cu,Zn -СOD в эритроцитах может быть ответом повышенного продуцирования O_2^- цитохромом b558III в ЭМ.

Наконец, приведенные нежелательные факторы являются производными оксидативного повреждения перекисью водорода из-за существенного снижения уровня каталазы в эритроцитах. С другой стороны, механизмы оксидативного повреждения при «чистой» гипергликемии [4] существенно отличаются от таковых при ХГОС. Это свидетельствует о том, что гипергликемию и ХГОС нельзя считать болезнями с приближенными патогенетическими молекулярно-биохимическими механизмами с соответствующим фоном оксидативного стресса крови. Однако в обоих случаях снижение АС по сравнению с ПС является характерной чертой этих заболеваний. Это дает научное обоснование для повышения доли антиоксидантных компонентов, в первую очередь каталазы, для повышения эффективности терапии ХГОС.

ЛИТЕРАТУРА

1. Акопян В.П., Симонян М.А., Манукян А.А. и др. Бюлл. эксп. биол. мед., 132, 11, 527-529, 2001.
2. Манукян А.А., Симонян М.А., Симонян Р.М., Симонян Г.М. Эксп. клин. мед., 67, 1, 28-31, 2004.
3. Мжельская Т.И. Бюлл. эксп. биол. мед., 130, 8, 124-133, 2000.
4. Варданян А.Р., Геворкян Д.Н., Агаджанов М.И., Симонян М.А. Мед. наука Армении, 40, 2, 20-22, 2000.
5. Симонян Г.М., Симонян Р.М., Бабаян М.А., Карапетян А.В., Симонян М.А. Мед.

- наука Армении, 43, 1, 30-37, 2003.
6. Симонян М.А., Симонян Г.М., Симонян Р.М. Лицензия изобрет. № 908 Армпатента, Ереван, 2001.
7. Симонян М.А., Симонян Г.М., Симонян Р.М. В кн.: Актуальные вопросы военной медицины. Гос. мед. унив., Ереван, 48-51, 1999.
8. Симонян М.А., Симонян Г.М., Симонян Р.М. Лицензия изобрет. № 908 Армпатента, Ереван, 2001.
9. Симонян Р.А., Секоян Э.С., Хачатрян К.К., Симонян Г.М., Симонян М.А. Мед. наука Армении, 44, 3, 15-23, 2004.
10. Halliwell B., Gutteridge J.M.C. Biochem. J., 219, 1, 1-14, 1984.
11. Karapetian A.V., Simonyan G.M., Miller A.F., Linn B., Babayan M.A., Simonyan R.M., Simonyan M.A. 227-th AGS National Meeting, Anaheim, Canada, march 28, 2004.
12. Nankivell B.J., Tay Y.C., Badde R.A., Harris D.C. Ren-Fail, 16, 3, 367-381, 1994.
13. Nishikimi M., Rao N.A., Jagi K. Biochem. Biophys. Res. Commun., 46, 849-856, 1972.
14. Reddi A.S., Bollineni J.S. Biochem. Biophys. Res. Commun., 235, 3, 598-601, 1997.
15. Suzuki D., Miyata T., Saotome N. et al. J. Am. Soc. Nephrol., 10, 4, 822-832, 1999.
16. Yamazaki M., Ito S., Usami A. et al. Eur. J. Endocrinol., 132, 6, 681-687, 1995.

Поступила 30.VIII.2005

Биол. журн. Армении, 3-4 (57), 2005

УДК 577.152.273:577.151.64:577.15.04

ВВ-ИЗОФЕРМЕНТ КРЕАТИНКИНАЗЫ – БИОХИМИЧЕСКИЙ МАРКЕР ХРОНИЧЕСКОЙ ИНТОКСИКАЦИИ, ВЫЗВАННОЙ ПРОМЫШЛЕННЫМ ЯДОМ УКРИНОЛ

Л.С. НЕРСЕСОВА, М.Г. ГАЗАРЯНЦ, Г.О. МЕЛИКСЕТЯН, З.С. МКРТЧЯН,
С.А. МКРТЧЯН, А.С. КАЗАРЯН, Ж.И. АКОПЯН

Институт молекулярной биологии НАН РА, 375014, Ереван

Хроническая интоксикация промышленным ядом укринол вызывает в мозге и печени крыс бифазные изменения активности креатинкиназы без изменения ее изоферментного состава: к концу срока интоксикации определяется повышение активности фермента на 20–40% над контрольным уровнем. В то же время в сыворотке крови обнаруживается увеличение доли ВВ-изофермента креатинкиназы и появление MB-изофермента, что, по-видимому, связано с увеличением проницаемости клеток мозга и печени, являющихся мишениями действия укринола, а в сыворотке крови рабочих, имеющих стаж работы в фольгопрокатном цехе не менее 5 лет увеличивается доля активности MB-изофермента и появляется ВВ-изофермент, что может служить тестом для определения токсического влияния укринола.

Ուկրինոլվ քրոնիկ թուճավորումը առաջացնում է առնետների ուղեղի և սարդի կրեատինկինազայի ակտիվության թիֆազ փոփոխություններ, առանց որևէ փոփոխությունների իրենց հզոֆերմենտային սպեկտրում, որը արդյունքում բերում է 20–40%-ով ֆերմենտի ակտիվության մեծացմանը: Միևնույն ժամանակ առնետների արյան շիճուկում նկատվում է կրեատինկինազայի ԲԲ-հզոֆերմենտի ակտիվության բաժնի ավելացում և ՄԲ-հզոֆերմենտի ակտիվության ցուցաբերում, որը կարող է կասպած լինել ուղեղի և սարդի քջային մեմբրանների բափանցելիության մեծացման հետ, այն է ՄԲ- և ԲԲ- հզոֆերմենտների ակտիվության բաժնի ավելացում. Նկատվում են ուկրինոլ սպարող այլումին փայլաքիթեղների արտադրությունում 5 տարուց ավելի աշխատող բանվորների արյան շիճուկում: Վեցինս կարող է օգտագործվել որպես մարդու օրգանիզմի ուկրինոլվ ինտոկսիկացիայի կենսաբիմիական ցուցանիշ:

Chronic ukrinol intoxication causes biphasic response in creatine kinase activity in rat brain and liver (final 20–40% increase), with no changes of isoenzyme spectrum. At the same time, an increase in the activity share of creatine kinase BB-isozyme, as well as addition of creatine kinase MB-isozyme activity in the serum of these rats has been detected. These changes in the serum may be due to increased permeability of damaged rat brain and liver cell membranes. Similar alterations in creatine kinase isoenzyme spectrum have been observed in the serum of foil-rolling plant workers who have been impacted by ukrinol during more than five years of industrial experience. In this case alterations included increase in the activity share of MB-isozyme, as well as addition of creatine kinase BB-isozyme activity, which may be used as a biochemical indicator of worker intoxication.

Креатинкиназа – активность – изоферменты – интоксикация – укринол – биохимический маркер

Креатинкиназа – ключевой фермент энергетического обмена клетки, физиологическая роль которого состоит в обеспечении транспорта и гомеостаза внутриклеточной энергии [10, 11]. Креатинкиназа (КК) представляет собой ферментную систему, состоящую из ряда изоферментов, специфически локализованных в клетке в местах производства и потребления энергии, как например, митохондрии, миофибриллы, плазматическая мембрана и др. Различают 4 основных изофермента КК: ММ – характерный для мышечной ткани, ВВ – характерный для мозга и внутренних органов, МВ – специфически присутствующий в сердце и митохондриальный изофермент. Благодаря микрогетерогенности субъединиц, каждый из них имеет также свои субизоформы. В клинической практике используется обычно определение 3 первых изоферментов КК [10]. Одной из особенностей КК как фермента является его способность тонко реагировать на структурно-функциональные изменения в клетке, что проявляется в адаптационных изменениях уровня активности КК и его изоферментного спектра. Именно эта способность КК лежит в основе широкого применения его в качестве биохимического маркера различных патологических состояний организма [9, 10], в том числе и этаноловой и ацетоновой интоксикаций [2, 10].

Известно, что действие паров и аэрозолей смазочных масел при обработке алюминия способно вызвать определенные патологические изменения в организме работающих [3]. Ранее нами было проведено исследование влияния широко используемого в алюминиевой промышленности смазочного масла укринол на активность креатинкиназы, пуринуклеозидфосфорилазы, аланинаминотрансферазы и аспартатаминотрансферазы в органах и тканях экспериментальных животных, а также в сыворотке крови рабочих фольгопрокатного цеха, имеющих стаж работы не менее 5 лет. Как в случае острой, так и хронической интоксикаций у животных наиболее значительные изменения были обнаружены в отношении КК. Кроме того, в сыворотке крови обследованных нами рабочих наиболее значительные сдвиги были выявлены в активности КК [6]. Эти факты подтверждают данные о высоких адаптационных возможностях КК системы [5, 9, 10]. Одной из причин изменений креатинкиназной активности могли стать сдвиги в изоферментном спектре креатинкиназы.

В настоящей работе представлены данные по изучению изоферментного состава КК в мозге, печени и сыворотке крови крыс в ходе хронической интоксикации укринолом, а также в сыворотке крови рабочих, подвергавшихся влиянию этого промышленного яда не менее 5 лет.

Материал и методика. В опытах были использованы 60 белых нейлинейных крыс массой 200–250г, содержащиеся на постоянном пищевом рационе. Исследуемые дозы укринола вводили животным через зонд непосредственно в пищевод. В хронических опытах крысы ежедневно получали соответствующие дозы в течение 1, 3 и 6 месяцев. Исследуемые органы тщательно отмывали от крови охлажденным физиологическим раствором, гомогенизировали в 0,1М трис-ацетатном буфере pH 7,0, содержащем 5мМ ДДТ и 0,5мМ ЭДТА, и центрифугировали в рефрижераторной центрифуге К-24 при 15000об/мин.

Полученные экстракты тканей использовали для определения активности и ее КК изоферментного спектра.

При исследовании активности и изоферментного спектра КК сыворотки крови рабочих фольгопрокатного цеха завода "Каназ" в качестве контроля использовали сыворотку крови доноров. После свертывания кровь, взятую из локтевой вены натощак, центрифугировали при 3000 об/мин на холде. Полученную сыворотку хранили при 0-4° не более суток.

Активность креатинкиназы определяли по методу Эннора и Розенберга в собственной модификации и выражали в мкМ креатина / г мин для тканей и в мкМ креатина / л мин для сыворотки крови [4, 6].

Изоферментный состав КК определяли ступенчатой ионообменной хроматографией на ДЕАЕ-целлюлозе [4]. Активность каждого изофермента выражали в % по отношению к суммарной ферментативной активности.

Для статистической обработки данных использовали экспресс-методы [1].

Результаты и обсуждение. Ранее нами в серии экспериментов по острой и хронической интоксикации крыс, вызванной укринолом, было определено действие этого промышленного яда на мозг и печень животных, а также рассчитана его пороговая доза, равная 3г/кг массы животных [6]. Для выявления характера изменений активности и изоферментов КК в этих органах и сыворотке крови при хронической интоксикации крысам, как и в предыдущих экспериментах, многократно вводили укринол в течение 1, 3 и 6 месяцев в дозах, составляющих 1:100, 1:1000 и 1:10000 пороговой дозы. На рис.1 и 2 представлены результаты этих экспериментов для печени и мозга крыс соответственно. Как следует из этих данных, изменения активности КК в обоих случаях зависят не столько от дозы укринола, сколько от длительности его воздействия на организм; при этом следует отметить, что эффект малых доз более значительный, чем эффект умеренных доз.

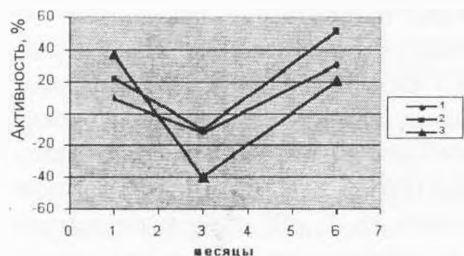


Рис.1. Активность КК печени крыс, подвергнутых хронической интоксикации укринолом в дозах: 1 – 30 мг/кг, 2 – 3 мг/кг, 3 – 0,3 мг/кг массы животных.

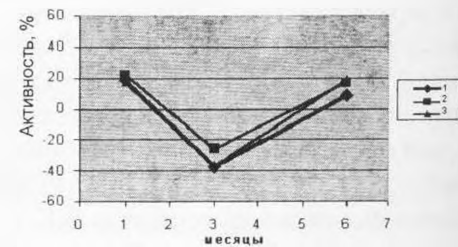


Рис.2. Активность КК мозга крыс, подвергнутых хронической интоксикации укринолом в дозах: 1 – 30 мг/кг, 2 – 3 мг/кг, 3 – 0,3 мг/кг массы животных.

Итак, к концу первого месяца интоксикации наблюдается повышение активности КК (в пределах 10% -37% для печени и 17%-22% для мозга) по сравнению с контролем, представляющим собой усредненное значение активности КК в соответствующих органах интактных крыс. Такая компенсаторная реакция ферментной системы может быть следствием повышения экспрессии КК генов. После трех месяцев интоксикации повышение сменяется снижением активности КК вплоть до 40% как в печени, так и в мозге крыс, что свидетельствует о преобладании деструктивных процессов в этих органах к этому времени. Через шесть

месяцев интоксикации наблюдается повторное повышение активности КК, что, по-видимому, является уже следствием включения более глубоких адаптационных процессов, связанных с перестройкой метаболизма. Такая фазовость компенсаторных изменений активности показана как для КК [2, 8, 10], так и для других ферментов энергетического обмена [7]. Одним из наиболее универсальных повреждающих механизмов при различных патологических процессах и, в частности при интоксикациях, можно считать перекисное окисление липидов. Так, показано участие свободнорадикальных механизмов в нейротоксическом действии этанола на мозг крыс и мышей [2, 10].

Изучение изоферментного спектра КК мозга и печени крыс параллельно изменениям ее активности в ходе длительной интоксикации выявило изменений в составе изоферментов по сравнению с контролем: во все сроки интоксикации в этих органах обнаруживался исключительно ВВ-изофермент. В то же время в сыворотке крови этих крыс отмечается значительное перераспределение доли активности изоферментов КК: понижается доля активности ММ-изофермента, повышается доля активности ВВ-изофермента и появляется МВ-изофермент, отсутствующий в норме (рис. 3). Можно предположить, что это является следствием повреждения клеточных мембран мозга и печени крыс, являющихся мишениями действия укринола, и выхода из этих клеток ВВ-изофермента в кровоток. Вследствие процессов диссоциации и ассоциации изоферментов КК в сыворотке крови, возможно, часть В-субъединиц реассоциируется в МВ-изофермент, чем и объясняется появление активности МВ-изофермента.

Исследование нашими коллегами влияния химических (концентрация органических веществ в воздухе) и физических (интенсивность вибрации и звукового давления) факторов на заболеваемость рабочих фольгопрокатного производства, показало, что они могут быть факторами риска в отношении заболеваний костно-мышечной и

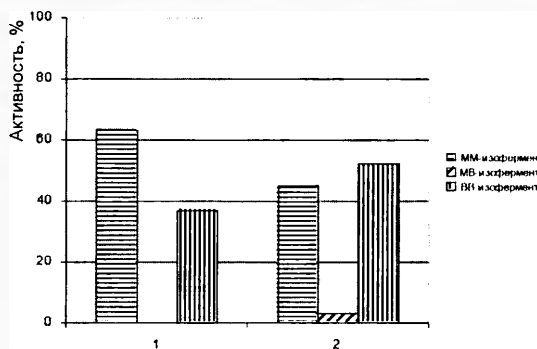


Рис. 3. Распределение изоферментов КК в сыворотке крови крыс, подвергнутых интоксикации укринолом в течение 6 месяцев. 1 - контроль, 2 – опыт.

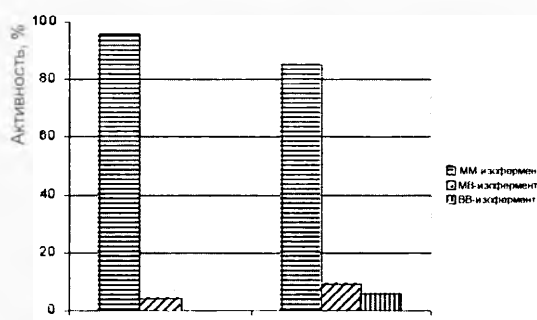


Рис. 4. Распределение изоферментов КК в сыворотке крови рабочих фольгопрокатного цеха. 1 - контроль, 2 - опыт.

периферической нервной систем, а также воспалительных болезней кожи. Наиболее высокий уровень заболеваемости наблюдается в возрастной группе от 31 до 40 лет, по профессиональной принадлежности — среди нагревальщиков, в зависимости от стажа работы — в группах свыше 5 лет работы [3]. В нашей предыдущей работе, проведенной параллельно с указанным исследованием, среди рабочих этой группы было показано повышение активности КК сыворотки крови более чем на 40% [6]. Исходя из этих данных, мы исследовали изоферментный спектр сыворотки крови 8 рабочих фольгопрокатного цеха, имеющих стаж работы не менее пяти лет, и в сыворотке крови семи из них обнаружили изменения, суммированные в виде диаграммы на рис. 4. Как видно из диаграммы, в сыворотке крови этих рабочих дополнительно к имеющимся в норме ММ и МВ изоферментам появляется некоторое количество ВВ изофермента, источником которого могут быть органы-мишени действия укринола, а именно мозг и печень, и вдвое увеличивается доля МВ изофермента. Таким образом, повышение активности и изменение изоферментного спектра КК в сыворотке крови рабочих фольгопрокатного цеха может отражать функциональное напряжение этих органов и служить тестом при оценке влияния укринола на организм.

ЛИТЕРАТУРА

1. Ашмарин И.И., Васильев Н.Н., Амбросов В.А. Быстрые методы статистической обработки и планирование экспериментов. Л., Из-во ЛГУ. 1971.
2. Машек О.Н., Усатенко М.С., Лызлова С.Н., Бородкин Ю.С. Вестник ЛГУ, 3, 1, 64-68, 1991.
3. Меликян Л.Г., Карагезян К.Г., Асмангулян Т.А. Биолог. журн. Армении, 47, 1, 19-23, 1994.
4. Нерсесова Л.С. Определение активности и изоферментного спектра креатинкиназы в сыворотке крови. Методические рекомендации. Ереван. Изд; АН Арм.ССР, 1987.
5. Нерсесова Л.С., Акопян Ж.И., Арутюнян А.В., Лызлова С.Н. Мед.наука Армении, 40, 2, 54-57, 2000.
6. Нерсесова Л.С., Газарянц М.Г., Меликсян Г.О., Mkrtchyan З.С., Зарафян И.М., Погосян Л.Г., Косян С.А., Акопян Ж.И. Биолог. журн. Армении, 47, 1, 13-19, 1994.
7. Хайдарлину С.Х. Функциональная биохимия адаптации. Кишинев. 1984.
8. Delahunt T. Biochem.Biophys.Res.Com., 125, 1, 192-198, 1984.
9. Kaye A.M., Tae-Yeon Kim, Somjen D., Waisman A. Regulation of the creatine kinase B gene and its use as a marker of cell stimulation. <http://bioinfo.weizmann.ac.il/ls/alvin.kaye/alvin.kaye.html>. 1999.
10. Lyzlova S.N., Stefanov V.E. Phosphagen kinases. CRC Press. Boston. 1991.
11. Wallimann Th. Creatine kinase Oh! What a Protein. <http://attila.stevens-tech.edu/chembio/crodrick/ck.htm>. 2000.

Поступила 11.V.2005

Биол. журн. Армении, 3-4 (57), 2005

УДК 577.11:616-001.28

СОСТОЯНИЕ КОНЕЧНОГО ЭТАПА ГЛИКОЛИЗА ПРИ ЛУЧЕВОЙ ПАТОЛОГИИ И ПОСЛЕ ПРИМЕНЕНИЯ ПРОИЗВОДНОГО ПИРАЗОЛОНА ВАС-195

А.А. ПЕПАНЯН, П.А. КАЗАРЯН

Гематологический центр МЗ РА, 375014, Ереван

Исследованы особенности изменений активности лактатдегидрогеназы (ЛДГ), концентраций лактата и пирувата, а также соотношения НАД/НАДН₂ в почечной ткани при лучевой патологии. Установлено, что применение ВАС-195 при ионизирующем облучении сопровождается выраженной тенденцией к определенной нормализации активности ЛДГ и коэффициента восстановленности пиридиновых нуклеотидов с одновременной стабилизацией содержания лактата.

Ուսումնասիրվել են լակտատդեհիդրօքնազայի ակտիվության, կարնաթրվի և պիրոխազովաթրվի քանակության, ինչպես և ՆԱԴ/ՆԱԴՀ₂ հարաբերակցության փոփոխությունների առանձնահատկությունները Երկամային հյուսվածքում ճառագայթային ախտահարության ժամանակ։ Դաստատված է, որ ՎԱՏ-195-ի օգտագործումը իննիզանող ճառագայթան ժամանակ ուղեկցվում է ԼԴГ-ի ակտիվության և ԱԱԴ/ԱԴՀ₂ հարաբերության գործակցի, կարնաթրվի պարունակության արտահայտված նորմափորման միտումով։

The peculiarities of lactatedehydrogenase (LDH) activity changes, lactate and pyruvate concentrations and also NAD/NADH₂ ratio in kidney tissue at radial pathology have been studied. It has been established that during ionizing irradiation the use of VAS-195 is accompanied with the normalization as lactatedehydrogenase activity and as the coefficient of NAD/NADH₂, by simultaneously stabilization of lactate concentration in kidney tissue.

Ионизирующее облучение — почки — лактатдегидрогеназа — пируват — лактат — ВАС-195

Как известно, одним из эффектов ионизирующего облучения является разобщение окислительного фосфорилирования. Развивающиеся при этом компенсаторно-приспособительные механизмы в условиях кислородной недостаточности приводят к превалированию гликолитического пути превращения углеводов [1]. Интенсификация процессов гликолиза при лучевом поражении приобретает патологический характер, что главным образом обусловлено нарушением деятельности фосфофруктокиназы - утратой чувствительности к АТФ, являющемуся мощным ее ингибитором. В результате этого фермент выходит из-под контроля и катализируемый им синтез фруктозо-1,6-дифосфата, связанный с расходом АТФ, значительно превосходит скорость дальнейшего превращения его по гликолитическому пути, что приводит к резкому возрастанию катаболизма адениловых нуклеотидов [2, 6, 9]. Одновременно идет накопление конечных продуктов

гликолиза, главным образом лактата, что приводит к закислению среды и развитию лактат-ацидоза.

Лактатдегидрогеназа (ЛДГ), являясь конечным ферментом в последовательных реакциях гликолитического цикла, занимает ключевую позицию в сбалансированном равновесии между катаболизмом и анаболизмом углеводов [4, 8]. С другой стороны, в почечной ткани лактат служит в качестве топлива, окисляющегося через лимоннокислый цикл Кребса, что сопровождается генерацией НАДН₂ и АТФ.

Обратимость лактатдегидрогеназной реакции и высокая активность фермента позволяют паре субстратов лактат-пируват играть важную роль в контроле над отношением окисленных и восстановленных форм НАД.

Целью настоящего исследования является изучение состояния конечного этапа гликолиза путем определения активности ЛДГ, концентраций лактата и пирувата, а также коэффициента восстановленности пиридиновых нуклеотидов НАД/НАДН₂.

Материал и методика. Исследования проводили на 64 белых крысах-самцах линии Вистар массой 140-160 г. Животных облучали при помощи установки РУМ-17 в дозе 3 Гр, силе тока –18 мА, мощности дозы – 0,26 Гр/мин, кожно-фокусном расстоянии – 60 см. Препарат ВАС-195 вводили внутрибрюшинно в виде 2 %-ного водного раствора в течение 3 дней, начиная с 7-го дня, из расчета 10 мг/кг массы животного. Животные были разделены на 4 группы: контроль (18), исследованные на 5-й день после облучения (12), на 10-й день после облучения (16) и получавшие ВАС-195 (18).

Общую активность ЛДГ определяли по методу Броблевски и др [10]. Состав инкубационной смеси состоял из 73 мМ пирувата натрия, 0,004 М НАДН₂, 0,1 М калий фосфатного буфера (pН 7,4) и 0,1 мл супернатанта.

Определение содержания пирувата проводили спектрофотометрическим методом [3]. Инкубационная смесь содержала 0,5 М триэтаноламинового буфера, 6 мМ НАДН₂, раствор ЛДГ (содержащий 0,5 мг белка в 1 мл) и 0,8 мл тканевого экстракта. Определение содержания молочной кислоты проводили по Хохорсту [7]. Инкубационная смесь содержала гидразин-глициновый буфер (1 М глицин, 0,4 М гидразин, pH 9,5), 0,05 М НАД, раствор ЛДГ (содержащий 5,0 мг белка в 1 мл) и 0,2 мл тканевого экстракта. Оптическую плотность измеряли при длине волн 340 нм. Данные выражали в мкмолях на 1 г ткани.

Статистическая обработка полученных данных осуществлялась с использованием критерия достоверности и различий Фишера-Стьюдента.

Результаты и обсуждение. Согласно результатам проведенных исследований (рис. 1), на 5-й день после ионизирующего облучения наблюдается значительная (на 79%) активация ЛДГ, что сопровождается резким (шестикратным) увеличением содержания пирувата (рис. 2). При этом уровень лактата повышается почти в полтора раза (рис. 2), а величина коэффициента восстановленности НАД/НАДН₂ (рис. 3) – почти в два раза, что указывает на повышение уровня окисленной формы НАД в цитоплазме клеток почечной ткани. Вероятно, в этих условиях включаются компенсаторные механизмы, усиливающие метаболизм почечных клеток по аэробному пути.

На 10-й день исследования активность ЛДГ продолжает расти (рис. 1). Отмечается трехкратное увеличение (по сравнению с нормой) содержания молочной кислоты (рис. 2). Уровень пирувата незначительно падает, превышая норму в 5 раз (рис. 2). Благодаря таким концентрационным изменениям

субстратов ЛДГ, коэффициент восстановленности пиридиновых нуклеотидов снижается, что, по-видимому, связано с уменьшением окисленной формы НАД (рис. 3) на этом сроке исследования. Анализ полученных данных позволяет предположить, что выраженная анаэробизация гликолиза приводит к накоплению восстановленных форм НАД, и ингибирует образование ингредиентов цикла Кребса. В результате этого можно ожидать значительное снижение интенсивности процессов дыхания и фосфорилирования в митохондриях. Безусловно, повышение концентрации восстановленных форм пиридиновых нуклеотидов обусловлено и нарушением функционирования цепочечных систем в митохондриях.

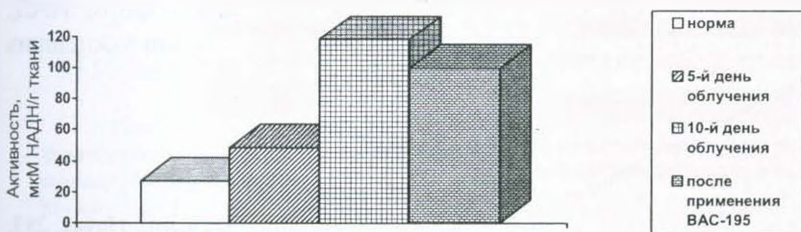


Рис. 1. Изменение активности ЛДГ в почечной ткани при ионизирующем облучении и после применения BAC-195, мкМ НАДН/г ткани.

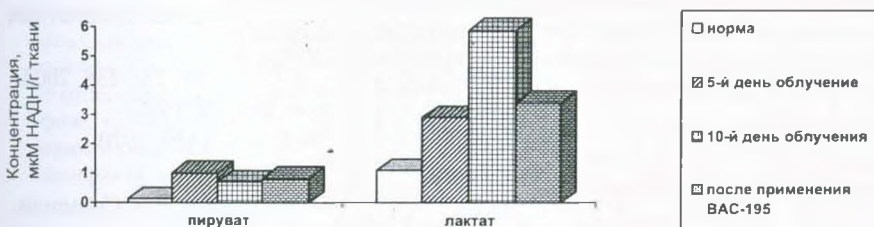


Рис. 2. Изменение концентраций пищевата и лактата в почечной ткани при ионизирующем облучении и после применения BAC-195, мкМ НАДН/г ткани.

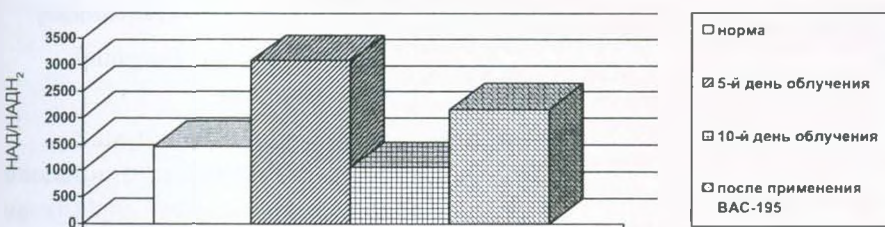


Рис. 3. Изменение коэффициента восстановленности пиридиновых нуклеотидов НАД/НАДН₂ в почечной ткани при ионизирующем облучении и после применения BAC-195.

С целью коррекции нарушенных метаболических процессов мы применили гидразид пиразолона BAC-195, который нормализует некоторые показатели энергетического обмена – уровень адениловых нуклеотидов, величину энергетического заряда, активность ключевого фермента катаболизма

адениннуклеотидов – АМФ-дезаминазы [5].

Применение ВАС-195 характеризуется явно выраженной тенденцией к нормализации уровня лактата (рис. 2) в изученной ткани (его концентрация понижается в 1,75 раза, хотя все еще превышает норму). Одновременно наблюдается некоторое понижение активности ЛДГ (рис. 1). Заметно возрастает коэффициент восстановленности НАД/НАДН2 (рис. 3). Интересно отметить, что применение ВАС-195 не приводит к стабилизации концентрации пировиноградной кислоты (рис. 2).

Таким образом, можно заключить, что в результате действия ВАС-195 отмечается статистически достоверное понижение концентрации лактата, имеющее, как известно, немаловажное значение в стабилизации уровня рН клетки и соотношения восстановленных и окисленных форм НАД, участвующих (наряду с адениловыми нуклеотидами) в регуляции важнейших внутриклеточных биохимических процессов.

ЛИТЕРАТУРА

1. Исраелян К.И. Автореф. канд. дис., Ереван, 25, 1998.
2. Кузин А.М. Структурно-метаболическая теория радиобиологии. М., Наука, 283, 1986.
3. Методы биохимических исследований. Под ред. Прохоровой М.И., Л., Изд-во Ленингр. ун-та, 272, 1982.
4. Островский Ю.М., Величенко Н.Г., Якубович Г.Н. Лактат и пируват в животном организме. Минск, ВШ, 157, 1984.
5. Пепанян А.А., Казарян П.А., Аветисян А.А. и др. Нейрохимия, 19, 235-238, 2002.
6. Хансон К.П., Животовский Б.Д. Вестник АМН СССР, 2, 34-39, 1990.
7. Hohorst H.J. In: Methoden der Enzymatischen Analyse, 2, 1425-1429, 1970.
8. Malhotra P., Sidhu L.S., Sigh S.P. Neoplasma, 33, 5, 641-647, 1986.
9. Pfaneuf S., Berta P., Casonova L., Cavadore J.S. Biochim. and Biophys. Res. Commununs., 143, 2, 454-460, 1987.
10. Wroblewski W., La Due I.S. Proc. Soc. exp. biol., 90, 1, 210-213, 1955.

Поступила 22.VII.2005

Բιոլոգ. журн. Армении, 3-4 (57), 2005

УДК 577.11:616-001.28

ԿԱՐԴԻՈՍԻՇԻՏԵՐԻ ՖՈՍՖՈԼԻՊԻԴՆԵՐԻ ՈՐԱԿԱԿԱՆ ԵՎ ՔԱՍԱԿԱԿԱՆ
ՏԵՂԱԾԱՐԺԵՐԸ ԻԴՈՒԹՅԱՑՆՈՂ ճԱՐԱԳԱՅԹՄԱՆ ԺԱՄԱՆԱԿ ԵՎ ՎԱՍ-167
ՄԻԱՑՈՒԹՅԱՆ ՕԳՏԱԳՈՐԾՈՒՄԻՑ ՀԵՏՈ

Ո.Խ. ՍԱՐԱԿՅԱՆ

ՀՀ ԱՆ պրոֆ. L. Յովանի անվ. արյունաբանական կենտրոն, 375014, Երևան

Ուսումնասիրվել են գումարային և առանձին ֆուֆոլիպիդների պարունակության փոփոխությունները իննիզացնող ճառագայթման ժամանակ և ՎԱՍ-167 միացության օգտագործումից հետո: Ցույց է տրված, որ իննիզացնող ճառագայթում բնութագրվում է ինչպես գումարային, այնպես էլ առանձին ֆուֆոլիպիդների ֆրակցիաների քարձրացմամբ ֆուֆատիդիլիլունի պարունակության նվազման ֆոնի վրա: Հաստատված է, որ ՎԱՍ-167-ի օգտագործումը իննիզացնող ճառագայթման ժամանակ ուղղված է կարդիոմիոցիտների թաղանթային ֆուֆոլիպիդների փոխանակության կամոնավորմամբ:

Исследовали изменения содержания общих и индивидуальных фосфолипидов мембран кардиомиоцитов при ионизирующем облучении и после применения ВАС-167. Показано, что ионизирующее облучение характеризуется повышением фракций как суммарных, так и индивидуальных фосфолипидов на фоне понижения содержания фосфатидилхолинов. Установлено, что после применения ВАС-167 наблюдается нормализация фосфолипидного обмена в мембранах кардиомиоцитов.

Different disturbances of the lipid main fractions and separate phospholipids metabolism at ionizing irradiation and after use of VAS-167 have been studied. It is showed that ionizing irradiation is characterized by the elevation of as complete as phospholipid fraction against the reduction of the content of phosphatidylcholine. It has been defined that during ionizing irradiation the use of VAS-167 is accompanied with the regulation of phospholipids metabolism in cardiomyocytes membranes.

Կարդիոմիոցիտներ – թաղանթային ֆուֆոլիպիդներ – իննիզացնող ճառագայթում

Տարբեր հյուսվածքների դիմադրողականությունը իննիզացնող ճառագայթման (Ի6) նկատմամբ պայմանավորված է դրանց բջիջների պրոլիֆերատիվ ակտիվությամբ: Գրականության տվյալների համաձայն, մինչև վերջին ժամանակներս սիրտը դիտվում էր որպես ռադիոռեզիստենտ օրգան: Դա հնարավոր էր հաստատել հյուսվածքաբանական ուսումնասիրությունների արդյունքներով: Սակայն հետագայում կենսաքիմիական, մորֆոֆիզիոնալ և էլեկտրոնմիկրոսկոպիկ համալիր հետազոտություններով ճառագայթումից հետո կարդիոմիոցիտներում հայտնաբերվեցին զգալի փոփոխություններ [7]: Սուր, ենթասուր և քրոնիկ ճառագայթային հիվանդությունները ուղեկցվում են սրտի ֆունկցիոնալ ախտահարմամբ: Սակայն այդ փոփոխությունների ախտածնության մեխանիզմները մնում են չբացահայտված [4]:

Դեղինակների մեջ մասի կարծիքով հյուսվածքային ախտածնության գործում առաջնակարգ նշանակություն ունեն տարբեր օրգանների և հյուսվածքների կենսարադարներում կատարվող նյութափոխանակային պրոցեսների, մասնավորապես դրանց լիպիդային բաղադրամասերի փոխանակության խանգարումները [2; 5]:

Վերոհիշյալից հետևում է, որ Իճ հետո ախտարանական պրոցեսների հայտնաբերման, հիվանդության ախտորոշման, կանխարգելման և բուժման խնդիրները ժամանակակից բժշկության ամենաարդիական հիմնախնդիրներից են: Այդ տեսակետից առավել կարևոր է ախտածին գործոնների վրա ազդող արդյունավետ միջոցների մշակումը:

Առանձնակի ուշադրության է արժանի որոշակի հակառաօտզեցքային և հակաօքսիդանտային ակտիվությամբ օժտված ՎԱՍ-167 միացությունը [1, 2]:

Աշխատանքի նպատակն է հանդիսանում կարդիոմիոթիտներում ֆուֆոլիպիդների որակական և քանակական տեղաշարժերի ուսումնասիրումը ինիզացնող ճառագայթման ժամանակ և ՎԱՍ-167 միացության օգտագործումից հետո:

Նյութ և մեթոդ: Հետազոտությունները կատարվել են 160–180 գ զանգվածով 20 արու սպիտակ առնետների վրա: Փորձնական կենդանիները նախապես միանվագ ճառագայթվել են ՈՒՍ-11 ունատքնեան սարքի կիրաօմամբ 3 Գր/դոզայով, հոսանքի ուժը՝ 18 մլ, լարումը 187 կ, դոզան 0.26 Գր, մաշկաֆուլուսային հեռավորությունը՝ 60 սմ:

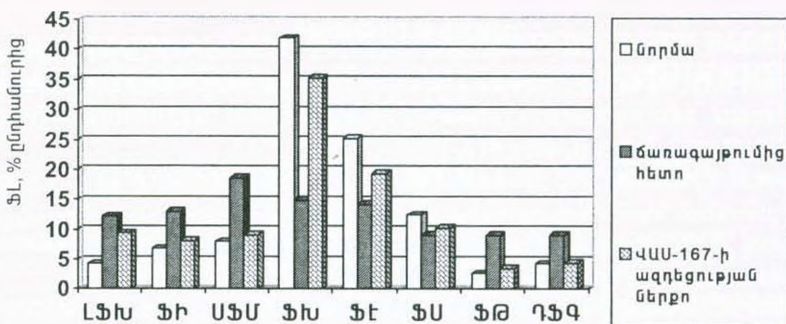
Կենսարիմիական հետազոտությունների համար օգտագործվել են կարդիոմիոթիտների բաղանքային գոյացությունները, որոնք ստացվել են ընդունված դիֆերենցիալ ցենտրիֆուզման մեթոդով (17000 գ): Ֆուֆոլիպիդների (ՖԼ) բաժանումը կատարվել է նրաշերտային քորմատոգրաֆիայի միջոցով [3]: Այնուհետև որոշվել է լիպիդային ֆուֆորի քանակությունը [6]:

Փորձնական կենդանիներին ներարկել է ՎԱՍ-167 միացության 0.2%-անոց լուծույթ ներորովայնային ներարկում 3 օր հետազոտության 8, 9 և 10-րդ օրերին, օրական 1 անգամ 10 մգ/կգ կենդանու զանգվածի հաշվով (200 գ զանգվածով կենդանուն օրական 2 մգ):

Արդյունքներ և քննարկում: Հետազոտությունների արդյունքները ցույց են տալիս (նկ. 1), որ 3 Գր դոզայով ինիզացնող ճառագայթումը ուղղեկցվում է սրտամկանի գումարային և առանձին ՖԼ-ների նշանակալի փոփոխություններով: ճառագայթումից 10 օր հետո առնետների սրտամկանում նկատվում են ՖԼ-ների առանձին ֆրակցիաների պարունակության նկատելի տեղաշարժեր: Այդ պայմաններում դիտվում է ֆուֆատիդիլսոլինների (ՖՏՍ) մակարդակի կտրուկ նվազում, որն ուղղեկցվում է լիպոլիզի ցիտոտոքսիկ արգասիքի լիզոֆուֆատիդիլսոլինի (ԼՖՏՍ) բարձրացմամբ: ՖՏՍ-ների պարունակության կտրուկ (մոտ 3 անգամ) նվազումը պայմանավորված է նրանով, որ նրանք տեղայնացված են պլազմատիկ թաղանքի արտաքին մասում և ավելի հեշտությամբ են ենթարկվում քայլայման: Միաժամանակ նկատվում է ֆուֆատիդիլսոլոգիտի (ՖՏԻ) և սֆինգոմիելինների (ՍՖՄ) կոնցենտրացիայի կրկնակի, դիֆուֆատիդիլսոլերինի (ԴՖԳ) և ֆուֆատիդային թթվի (ՖԹ) պարունակության մոտ 3 անգամ ավելացում:

Իճ սրտամկանում բնութագրվում է նաև ՖԼ-ՖԼ հարաբերակցության փոփոխությամբ (աղ. 1), որն արտահայտվում է չեզոք ՖԼ-ների (ՉՖԼ) գումարային մակարդակի նվազմամբ և համապատասխանաբար թթու ՖԼ-ների (ԹՖԼ) բարձրացմամբ: Արդյունքում ՉՖԼ/ԹՖԼ հարաբերության գործակիցը նվազում է 2 անգամ: Այդ պայմաններում դիտվում են նաև ԼՖՏՍ/ՖՏՍ, ՖՏՍ/ՖԹ և ՖԹ/ՖՄ

հարաբերության գործակցի նշանակալի փոփոխություններ: ԼֆԽ/ՖԽ հարաբերության գործակցի բարձրացումը վկայում է ֆոսֆատիդներգլիցերիդների քայլայման պրոցեսների, մասնավորապես ֆոսֆոլիպազա Ա2-ի ակտիվության բարձրացման մասին, իսկ ՖԽ/ՖԹ հարաբերության գործակցի նվազումը՝ ֆոսֆատիդներ-գլիցերիդների կենսասինթեզի ճնշման մասին:



Նկ. 1. Մրտամկանի ֆոսֆոլիպիդների փոփոխությունները:

Յետագոտությունների հաջորդ փուլը վերաբերվում է ՎԱՍ-167-ի արդյունավետության բացահայտմանը: ՎԱՍ-167 միացության ներորովայնային ներարկումից հետո դիտվում է կարդիոմիոցիտների բաղանքային բաղադրանասերի որոշակի կարգավորում: Այդ պայմաններում նկատվում է ԼֆԽ-ի՝ լիպոլիզի ցիտոսորբիկ արգասիքի մակարդակի նշանակալի նվազում, ինչպես նաև ՖԽ-ի պարունակության միաժամանակյա բարձրացում, որը վկայում է ֆոսֆոլիպազա Ա2-ի ակտիվության կանոնավորման մասին: Այդ պայմաններում նկատվում է նաև ՍՖՍ-ի, ՖՍ-ի և ՖԹ-ի պարունակության համարյա լրիվ նորմավորում: ՎԱՍ-167-ի օգտագործումը ուղեկցվում է նաև կարդիոմիոցիտների կարևորագույն բաղադրանասերի՝ ԴՖ-ի մակարդակի նորմավորմամբ, որն, անկասկած, կարող է կարևոր դեր խաղալ սրտամկանի ֆունկցիոնալ ակտիվության կարգավորման գործում:

Աղյուսակ 1. ՖԼ/ՖԼ հարաբերակցության փոփոխությունները սրտամկանում ԻՇ հետո

Հարաբերակցություններ	Ստուգիչ	ճառագայթում 10-րդ օրը	ՎԱՍ-167-ի ազդեցությունից հետո
ՉՖԼ/ԹՖԼ	4.5	1.5	3.02
ԼֆԽ/ՖԽ	0.1	0.8	0.3
ՖԽ/ՖԹ	11.7	1.6	12.8
ՖԽ/ՖՍ	16.3	1.7	3.4

Ստացված տվյալները վկայում են նաև ՖԼ/ՖԼ հարաբերության եական փոփոխությունների մասին: Արդյունքում ՉՖԼ/ԹՖԼ հարաբերաթյան գործակցը ճառագայթված կենդանիների համեմատությամբ բարձրանում է: ԼֆԽ/ՖԽ հարաբերությունը նվազում է, միաժամանակ բարձրանում է ՖԽ/ՖԹ և ՖԽ/ՖՍ հարաբերությունը՝ մոտենալով նորմային:

Այսպիսով, կարդիոմիոցիտների թաղանթային ֆուֆոլիպիդների փոխանակության ուսումնասիրությունների արդյունքները իոնիզացնող ճառագայթման և ՎՍՍ-167 միացության օգտագործումից հետո վկայում են 4-բութանոլիդների այդ ածանցյալի որոշակի կենսաբանական ակտիվության մասին, որն արտահայտվում է իոնիզացնող ճառագայթման հետևանքով խանգարված նյութափոխանակային ուղիների կանոնավորմամբ:

ԳՐԱԿԱՆՈՒԹՅՈՒՆ

1. *Арутюнян В.Ц., Коцикян Т.В., Аветисян А.А., Капзирский А.В. и др.* Сб.: "Актуальные проблемы экспериментальной и клинической медицины" (под ред. П.А.Казаряна). Ереван, 409–412, 1998.
2. *Казарян П.А., Саакян Л.С., Егиазарян А.Р. и др.* Ученые записки ЕГУ. Ереван, 86, 2002.
3. *Казарян П.А., Элоян Д.В.* Хроматографические методы (адсорбционная хроматография). Учебное пособие. М., 1982.
4. *Москалев М.И.* Отдаленные последствия воздействия ионизирующих излучений. "Медицина", М., 127, 1991.
5. *Рыскулова С.Т.* Радиационная биохимия плазматических мембран. "Медицина", М., 464, 1991.
6. *Светашев В.И.* Автореф. канд. дис. Владивосток, 25, 1973.
7. *Ярмоненко С.Л.* Радиобиология человека и животных. М., "Высш. шк.", 424, 1988.

Поступила 22.VII.2005

Биолог. журн. Армении, 3-4 (57), 2005

УДК 574.4:504.054

АНАЛИЗ МИКРОГАМЕТОФИТНОЙ ИЗМЕНЧИВОСТИ РАСТЕНИЙ СЕМЕЙСТВА *ROSACEAE* JUSS. В УСЛОВИЯХ ТЕХНОГЕННОЙ НАГРУЗКИ

С.Г. ЕРВАНДЯН, А.А. НЕБИШ, Р.М. АРУТЮНЯН

Ереванский государственный университет, лаборатория общей биологии, группа цитогенетики, кафедра генетики и цитологии, 375049

Представлены результаты исследования морфометрических параметров некоторых видов семейства *Rosaceae* Juss., у которых, как и при основном признаке – fertильности, наблюдалась генотипическая специфичность. Генотипы с оптимальными биометрическими показателями (персик, слива) могут представлять интерес с точки зрения биоиндикации. По изученным параметрам резких различий по пунктам исследования не прослежено.

Սերկայացվել են *Rosaceae* Juss. ընտանիքի որոշ տեսակների արական գամետոֆիտի նորֆոնտորիկ չափանիշների հետազոտության տվյալները, որոնց ինչպես նաև հիմնական՝ ֆերտիլության հատկանիշի վերաբերյալ, նկատվել են գենոտիպային առանձնահատկություններ: Միկրոգամետոֆիտի լավագույն չափանիշներով բնութագրվող գենոտիպերը (դեղձենի, սալորենի) կարող են հետաքրքրություն ներկայացնել կենսահոգիկացիայի առումով: Ուսումնասիրվող հատկանիշներով էական տարրերություններ ստուգիչ և փորձնական տարրերակներում չեն գրանցվել:

The morphometric parameters and fertility of male gametophyte of some species of *Rosaceae* Juss. family are investigated. The obtained results indicate that the registered variations are caused by specificity of a genotype. The taxons with the best parameters of pollen are of interest for bioindicational researches. Differences of pollen quality in control and experiment are not registered.

Микрогаметофит – пыльника – стерильность – апертура

Выявление закономерностей отклика биологических систем на воздействие факторов разной природы в различных экспериментальных системах и расшифровка наблюдаемых эффектов представляет не только несомненный теоретический интерес, но и является необходимым этапом в оценке состояния окружающей среды. Изменения климатических параметров природной среды, причиной которых могут быть и антропогенные факторы, способны вызывать различные нарушения, в том числе – дефектность пыльцевых зерен и зародышевых мешков, ограничение репродуктивных возможностей растений [2-5, 8]. Наличие гаплоидной фазы приводит к обязательному проявлению или же элиминации отрицательных мутаций [1, 6]. Проведенные на различных объектах исследования свидетельствуют, что анализ развития мужского гаметофита (пыльцы) оказывается чувствительным

методом выявления генотоксичности факторов различного характера [11-13]. Цель настоящей работы – изучение некоторых биометрических параметров мужского гаметофита ряда плодовых семейства *Rosaceae* Juss., которые наряду с определяющим показателем – стерильностью – позволят более полно охарактеризовать данную систему (мужской гаметофит) у растений, произрастающих в зоне размещения Армянской атомной электростанции (ААЭС).

Материал и методика. Исследования проведены на растениях, произрастающих в двух пунктах: окрестностях ААЭС – (I, опытный пункт) и на биостанции Ереванского госуниверситета около 30 км от ААЭС (ЕГУ - II пункт, контроль). В качестве анализируемого материала послужила зрелая пыльца следующих генотипов: персик обыкновенный (*Persica vulgaris* Mill, 2n=16), два сорта – Малача и Дзмернук груши обыкновенной (*Pyrus communis* L., 2n=34, 51, 68), слива домашняя (*Prunus domestica* L., 2n=16, 24, 32, 48, 64). Сбор материала проведен в период полного цветения, с разных ярусов естественных популяций деревьев. Оценка пыльцы проведена по следующим морфометрическим параметрам: диаметр, объем, число апертур, форма, гомогенность пылинок. В каждом варианте и для каждого признака подсчитано по 100 клеток. Диаметр пыльцевых зерен определен с помощью окуляр-микрометра, а объем – по формуле

$$D=1/6 \pi d^3,$$

где d – диаметр [10], коэффициент вариации определяли по формуле

$$C_v=S_x/x \times 100\%$$

где S_x – среднее квадратическое отклонение, x – средняя величина признака, а графическое изображение вариационных рядов составлено по Лакину [7]. Для придания вариационной кривой законченный, хорошо обозримый вид крайние из нулевых классов доведены до оси абсцисс [7]. Цитологическое исследование проведено на ацетокарминовых препаратах по общепринятой методике [9].

Результаты и обсуждение. Известно, что жизнеспособность и оплодотворяющая способность пыльцевых зерен, наряду с оптимальной fertильностью, обеспечивается и морфометрическими показателями. Свойственный для плодовых полиморфизм особенно ярко выражается именно в морфометрическом анализе пылинок. У исследуемых объектов данная особенность с определенным уровнем вариабельности наблюдается не только у разных видов, но и в пыльцевой популяции внутри вида. Доказательством этого является сравнительная оценка одного из важных морфометрических показателей – размера пылинок по их диаметру и объему. Отмечены таксоны, у которых величина пыльцевых зерен почти в два раза меньше пылинок других видов. К этим образцам относятся сорта груши и сливы обыкновенная. У сорта Малача в контроле и в опыте диаметр и объем составляли $33,64 \pm 0,72$ мкм, $19922,62$ мкм³ и $38,81 \pm 0,89$ мкм, $30592,10$ мкм³, а у Дзмернук – $35,14 \pm 0,92$ мкм, $22708,25$ мкм³ и $47,86 \pm 0,81$ мкм, $57371,53$ мкм³. У сливы эти показатели в контроле равнялись $49,84 \pm 0,85$ мкм, $64796,70$ мкм³, в опыте $40,80 \pm 0,96$ мкм, $35543,39$ мкм³. Крупными размерами отличалась пыльца растений персика, диаметр и объем пылинок которых достигал $56,43 \pm 0,98$ мкм, $94030,12$ мкм³ (контроль) и $60,49 \pm 0,27$ мкм, $115832,15$ мкм³ (опыт), т.е. диаметр почти в полтора раза больше, чем у вышеупомянутых форм. Как видно из таблицы, в основном резких колебаний по пунктам

Таблица. Некоторые биометрические показатели пыльцы у плодовых семейства *Rosaceae*

Название таксона	ААЭС							Норагюх							
	Стериль- ность, %	Размеры пылинок		Число пор (апертур), %				Стериль- ность, %	Размеры пылинок		Число пор (апертур), %				
		Диаметр, мкм	Объем, мкм ³	1	2	3	4		Диаметр, мкм	Объем, мкм ³	1	2	3	4	
Персик	8.4 ± 0.28	60,49±0.27	115832,15	10	7	83	0	12.80 ± 0.33	56,43±0.98	94030,12	15	12	73	0	
Груша, сорт Малача	4.17 ± 0.20	38,81±0.89	30592,10	15	18	53	14	21.40 ± 0.41	33,64±0.72	19922,62	10	7	71	12	
Груша, сорт Дэмернук	18.0 ± 0.41	47,86±0.81	57371,53	13	12	62	13	27.22 ± 0.45	35,14±0.92	22708,25	13	12	73	2	
Слива	6.30 ± 0.24	49,84±0.85	64796,70	10	7	82	1	9.96 ± 0.30	40,80±0.96	35543,39	15	7	76	2	

исследования в пределах вида по этим параметрам не зарегистрировано.

Для полноценной пыльцы немаловажное значение имеют и другие количественные показатели — величина отдельных пылинок и их форма, которые лежат в основе гетерогенности. Известно, что строение, величина и форма пыльцевых зерен — признаки систематические и для каждого вида они константны. В нашем опыте для исследованных форм вне зависимости от пункта выращивания растений средняя величина — единица относительно константного значения, а отмеченные отклонения не столь существенны (табл.). Вместе с тем, в общей массе цветочной пыльцы всех таксонов имеется огромное разнообразие: во всех вариантах величина отдельных пылинок варьирует от слишком мелких до гигантских размеров, а между ними всевозможные переходы. Как мелкие, так и гигантские пылинки в общем счете непригодны. В этом можно убедиться при подсчете диаметра отдельных пылинок (вариантов) и сочетании вариационных рядов. Сравнение частот модификационной изменчивости признака показало, что, как и следовало ожидать, преобладают средние величины, реже — отклонения от них (максимальные и минимальные значения). Причем, динамика варьирования с некоторым колебанием почти на одинаковом уровне шкалы для обоих пунктов. Число вариантов (размеры пыльцевых зерен, мкм) у сортов груши по пунктам исследования 6-7, у персика 6 (контроль) и 4 (опыт), а у сливы — 5 и 6. Графические изображения модификационной изменчивости признака сочетаются с коэффициентами вариации. По имеющимся сведениям, коэффициент вариации у разных видов разный: слабый — до 10%, средний — 11-25% и высокий — более 25%. У исследуемых нами таксонов эти значения составляли: у персика 17,37% и 12,25% (контроль-опыт), у Малача 21,40% и 22,93%, у Дзмернук 27,18% и 16,92%, у сливы 23,53% и 17,05%. Следовательно, у всех подопытных генотипов слабый коэффициент вариации. Как и при графических изображениях, имеется и некоторая относительность в этих пределах. У персика — самый короткий вариационный ряд и самый слабый коэффициент. Коррелирование этих показателей наблюдалось и у других объектов, с относительно длинными рядами и большим коэффициентом вариации. Из этих сочетаний можно судить и о морфологической гомогенности пыльцевой популяции. Естественно, пыльца генотипов с относительно длинным вариационным рядом и большим коэффициентом более гетерогенна. В этом аспекте проявлялась определенная корреляция между величиной пылинок и изменчивостью ряда: чем меньше размер пыльцевых зерен, тем длиннее вариационный ряд и высокий уровень коэффициента и более разнокачественна общая масса цветочной пыльцы (груша, слива). Интересной в этом аспекте оказалась пыльца персика, где при максимальной величине пылинок наблюдался низкий уровень стерильности (до 10%), более короткий вариационный ряд и минимальный коэффициент вариации (особенно в опыте). В то же время, в зависимости

от генотипа и средовых факторов, регистрируется определенная вариабельность. И это естественно, так как в природных популяциях растений развитие отдельных пылинок даже в пределах одного цветка зависит от множества факторов, а наличие абсолютно одинаковых условий невозможno.

Одной из характеристик качества пыльцевых зерен является число пор прорастания (борозд, апертур). У разных представителей растений оно различно и колеблется от одного до сорока. Наиболее часто встречаются пылинки с числом борозд от одного до трех. У покрытосеменных их число чаще всего равно трем. Как видно из таблицы, и у изученных нами объектов преобладают пылинки с тремя порами. Наряду с этим, у сортов груши отмечены пыльцевые зерна с заметной долей других значений (с 1, 2, 4 порами), которые чуть заметны в опытном пункте исследования. В пыльцевой популяции персика и сливы, у которых самое большое количество нормальных – трехбороздовых пылинок (75-85%), в пределах пыльцевых мешков наблюдалась проросшие пылинки – знак высокой жизнеспособности.

Другим биометрическим признаком считается форма пылинок, которая вместе с числом апертур и средними размерами пылинок определяет морфологическую гомогенность пыльцы и является константной систематической категорией для каждого вида. Вместе с этим, у всех видов растений наблюдалась широкая вариабельность. У изученных нами образцов основной является треугольная форма пылинок. Однако в общей массе немало различных форм: круглые, грушевидные, трапецевидные, цилиндрические, булавовидные и др. Причем, гамма причудливых форм больше у пылинок с мелкими размерами пылинок вне зависимости от пункта выращивания растений.

Вышеизложенное дает основание считать, что, несмотря на варьирование морфометрических параметров для изученных видов, они относительно константны и в большей степени контролируются генотипом. При этом средняя величина пылинок персика обыкновенного почти в два раза превышала ее значение для других таксонов. Пыльца этого вида выгодно отличалась и гомогенностью, и высокой fertильностью (до 92%). Последней характеристике соответствовала и популяция сливы (94%), что может дать возможность их включения в работы по мониторингу. Данные анализа исследуемых параметров микрогаметофита сортов груши с определенной степенью вариабельности соотношения контроль-опыт занимали по отношению к другим изученным видам промежуточное положение. Подытоживание совокупности биометрических показателей, по которому можно более полно охарактеризовать мужское гаметофитное поколение, приводит к выводу, что нет резких различий по пунктам исследования. По анализу морфометрических показателей не выявлено отрицательного влияния ААЭС на мужскую репродуктивную сферу подопытных генотипов.

ЛИТЕРАТУРА

1. Григорьев Ю.С., Пикарькова Н.В. Экология, 6, 471-473, 2001.
2. Дмитриева С.А. Цитология и генетика, 30, 4, 3-8, 1996.
3. Ерванян С.Г., Галукян М.Г. Радиобиология, 3, 31, 394-460, 1991.
4. Жуйкова Т.В., Безоль В.С., Позолотина В.Н., Северюлина О.А. Экология, 6, 432-437, 2000.
5. Куриный А.И. Цитология и генетика. 17, 4, 32-35, 1983.
6. Куриный А.И., Лекячус Р.К., Елисеев К.Г. и др. Экологический контроль за применением пестицидов-мутагенов. Метод. Рекомендации. Киев. 25, 1989.
7. Лакин Г.Ф. Биометрия. М., "Высшая школа", 352 с., 1990.
8. Никифоров Ю.Л. Успехи современной биологии. 78, вып. 2(5). 74, 1974.
9. Паушева В.П. Практикум по цитологии растений. М., Агрониздат, с. 256, 1988.
10. Плохинский И.М. Математические методы в биометрии. М., Изд-во Московского университета, 250-254, 1978.
11. Constantin M.S. In: Genotoxic Effect of Airborne Systems with Potential for the Detection of Atmospheric Mutagens. 159-177, 1984.
12. Plewa M.J. Short-Term Bioassays. IV Proc. Symp. Chapel Hill.N.C. Urbana, Illinois, USA. 45-64, 1984.
13. Sharma C.B. Environm. Agents, Articles and Lab. Meth. Workshop. BARC. Bombay, 27-31, 1982.

Поступила 29.VI.2005

Биолог. журн. Армении, 3-4 (57), 2005

УДК 575.24.581.15.581.3

КЛАСТОГЕННОСТЬ АРТЕЗИАНСКИХ ВОД АРМАВИРСКОГО МАРЗА С ПРИМЕНЕНИЕМ ТЕСТОВ Trad-MCN И *ALLIUM CEPA*

В.С. ПОГОСЯН, Э.А. АГАДЖАНЯН, А.Л. АТОЯНЦ, А.С.
ВАРЖАПЕТЯН, Р.М. АРУТЮНЯН

Ереванский государственный университет, лаборатория общей биологии, группа
цитогенетики и кафедра генетики и цитологии, 377049

Изучена, кластогенная активность подземных вод скважин Армавирского марза, используемых как для питья, так и для орошения. Выявлено, что в зависимости от изменения ионного состава воды отмечается повышение частоты кластогенного действия в спорогенных клетках традесканции (клона 02), а также частота хромосомных aberrаций в меристематических клетках *Allium cepa* L.

Ուսումնասիրվել է Արմավիրի մարզի խմելու և ոռոգման նպատակով օպտագործվող արտեզյան ջրերի կաստոգեն ազդեցությունը: Բացահայտվել է, որ կախված այլ ջրերի իրանակին կազմի փոփոխություններից դիտվում է կաստոգեն ազդեցության հաճախականության բարձրացում տրադեսկանցիայի սպորոգեն և *Allium cepa*-ի մերիսմատիկ բջիջներում:

Clastogene activity of underground waters of bore holes Armatavir marz was examined which was used both as drinking water and for irrigation. It was revealed that depending on changes of waters ion structure differs rise of frequency of clastogene action in sporogenous cells of tradescancia (clone 02), also frequency of chromosome aberration in meristematic cells of *Allium cepa*.

Традесканция клон 02 - микроядерный тест - *Allium cepa* - хромосомные aberrации - геномные мутации

В настоящее время, когда 80% вредных веществ, поступающих в окружающую среду, обладают мутагенными и канцерогенными свойствами, особое значение приобретает генетический мониторинг. При этом объектами исследования становятся не только природные популяции растений и животных, но и генотоксичность средовых факторов.

Целью настоящей работы явилось выявление и идентификация кластогенного действия подземных вод из некоторых буровых скважин Армавирского марза с применением растительных тест-систем. При этом изучалось наличие связи между частотой встречаемости микроядер в спорогенных клетках растений (являющихся результатом как структурных, так и численных aberrаций хромосом) и хромосомных aberrаций в somатических клетках.

Материал и методика. Объектом исследования служила вода из трех буровых скважин Армавирского марза - Джарарат, Звартноц и Апага, находящихся на разных

глубинах.

Для выявления кластогенной активности исследуемых вод были применены чувствительные тест-объекты: гетерозиготный по окраске цветка традесканции клона 02 [5] и *Allium sera* [6]. Для применения микроядерного теста традесканции (Trad-MCN) в водах изучаемых скважин были обработаны как непосредственно цветочные бутоны, так и черенки с цветочными бутонами. Фиксацию цветочных бутона проводили после 24-часовой обработки. Готовили временные ацетокарминовые препараты и анализировали тетрады микроспор по общепринятой методике [4].

Воздушно-сухие семена *Allium sera* обрабатывали водами изучаемых скважин в течение 18 ч. Выращивали их на фильтровальной бумаге. Проростки семян длиной 0,5-1 см фиксировали в ацеталкоголе (1:3). Анализ хромосомных аберраций проводили на временных препаратах, окрашенных ацетокармином. Определяли частоту хромосомных аберраций и геномные мутации. Была применена также статистическая компьютерная программа Statgraph Plus 2.1 ANOVA.

Результаты и обсуждение. Анализ полученных данных выявил чувствительность используемых критериев. Обнаружено, что в спорогенных клетках частота образования микроядер (МЯ) в тетрадах по тесту Trad-MCN преобладает спонтанный уровень в 1,4-1,6 раза, а частоту тетрад с микроядрами в 1,4-1,5 раза (табл. 1). Особенно высокий процент хромосомных аберраций отмечается в меристематических клетках проростков *Allium sera*. Такая закономерность сохраняется как при действии вод самой глубокой (150 м) из изученных скважин, так и у вод, находящихся на глубине 80-90 м (табл. 1).

Таблица 1. Частота мутаций в соматических и спорогенных клетках *Tradescantia clon 02* и *Allium sera* при действии вод из трех буровых скважин ($M \pm m$, %)

Скважины	<i>Tradescantia</i> клон 02		<i>Allium sera</i> L.	
	Частота тетрад с микроядрами	Частота микроядер в тетрадах	Аберрации хромосом	Геномные нарушения
Джрагат	10.86±0.56***	15.73±0.66***	0.60±0.14***	4.07±0.36***
Звартноц	6.97±0.46	9.57±0.53	0.20±0.08	2.37±0.28**
Алага	11.7±0.58***	17.80±0.69***	0.33±0.10*	2.57±0.29***
Контроль	7.75±0.48	11.24±0.57	0.07±0.05	1.23±0.20

*- $p<0.05$, **- $p<0.01$, ***- $p<0.001$

Известно, что артезианские воды являются растворами сложного состава с разнообразной минерализацией. В этих водах более 60 элементов, которые присутствуют в виде ионов недиссоциированных молекул и коллоидов. Среди них только некоторые наблюдаются в значительных количествах. К числу таких элементов относятся натрий, кальций, магний и хлор, присутствующие в виде простых (Na^+ , Ca^{2+} , Mg^{2+} , Cl^-) и сложных ионов (HCO_3^- , CO_3^{2-} , SO_4^{2-} , NO_3^-). Важнейшими ионами, определяющими минерализацию и химический тип воды, являются: Cl^- , SO_4^{2-} , HCO_3^- , CO_3^{2-} , Na^+ , Ca^{2+} , Mg^{2+} , называемые макрокомпонентами [2], которые присутствуют в изучаемых нами водах скважин. Однако частота их в водах разных буровых скважин в зависимости от их глубины неодинакова. Так в водах самой глубокой скважины - Джрагат в большом количестве находятся ионы Ca^{2+} , Cl^- и особенно HCO_3^- . Химическая смесь таких компонентов по сравнению со

спонтанным уровнем повышает частоту МЯ в тетрадах и тетрад с микроядрами в 1,4 раза. В водах скважины Апага, находящейся на глубине 80 м, концентрация всех семи элементов повышенна, и наиболее высока концентрация ионов Na^+ + K^+ , SO_4^{2-} и особенно HCO_3^- . Поэтому при действии вод скважины Апага отмечается наиболее высокий уровень как частоты микроядер в тетрадах микроспор, так и частоты тетрад с микроядрами. Среди вод трех скважин наименьшей частотой МЯ обладает вода, взятая из скважины Звартноц (табл. 1), которая имеет самую низкую кластогенную активность. Из химических элементов в этих водах отмечается наивысшая концентрация ионов Ca^{2+} , Mg^+ и HCO_3^- ; что касается ионов Na^+ + K^+ , то их содержание в 2,5 раза меньше, чем в водах скважины Апага. Следовательно, в тесте Trad-MCN максимальный уровень кластогенности выявлен при действии вод Апага, в которых в большом количестве находятся ионы Na^+ + K^+ . Ранее нами было показано, что уменьшение содержания ионов Na^+ в водах скважин Араратской равнины приводит к снижению частоты рецессивных мутационных событий у клона 02 традесканции [7]. Следовательно, при увеличении концентрации Na^+ + K^+ , а также SO_4^{2-} и HCO_3^- идет резкое повышение частоты образования МЯ в тетрадах микроспор.

Подобная закономерность, но с некоторыми изменениями отмечается и в соматических клетках корешков *Allium ceras*. Однако при применении данного теста из вод трех скважин наивысший уровень кластогенных изменений отмечается у вод скважины Джрагат, где частота хромосомных аберраций превосходит спонтанный уровень в 8,5 раза, а геномные мутации в 3,3 раза. Повышение кластогенных параметров у *Allium ceras* связано с повышением концентраций анионов SO_4^{2-} , HCO_3^- .

Нужно отметить, что из применяемых критериев наиболее чувствительным является тест Trad-MCN.

Представленные результаты позволяют предположить, что причиной различной ответной реакции растительных клеток на действие щелочных металлов является специфика взаимодействия щелочных металлов с клеточными структурами. Известно, что ионы K^+ , как все щелочные и щелочно-земельные металлы взаимодействуют с фосфатными группами ДНК [1]. Кроме того, активность более 60 ферментов, играющих важную роль в метаболизме растительной клетки, также зависит от присутствия K^+ [3].

Таким образом, можно заключить, что выявление концентрации щелочных металлов в водах изучаемых скважин оказывает достоверный кластогенный эффект в спорогенных клетках традесканции и повышает частоту аберраций хромосом в клетках корневой меристемы *Allium ceras*. Кластогенное действие щелочных металлов связано с их способностью вызывать аберрации хромосом, отставание и опережение целых хромосом в ана-телофазах, что может приводить к образованию геномных мутаций.

Таким образом, колебание частоты ионного состава подземных вод в зависимости от содержания щелочных металлов приводит к изменению эффекта кластогенности.

ЛИТЕРАТУРА

1. Благой Ю.П., Галкин В.Л., Гладченко Г.О. Металлокомплексы нуклеиновых кислот в растворах. Киев, Наукова думка, 225, 1991.
2. Михайлов А.Е. Гидрогеология, Л., Гидрометиздат, 263, 1985.
3. Пахомова В.М. Цитология, 37, 1, 66-86, 1995.
4. Grant W.F. Mutat. Res. 99, 273-291, 1982.
5. Ma T.H. Mutat. Roes., 99, 293-302, 1982.
6. Ma T.H., Cabrera G.L., Chen R., Cill B.C., Sanchhu S.S., Vandenberg A.L., Salamone M.F. Mutat. Res. 310, 221-230, 1994.
7. Pogosian V.C., Aghajanyan E.A., Atoyanants A.L. Mutat. Res. 518, 151-153, 2002.

Поступила 29.VI.2005

Биолог. журн. Армении, 3-4 (57), 2005

УДК 543.4: 535

ХЕМИЛЮМИНЕСЦЕНТНЫЙ АНАЛИЗ КАК МЕТОД ОПРЕДЕЛЕНИЯ ЧИСТОТЫ ВОД ИЗ РАЗЛИЧНЫХ ИСТОЧНИКОВ

А.Е. ЗАКАРЯН, Т.Е. СЕФЕРЯН

Ереванский государственный университет, кафедра биофизики, 375025

Экспериментально подтверждены возможности определения степени чистоты разных вод электрохемилюминесцентным методом. Путем изучения кинетики электрохемилюминесценции и пост-электрохемилюминесценции разных водных образцов показана высокая чувствительность последнего. Установлено, что электрохемилюминесцентный метод можно применять как быстрый, чувствительный и экономичный при определении степени чистоты разных вод.

Կատարվել է տարբեր ջրերի մաքրության աստիճանի որոշում էլեկտրոքիմիլյումինեսցենտային անալիզի մեթոդով: Դաստիարակվել է առաջարկվող մեթոդը՝ զայլությունությունը՝ տարբեր ջրերի էլեկտրոքիմիլյումինեսցենտան և հետ էլեկտրոքիմիլյումինեսցենտան կիրառիկաների ուսումնասիրմամբ: Ցույց է տրվել, որ էլեկտրոքիմիլյումինեսցենտային անալիզի մեթոդը կարելի է կիրառել որպես տարբեր ջրերի մաքրության աստիճանի որոշման արագ, զայլու և ոչ ծախսատար մեթոդ:

The possibility of determination of the purity level of different waters by method of chemiluminescence has been confirmed experimentally. The high sensitivity of the suggested method has been shown by studying of the kinetics of the chemiluminescence and the post-electrochemiluminescence of different waters. It has been proved that the method of electro-chemiluminescence can be used as a fast, sensitive, and affordable method of measurement for investigation of purity levels of different waters.

*Хемилюминесцентный анализ - свободные радикалы -
электрохемилюминесценция - фотозелектронный умножитель -
определение чистоты разных вод*

В настоящее время важнейшей экологической задачей является оценка показателей качества вод для питья, орошения и использования в производстве [4]. Как правило, применяемые для этого методы (химический анализ, pH измерения и т.д.) являются длительными, убыточными или имеют неудовлетворительную чувствительность [1]. Во избежание указанных недостатков был использован метод электрохемилюминесцентного (ЭХЛ) анализа, с помощью которого исследовались разные водные образцы и степень их загрязнения. Данный метод позволяет быстро получить суммарную информацию о находящихся в воде органических и неорганических соединениях [2].

Материал и методика. В основе метода лежит явление электрохемилюминесценции (ЭХЛ). В качестве изучаемых параметров рассматривали интенсивность и кинетические показатели ЭХЛ и пост-ЭХЛ исследуемых водных образцов. Исследования проводили с

помощью квантотметрической установки. В качестве детектора световых квантов применялся ФЭУ-140 [5]. Индукцию ЭХЛ проводили приложением постоянного электрического тока на платиновые электроды, погруженные в оптический стакан, наполненный водой в объеме 4мл. Расстояние между электродами 10мм, а величина напряжения на электродах составила 4В при силе тока 250mA. В качестве экспериментальных проб были использованы дистиллированная, питьевая (водопроводная) воды, входящая и исходящая вода, снабжающая производственные единицы завода хлоропренового каучука "Наирит". Образцы указанных вод были взяты в условиях безосадочной погоды из середины сточного русла в одно и то же время дня [3].

Результаты и обсуждение. Были изучены сравнительные ЭХЛ-показатели для питьевой и дистиллированной вод, где последняя служила контролем (рис.1). Согласно полученным данным, ЭХЛ дистиллированной воды имеет очень низкую интенсивность (рис.1, кривая 1), которая мало отличается от значения фона установки.

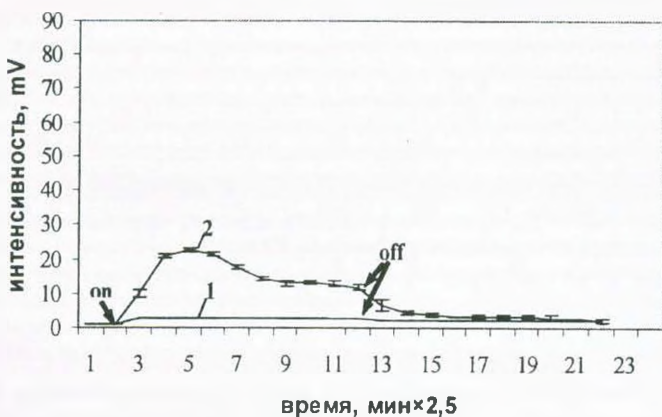


Рис. 1. ЭХЛ дистиллированной (1) и питьевой (2) вод.
on - момент включения тока; off - момент выключения тока.

Это обусловлено почти отсутствием диссоциированных ионов в изучаемом образце — потенциальных носителей для образования свободных радикалов, рекомбинация которых и обеспечивает генерацию световых квантов, т.е процесс ЭХЛ. При изучении питьевой воды регистрируется достаточно интенсивная ЭХЛ (рис.1, кривая 2). В этом случае значение интенсивности светоизлучения в течение первых 12 мин достигает своего максимума и затем переходит в стационарную fazу, свидетельствующую об установлении равновесного состояния свободнорадикальных процессов. При отключении тока в стационарной fazе ЭХЛ исчезает не сразу, а продолжается более 30 мин с экспоненциальным падением уровня свечения, что было впервые зарегистрировано в наших экспериментах.

В данном случае наблюдаемая ЭХЛ связана с присутствием в изучаемых образцах воды различных веществ неорганической и органической природы. Последние по мере электродиссоциации образуют ионы, которые в зависимости от их электрического знака либо окисляются, либо восстанавливаются на платиновых электродах с последующим образованием свободных радикалов (R^{\cdot}), рекомбинация которых приводит к генерации

световых квантов [1, 6], т.е к ЭХЛ по конечной схеме:



Из приведенного следует, что интенсивность свободнорадикального процесса, следовательно и интенсивность регистрируемой ЭХЛ, определяются присутствием в воде компонентов суммарных органических и неорганических веществ.

Данные, полученные в опытах с использованием в качестве изучаемых образцов входящих и исходящих вод, потребляемых заводом хлоропренового каучука "Наирит" (рис. 2), свидетельствуют о резком повышении уровня свечения ЭХЛ (особенно для исходящих вод, почти в 3,5 раза) по сравнению с этим показателем для дистиллированной и питьевой вод.

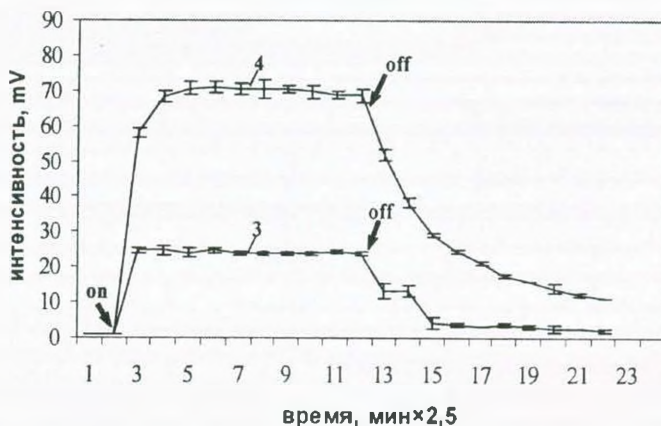


Рис. 2. ЭХЛ входящих(3) и исходящих(4) вод, потребляемых заводом хлоропренового каучука "Наирит".
on - момент включения тока; off - момент выключения тока.

Однако кинетические кривые в обоих случаях идентичны как для ЭХЛ, так и для пост-ЭХЛ во всех исследованиях, что указывает на общую природу изучаемого процесса. В данной работе суммирующие результаты всех проведенных экспериментов отображены на рис. 3.

Из обобщенных данных (рис.3) можно прийти к следующему ряду сравнения интенсивности ЭХЛ для всех исследуемых водных образцов:

ИЭХЛ "Наирит" исходная вода > ИЭХЛ "Наирит" снабжающая вода > ИЭХЛ обыкновенная питьевая вода > ИЭХЛ дистиллированная вода

Анализируя полученные результаты, видим, что уровень интенсивности ЭХЛ в различных пробах воды однозначно обусловлен качественным и количественным различиями органических и неорганических составляющих, присутствующих в воде, которые во время электролитной диссоциации могут вызывать свободнорадикальные процессы и индуцировать ЭХЛ. Основываясь на этих рассуждениях, метод ЭХЛ анализа можно рассматривать как быстрый физико-химический метод для определения степени чистоты разных вод.

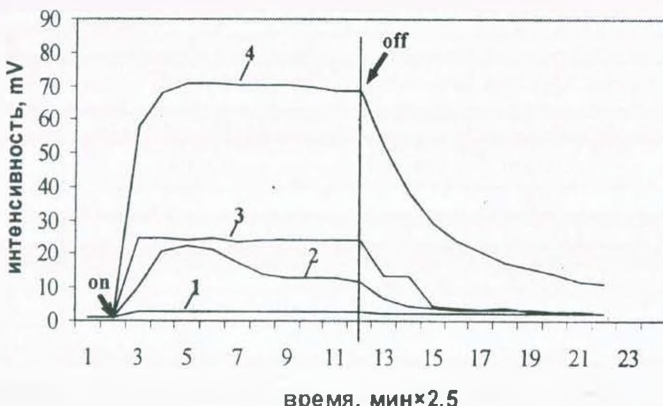


Рис. 3. Сравнительный график ЭХЛ разных вод
on - момент включения тока off - момент выключения тока

1. дистиллированная вода;
2. обыкновенная питьевая вода;
3. вода, снабжающая/входная/производственные единицы завода хлоропренового каучука "Наирит"
4. исходящая/исходная/вода из завода хлоропренового каучука "Наирит".

Предложенный метод будет более результативным, если данные, полученные этим методом, будут сопоставлены с таковыми, полученными известными применяемыми методами. Предполагается, что обсуждаемый метод может быть применен также для исследования водных экстрактов разных земель, следовательно, и для оценки ряда качественных свойств почвы.

ЛИТЕРАТУРА

1. Զաքարյան Ա.Ե., Ներկարարյան Ա.Վ., Պողոսյան Գ.Յ., Այվազյան Ն.Ս. Ազատ ռադիկալային գործներացների և թաղանթային կառուցների կենսաֆիզիկա: Երևան, Նորք գրատուն, 2003:
2. Դանիլին Ի.Ա., Ծննդյան Բ.Ի., Կօզմին Շ.Վ., Ռոտտ Ռ.Մ. Էկология, Հայաստան, 5, 397-400, 2002.
3. Захаров М.С., Захарчук Н.Ф. Электрохимические методы анализа природных и сточных вод, Новосибирск, Наука, 1985.
4. Мадон Л.Г. Методы анализа и очистки природных и сточных вод. Кишинев, Штиинца, 1985.
5. Brando J., Rio C.M.A. Chemical Physics Letters, 372, 866–872, 2003.
6. Zakaryan A.E., Gevorgyan E.S. Hi-Tech Directory, p.115, 2000.

Поступила 1.XII.2004

Биол. журн. Армении, 3-4 (57), 2005

УДК 612.82:613.646

РЕАКЦИЯ ПОКАЗАТЕЛЕЙ КРАСНОЙ ПЕРИФЕРИЧЕСКОЙ КРОВИ В УСЛОВИЯХ КОМБИНИРОВАННОГО ВЛИЯНИЯ ШУМА И КОРНЕЙ СОЛОДКИ

А.О. ОГАНИСЯН

Ереванский государственный университет, кафедра физиологии человека и
животных, 375025

При 30-дневном воздействии шума кормление кроликов корнями солодки значительно повышает интенсивность метаболизма и энергообеспечение клеток эритроидного ряда красного костного мозга, что стимулирует их пролиферацию и созревание, обеспечивает гомеостаз количественного состава показателей красной периферической крови в условиях длительного влияния стресс фактора-шума.

30-օրյա աղմուկի ազդեցության պայմաններում ճագարներին մատուտակի արմատներով կերակորումը զգալիորեն բարձրացնում է կարմիր ոսկրածութի էրիթրոցիտային շարքի քիչջների նյութափոխանակությունը և էներգիայով ապահովումը, որը իրանում է դրանց բազմացումը ու հասունացումը, ապահովում շրջանառու կարմիր արյան ցուցանիշների քանակական կազմի հոմեոստազը, լարումային գործոնի՝ աղմուկի երկարատև ազդեցության պայմաններում:

Obtained data testify, that in conditions 30-day's influences of noise feeding of rabbits by roots of *Glycyrrhiza glabra* L. considerably raises intensity of a metabolism and power supply erythrocytes row's cells of red bone brain, that stimulates them proliferation and maturing, provides a homeostasis of quantitative structure of red peripheral blood's parameters in conditions of long influence stress of the factor-noise.

Шум - корни солодки - показатели красной периферической крови

Научно-технический прогресс предоставил человеку множество технических приборов, которые, облегчая различные виды труда, в то же время являются стрессогенными факторами, так как не учитывают физиологические особенности человеческого организма. Это чревато развитием стресса со всеми его негативными последствиями и является серьезной медицинской и социальной проблемой.

Шум является одним из распространенных факторов окружающей среды, приводящих к возникновению стресса. Длительное воздействие шума высокой интенсивности и частоты в определенных условиях может влиять на все органы и системы целостного организма, вызывая разнообразные изменения в нервной, сердечно-сосудистой, пищеварительной системах, а также вызывать необратимую потерю слуха [4, 13, 14, 15]. Городской шум можно отнести к факторам риска возникновения нервной, гипертонической и ишемической болезней [14, 15].

Корни и корневища солодки голой (*Glycyrrhiza glabra* L.) широко

используются в медицине при профилактике и лечении различных заболеваний. В настоящее время из них получен ряд эффективных препаратов, обладающих противострессорным, адаптационным, антиоксидантным [2, 5, 8] и иммунотропным действиями [5, 7]. Экспериментально доказано, что подобные свойства корней солодки (КС) обусловлены содержанием в них целого ряда биологически и фармакологически активных веществ [2, 11].

Целью настоящей работы является изучение изменения показателей красной периферической крови кроликов в условиях комбинированного влияния шума и корней солодки.

Материал и методика. Эксперименты проводили на 18 половозрелых кроликах породы Шиншилла, которые подвергались воздействию стабильного шума (частота 1000 Гц, интенсивность 114 дБ) звукогенератором ЗГ-34 в течение 30 дней по два часа ежедневно. Корень солодки (Армения. Производитель - Кооп. "Антарам", Гавар – Цовазард, Лицензия N РА 1264) добавляли в пищу из расчета 150 мг на 100 г массы тела ежедневно. Кровь брали из краевой вены уха кроликов до и на 2, 5, 10, 20 и 30 дни комбинированного воздействия шума и КС. Определяли абсолютное количество эритроцитов, гемоглобина, ретикулоцитов и цветной показатель. Исследования проводили на трех группах: животных I группы подвергали воздействию 30-дневного шума, II – 20-дневному воздействию КС, а животные III группы 30-дневному комбинированному воздействию шума и КС.

Результаты и обсуждение. Анализ полученных данных (таблица) показал, что на 2-й день воздействия шума (I группа) наблюдалось гиперхромное повышение абсолютного количества эритроцитов, гемоглобина и ретикулоцитов соответственно на 10,4%, 5,6%, 11,9% по сравнению с нормой. Такие изменения обусловлены активацией симпатических механизмов перераспределения периферической крови, а также ускорением выхода ретикулоцитов из костного мозга. Начиная с 5-го дня наблюдалось гипохромное понижение абсолютного количества эритроцитов и содержания гемоглобина. Так, на 5, 10, 20 и 30 дни количество эритроцитов понижалось на 13,3%, 22,8%, 9,1% и 26,7%, а содержание гемоглобина – на 4,6%, 9,8%, 7,9% и 13,2% соответственно. Максимальное уменьшение отмечалось на 30-й день опыта. Однако в эти дни наблюдалось достоверное увеличение относительного и абсолютного количества ретикулоцитов (кроме 30-го дня). Сдвиги последнего связаны, возможно, с активацией выброса незрелых эритроцитов из костного мозга в кровяное русло, что, по-видимому, имело компенсаторное значение. Уменьшение отмеченных показателей свидетельствует об угнетении эритропоэза.

Данные, полученные на животных I группы, согласуются с данными наших предыдущих работ [6], в которых показано, что в периферической крови озученных кроликов наблюдалось понижение количества эритроцитов, гемоглобина и кислородной емкости крови. Отмеченные сдвиги объясняются подавлением функции надпочечников [9, 12] при длительном (10 и 30 дней) шумовом воздействии, о чем свидетельствует снижение содержания 11-ОКС, адреналина и норадреналина, понижение количества эозинофилов, лимфоцитов периферической крови и увеличение массы надпочечников. Характер таких изменений лейкоцитов (в препаратах крови) и надпочечников наблюдался и в наших экспериментах.

Таблица. Изменение показателей красной периферической крови кроликов под воздействием шума и корней солодки

Дни опыта	Исследуемые показатели				
	Количество эритроцитов, млн	Содержание гемоглобина гр %	Цветной показатель	Относительное количество ретикулоцитов, %	Абсолютное количество ретикулоцитов, 1 мм ³ крови
I группа					
Норма	6.93±0.32	15.2±0.4	1.09	15.9±0.4	11018.7±593.6
2	7.65±0.35	16.8±0.27*	1.20	17.0±0.6	13005.0±637.2
5	6.01±0.29*	14.5±0.05	1.38	25.18±1.6***	15133.2±1116.6*
10	5.35±0.21	13.7±0.17	1.41	25.0±0.6***	13375.0±639.4*
20	6.30±0.16*	4.0±0.02	1.21	20.66±0.9**	13015.8±590.1*
30	5.08±0.12**	13.2±0.36*	1.32	14.0±0.4*	7112.0±250.8**
II группа					
Норма	4.94±0.15	13.6±0.1	1.38	15.0±0.3	7410.0±290.6
5	5.14±0.13*	14.3±0.2*	1.40	17.1±0.6***	8789.4±320.7***
10	5.49±0.09*	15.1±0.4*	1.39	15.3±0.4	8399.7±351.2
20	5.53±0.32	14.4±0.8	1.30	20.5±0.6***	11336.5±493.3***
III группа					
Норма	5.01±0.16	13.6±0.1	1.36	13.3±0.5	6663.3±411.1
5	4.82±0.20**	11.3±0.3***	1.11	14.2±0.5***	6844.4±54.4***
10	4.96±0.01**	11.8±0.2***	1.20	15.0±0.3	7440.0±0.02
20	4.51±0.22**	13.3±0.3***	1.47	20.0±0.4**	9020.0±237.5
30	5.14±0.36**	14.5±0.2***	1.42	23.7±0.6	12181.8±445.7**

Примечание: *p<0,05-0,02; **p<0,01; ***p<0,001

У кроликов II группы при 20-дневном вскармливании корнями солодки отмечалось постепенное нормохромное повышение количества эритроцитов, гемоглобина, а также ретикулоцитов, максимум которых отмечался на 20-й день исследования и превышал норму на 11,0%, 13,2%, 36,0% соответственно.

Клетки эритроидного ряда в процессе развития претерпевают не только структурные, но и метаболические превращения. Ядерные эритроидные клетки способны к большинству метаболических реакций, характерных для тканевых клеток организма. В частности, в них наблюдается активный обмен нуклеиновых кислот, что объясняет способность этой клеточной популяции к пролиферативным реакциям. В ретикулоцитах обмен веществ происходит аэробным и анаэробным, а у нормоцитов – анаэробным путем.

При стрессовых состояниях, развивающихся в тканях гипоксии, энергетические потребности клеток в кислороде могут удовлетворяться в течение короткого времени за счет ограничения запасов энергии, а также анаэробного гликолиза. Однако этих источников энергии недостаточно, и они могут использоваться лишь в течение небольшого времени. При анаэробном метаболизме потребность клеток в глюкозе больше и естественное поступление последней обычно не может длительно удовлетворять ее. Предполагается, что содержащиеся в корнях солодки моно- и дисахариды

(до 20%), а также водорастворимые полисахариды [2, 5] имеют компенсаторное значение для обеспечения потребности тканей в этих веществах, что и стимулирует аэробный и анаэробный метаболизм, следовательно, и энергообеспечение клеток эритроидного ряда костного мозга.

Определяли также активность сукцинатдегидрогеназы (СДГ) в некоторых структурах мозга и органах. СДГ является типичным представителем флавоновых ферментов, в состав которых входит железо [3, 10]. Предполагается, что повышение активности СДГ под влиянием КС, являющейся богатейшим флавоноидсодержащим объектом [1], в гипоталамусе (60,4%) и надпочечниках (25,3%), регулирующих эритропоэз, свидетельствует об активном участии флавоноидов, содержащихся в КС в процессе эритропоэза.

Однонаправленные сдвиги показателей периферической крови кроликов под влиянием 20-дневного кормления КС дают основание предполагать, что содержащиеся в солодке кортикостероидоподобные вещества влияют на внутриклеточные обменные процессы клеток эритроидного ряда костного мозга, что в свою очередь ведет к повышению дифференциации клеточных форм, ускорению процесса созревания, в результате чего наблюдается высокий уровень эритроцитов и ретикулоцитов периферической крови по сравнению с нормой.

У кроликов, подвергавшихся 30-дневному комбинированному воздействию шума и корней солодки (III группа), наблюдалось умеренное понижение количества эритроцитов до 20-го дня исследования по сравнению с данными I группы (табл.). На 30-й день указанные показатели превышали норму. Аналогично повышалось относительное и абсолютное количество ретикулоцитов во все дни исследований: на 5-й день оно составляло 22,3%, на 10-й – 12%, на 20-й – 50,3%, а на 30-й – 78%, что свидетельствует об усилении пролиферации и созревания в красном ростке костного мозга.

Таким образом, согласно нашим данным, содержащиеся в корнях солодки голой биологически активные вещества значительно улучшают метаболизм и энергообеспечение клеток эритроидного ряда костного мозга, что в свою очередь ведет к стимуляции пролиферации и их созревания, обеспечивает гомеостаз количественного состава показателей красной периферической крови в условиях длительного влияния стресс фактора – шума.

ЛИТЕРАТУРА

1. Аммосов А.С., Литвиненко В.И. Хим. фарм. производство. Обзорн. имформ. НИИЭМП, М., 1, 32-39, 1998.
2. Бондарев А.И., Зарудий Ф.С., Русаков И.А. Хим. фарм. журн., 10, 33-39, 1995.
3. Гуляев В.Г., Лянцева С.Ф., Гуляев П.В. В сб. 4-й Российский национальный конгресс "Человек и лекарство". М., 256, 1997.
4. Некипелов М.Н. Тез. докл. научн. сессии и регион. конф. "Проблемы мед. экологии и здоровья человека в Сибири". Иркутск, 26, 1996.
5. Оболенцева Г.В., Литвиненко В.И., Аммосов А.С. и др. Хим. фарм. журн., 8, 24-31,

1999.

6. Оганисян А.О., Акопян С.А. I научн. конф. высших учебных заведений Закавказья по проблемам физиологии. Баку, 100-102, 1979.
7. Оганисян А.О., Оганесян К.Р., Авакян А.Д. Журн. БИО, 7 (34), 10-11, 2003.
8. Оганисян А.О., Оганесян К.Р., Минасян С.М. Росс. физиол. журн. им. И.М. Сеченова, 89 (12), 1491-1445, 2003.
9. Родионова Л.П. II Всесоюзн. конф. "Эндокринная система организма и вредные факторы внешней среды". Тез. докл., Л., 70, 1983.
10. Рябов С.И. Основы физиологии и патологии эритропоэза. Л. 1971.
11. Соколов С.Я., Замотаев И.П. Справочник по лекарственным растениям. Фитотерапия. М., 208-211, 1988.
12. Хухрина Л.А., Кадыскина Е.Н. II Всесоюзн. конф. Эндокринная система организма и вредные факторы внешней среды. Тезисы докладов, Л., 208, 1983.
13. Цанева Л., Балычев Ю. Гигиена и санитария 3, 18-21, 1999.
14. Язбурукис Б.И., Карпинская Т.В. Клиника, диагностика, лечение. М., 96-100, 1995.
15. Jovanovic J., Popovic V., Milosevic Z. Fakta Univ. Ser. Med. and Biol., Univ. Nis., 4 (1), 57-61, 1997.

Поступила 22.VII.2005

Биолог. журн. Армении, 3-4 (57), 2005

УДК 577.32

ВЗАИМОДЕЙСТВИЕ ФОСФОГЛИЦЕРАТ МУТАЗЫ И ЕНОЛАЗЫ И ВЫЯВЛЕНИЕ ЭФФЕКТА ТУННЕЛИРОВАНИЯ ПРИ ПОМОЩИ КОМПЬЮТЕРНОЙ СИМУЛЯЦИИ

Д.Э. АКОПЯН

Институт молекулярной биологии НАН Армении, 375014, Ереван

С использованием метода молекулярной динамической симуляции получена картина взаимодействия фосфоглицерат мутазы и енолазы, взятых из дрожжей. Рассмотрены две ориентации, где активные центры ферментов расположены преимущественно друг против друга для выявления возможного эффекта туннелирования. Показано, что ферменты склонны взаимодействовать именно своими околоактивными центрами. Полученное взаимодействие между околоактивическими центрами является необходимым условием для наличия метаболического туннеля посредством прямой передачи промежуточного продукта.

Օգտագործելով մոլեկուլային դիմամիկ սիմուլյացիոն մեթոդ, հաջողվեց ստանալ խմբամկից վերցված ֆուֆոգլիցերատ մուտազի և ենոլազի միջև փոխազդեցության պատկեր: Դիտարկվել է մուտազի և ենոլազի երկու տարբեր դիրքորոշումներ, որտեղ ֆերմենտների ակտիվ կենտրոնները ուղղված են եղել հնարավորին չափով միջանց դեմ, որպեսզի գրանցել հնարավոր թունելային անցման երևույթը: Ցույց է տրվել, որ ֆերմենտները հակած են փոխազդելու, իենց իրենց ակտիվ կենտրոններին կից հատվածներով: Գրանցված ակտիվ կենտրոնների փոխազդեցությունը անհրաժեշտ պայման է մետաբոլիկ թունելի ստեղծման համար:

Molecular dynamics simulation has been used to investigate interaction between phosphoglycerate mutase and enolase taken from yeast. Two orientations have been observed where active sites of enzymes have been oriented toward each other for detection of possible channelling. It has been shown that enzymes are inclined to interact with each other with their catalytic regions. This interaction is a necessary condition for channelling to occur by means of direct transfer mechanism.

Фосфоглицерат мутаза - енолаза - эффект туннелирования

Гликолиз это процесс преобразования глюкозы в пируват с дальнейшим превращением в лактат или этанол или с вовлечением его в процесс окислительного фосфорилирования. Гликолиз играет ключевую роль как в клетках эукариот, так и прокариот. Основную роль в процессе преобразования играют девять ферментов. Наиболее распространенная модель процесса преобразования считается модель цепочечного взаимодействия [12]. В рамках этой модели каждый из девяти ферментов катализирует преобразование субстрата (первичного или промежуточного), который затем путем диффузии переходит к следующему ферменту. Уменьшение интенсивности или блокировка процесса преобразования, вызванная, например, бактерией

Trypanosoma brucei у человека, является причиной сонной болезни [5].

Появление эффекта туннелирования может способствовать повышению эффективности метаболического потока, снижению времени перехода метаболита от активного центра текущего фермента к активному центру следующего и предотвращению диффузии метаболита [10]. Формирование метаболического туннеля (м.т.) может быть результатом как статического, так и динамического взаимодействия. Особенно интересны процессы динамического взаимодействия, где могут проявляться регуляторные особенности процессов взаимодействия.

Часто ферменты, взаимодействуя друг с другом, образуют динамические комплексы, что частично объясняется слабыми силами взаимодействия между ними [12]. М.т. может существовать как система организации микрокомpartmentа (microcompartment organization) или может реализоваться при помощи прямой передачи (direct transfer) метаболита между активными центрами взаимодействующих ферментов. Прямая передача является крайним случаем метаболитного компартмента, когда концентрация буферизованного метаболита внутри фермента равна нулю и имеет место его перенос без взаимодействия со средой из активного центра первого фермента к активному центру второго [10]. В ряде случаев было показано существование м.т. в виде механизмов прямой передачи и компартментной организации между динамически связанными гликолитическими ферментами, таких как альдолаза и глицеральдегид 3-фосфат дегидрогеназа и глицеральдегид 3-фосфат дегидрогеназа и фосфоглицераткиназа [10].

Известны исследования, в которых было изучено взаимодействие гликолитических ферментов, альдолазы и глицеральдегид 3-фосфат дегидрогеназы для выявления м.т. методом молекулярной динамической симуляции [9]. При помощи этого метода компьютер используется как виртуальная лаборатория, где можно, в частности, исследовать взаимодействие белков на уровне каждого атома [11]. Метод симуляции молекулярной динамики, будучи сравнительно новым для изучения биологических процессов, является одним из самых перспективных методов анализа поведения белковых взаимодействий.

Целью данной работы было изучение взаимодействия фосфоглицерат мутазы и енолазы с использованием нового метода молекулярной динамики.

Материал и методика. Исследовалось взаимодействие фосфоглицерат мутазы и енолазы, выделенных из дрожжей. Компьютерная симуляция была проведена с помощью кристаллических структур этих ферментов, полученных рентгеноструктурным анализом. Подобные белковые структуры можно найти в общедоступной интернет базе RCSB Protein Data Bank [3]. Коды мутазы (КФ 5.4.2.1) и енолазы (КФ 4.2.1.11) в базе обозначены соответственно 1QHF [6] и 2ONE [14]. Для молекулярной динамической симуляции использовали программу CHARMM [4].

Имеющиеся в фермент-субстратном комплексе мутаза-3-фосфоглицерат, две молекулы субстрата при помощи программы HyperChem [8] были преобразованы в 2-фосфоглицерат для исследования пост-катализического взаимодействия мутазы с енолазой, а также возможной прямой передачи метаболита между мутазой и енолазой.

Известно, что у дрожжей оба фермента являются димерами. 2-фосфоглицерат и фосфоенолпируват были удалены из начальной структуры енолазы для освобождения активных центров последней. При помощи компьютерной симуляции были исследованы две ориентации ферментов. В обоих случаях активные центры были ориентированы друг против друга для более вероятного обнаружения взаимодействия и возможного создания метаболического туннеля.

Двум остаткам 2-фосфоглицерата был дан заряд -3e в единицах заряда электрона. Эти три отрицательных заряда для каждого субстрата были распределены между одним из атомов кислорода, связанным с первым атомом углерода, и между двумя атомами кислорода, связанными с атомом фосфора (неорганический фосфат). Мутаза имела заряд +6e, с зарядом +3e на каждую субъединицу. Один из этих трех положительных зарядов приходился на активный центр Гис8 (протонированного атома азота). Остальной заряд +2e получился как результат суммирования положительных и отрицательных зарядов R-групп аминокислотных остатков, входящих в состав субъединицы мутазы. Енолаза получила заряд -8e (-4e на каждую субъединицу димера), что было результатом четырех некомпенсированных аминокислот с отрицательными R-группами в составе субъединицы енолазы. Ферменты были помещены в водяную коробку (куб), размерами 173x173x173 Å³ на расстоянии 10 Å³ друг от друга. Были добавлены ионы Na⁺ и Cl⁻ в концентрации 150 mM и ионы Mg²⁺ в концентрации 3 mM, причем два из последних были расположены непосредственно около активных центров енолазы. Общий заряд был равен нулю. Общее число атомов в каждой из двух систем составляло около 150000.

Результаты и обсуждение. Ранее была показана специфичность взаимодействия мутазы и енолазы у дрожжей [1, 7]. Симуляция, представленная в настоящей работе, была сделана на специальном кластере (ArmCluster), который был любезно предоставлен Институтом информатики и проблем автоматизации НАН Армении. Общее время симуляции заняло примерно 23800 ч процессорного времени с использованием 32 процессоров с частотой 3ГГц. За это время было симулировано 0.5 наносекунд (н.с.) биологического времени для двух ориентаций мутазы и енолазы.

Как и у многих ферментов, в активный центр енолазы входит гистидин (Гис), занимающий 159-ю позицию в аминокислотной последовательности. Для каждой субъединицы димера у мутазы гистидин активного центра занимает 181-ю позицию. Два 2-фосфоглицерата с начала симуляции были расположены около активных центров мутазы. Эти два метаболита связываются водородными связями с аминокислотными остатками мутазы [6]. То что мутаза и енолаза так или иначе взаимодействуют друг с другом очевидно хотя бы из того, что среднее расстояние между гликолитическими ферментами в цитоплазме намного меньше размеров самих ферментов [2]. Далее из того факта, что число метаболитов в цитоплазме намного ниже числа самих ферментов, следует, что катализическая эффективность ферментов намного ниже своего возможного максимального значения [10]. В связи с этим было показано, что из-за превосходящей концентрации ферментов, кроме своих биологических функций, гликолитические ферменты могут нести также и физиологическую функцию, возможно, они выполняют и буферную роль для метаболитов, чья свободная (не связанная с ферментами) концентрация в цитоплазме незначительна по сравнению с концентрацией связанных метаболитов [13]. Отсюда можно предположить, что вероятность

сцепления метаболитов с гликолитическими ферментами в процессе свободной диффузии мала, так как уже имеет место преобладающая компартментная организация (забуференный метаболит).

Как было сказано выше, для детекции метаболического туннеля, проявляющегося через прямую передачу метаболита между активными центрами ферментов, были изучены две ориентации мутазы и енолазы.

Для первой ориентации активный центр второй субъединицы мутазы (где находится второй 2-фосфоглицерат) расположен напротив активного центра второй субъединицы енолазы, а для второй ориентации активный центр второй субъединицы мутазы находился напротив активного центра первой субъединицы енолазы.

На рис. 1а и 1б показаны начальные конфигурации обеих ориентаций.

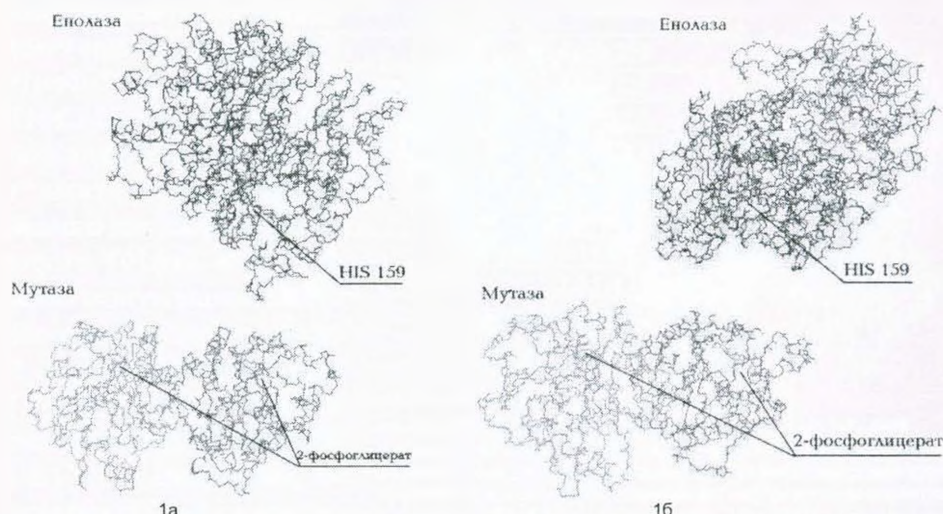


Рис. 1а, б. Начальные конфигурации мутазы и енолазы для обеих ориентаций. Активный центр одной из субъединиц енолазы для каждой ориентации расположен непосредственно над одним из активных центров мутазы, где находится 2-фосфоглицерат субстрат.

Для наглядности показана только основная полипептидная цепь ферментов, где удалены R-группы аминокислот, а также молекулы воды и ионы.

На рис. 2а и 2б показаны те же системы после 0.5 н.с. симуляции. Из рис. видно, что активные центры енолазы и мутазы склонны взаимодействовать. Последнее является необходимым условием для появления м.т.

В таблицах приведена энергия взаимодействия (как сумма электростатической и Ван дер Вальсовой энергии) наиболее активно взаимодействующих аминокислот енолазы и мутазы соответственно, после 0.5 н.с. симуляции для второй из ориентаций, которая наиболее наглядно отображает картину взаимодействия.

Все расчеты по выявлению взаимодействующих аминокислотных

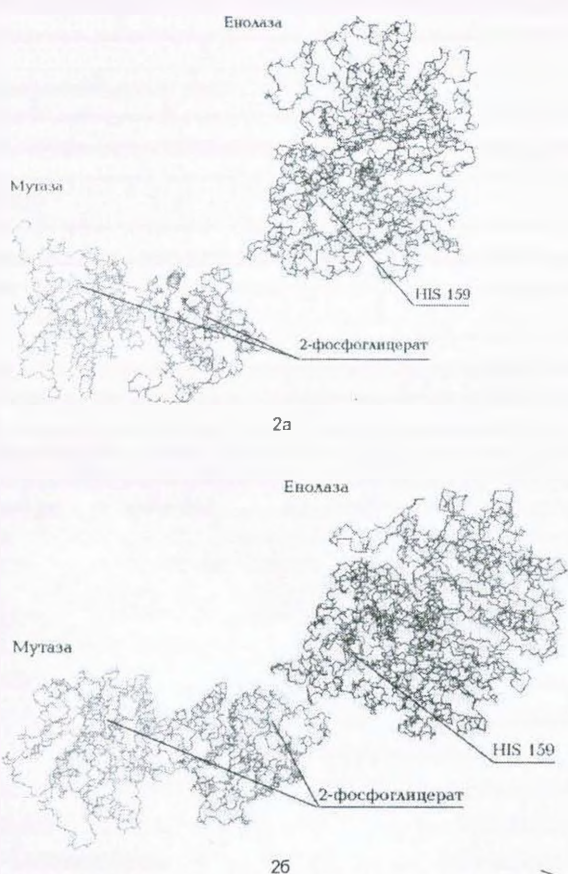


Рис. 2а, б. Ориентация мутазы и енолазы для тех же конфигураций после 0.5 наносекундной симуляции. Очевидно, что есть взаимодействие околоактивного центра, именно енолазы с активным центром мутазы, где находится 2-fosфоглицерат субстрат.

Таблица 1. Энергия взаимодействия аминокислотных остатков енолазы с фосфоглицерат мутазой

Аминокислотный остаток первой субъединицы (A) енолазы	Полная энергия взаимодействия, ккал/моль
Асп 255	-106.79346
Лиз 254	-14.25917
Лиз 257	-5.88858
Лиз 53	2.90772
Асн 264	-2.38028
Фен 253	2.19422
Глу 251	1.66430
Асп 259	1.50227
Лиз 269	1.45469

остатков ферментов были проведены той же программой CHARMM. Для каждой аминокислоты мутазы и енолазы была вычислена энергия взаимодействия с взаимодействующим ферментом, а также расстояние данного остатка от того же фермента. При сравнении этих данных для мутазы и енолазы стала возможным следующая детализация по аминокислотным остаткам. Взаимодействующие участки являются Арг7-Фен19, Лей27-Арг37, Лиз95-Сер115 и Ала198-Иле209 для фосфоглицерат мутазы и Сер249-Сер270 для енолазы. Арг114 и Лиз202 второй субъединицы мутазы самые сильно взаимодействующие с енолазой (Асп255, табл. 1.) аминокислоты (табл. 2.), находящиеся соответственно на расстоянии 1.7 и 1.8 Е от остатка Асп255 енолазы.

Энергия отталкивания между остатками Лиз30 мутазы (табл. 2.) и Лиз269 (положительный знак энергии взаимодействия свидетельствует о превосходящей электростатической энергии между двумя положительно заряженными аминокислотами Лиз по сравнению с их ван дер Вальсовской энергией взаимодействия) почти полностью компенсируется энергией притягивания между Глу34 мутазы (табл. 2.) и тем же остатком Лиз269 енолазы (табл. 1). Кроме того, аминокислоты Глу106 мутазы и Лиз254 енолазы также показывают сильную положительную связь (табл. 1 и 2).

Таблица 2. Энергия взаимодействия аминокислотных остатков мутазы с енолазой

Аминокислотный остаток второй субъединицы (Б) мутазы	Полная энергия взаимодействия, ккал/моль
Лиз 202	-57.16209
Арг 114	-44.27127
Лиз 30	18.25827
Глу 34	-12.05011
Глу 106	-10.68117
Асн 14	-3.66183
Гли 10	3.14232
Лиз 103	2.95263
Глу 15	-2.51458
Лиз 102	1.75434
Лиз 97	-1.59517
Арг 113	-1.38120
Асн 110	1.06484

Для второй ориентации (рис. 2б) аминокислота Лиз269 енолазы наиболее сильно взаимодействует с 2-фосфоглицератом с энергией взаимодействия, равной -0.84136 ккал/моль на расстоянии 6.8 Å.

Таким образом, для двух различных ориентаций фосфоглицерат мутазы и енолазы было показано, что они склонны взаимодействовать между своими околоактивными участками. Это является необходимым фактором для туннелированного перехода посредством прямого переноса метаболита между активными центрами ферментов.

В настоящее время эксперименты по симуляции для получения более объемлющей картины взаимодействия продолжаются.

ЛИТЕРАТУРА

1. Акопян Д.Э., Назарян К.Б. Докл. НАН Армении, 105, 3, 283-288, 2005.
2. Batke J. J.Theor.Biol., 152, 41-46, 1991.
3. Berman H.M., Westbrook J., Feng Z. et al. "The Protein Data Bank." Nucleic Acids Research, 28, 235-242. Website: <http://www.rcsb.org/pdb/>, 2000.

4. Brooks B.R., Bruccoleri R.E., Olafson B.D., et al. J.Comp.Chem., 4, 187-217, 1983.
5. Chevalier N., Ridgen D.J., Joris Van Roy et al. Euro.J.Biochem., 267, 1464-1472, 2000.
6. Crowhurst G.S., Dalby A.R., Isupov M.N., et al. J.Biol.Cryst., 55, 1822-1826, 1999.
7. Hakobyan D., Nazaryan K. J.FEBS, 272, Supplement 1, 2005.
8. HyperChem™ Professional 7.51, Hypercube, Inc., 1115 NW 4th Street, Gainesville, Florida 32601, USA.
9. Ouporov I.V., Knull H.R., Huber A. et al. J.Biophys., 80, 2527-2535, 2001.
10. Ovadi J. J.Theor.Biol., 152, 1-22, 1991.
11. Rapaport D.C. The Art of Molecular Dynamics Simulation, Cambridge Univ. Press, 1995.
12. Salerno C., Ovadi J., Churchich J. et al. Mechanism of Action and Regulation of Enzymes, Budapest, 147-160, 1975.
13. Srivastava D.K. J.Theor.Biol. 152, 93-100, 1991.
14. Zhang E., Brewer J.M., Minor W., et al. Biochemistry, 36, 12526-12534, 1997.

Поступила 11.VII.2005

Биолог. журн. Армении, 3-4 (57), 2005

УДК 591.1.05.

ВЛИЯНИЕ РЕНТГЕНОВСКОГО ОБЛУЧЕНИЯ НА АКТИВНОСТЬ ФЕРМЕНТОВ МЕТАБОЛИЗМА ПРОЛИНА У ФАСОЛЕВОЙ ЗЕРНОВКИ *ACANTHOSCELIDES OBTECTUS SAY*

А.Х. АГАДЖАНЯН, А.М. КАРАПЕТЯН, А.А. АГАДЖАНЯН,
М.С. МАРТИРОСЯН, Г.С. МИСАКЯН, Р.Р. МАРКОСЯН

Ереванский государственный университет, кафедра биохимии, 375049

Установлено, что количество свободного пролина у жуков фасолевой зерновки значительно увеличивается в течение их созревания. У молодых жуков, которые были подвергнуты рентгеновскому облучению, содержание свободного пролина увеличивается в три раза по сравнению с интактными жуками, в то время как у зрелых (10-дневных) жуков оно увеличивается незначительно. Содержание свободного пролина возрастает также у жуков, вышедших из подвергнутых рентгеновскому облучению личинок. Установлено, что под действием рентгеновских лучей активность ферментов биосинтеза пролина повышается, а активность ферментов его катаболизма падает.

Դաստիարակվել է, որ ազատ պրոլինի քանակությունը լորով ընդակերի բգեզներու նրանց հասունացմանը զուգընթաց ավելանում է: Ունտգենյան ճառագայթների աղեցությանը ենթարկված լորով ըստակերի երիտասարդ բգեզներում ազատ պրոլինի քանակությունը չխռագայթված բգեզների համեմատությամբ ավելանում է շուրջ 3 անգամ, իսկ հասուն ծևերի մոտ ճառագայթման աղեցությամբ, նրա քանակը քիչ է ավելանում: Պրոլինի քանակությունը ավելանում է նաև այն բգեզներում, որոնք ծևավորվել են ճառագայթված թթուուներից: և այն բգեզներում, որոնք անցեցի են ճառագայթված լորով մեջ: Պարզվել է նաև, որ պրոլինի կենսասինթեզի ֆերմենտների ակտիվությունը ռենտգենյան ճառագայթների աղեցությամբ բարձրանում է, իսկ կատարուիզմի ֆերմենտների ակտիվությունը, ընդհակառակ՝ ընկճպում է:

The quantity of proline in haricot beetles increase during it's ripen. In young beetles, which were exposed to the influence of X-rays, contents of free proline is increased 3 times, at comparison with non-radiated beetles, and in radiated mature (10 daily) beetles, the quantity of free proline is increased only a few. The content of free proline also increases in beetles, which are ripen from radiated larvae. The activity of enzymes of proline biosynthesis is rised by influence of X-rays, and on the contrary, the activity of the enzymes of proline catabolism is falled.

Пролин - фасолевая зерновка

Известно, что в условиях засоления у некоторых растений увеличивается содержание пролина и сахарозы [8, 12], которые выполняют функцию внутриклеточных осморегуляторов [7]. В нашей лаборатории в последние годы было показано, что во время солевого стресса в побегах гороха накапливается значительное количество свободного пролина, что является способом адаптации в этих условиях [5]. Пролин у насекомых является энергетическим субстратом [10]. Летательные мышцы насекомых богаты

пролином, который окисляется в 130 раз интенсивнее других аминокислот [11].

Источниками синтеза пролина у различных насекомых могут служить разные аминокислоты. Так, личинки синей мухи [13] и гусеницы тутового шелкопряда [1] предпочтительнее используют с этой целью орнитин, а личинки дрозофилы - глутамат.

Известно, что ферменты биосинтеза и катаболизма пролина пространственно изолированы: ферменты биосинтеза пролина локализованы в цитозоле, а ферменты катаболизма - в митохондриях. В экстремальных условиях ферменты биосинтеза пролина проявляют устойчивость или даже активируются, а ферменты катаболизма, наоборот, подвержены отрицательному влиянию экстремальных факторов среды [3].

Настоящая работа посвящена изучению влияния рентгеновского облучения на содержание свободного пролина и активность ферментов биосинтеза и катаболизма пролина у жуков фасолевой зерновки.

Материал и методика. Объектом исследования служили жуки *A. obtectus Say*, откладывающие яйца на бобах фасоли. Развитие яиц при 28° длится 7 дней. При указанной температуре и 75%-ной влажности воздуха созревание жуков заканчивается в течение 28-30 дней.

Гомогенизацию жуков проводили в стеклянном гомогенизаторе типа Поттера-Элведжема в К-Na-фосфатном буфере. Использовали 5%-ный гомогенат.

Определение активности ферментов биосинтеза пролина проводили по описанному нами ранее методу [1], а активности ферментов катаболизма пролина - по разработанному в нашей лаборатории методу [4].

Пролин определяли химическим [6] и хроматографическим [9] методами.

Облучение жуков проводили на рентгеновской установке ИРИС-6, ($\lambda=0.78 \times 10^{-9}$ см, $U=25$ кВ, $I=15$ мА, экспозиция - 30мин).

Статистическая обработка данных проведена по Вознесенскому [2].

Результаты и обсуждение. В первую очередь мы изучили влияние рентгеновского облучения на количественное изменение свободного пролина у жуков фасолевой зерновки. Полученные данные приведены в табл.1. В разных опытах доза рентгеновского (50 кр) облучения оставалась постоянной.

Полученные данные показали, что у жуков фасолевой зерновки количество свободного пролина увеличивается почти в 3 раза по мере их возрастания. Это свидетельствует о том, что пролин играет важную роль в метаболических процессах у фасолевой зерновки. Из данных табл. видно, что у жуков, которые вышли из личинок, подвергнутых рентгеновскому облучению, количество свободного пролина увеличивается приблизительно в 2.5 раза и, даже при последующем некотором снижении его уровня в потомстве первого поколения, количество свободного пролина тем не менее в 1.5-2 раза превышает таковое у жуков из необлученных личинок. Выявлено также, что у жуков, выросших на предварительно облученной фасоли, количество свободного пролина приблизительно в три раза превышает таковое у интактных. При облучении зрелых жуков, которые по сравнению с молодыми, содержат в 3 раза больше свободного пролина, уровень последнего повышается незначительно и в последующих поколениях возвращается к исходному.

Таблица 1. Количество свободного пролина у облученных и необлученных жуков фасолевой зерновки, мкмоль про/г свежей ткани

Жуки		Количество свободного пролина
4-дневные	необлученные	3.21 ± 0.28
	вышедшие из личинок, подвергнутых рентгеновскому облучению	8.04 ± 0.56
10-дневные	1-е потомство, вышедшее из личинок, подвергнутых рентгеновскому облучению	5.14 ± 0.31
	выросшие на облученной фасоли	9.67 ± 0.66
	необлученные	10.9 ± 0.7
	облученные	11.2 ± 0.81
	1-е потомство облученных	9.62 ± 0.65
	2-е потомство облученных	10.8 ± 0.69

Таким образом, при облучении жуков в них происходит накопление свободного пролина, который является протектором. Чтобы установить является ли такое накопление результатом усиления процесса биосинтеза пролина, или же, наоборот, снижением его распада, далее мы исследовали активность ферментов биосинтеза и катаболизма пролина. Во-первых, изучали активность ферментов биосинтеза пролина без воздействия рентгеновских лучей (табл.2). Представленные данные показывают, что у насекомых активность ферментов биосинтеза пролина не меняется в течение всей жизни.

Таблица 2. Активность ферментов биосинтеза пролина (ОТ и П5КР) у жуков фасолевой зерновки, мкмоль про/г свежей ткани

Жуки	Активность ОТ И П5КР
4-дневные	2.51 ± 0.21
10-дневные	2.51 ± 0.21

Наши дальнейшие опыты были посвящены изучению влияния рентгеновского облучения на активность ферментов биосинтеза пролина у зрелых жуков фасолевой зерновки. Опыты показали (табл. 3), что у 10-дневных облученных жуков активность вышеуказанных ферментов подавляется, но в последующих поколениях она достигает своего исходного уровня. Вероятно, 10-дневные жуки (средняя продолжительность их жизни 12-14 сут) либо с трудом приспособливаются к воздействию стрессового фактора, либо черпают пролин за счет не синтетических, а катаболических процессов. Это, скорее всего, может быть результатом гидролитического распада белков.

Нами изучалась также активность ферментов биосинтеза пролина у 4-дневных жуков вышедших из облученных личинок, а также у жуков в предварительно облученной фасоли. Полученные данные представлены в табл. 4.

Таблица 3. Активность ферментов биосинтеза пролина (ОТ и П5КР) у облученных жуков фасолевой зерновки, мкмоль про/г свежей ткани

Жуки (4-дневные)	Активность ОТ И П5КР
необлученные	2.51±0.21
облученные	0.90 ±0.05
1-е потомство облученных	2.41±0.19
2 -е потомство облученных	2.64±0.22

Согласно таблице, у 4-дневных жуков, которые вылупились из личинок, подвергнутых рентгеновскому облучению, активность ферментов биосинтеза пролина повышается более чем в 2 раза, а у жуков, выросших в облученной фасоли, в 1.5 раза. Исходя из этих данных, можно сказать, что накопление свободного пролина у 4-дневных жуков является результатом активирования ферментов биосинтеза пролина под воздействием рентгеновского облучения.

Таблица 4. Активность ферментов биосинтеза пролина (ОТ и П5КР) у жуков, находившихся в разных состояниях, мкмоль про/г свежей ткани

Жуки (4-дневные)	Активность ОТ И П5КР
необлученные	2.51±0.21
вышедшие из личинок, подвергнутых рентгеновскому облучению	5.5±0.33
выросшие на облученной фасоли	3.48±0.3

Чтобы убедиться в этом, мы исследовали также активность ферментов катаболизма пролина ПО у жуков фасолевой зерновки. Полученные данные приведены в табл.5, из которой видно, что активность ферментов катаболизма пролина более высока у зрелых жуков по сравнению с молодыми.

Таблица 5. Активность ферментов катаболизма пролина (ПО и П5КД) у жуков фасолевой зерновки, мкмоль глу/г свежей ткани.

Жуки	Активность ПО И П5КД
4-дневные	6.18±0.21
10-дневные	7.21±0.26

Дальнейшие серии опытов были посвящены изучению влияния рентгеновского облучения на активность ферментов катаболизма пролина у жуков фасолевой зерновки (табл. 6).

Полученные данные показывают, что активность ферментов катаболизма пролина у облученных 10-дневных жуков подавляется в 7 раз, приравниваясь в потомстве таковой у необлученных жуков. Резкое падение активности фермента, по всей вероятности, происходит из-за высокой чувствительности ферментов катаболизма пролина. Не исключается, что под воздействием рентгеновских лучей ферменты подвергаются глубоким структурным изменениям.

Таблица 6. Активность ферментов катаболизма пролина (ПО и П5КД) у облученных и необлученных жуков фасолевой зерновки, мкмоль глу/г свежей ткани

Жуки (10-дневные)	Активность ПО И П5КД
необлученные	7.21±0.26
облученные	1.03±0.056
1-е потомство облученных	7.06±0.25
2 -е потомство облученных	5.71±0.23

Изучалась также активность ферментов катаболизма пролина у жуков, которые вышли из облученных личинок, а также у жуков, выросших на предварительно облученной фасоли (табл. 7). Из полученных данных видно, что активность ферментов катаболизма пролина полностью подавляется у жуков, которые вылупились из облученных личинок, а у жуков, выросших на облученной фасоли, активность вышеуказанного фермента подавляется на 5%.

Таблица 7. Активность ферментов катаболизма пролина (ПО и П5КД) у жуков фасолевой зерновки, находившихся в разных состояниях, мкмоль глу/г свежей ткани

Жуки (4-дневные)	Активность ПО И П5КД
необлученные	6.18 ±0.21
вышедшие из личинок, подвергнутых рентгеновскому облучению	0
выросшие на облученной фасоли	5.92 ±0.2

Обобщая результаты наших исследований, можем сказать, что ферменты катаболизма пролина фасолевой зерновки более чувствительны к рентгеновскому облучению по сравнению с ферментами биосинтеза пролина

ЛИТЕРАТУРА

1. Агаджанян А.Х., Давтян М.А. Биолог. журн. Армении, 27, 5, 1974.
2. Вознесенский В.Л. Первичная обработка экспериментальных данных. Л., 1969.
3. Гильмур Д. Метаболизм насекомых. Изд. Л., М., 1968.
4. Молай Рад М.Б., Агаджанян А.Х. Биолог. журн. Армении, 3-4, 242, 1999.
5. Мартиросян М.С., Агаджанян А.Х. Вестник МАНЭБ 6, 42, 2001.
6. Blumenkrantz N. Chem. Biochem., 13, 177, 1980.
7. Brown L.M., Hellerbus J.A. Canad. J. Bot., 56, 6, 676, 1978.
8. Greenberg H., Setter T.L. Austr. J. plant Physiol., 6, 1, 69, 1979.
9. Hrabetova E., Tupý L.J. Chromatogr. 3, 199, 1960.
10. Sactor B., Childress C. Arch. Biochem. Biophys. 120, 583, 1967.
11. Sactor B. Wormser Shavit Biol. Chem., 241, 624, 1960.
12. Stewart G.R., Lee J.A. Pi. Sci. Letters 3, 173, 1974.
13. Vecchio D.A., Kalman S.M. Arch. Biochem. Biophys. 127, 376, 1968.

Поступила 12.VII.2004

Биолог. журн. Армении, 3-4 (57), 2005

УДК 591.1.05

ВЛИЯНИЕ АРГИНИНА И НЕКОТОРЫХ САХАРОПОНИЖАЮЩИХ СОЕДИНЕНИЙ НА НАКОПЛЕНИЕ БИОМАССЫ ДРОЖЖЕЙ *CANDIDA GUILLIERMONDII* НП-4

А.Х. АГАДЖАНЯН, С.В. ЧУБАРЯН, Л.Р. ТУМАНЯН, А.А. АГАДЖАНЯН,
А.А. НИКОЯН, М.С. МАРТИРОСЯН, Л.Г. АНАНЯН

Ереванский государственный университет, кафедра биохимии, 375049

Исследовали влияние аргинина и некоторых сахаропониживающих препаратов на накопление биомассы дрожжей *Candida guilliermondii* НП-4. Выявлено, что аргинин, являясь субстратом аргиназы при концентрации 1.15 mM, ингибирует активность фермента по принципу субстратной ингибиции. Гипосульфит при низких концентрациях стимулирует синтез биомассы, а выше указанной концентрации – ингибирует процесс. Глибенкламид подавляет синтез биомассы дрожжей, а гильелес при концентрации 0.04 mM увеличивает биомассу на 60%.

Ուսումնասիրվել է արգինինի և շաքարի քանակությունը իջեցնող դրույթունը նյութերի աղդեցույթունը խմորասնկերի կենսազանգվածի կուտակման վրա: Հաստատվել է, որ արգինինը չի համարվում լավ խթանիչ խմորասնկերի ամի համար: Արգինինը, համարվելով արգինազայի սուրստրատ, 1.15 mM դեպքում ճնշում է ֆերմենտի ակտիվությունը հետադարձ կապի սկզբունքով: Դիպուուլֆիտի ցածր կոնցենտրացիան խթանում է կենսազանգվածի սինթեզը, իսկ բարձր դեպքում՝ ընկճում է այն: Գլիբենկլամիդը ընկճում է խմորասնկերի կենսազանգվածի սինթեզը, իսկ գիլելեսը 0.04 mM կոնցենտրացիայի դեպքում ավելացնում է կենսազանգվածը 60%-ով:

The influence of arginine and some of sugar-falling preparations on accumulation of yeast *Candida guilliermondii* biomass has been investigated. Arginine is not good stimulator for growth of yeast. Arginine at 1.15 mM concentration depresses the activity of arginase by substrate inhibition. Hyposulphite in low concentration stimulates synthesis of biomass but it inhibites process in high concentration. Hlibenclamide inhibits synthesis of yeast biomass but hileles at 0.04 mM concentration increases biomass for 60%.

Аргиназа - аргинин - биомасса - дрожжи

Аргинин участвует в синтезе белка и аминокислот. Все ткани используют его для ядерного и цитоплазматического биосинтеза. Аргинин – единственный переносчик гуанидиновой группы – является мощным стимулятором синтеза креатина. Следовательно, он принимает участие в первичном накоплении клеточной энергии в виде креатинфосфата. Аргинин участвует в цикле переаминирования и выведения из организма конечного азота, т.е. продукта распада отработанных белков. От мощности работы цикла мочевинообразования зависит способность организма, синтезируя мочевину, очищаться от белковых шлаков. Это один из самых эффективных стимуляторов продукции соматотропного гормона гипофиза (гормона роста). В последнее время пристальное внимание направлено на аргинин, потому

что он является донором оксида азота (NO) - эндотелиального релаксирующего фактора. L-аргинин под действием фермента NO-синтазы превращается в оксид азота и цитруллин. Конечными продуктами метаболизма NO являются нитриты и нитраты, которые в свою очередь восстанавливаются в NO. Оксид азота - биологически активное вещество, медиатор биохимических процессов, мощный эндогенный вазодилататор. Аргинин усиливает артериальный кровоток печени, улучшает процессы печеночной микроциркуляции, уменьшает гипоксию печени [4].

При многих заболеваниях, особенно при ишемической болезни сердца и хроническом обструктивном бронхите, синтез NO значительно снижается. Его дефицит приводит к дальнейшему прогрессированию поражения сердца и легких. При недостаточной продукции NO требуется его компенсация аргинином цитратом [5].

Заслуживают внимания данные о том, что в условиях *in vivo* нитрит натрия оказывает иммунодепрессивное действие, проявляющееся в угнетении лейкоцита и снижении функций активных нейтрофилов крови. В этих же условиях нитрит натрия не влияет на функцию активных рецидентных перитонеальных макрофагов [1, 3].

Целью настоящей работы является изучение влияния аргинина и некоторых сахаропонижающих соединений на накопление биомассы дрожжей *Candida guilliermondii* НП-4.

Материал и методика. Объектом исследования служили некоторые лекарственные растения и дрожжи *C. guilliermondii* НП-4. Подготовка посевного материала для дрожжей осуществлялась по следующей схеме: музейная культура → двухсуточная культура на 2%-ном сусло-агаре → культура, выращенная в жидкой синтетической питательной среде следующего состава: глюкоза - 10г, KH_2PO_4 - 1.23г, $\text{MgSO}_4 \cdot 7\text{H}_2\text{O}$ - 0.625г, NaCl - 0.125г, $(\text{NH}_4)_2\text{SO}_4$ - 3.12г, $\text{CaCl}_2 \cdot 2\text{H}_2\text{O}$ - 0.125г на 1 л водопроводной воды. Среду распределяли по 100 мл в литровые конические колбы и подвергали стерилизации при 0.5 атм. в течение 20 мин. К стерильной среде добавлялся простерилизованный раствор биотина в расчете 0.8 мг на 100 мл. Инкубацию проводили в течение 20-22 ч при интенсивном взбалтывании при 30°-32°C. Подготовленную к опыту культуру центрифугировали, промывали, суспензировали в 12 мл воды, оттуда брали 1 мл и доводили до 50 мл водой и нефелометрировали. Исходя из показаний ФЭК-а(КФК-2-УХЛ 4.2), по стандартной кривой определяли количество дрожжей. Сухую биомассу уточняли взвешиванием. Статистическая обработка проведена по Вознесенскому [2].

Результаты и обсуждение. Изучали влияние аргинина на накопление биомассы дрожжей *C. guilliermondii* НП-4 (табл.1).

Таблица 1. Влияние различных концентраций аргинина на накопление биомассы дрожжей *C. guilliermondii* НП-4 (n=7)

Субстрат	Концентрация аргинина, мМ	Синтезиров. биомасса, мг
Контроль	-	0.82±0.05
L-аргинин	0.14	1.02±0.07
	0.28	0.89±0.06
	0.43	0.89±0.06
	0.57	0.88±0.06
	1.15	0.89±0.06

Полученные данные показывают, что добавление аргинина к питательной среде (за исключением 0,14 мМ) не влияет на накопление биомассы дрожжей. Нас заинтересовало, какое влияние окажет расщепление добавленного в среду роста аргинина на орнитин и мочевину.

Таблица 2. Влияние аргиназы на накопление биомассы дрожжей *C. guilliermondii* НП-4 (n=7)

Субстрат	Концентрация аргинина, мМ	Количество аргиназы, мг	Синтезиров. биомасса, мг
Контроль	-	2	0.82±0.05
L-аргинин	0.14	2	1.44±0.10
	0.28	2	1.58±0.10
	0.43	2	1.77±0.12
	0.57	2	2.00±0.14
	1.15	2	1.53±0.10

Согласно полученным данным (табл. 2), добавление в среду аргиназы с аргинином оказывает стимулирующее влияние на рост дрожжей. Интересно то обстоятельство, что при концентрации аргинина 0,57 мМ в среде инкубации усиливается процесс накопления биомассы. Аргинин, являясь субстратом аргиназы, при концентрации 1,15 мМ ингибирует активность фермента по принципу субстратной ингибиции. Далее исследовали влияние непосредственного внесения в среду роста продуктов распада аргинина-мочевины и орнитина, а также цитруллина (табл.3).

Таблица 3. Влияние различных соединений на накопление биомассы дрожжей *C. guilliermondii* НП-4 (n=7)

Субстрат	Концентрация субстрата, мМ	Синтезиров. биомасса, мг
Контроль	-	0.82±0.05
L-орнитин	0.24	1.32±0.08
	0.48	1.53±0.04
L-цитруллин	0.29	0.96±0.05
	0.57	1.06±0.05
Мочевина	0.23	0.82±0.05
	0.95	1.03±0.05
L-аргинин +аргиназа	0.48	2.00±0.09

Из приведенных данных следует, что во всех вариантах в той или иной степени наблюдается увеличение биомассы дрожжей. Однако уровень накопления биомассы достигает максимума, в варианте аргинин+аргиназа, где сам аргинин может являться субстратом для определенных ферментативных процессов, вследствие чего происходит усиленный синтез биомассы.

Некоторая стимулирующая роль L-цитруллина и мочевины может быть обусловлена использованием азота этих соединений при росте дрожжей.

В следующей серии экспериментов нами изучено влияние сахаропонижающих соединений на накопление биомассы дрожжей.

Таблица 4. Влияние гипосульфита на накопление биомассы дрожжей *C. guilliermondii* НП-4 (n=7)

Субстрат	Концентрация гипосульфата, мМ	Синтезиров. биомасса, мг
Контроль	-	0.78±0.05
Гипосульфит	0.06	1.13±0.07
	0.32	0.95±0.06
	0.63	0.54±0.05
	3.16	0.48±0.05

Данные, приведенные в табл. 4, показывают, что гипосульфит при низких концентрациях (до 0.06 мМ) стимулирует синтез биомассы, а выше этой концентрации ингибирует процесс.

Далее мы нейтрализовали гипосульфит и проводили исследования в присутствии нейтрального гипосульфита (табл.5).

Таблица 5. Влияние нейтрального гипосульфита на накопление биомассы дрожжей *C. guilliermondii* НП-4 (n=7)

Субстрат	Нейтрализация HCl (капл.)	Концентрация гипосульфата, мМ	Синтезиров. биомассы, мг
Контроль	-		0.78±0.05
Гипосульфит	5	0.06	1.03±0.06
	5	0.32	1.01±0.06
	5	0.63	0.58±0.05
	5	3.16	0.48±0.05

Из полученных данных следует, что нейтрализация гипосульфита не действует на накопление биомассы дрожжей *C. guilliermondii* НП-4.

Результаты исследования влияния на рост биомассы некоторых сахаропонижающих соединений и растительного экстракта для лечения сахарного диабета представлены в табл. 6.

Таблица 6. Влияние различных сахаропонижающих соединений на накопление биомассы дрожжей *C. guilliermondii* НП-4 (n=7)

Сахаропонижающие препараты	Концентрация, мМ	Синтезиров. биомасса, мг
Контроль	-	0.78±0.05
Глибенкламид	0.02	0.83±0.05
	0.04	0.97±0.05
	0.06	0.75±0.05
Гильелес	0.02	0.98±0.05
	0.04	1.26±0.07
Экстракт для лечения сахарного диабета	1 мл	1.44±0.08
	10 мл	1.83±0.08

Согласно данным (табл. 6), глибенкламид практически не влияет на синтез биомассы дрожжей, а гильелес, при концентрации 0.04мM в среде, увеличивает количество биомассы на 60%. Экстракт растений увеличивает биомассу дрожжей почти в 2.5 раза. Следовательно, разные вещества, способствующие понижению сахара в крови, по-разному действуют на накопление биомассы дрожжей. По всей вероятности, дрожжевые клетки резко отличаются от клеток человека и других млекопитающих, поэтому под действием этих препаратов происходит ингибиция синтеза биомассы дрожжей. По-видимому, у человека и других млекопитающих комплексирование препаратов сульфанилмочевины с рецепторами мембранны β -клеток или метаболизм глюкозы внутри β -клетки приводит к генерации АТФ и закрытию АТФ-чувствительных K^+ -каналов. Повышение внутриклеточного калия способствует деполяризации мембранны β -клетки, открытию вольтаж-чувствительных Ca^{2+} -каналов, входению в клетку ионов кальция, повышению его концентрации, что в свою очередь стимулирует высвобождение инсулина из β -клеток процессом экзоцитоза [3]. Можно сказать, что у дрожжей этот механизм не функционирует.

ЛИТЕРАТУРА

1. Виноградов Н.А. Антибиотики и химиотерапия. 2, 24-29, 1998.
2. Вознесенский В.А. Первичная обработка экспериментальных данных. Л., 1969.
3. Дерягина В.П., Машковцев Ю.В., Ильницкий А.П. Биомедицинская химия. 49, 1, 19-26, 2003.
4. Калентерян Г.З., Базеян А.А., Гаспарян Х.С. Сб. Научные труды и сообщения. Ереван, 2003.
5. Тюрин С.Н. Труды Donetskого гос. мед. университета, I-6, 2002.

Поступила 12.VII.2004

Биолог. журн. Армении, 3-4 (57), 2005

УДК 579.66:578.81:579.871.8

ԳԼՅՈՒՏԱՍԱՏ ԴԵՀԻԴՐՈԳԵՆԵՍԱԶԻ ԳԵՆԻ ԲԱԶՄԱՊԱՏԿՍԱՆ
ԱԶԵՑՈՒԹՅՈՒՆԸ *CORYNEBACTERIUM GLUTAMICUM C-25* ՇՏԱՄԻ
ՍԵՐԻՆԻ ԳԵՐԱՐՏԱՊՐՈՒԹՅԱՆ ՎՐԱ

Հ.Յ. ՍԱՐԱԿՅԱՆ

ՓԲԸ «Կենսատեխնոլոգիայի ԳՅԻ», 375056, Երևան

Կառուցվել է պVOG10 պլազմիդը, որը պարունակում է *Corynebacterium glutamicum*-ի գլուտամատ դեհիդրոգենազը կոդավորող *gdh* գենը: պVOG10 պլազմիդի օգտագործմամբ ստացվել են սերին արտադրող *C. glutamicum* C-25 շտամի տրանսֆորմանտներ: C-25/pVOG10 տրանսֆորմանտների սերինի արտադրությունը բարձր է, քան Ելային C-25 շտամինը: Վիտամինների պիրիդոքսինի, ֆոլաթրվի և պանտոտենաթրվի, ինչպես նաև պիրուվատի ավելացումը բարձրացնում է սերինի արտադրությունը անկախ պVOG10 պլազմիդի առկայությունից: Ֆերմենտացիոն միջավայրում ազոտի կոնցենտրացիայի բարձրացումը դանդաղեցնում է բջիջների աճը և իջեցնում սերինի արտադրությունը C-25 շտամի դեպքում, սակայն չի ազդում C-25/pVOG10 շտամի սերինի արտադրության վրա:

Сконструирована плазмида pVOG10, содержащая ген *gdh*, кодирующий глутамат дегидрогеназу *Corynebacterium glutamicum*. С использованием плазмида pVOG10 получены трансформанты штамма продуцента серина *C. glutamicum* C-25. Продукция серина у трансформантов C-25/pVOG10 выше, чем у исходного штамма C-25. Добавление витаминов – пиридоксина, фолиевой и пантотеновой кислот, а также пирувата увеличивает продукцию серина независимо от присутствия плазмида pVOG10. Повышение концентрации азота в ферментационной среде замедляет рост культуры и снижает продукцию серина у штамма C-25, но не действует на рост и продукцию серина штамма C-25/pVOG10.

The plasmid containing *gdh* gene encoding of *Corynebacterium glutamicum* glutamate dehydrogenase has been constructed. Transformants of *C. glutamicum* C-25 strain producer of serine have been obtained with plasmid pVOG10. The level of serine production with transformants *C. glutamicum* C-25/pVOG10 is higher than with the parental strain C-25. The serine producton increases by addition of vitamins such as pyridoxine, folic acid, pantothenic acid as well as with addition of pyruvic acid independent of the plasmid presence. With the increasing of the nitrogen concentration in fermentation medium the growth of C-25 strain become slower and level of serine production decreases but it doesn't influence the growth and serine production of C-25/pVOG10.

C. glutamicum - գյուտամատ դեհիդրոգենազ - սերին

L-ամինաթրուները ունեն շատ լայն կիրառություն, օրինակ, որպես սննդային և կերային հավելումներ [9], ֆենիլալանինը և ասպարագինաթրուն օգտագործվում են արհեստական քաղցրացնող նյութերի ստացման համար, շատ այլ ամինաթրուներ ծառայում են որպես թերապևտիկ ագենտներ սննդային և մետաբոլիկ խանգարումների դեպքում, կամ որպես հումք կոսմետիկայի, ատամի մածուկի և լվացող միջոցների արտադրության համար [11]:

Ամինաթթուների արդյունաբերական ստացման համար օգտագործվող առավել տարածված բակտերիաները պատկանում են կորինեֆորմ բակտերիաների *Corynebacterium-Brevibacterium*խմբերին [11]: *Corynebacterium* տեսակները գրամ-դրական, անկանոն ձևի, սպոր չառաջացնող, օրլիգատ աերոբ բակտերիաներ են, որոնց հիման վրա ստեղծվել են ամինաթթուների գերարտադրիչ շտամեր, օրինակ, գյուտամինաթթվի, լիզինի, տրեոնինի, տրիպոնֆանի, ֆենիլալանինի [11]: Ընդունված է ֆերմենտացիայի միջոցով L-սերինի արտադրության մի մերոդ, որում օգտագործվում է բակտերիալ շտամ, որն ընդունակ է գլիցինը և շաքարը վերափոխելու L-սերինի [7]: Մեկ այլ մերոդ, որի միջոցով կարելի է ստանալ L-սերին ուղղակիորեն շաքարից սելեկցիոն մերոդն է, որի միջոցով հաջողվել է ստանալ սերինի 15.4 գ/լ արտադրողականությամբ շտամ, իսկ գենային ինժեներական մերոդով, որով կլոնավորվել են սերինի սինթեզի հանգուցային էնզիմների գեները՝ 35.2 գ/լ սերին արտադրող շտամ [7]: Ամինաթթուների սինթեզում, մասնավորապես նաև սերինի սինթեզում, ամին խմբի դոնոր է հանդիսանում զյուտամինաթթուն [10]: *C. glutamicum*-ը ունի երկու անարողիկ ուղի գյուտամինաթթվի սինթեզի համար՝ գյուտամատ դեհիդրօգենազը (GDH) և գյուտամին սինթետազ/զյուտամատ սինթազը (GS/GOGAT), որոնք ներկայացնում են ամոնիումի ասիմիլացիայի երկու գլխավոր ուղիները [4]: GDH-ի կենսաքիմիական հատկությունները և L-գյուտամինաթթվի արտադրության վրա նրա ազդեցությունը ուսումնասիրված է *B. flavum*-ի համար [4]: *C. glutamicum*-ի GDH-ը ՆԱԴ կախյալ է [2]: Անկախ բջիջներին ազոտի մատակարարումից գրանցվել է GDH-ի բարձր ակտիվություն՝ 1.8-ից 2.5 միավոր/մգ պրոտեին *C. glutamicum*-ի վայրի տիպի շտամի համար [4]: GS-ի կարևորությունն ընդգծվում է մետաբոլիկ հոսքերի չափմամբ, որը ցույց է տալիս, որ ամոնիումի 28%-ը ասիմիլացվում է GS-ով, նույնիսկ ազոտի ավելցուկային պայմաններում [4]: *In vitro* էնզիմային փորձերով և *in vivo* հոսքային չափումներով GOGAT ակտիվությունը չի դիտվել, եթե բջիջները աճեցվել են ազոտի ավելցուկային պայմաններում [4]: GOGAT-ը չունի կարևոր դեր *C. glutamicum*-ում այնքան, որքան *E. coli*-ում կամ *B. subtilis*-ում [4]:

Չնայած զյուտամատ դեհիդրօգենազի կարևոր դերին գյուտամինաթթվի սինթեզի գործում, իսկ զյուտամինաթթուն հանդիսանում է ամին խմբի դոնոր այլ ամինաթթուների սինթեզի համար *C. glutamicum*-ում այդ թվում և սերինի, նրա դերը ամինաթթուների գերարտադրության գործընթացում չի ուսումնասիրված, բացի գյուտամինաթթվի գերարտադրության գործընթացից: Տվյալ աշխատանքի նպատակ է հանդիսացել ուսումնասիրել գյուտամատ դեհիդրօգենազի գենի *gdh*-ի դերը սերինի գերարտադրման գործում *C. glutamicum*-ում: Այդ նպատակով կատարվել է *gdh* գենի բազմապատկում *C. glutamicum*-ի սերին արտադրող շտամում:

Ծովոք և մերոդ: Փորձերում օգտագործված շտամերը և պլազմիդները ներկայացված են աղյուսակ 1-ում:

Միջավայրեր: *E. coli*-ի համար օգտագործվել են LB և LA միջավայրեր: *E. coli* բակտերիաները աճեցվել են 37° պայմաններում: LB միջավայր - 1% տրիպտոն, 1% NaCl, 0.5% խորասնկային երստրակտ, pH 7.5: LA պինդ միջավայր պատրաստելու համար LB միջավայրին ավելացվել է 1.2%-ի չափով ազար: *C. glutamicum*-ի համար օգտագործվել են ՍՊԲ և ՍՊԱ միջավայրեր: *C. glutamicum* բակտերիաները աճեցվել են 30° պայմաններում: ՍՊԱ-ի պատրաստման համար ՍՊԲ-ին ավելացվել է 1.5%-ի չափով ազար:

Աղյուսակ 1. Ծտամեր և պլազմիդներ, նրանց հատկությունները

Ծտամեր	Պլազմիդներ	Գենոտիպ	Աղբյուր
<i>C. glutamicum</i> C-25		Պրոտոտրոֆ Sm'	Կենսատեխնոլոգիայի ինստիտուտի հավաքածու
<i>E. coli</i> DH5α	supE44 hsdR17 recA1 endA1 gyr96 thi-1 relA1		[6]
pKK223-3	TacP, Ap'		[3]
pEK0	Սարքային վեկտոր, Km'		[6]
rVOG10	pEK0, gdh	Կառուցվել է այս աշխատանքում	

Ֆերմենտացիոն միջավայր: Ֆերմենտացիան կատարվել է 72 ժամվա ընթացքում, բարփական 30° ջերմաստիճանի պայմաններում: 0.5 լ տարողությամբ կոլբաներում լցվել է 15 մլ սննդամիջավայր: Օգտագործվել է սերինի արտադրիչ շտամերի ֆերմենտացիայի համար նախատեսված Ֆ1 միջավայրը սախարոզ - 10%, $(\text{NH}_4)_2\text{SO}_4$ - 3%, K_2HPO_4 - 0.02%, NaH_2PO_4 - 0.03%, կավիճ - 5%, MgSO_4 - 0.05%, ZnSO_4 - 0.001%, բիոտին - 0.5 մգ/լ, թիամին - 0.5 մգ/լ, սորեատումիցին - 200 մգ/լ: Անհրաժեշտության դեպքում ավելացվում է պիրուվատ - 0.5%, 1%, 1.5%, պիրիդօքսին - 1 մգ/լ, ֆոլաքրու - 1.5 մգ/լ, պանտունաքրու - 5 մգ/լ, բ-ամինաթենօնյաթքու - 1 մգ/լ:

Սերինի, սախարոզի և ամոնիումի սուլֆատի մնացորդային քանակների որոշումը կուլտուրալ հեղուկում: Սերինի քանակի որոշումը կատարվել է բարակաշերտ քրոմատոգրաֆիայի մեթոդով: Օգտագործվել են Silifol ընկերության՝ բարակաշերտ քրոմատոգրաֆիայի թիթեղները: Որոշումը կատարվել է ըստ ընկերության ներկայացրած արձանագրության:

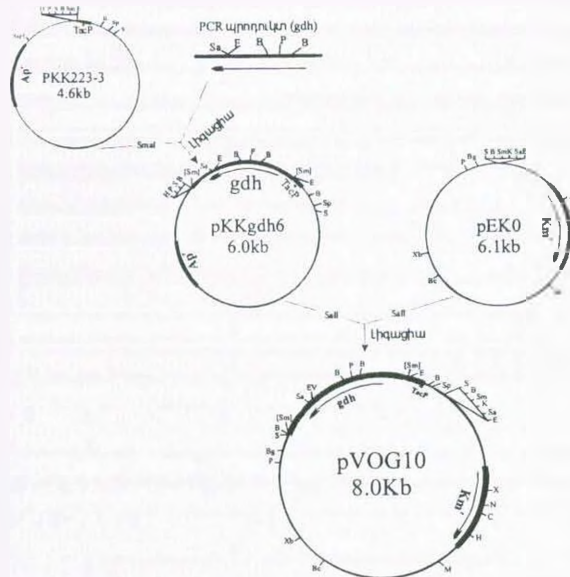
Ֆերմենտացիայից հետո ամոնիումի սուլֆատի և սախարոզի մնացորդային քանակությունները որոշվել են ըստ հայտնի մեթոդների [1]:

Պլազմիդային ՂՆԹ-ի անջատում և տրանսֆորմացիա: Պլազմիդային ՂՆԹ-ի անջատումը *E. coli*-ից և *C. glutamicum*-ից, ինչպես նաև *E. coli*-ի բջջների տրանսֆորմացիան կատարվել են հայտնի մեթոդներով [12], իսկ *C. glutamicum*-ի տրանսֆորմացիան կատարվել է եկամուսպորացիայի մեթոդով [5]:

Քրոմոսոմային ՂՆԹ-ի անջատում *C. glutamicum*-ից: Քրոմոսոմային ՂՆԹ-ի անջատումը կորինթերակտերիաներից կատարվել է նախկինում նկարագրված մեթոդով [12]:

PCR: PCR-ը կատարվել է հայտնի մեթոդով [12]: Օգտագործվել է Takara ընկերության Taq Premix, որը պարունակում է Taq ՂՆԹ պոլիմերազ և դեօքսիթիոնուկեուտիդինուքտամերի խառնուրդ: PCR-ը կատարվել է 50 մլ ծավալում, համաձայն ընկերության ներկայացրած արձանագրության:

rVOG10 պլազմիդի կառուցումը: Կլոնավորման համար օգտագործվող բոլոր էնզիմները, բացի Տագ ՂՆԹ պոլիմերազից, Sigma ընկերության արտադրանքն են և բոլոր այդ էնզիմային ռեսակցիաները իրականացվել են Sigma ընկերության ներկայացնած արձանագրության համաձայն: rVOG10 պլազմիդի կառուցվել է նկար 1-ում ներկայացված միևնալով: Կատարվել է PCR, որի միջոցով բազմապատճենվել է *gdh* գենի 1385 bp երկարությամբ հատված: Այդ հատվածի բազմապատճենման համար ուղղի պրայմեր է հանդիսացել 5'-TCGTGCGCGCATGCAGCCGAGAT-3'-ը, որը կոմպլեքսնար է ցան գենի սկզբնական կորոնից հաշված -38-ից -16 հատվածին, իսկ հականարձ պրայմեր է հանդիսացել 5'-GGTCTTAGATGACGCCCTGTGCCAGC-3'-ը, որը կոմպլեքսնար է ցան գենի ստույ կորոնից հաշված -14-ից մինչև ստույ կորոն +9 հատվածին [2]: PCR հատվածի ծայրեղը բբացվել են T4 ֆագի ՂՆԹ պոլիմերազով, ապա հատվածը մշակվել է T4 ֆագի ՂՆԹ կինազով: pKK223-3 վեկտորը ռեստրիկցիայի է ներարկվել SmaI էնցոնուկլեազով, ապա մշակվել հորինի աղիքային ֆուֆատազով դեֆուսիոնալ ակտիվության համար: Լիգացիան կատարվել է T4 ֆագի ՂՆԹ լիգազով 10 ml ծավալում: Կատարվել է ընթրություն ամպիցիլինով LA միջավայրի վրա, ապա՝ սկրինինց և առանձնացվել 6000 bp մեծությամբ պլազմիդով զաղութ: Պլազմիդն անվանվել է pKKgdh6: Ստացված pKKgdh6 պլազմիդը ռեստրիկցվել է Sall էնցոնուկլեազով: Նոյն էնցոնուկլեազով ռեստրիկցվել է նաև pEK0 վեկտորը: Արանց խառնուրդը ենթարկվել է լիգացիայի: Լիգացիոն խառնուրդով կատարվել է *E. coli* DH5α-ի տրանսֆորմացիա: Տրանսֆորմաներն ընթրվել են կանաչիցինով LA միջավայրի վրա, որոնցից սկրինինցի միջոցով առանձնացվել է ~ 8000 bp չափս ունեցող պլազմիդով զաղութ: Այս պլազմիդը կոչվել է rVOG10:



Նկ. 1. թVOG10 պլազմիի կառուցման սխեմա: *gdf-4*յուտամասու դեհիդրօբնազի գեն, *TacP*-պլոմուտեր, *Kmp*-կանաֆիլիինի նկատմամբ կայունության գեն, *Apr*-ամաֆիլիինի նկատմամբ կայունության գեն:

Թյունը տվյալ շտամի սերինի գերսինթեզի ունակության վրա: Տրանսֆորմանտներն ընտրվել են կանամիցինով ՄՊԱ միջավայրի վրա: *C. glutamicum*-ի տրանսֆորմանտներից ստացված ԴՆԹ-ի չափսը համապատասխանում է pVOG10-ին: *C. glutamicum*-ից անջատված պլազմիդային ԴՆԹ-ն ռեստրիկցիոն քարտեզով և հատկություններով նման է Ելային պլազմիդին: Տրանսֆորմանտներն են C-25/pEK0-ը և C-25/pVOG10-ը:

C-25, C-25/pEK0 և C-25/pVOG10 շտամների հատկությունները ածխածնի և ազոտի աղբյուրների տարրեր կոնցենտրացիաների դեպքում: Կատարվել է *C. glutamicum* C-25, C-25/pEK0 և C-25/pVOG10 շտամների ֆերմենտացիա $\Phi 1$, $\Phi 1 + 3\%$ սախարոզ պարունակող, $\Phi 1 + 3\%$ սախարոզ + 1.5% ամոնիումի սոլֆատ պարունակող և 1% պիրուվատ պարունակող միջավայրերով: Համեմատվել է նրանց սերիս արտադրելու ակտիվությունը, կուլտուրալ հեղուկի օպտիկական խտությունը, սախարոզի և ամոնիումի սոլֆատի մնացորդային քանակությունները: Տվյալները ներկայացված են այուսակ 2-ում: Բոլոր առյուսակների տվյալները միջինացված են երեք փորձերից:

Բոլոր չորս միջավայրերում C-25/pVOG10 շտամի սերին արտադրող ակտիվությունը ավելի բարձր է C-25 և C-25/pEKO շտամերի սերին արտադրող ակտիվությունից: Սախարոզի քանակի մեծացումը չի ավելացնում սերինի արտադրողականությունը, այսինքն սախարոզի համար օպտիմալ կոնցենտրացիա է 10%-ը, իսկ սախարոզի և ամոնիումի սոլֆատի քանակների միաժամանակյա մեծացման դեպքում իջնում է C-25 և C-25/pEKO շտամերի աճի տեմպը և սերին արտադրելու ունակությունը սակայն C-25/pVOG10 շտամի սերին արտադրելու ունակությունը մնում է այնպիսին, ինչպիսին Ֆ1 միջավայրում է: Այսինքն կարելի է ենթադրել, որ C-25/pVOG10 շտամը ավելի դիմացկուն է ազտի բարձր պարունակության համեմա: Դետաքրքիր է, որ Փերմենտացիոն միջավայրին

Արդյունքներ և
քննարկում: *C. glutamicum*
C-25/pVOG10 տրանս-
ֆորմանտների ստա-
ցումը: pVOG10 պլազմիդը
պարունակում է *gdh* գԵնի
կոդավորող հատվածը
առանց սեփական պրոմո-
տերի: *gdh* ԳԵնի այս կոդա-
վորող հատվածը գտնվում է
TacP պրոմոտերի Սերքո, որն
արհեստական պրոմոտեր է, և
հայտնի է, որ այն տրանս-
կրիպցիայի է ենթարկվում *C.*
glutamicum-ի բջիջներում [6]:
Կատարվել է *C. glutamicum* C-
25 շտամի տրանսֆորմացիա
pVOG10 պլազմիդով, և
ուսումնասիրվել է այդ գԵնի
ողակի մեծացման ազդեցու-

1% կոնցենտրացիայով պիրուվատ ավելացնելու դեպքում բարձրանում է բոլոր երեք շտամերի սերին արտադրելու ակտիվությունը և OD_{600} -ը: Դա կարելի է բացատրել նրանով, որ պիրուվատը կարող է հանդիսանալ սերինի սինթեզի նախանյութ [10]:

Աղյուսակ 2. ֆ1, ֆ1 + 3% սախարող պարունակող, ֆ1 + 3% սախարող + 1.5% $(NH_4)_2SO_4$ և ֆ1 + 1% պիրուվատ պարունակող միջավայրերով կատարված ֆերմենտացիայի արդյունքները

Շտամ	Սիջավայրեր	Սերին, գ/լ	Սախարող, %	$(NH_4)_2SO_4$, %	OD_{600}
C-25	ֆ1	10	0	1.24	0.23
	ֆ1, 13% սախարող	10	3.6	1.3	0.17
	ֆ1, 13% սախարող, 4.5% $(NH_4)_2SO_4$	9	3.78	3	0.12
	ֆ1, 1% պիրուվատ	12	0.86	1.2	0.3
C-25/pEK0	ֆ1	10	0	1.25	0.24
	ֆ1, 13% սախարող	10	3.6	1.3	0.16
	ֆ1, 13% սախարող, 4.5% $(NH_4)_2SO_4$	9	3.77	3	0.13
	ֆ1, 1% պիրուվատ	12	0.86	1.23	0.3
C-25/pVOG 10	ֆ1	12	0	1.17	0.25
	ֆ1, 13% սախարող	12	3.25	1.1	0.17
	ֆ1, 13% սախարող, 4.5% $(NH_4)_2SO_4$	12	3.3	2.6	0.24
	ֆ1, 1% պիրուվատ	14	0.86	1	0.3

Վիտամիների ազդեցությունը *C. glutamicum*-ի բջիջների սերին արտադրելու ունակության վրա: Կատարվել է ֆերմենտացիա հետևյալ վիտամիններով՝ պիրիդօքսին, ֆոլաթրու, պանտոտենաթրու, պամինարենզոյական թթու: Աղյուսակ 3-ից երևում է, որ առանձին-առանձին պիրիդօքսինով, ֆոլաթրովով և պանտոտենաթրովով միջավայրերի դեպքում C-25, C-25/pEK0 և C-25/pVOG10 շտամերի սերին սինթեզող ակտիվությունը բարձրանում է մեկական գ/լ-ով, նրանցից երկուսի միաժամանակյա օգտագործման դեպքում բարձրանում է երկուական գ/լ-ով, իսկ երեքի միաժամանակյա օգտագործման դեպքում բարձրանում է չորս գ/լ-ով: Աղյուսակից երևում է, որ բոլոր շտամերի օպտիկական խտությունները, այսինքն ածի մակարդակները վիտամիններով միջավայրերի դեպքում ավելի բարձր են, և սերինի արտադրության բարձրացումը կարող է դրա հետևանքը լինել:

Պիրուվատի C-25 շտամով ֆերմենտացիայի համար օպտիմալ կոնցենտրացիայի որոշումը: Պիրուվատը հանդիսանում է սերինի սինթեզի նախանյութ *C. glutamicum* բջիջներում: Կատարվել է *C. glutamicum* C-25 շտամի ֆերմենտացիա 0.5%, 1% և 1.5% պիրուվատ պարունակող միջավայրերու: Տվյալները ներկայացված են աղյուսակ 4-ում:

Աղյուսակ 4-ի տվյալները վկայում են, որ պիրուվատի օպտիմալ կոնցենտրացիան C-25, C-25/pEK0 և C-25/pVOG10 շտամերի ֆերմենտացիայի համար 1%-ն է, դրանից ավել պիրուվատի կոնցենտրացիան բարձրացնելու դեպքում տվյալ շտամերի սերին սինթեզող ակտիվությունը չի բարձրանում:

Աղյուսակ 3. Վիտամինների ազդեցությունը սերինի արտադրման վրա:

Միջավայր		C-25	C-25/pEKO	C-25/pVOG10
Ֆ1	Սերին գ/լ	10	10	12
	OD ₆₀₀	0.22	0.22	0.27
Ֆ1. պիրիդօքսին	Սերին գ/լ	11	11	13
	OD ₆₀₀	0.22	0.22	0.25
Ֆ1. ֆոլաթրու	Սերին գ/լ	11	11	13
	OD ₆₀₀	0.22	0.22	0.24
Ֆ1. պանտոտենաթրու	Սերին գ/լ	11	11	13
	OD ₆₀₀	0.24	0.24	0.26
Ֆ1. π-ամինաթենօղյաթրու	Սերին գ/լ	10	10	12
	OD ₆₀₀	0.25	0.24	0.27
Ֆ1. պիրիդօքսին, ֆոլաթրու	Սերին գ/լ	11	11	13
	OD ₆₀₀	0.23	0.22	0.24
Ֆ1. պիրիդօքսին, պանտոտենաթրու	Սերին գ/լ	13	13	15
	OD ₆₀₀	0.27	0.26	0.28
Ֆ1. ֆոլաթրու, պանտոտենաթրու	Սերին գ/լ	12	12	14
	OD ₆₀₀	0.25	0.24	0.27
Ֆ1. պիրիդօքսին, ֆոլաթրու, պանտոտենաթրու	Սերին գ/լ	14	14	16
	OD ₆₀₀	0.26	0.25	0.28

Ծանոթություն. Պիրիդօքսինը ավելացվել է 1 մգ/լ կոնցենտրացիայով. ֆոլաթրու 1.5 մգ/լ, պանտոտենաթրուն 5 մգ/լ. π-ամինաթենօղյաթրուն 1 մգ/լ:

**Աղյուսակ 4. Պիրուվատի տարրեր կոնցենտրացիաներով կատարված
ֆերմենտացիայի արդյունքները**

Միջավայր	Սերին, գ/լ		
	C-25	C-25/pEKO	C-25/pVOG10
Ֆ1	10	10	12
Ֆ1 + 0.5% պիրուվատ	11	11	13
Ֆ1 + 1% պիրուվատ	12	12	14
Ֆ1 + 1.5% պիրուվատ	12	12	14

Այստեղ կատարված բոլոր ուսումնասիրություններից երևում է, որ pVOG10 պլազմիդը, որը պարունակում է TacP պրոմոտերի ներքո *C. glutamicum*-ի GDH-ի գենի կոդավորող հատվածը, ցուցաբերում է *C. glutamicum* C-25 շտամի սերին սինթեզող ակտիվության մեծացման հատկություն: Կարելի է ենթադրել, որ սերին սինթեզող ակտիվության մեծացումը կապված է թջում գլյուտամինաթթվի քանակի մեծացման հետ, քանի որ գլյուտամինաթթուն հանդիսանում է ամին խմբի դոնոր սերինի սինթեզի համար: Գրականության մեջ կան տվյալներ, որ բազմապատկված *gdh* գեն պարունակող *C. glutamicum*-ի շտամում GDH-ի ակտիվությունը մեծանում է 8 անգամ, սակայն դա չի բերում գլյուտամինաթթվի գերարտադրության բարձրացմանը [4], ըստ երևույթին գլյուտամինաթթվի տրամադրության սահմանափակման պատճառով: Մեր դեպքում *C. glutamicum* C-25 շտամը սերինի արտադրիչ շտամ է, և նրանում գլյուտամինաթթվի քանակությունը ըստ երևույթին բավարար չէ: Կարելի է ենթադրել, որ pVOG10 պլազմիդի ներակյությունը բարձրացնում է *C. glutamicum* C-25 շտամի՝ սերին

սինթեզող ակտիվությունը հավանաբար բջջում գլյուտամինաթթվի քանակի բարձրացման շնորհիվ: Դարկ է նշել նաև, որ *gdt* գենի տրանսկրիպտը ավելի երկար է, քան սպիտակուց կողավորող հաջորդականությունը: Գենի 5' ծայրից ընկած 259 նուկլեոտիդից բաղկացած հատվածի դերը *gdt* գենի տրանսկրիպցիայի կարգավորման մեջ դեռևս չի բացահայտված: Մեր կողմից կառուցված պլազմիդում *gdt* գենի այդ հատվածը, ինչպես նաև *gdt* գենի սեփական պրոմոտերը փոխարինված է *TacP* պրոմոտերով: Եվ եթե կա *gdt* գենի տրանսկրիպցիայի կարգավորման մեխանիզմը, ապա նա չի գործում *pVOG10* պլազմիդի կազմում գտնվող *gdt* գենի արտահայտման վրա: Սակայն այդ երևույթի հստակ ապացույցի համար անհրաժեշտ է կատարել *C. glutamicum* C-25/ *pVOG10* տրանսֆորմանտների *gdt* գենի տրանսկրիպցիային վերաբերվող հետազոտումներ: Սա կարևոր է սերինի արտադրիչ շտամների ակտիվության բարձրացման, նրանց կատարելագործման համար:

ԳՐԱԿԱՆՈՒԹՅՈՒՆ

1. Шапиро Д. К. Практикум по биологической химии, 1976.
2. Bormann E.R., Eikmanns B.J., Sahm H. Molecular Microbiology. 6(3), 317-326, 1992.
3. Brosius J., Holt A. Proc. Natl. Acad. Sci. USA 81. 6929-6933, 1984.
4. Burkovski A. FEMS Microbiology Reviews. 27, 617-628, 2003.
5. Dunigan L.K., Shivnan E. Bio/Technology. 7, 1067-1071, 1990.
6. Eikmanns B.J., Kleinertz E., Liebl W., Sahm H. Gene, 102, 93, 1991c.
7. European Patent No. 0931833 A2.
8. Flodin N.W. J. Am. Coll. Nutr., 12, 486, 1993.
9. Follettie M.T., Archer J., Peoples O.P., Sinskey A.J. In: Proc. Sixth Intern. Symp. on Genetics of Industrial Microorganisms. Heslot, H., Davies, J., Florent, J., Bobichon, L., Durand G., and Penasse, L., Eds., Paris, 315, 1991.
10. http://www.kegg.com/dbget-bin/get_pathway?org_name=cgl&mapno=00260
11. Martin J.F., Santamaria R., Sandoval H., del Real G., Mateos L.M., Gil J. A., Aguilar A. Bio/Technology, 5, 137, 1987.
12. Sambrook J., Fritsch E.F., Maniatis T. Molecular Cloning: a Laboratory Manual, Cold Spring Harbor, NY: Cold Spring Harbor Laboratory, 1989 2nd .edn.

Поступила 07.IX.2005

Биол. журн. Армении, 3-4 (57), 2005

УДК 575:599.9

EXTREME CODON BIAS DIFFERENCES IN MITOCHONDRIAL GENOMES OF *TETRAHYMENA* AND *PARAMECIUM*

M.M. MORADIAN

Primex Clinical Laboratory, CA, USA, mmoradian@ucla.edu

The codon usage differences in mitochondrial genomes of two ciliated protozoa, *Tetrahymena* and *Paramecium* have been investigated. Although they contain the same tRNA genes with the same anticodon and a very similar amino acid composition in their shared mitochondrial proteins, their codon preferences are extremely different. Codons, which end in A or T, are used 91% of the time in *Tetrahymena* where their incidence in *Paramecium* mitochondrial proteins is only 43%. Basically in *Tetrahymena*, with over 80% AT content, all amino acids with no exception prefer synonymous codon(s) that end in either A or T. Also, the GC contents at all three codon positions were significantly higher in *Paramecium* mitochondrial proteins. Differences in nucleotide composition at the second and third codon positions clustered mitochondrial proteins into two distinct groups. There was a clear relationship between extreme codon usage bias quantified by the Effective Number of Codons (ENC) and the GC content at the third codon positions in *Tetrahymena*. However, no relationships were observed between the ENC and gene lengths in either mitochondrial genome. tRNA availability, which is selectively imported from cytosol into mitochondria is a possible driving force for such biased codon usage in *Tetrahymena* has been postulated.

Extreme codon - mitochondriae genome - ciliated protozoa

The number of completely sequenced genomes is rapidly on the rise and they have recently provided an extensive sample of evolutionary adjustment of codon usage and meaning spanning their history [15], which is true for both nuclear and organelle genomes. The mitochondrial and nuclear DNA cannot be distinguished by physical and chemical (e.g., buoyant density and binding affinity) characteristics and in this sense the mitochondrial DNA is not unique. However, the metabolism of mitochondrial DNA in ciliate *Tetrahymena* is reported to be different from that of nuclear DNA suggesting that it is produced via a different metabolic pathway than nuclear DNA [3]. Therefore, despite their physical and chemical similarities nuclear and mitochondrial DNA are produced by different DNA synthetic systems. Transcription machinery may also be different in mt DNA in ciliates since there are no distinct promoter regions for individual genes. A comparative sequence analysis of an intergenic region among five *Tetrahymena* species revealed a conserved GC promoter region (data not published). This region is particularly interesting since its ability to initiate a bi-directional transcription suggests a polycistronic transcription in these mt genomes. Such differences inspired us to study the codon usage choices in ciliate

mitochondrial genes and present the mechanisms responsible for them.

Codon usage appears to be non-random in synonymous codon families in all life forms. There are several processes considered to cause biased codon usage such as natural selection [1, 25] and directional mutation pressure [11, 22, 13]. Also, a positive correlation between tRNA frequencies and frequently used codons [10, 19] and between gene expression level and codon bias [9, 18] has been reported. Furthermore, possible roles for gene length [7, 19], gene function [8], secondary protein structure [21, 29], the origin of genes [14, 17], and the chromosomal regional location of genes [6, 26] in determining the codon choices have been proposed. The codon usage bias is a very well researched field, yet surprisingly an overwhelming number of these studies are on nuclear genomes. The focus of mitochondrial projects has been on genetic code definition and variation, which explain how codons are lost and reassigned in mitochondria. Although there are several variables that may affect the codon usage bias, there is no universal mechanism that can be delineated in every genome. Thus, analyzing more genomes with different natures may reveal novel information and unveil new mechanisms for their codon usage choices.

Mitochondrial genomes may possess unique mechanisms for codon usage since the factors responsible for codon bias may act differently in mitochondrial and nuclear DNA. Purifying selection for translational efficiency and accuracy is strong on highly expressed genes in nucleus resulting in a distinct codon usage bias. On the other hand, in lowly expresses genes selection is relatively weak, so the usage pattern is mainly affected by mutation pressure and random genetic drift and may be less skewed [25]. Genes in mitochondrial DNA, especially in ciliates, have equal expression levels because they transcribe the entire genome at once. Thus a variable expression level and selective pressure may not play a major role in mitochondrial codon usage choices. Codons, as DNA sequences, are subject to mutational pressure acting on all DNA sequences in any organism. In prokaryotes, in general, genome wide codon bias is determined primarily by mutational pressure, where GC content variation is the most important factor in determining the codon usage choices between different organisms [5]. Also, species-specific codon bias is strongly correlated with overall genome percentage GC content [12]. The G+C nucleotides content in the third codon position has been used as an indirect measure of the extent of bias in different synonymous codons and is significantly correlated with codon bias in many organisms, however it is not universal [25]. Since AT mutational pressure acts on majority of the mitochondrial genomes it is plausible to suggest that the AT-rich genomes tend to use AT-rich codons and vice versa. However AT-richness may be due only to an abundance of T, which may range between 13% at the third codon position, as in the bird *Aythya americana* to 68%, as in nematode *Onchocerca volvulus* [15]. Nevertheless, mutational pressure may be considered a potential cause for codon usage bias in nuclear as well as in mitochondrial genome.

Materials and Methods.

Plots.

Tetrahymena and *Paramecium* mitochondrial genes were converted to codons through using

DNA_Strider [16]. DNA Strider is a new integrated DNA and Protein sequence analysis program written with the C language for the Macintosh Plus, SE and II computers. It has been designed as an easy to learn and use program as well as a fast and efficient tool for the day-to-day sequence analysis work. The PR2 bias plots and neutrality plots [28] were made using the nucleotide compositions in different positions of the codons. The strength of the selection on a given gene relative to the mutation pressure can be estimated by the method of the relative neutrality plot (RNP), which gives indications on how 'neutral' a coding sequence can be considered. The method consists of plotting the G+C content at the constrained (or nonsynonymous) positions (that is, first and second positions) of the codons against the G+C content at the relaxed (or synonymous) position (that is, third position). The slope of the resulting linear correlation gives evidence on how the protein sequence is affected by the mutational bias acting on the nucleotide sequence, and thus on how strongly the selection pressure acting on the protein can counteract this bias. Note that the effect measured is relative to the translational selection acting on the third position of codons and that the strength of this pressure is supposed to be weak compared to the selection on the protein sequence. The slope is expected to be equal to one if the protein sequences are under no selective constraints, and to decrease with the strength of the selection acting at the protein level. Translational selection is also expected to reduce the correlation, though to a lower extent. For this study, I analyzed the correlations according to different mitochondrial genomes to determine whether there were differences in the relative selection pressures in each of the genomes. In a PR2-bias plot, the value of the AT-bias $A/(A+T)$ is plotted as the ordinate and the value of the GC-bias $|G/(G+C)|$ is plotted as the abscissa [28]. In this plot, the center of the plot, where both coordinates are 0.5, is the place where A=T and G=C, holding PR2. A vector from the center represents the extent and direction of biases from PR2. PR2 bias plots are particularly informative when PR2 biases at the third codon position of the four-codon amino acids of individual genes are plotted. In this case, $A_3/(A_3+T_3)$ and $'G_3/(G_3+C_3)$ are plotted as the ordinate and abscissa respectively. A_3 , T_3 , G_3 and C_3 are fractions of the corresponding nucleotides at the third codon position, where $A_3+T_3+G_3+C_3=1$. PR2 biases at the third codon position are presented for all codons in both *Tetrahymena* and *Paramecium* mitochondrial genes.

ENC, CBI, Chi₂ Calculations.

Effective number of codons, codon bias index, and Chi square values were calculated using DNAsP. DnaSP, DNA Sequence Polymorphism, is a software package for the analysis of nucleotide polymorphism from aligned DNA sequence data. DnaSP can estimate several measures of DNA sequence variation within and between populations (in noncoding, synonymous or nonsynonymous sites, or in various sorts of codon positions), as well as linkage disequilibrium, recombination, gene flow and gene conversion parameters [23]. One method to quantify variations in base composition patterns is to determine how similar the observed frequencies are to the expected frequencies. The predicted usage of codons can be estimated for any given GC-content at third codon position if the patterns are determined solely by mutations. One such plot is the ENC-GC3 plot. ENC refers to the effective number of codons used at a given GC-content at third codon position. The effective number of codons can be shown as if all 61 codons are used at equal frequencies the ENC value is 61 (for 61 codons), but if only one codon on the average is used for each amino acid the ENC value approaches 20 (for 20 amino acids and one codon per amino acid). As the GC-contents at third codon positions change from 50% to either a higher or a lower GC-content, the number of codons used per amino acid is reduced. In AT-rich genomes, codons ending in A or T are primarily used. In GC-rich genomes, codons ending in G or C are primarily used. By determining the extent to which the observed number of effective codons deviates from the predicted number of effective codons, it is possible to estimate the extent to which the genes within a dataset are subjected to constraints other than mutational effects [30]. Codon bias index is another measure of directional codon bias, it measures the extent to which a gene uses a set of optimal codons. In a gene with absolute codon bias, CBI will equal 1.0, in a gene with random codon usage CBI will equal 0.0. It is possible that the number of optimal codons be less than expected number of codons by random chance. This results in a negative value for CBI [28]. The scaled Chi 2 is a measure of departure from equal use of synonymous codons estimated by a Chi 2 statistic scaled by dividing it by the number of codons analyzed; the higher the values, the higher the degree of bias, and 0 indicates a perfectly uniform usage. In the present study scaled Chi 2 was estimated with the correction for continuity, consisting in subtracting 0.5 from the absolute value of the deviation between observed and expected frequencies, when the observed number of synonymous codons is less than 5. Equivalent analyses of the scaled Chi 2 were also performed without correcting for continuity.

Results and discussion.**Amino acid composition and tRNA content.**Table 1. tRNA content in mitochondrial genomes of *Tetrahymena* and *Paramecium*

Paramecium tRNAs			Tetrahymena tRNAs		
AA	anticodon	codon	AA	anticodon	codon
TAC tyr Y	GUA	UAC	TAC tyr Y	GUA	UAC
TTC phe F	GAA	UUC	TTC phe F	GAA	UUC
TGA trp W	UCA	UGA	TGA trp W	UCA	UGA
ATG met M	CAU	ATG	ATG met M	CAU	AUG
			CAC his H	GUG	CAC
			GAA glu E	UUC	GAA
			TTA leu L	UAA	UUA

Table 2. Amino acid composition of genes in *Tetrahymena* and *Paramecium* mt genomes. The Analysis of Variance (ANOVA) between these two genomes indicates the similarity of their amino acid compositions (*p*value=0.96).

Percentage Amino Acid	Tetrahymena Genes	Paramecium Genes
F	9,8	13,4
L	12,4	12,5
I	11,1	4,8
M	2,2	3,1
V	4,4	6,2
S	7,3	7,5
P	2,1	2,6
T	4,6	5,0
A	3,0	5,5
Y	6,9	5,0
H	1,6	1,8
Q	1,9	2,0
N	9,3	5,1
K	8,0	6,8
D	2,7	3,0
E	3,0	3,4
C	0,9	1,6
W	1,9	2,0
R	3,2	3,9
G	3,7	4,7

Table I shows the list of tRNAs shared by *Tetrahymena* and *Paramecium* mt genomes. These four tRNA genes (i.e., Tyrosin (Tyr), Phenylalanine (Phe), Tryptophan (Trp), and Methionine (Met)) have the same anticodon sequence in both species, suggesting that these mt genomes may behave similarly in using synonymous codons. Besides, *Tetrahymena* mitochondria contain three additional tRNAs (i.e., Leucine(Leu), Glutamic acid (Glu), and Histidine (His)). The overall amino acid composition of the mt genes in these two genomes was significantly similar, suggesting that the transmembrane and ribosomal proteins coded by these genomes evolved in parallel with regards to their amino acid usage (Table 2). This striking similarity may imply that either the amino acid composition of *Tetrahymena* and *Paramecium* mt genomes has not been

significantly diverged from their latest common ancestor or they have been subject to a similar evolution.

Synonymous codon usage and nucleotide composition.

Despite similarities mentioned earlier, the synonymous codon usage in mt genomes of *Tetrahymena* and *Paramecium* are significantly different (Table 3). There is a strong bias for Adenine and Thymine (A and T) rich codons in *Tetrahymena* mt genome where all of the amino acids with no exceptions overwhelmingly use the synonymous codons, which contain more A and T. More specifically, *Tetrahymena* mt genes prefer codons, which almost exclusively end

Table 3. Synonymous codon usage in *Tetrahymena* and *Paramecium* mt genome for individual amino acid

codons	<i>Tetrahymena</i>	<i>Paramecium</i>	Tetrahymena and Paramecium Codon			codons	<i>Tetrahymena</i>	<i>Paramecium</i>			
			Comparison Table (Usage Percentage)								
			codons	<i>Tetrahymena</i>	<i>Paramecium</i>						
TTT phe F	89	63	TAT tyr Y	86	36	GAA glu E	91	32			
TTC phe F	11	37	TAC tyr Y	14	64	GAG glu E	9	68			
TTA leu L	83	16	TCT ser S	32	26	CGT arg R	8	6			
TTG leu L	3	13	TCC ser S	2	21	CGC arg R	0	15			
CTT leu L	5	19	TCA ser S	37	12	CGA arg R	2	11			
CTC leu L	0	30	TCG ser S	2	9	CGG arg R	0	4			
CTA leu L	8	14				AGA arg R	86	16			
CTG leu L	0	8				AGG arg R	3	48			
			AGT ser S	23	8						
CCT pro P	51	28	AGC ser S	4	25	GGT gly G	80	17			
CCC pro P	2	51	ACT thr T	50	24	GGC gly G	2	36			
CCA pro P	45	19	ACC thr T	5	36	GGA gly G	15	25			
CCG pro P	3	3	ACA thr T	45	19	GGG gly G	4	23			
GTT val V	49	34	ACG thr T	0	21	GCT ala A	56	31			
GTC val V	3	28				GCC ala A	4	38			
GTA val V	44	21	ATT ile I	92	43	GCA ala A	35	24			
GTG val V	3	17	ATC ile I	8	57	GCG ala A	4	7			
CAT his H	79	33	ATA met M	75	38	TGT cys C	88	30			
CAC his H	21	67	ATG met M	25	62	TGC cys C	12	70			
CAA gln Q	97	41	AAT asn N	87	36	TGA trp W	97	50			
CAG gln Q	3	59	AAC asn N	13	64	TGG trp W	3	50			
GAT asp D	88	40	AAA lys K	97	39	TAA Stop	100	57			
GAC asp D	12	60	AAG lys K	3	61	TAG Stop	0	53			

with either A or T. On the other hand, *Paramecium* has less biased and more balanced codon usage and—especially in two fold degenerate codons—acts opposite to *Tetrahymena*. *Paramecium* mt genes do not discriminate against codons ending in guanine (G) or cytosine (C) and use these codons at approximately 50% of the time, especially for amino acids that are encoded by four and/or six codons. Unlike in *Tetrahymena*, *Paramecium* mt genes prefer codons that end in G or C in two fold degenerate codons with the exception of Phe (Table 3). These two mt genomes share four tRNAs with the same anticodon sequence (i.e., Tyr, Phe, Trp, and Met), where the first three of these common tRNAs are capable of wobbling. In *Tetrahymena* tRNAs Tyr, Phe, and Trp strongly and effectively use wobbling where they choose to pair a synonymous codon with higher AT content rather than a codon with complementary sequence to the mitochondrial encoded tRNA anticodons. In contrast *Paramecium* mt genes do not discriminate against codons with low AT content, in fact, many amino acids use synonymous codons, which possess higher GC content (Table 3). In addition tRNA His, which is only coded in *Tetrahymena* mitochondria acts in the same manner as the common ones.

A few codons have disappeared from *Tetrahymena* mt genome where as all codons are used in *Paramecium* mt genes. They include two of the Leu (CTC and CTG) and two of the Arginine (Arg) codons (CGC and CGG) along with a Threonine (Thr) codon (ACG). Codon (TAG), which is a stop signal in *Tetrahymena* nucleus and *Paramecium* mitochondria, is also missing in *Tetrahymena*. Such significant differences between *Tetrahymena* and *Paramecium* mitochondrial codon usage may suggest different grounds and mechanisms for codon usage bias

between mitochondria of these two ciliates.

The nucleotide composition of *Tetrahymena* and *Paramecium* mitochondrial genomes are conspicuously different. In *Tetrahymena* mitochondria, mutational bias is clearly towards an AT rich genome where over 80% of the nucleotides are either A or T. Yet just 59% of *Paramecium* mitochondrial genome is A or T. Also, codons ending in A or T comprise 91% of the codons used in *Tetrahymena* mt genes compared to 43% in *Paramecium*, yet interestingly in both species, T is used slightly more than A at the third codon position (Table 4). To investigate whether these differences in nucleotide composition affect codon choices and whether they are restricted in any of the codon positions, the relation between G and C and between A and T content in all codon families was analyzed by PR2 bias plots [25]. Plots in figure 1 indicate that the nucleotide content

of mitochondrial genomes in *Tetrahymena* and *Paramecium* is quite diverse and may affect their codon choices. This is more obvious in second and third codon positions where the genes of the two species are assembled into two distinct clusters (Figure 1b and 1c). *Paramecium* codons are particularly interesting since their second codon position is almost exclusively comprised of G and the major base of the third position is C. Hence, in all codon groups except Arg the codon that ends in C is most frequently used (Table 3).

GC contents in *Tetrahymena* and *Paramecium* mitochondrial genes analyzed in this study indicate that the average GC3s are significantly higher in *Paramecium* (ANOVA pvalue= 2.1*E-20). GC1 and GC2 are also significantly higher in *Paramecium* (Table 5). These results are consistent with the higher GC

Table 4. AT composition (percentages) at the third codon position of *Tetrahymena* and *Paramecium*

Codon Percent	<i>Tetrahymena</i>	<i>Paramecium</i>
Third pos AT	91	43
Third pos A	47	44
Third pos T	53	56

Table 5. Summary of codon usage in *Tetrahymena* and *Paramecium* mitochondria

	# Codons	GCall	GC1	GC2	GC3	ENC	CBI	SChi2
<i>Tetrahymena</i>	7439	0.2208	0.1279	0.2951	0.0805	30.16	0.764	1.297
<i>Paramecium</i>	7190	0.4445	0.6524	0.3416	0.5598	50.35	0.398	0.417
ANOVA pvalue	-	3.0'E-15	2.8'E-18	0.05	2.1'E-20	5.4'E-15	1.9'E-15	4.1'E-16

contents in *Paramecium* mt genome [4]. Differences in GC contents are greatest at the third codon position followed by the first and the second positions, suggesting that a different GC mutation bias leads to different codon choice despite little changes in proteins' amino acid composition. To determine the nature of the relations among three codon positions, neutrality plots [27] are analyzed for *Tetrahymena* and *Paramecium* mitochondrial genes (Figure 2). These plots (GC12 vs GC3) indicate that *Paramecium* has a wide range of GC3, whereas *Tetrahymena* has narrow GC3 distribution. If the slope of the regression line is near zero then one may suggest that there are low mutation bias and high conservation of GC contents throughout the genome. In *Paramecium* there is a correlation be-

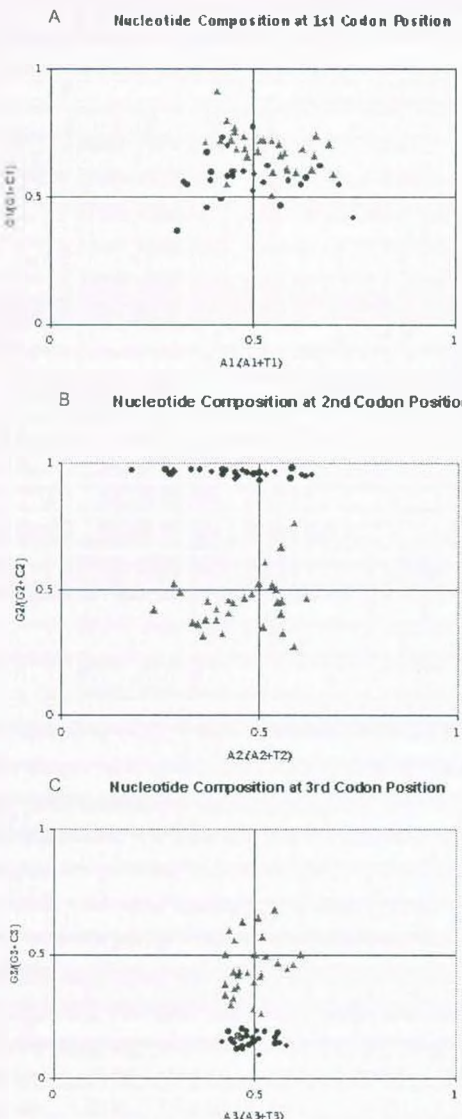


Fig. 1. PR2-bias plots: A-first position [A1/(A1+T1)] against G1/(G1+C1) with average position of $x=0.4930 \pm 0.1110$, $y=0.5715 \pm 0.0859$ for *Paramecium* and $x=0.5394 \pm 0.0813$, $y=0.6593 \pm 0.0896$ for *Tetrahymena*. B-second codon position [A2/(A2+T2)] against G2/(G2+C2) with average position of $x=0.4317 \pm 0.1175$, $y=0.4336 \pm 0.1137$ for *Paramecium* and $x=0.4637 \pm 0.0940$, $y=0.4336 \pm 0.1137$ for *Tetrahymena*. C-third codon position with average position of $x=0.4921 \pm 0.0406$, $y=0.1554 \pm 0.0250$ for *Paramecium* and $x=0.4892 \pm 0.0481$, $y=0.4085 \pm 0.1114$ for *Tetrahymena* [A3/(A3+T3) against G3/(G3+C3)].

second codon position than those with A at this position. Since Tm and Rp proteins in *Paramecium* do not generate any marked clustering I suggest that a strong mutational pressure and a biased codon usage is necessary, and may be used, to cluster proteins based on their function. Thus, I can classify the proteins in *Tetrahymena* mt genome into one of the two clusters according to the frequencies

tween GC contents and the slope of the regression line is approximately 0.25 suggesting that the intra-genomic GC mutation bias affect the GC contents somewhat similarly among all positions of codons in mitochondrial genes. In contrast in *Tetrahymena* the slope of the regression line is quite high (i.e., 1.91), which may indicate high mutation bias and low conservation of GC contents throughout the mitochondrial genome (Figure 2).

Interestingly, the frequencies of bases A and T at the second codon position for each of the transmembrane (Tm) and ribosomal (Rp) proteins in *Tetrahymena* mt genome generate two distinct clusters (Fig. 3). It can be seen that the two groups are separated in a region around the center of the graph (30, 30) by a line $T2 = A2$. Proteins that lie above the line $T2 = A2$, can be categorized as Tm and the ones below the line $T2 = A2$ will be Rp proteins. For bases Guanine (G) and Cytosine (C), the variation in their frequencies is not so marked and the distribution is not shown here. Tm proteins in *Tetrahymena* mitochondria have more codons with T at their sec-

of adenine and thymine at site 2 of their codons.

Codon usage of *Tetrahymena* and *Paramecium* mt genes.

We analyzed the codon usage of genes common to *Tetrahymena* and *Paramecium* mt genomes and demonstrated the results in table 5. The average values are used for each genus and they indicate significant differences in codon usage preferences. ENC measure [30] quantifies the "effective" number of codons that are used in a gene. For a genetic code, the value of ENC ranges from 20 (only one codon is used for each amino acid; i.e., the codon bias is maximum) to 61 (all synonymous codons for each amino acid are equally used; i.e., no codon bias). CBI [20] is a measure of the deviation from the equal use of synonymous codons. CBI values range from 0 (uniform use of synonymous codons) to 1 (maximum codon bias). The calculated ENC and CBI parameters reveal significantly (see ANOVA p-values) greater biased codon usage in *Tetrahymena* than in *Paramecium* mt genomes (Table 5). Also, the Chi² values, which are the "scaled" 2 measures based on the chi square statistics; i.e., based on the difference between the observed number of codons and those expected from equal usage of codons (Shields et al. 1988), indicate radical deviation of codon usage in *Tetrahymena* (Table 4). The relationship between GC3 and ENC was analyzed to determine whether the codon usage differences between *Tetrahymena* and *Paramecium* mt genomes were related to the differences in GC contents at the third codon position (Nc plot, [25]). For comparison simplicity the values for both genome are incorporated in one Nc plot. The patterns of Nc plot are different for proteins in these two ciliate mt genomes (Figure 4A). Proteins in *Tetrahymena* mitochondria appear to cluster around 5%

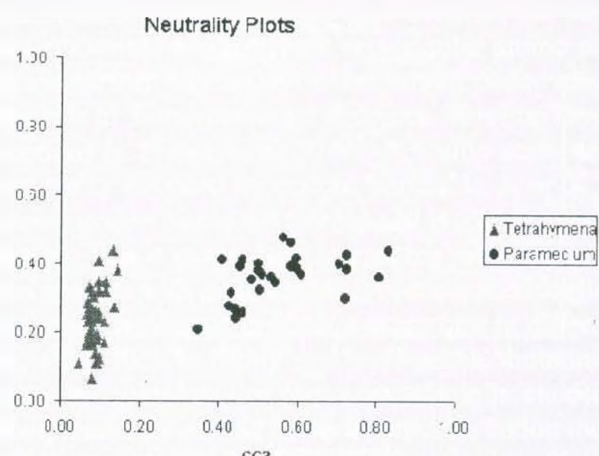


Fig. 2. Neutrality plot (GC12 vs GC3) for *Tetrahymena* and *Paramecium* mt genes. The regression line for *Tetrahymena* is $y=1.914x + 0.064$, $R^2=0.22$, and for *Paramecium* is $y=0.251x + 0.221$, $R^2=0.21$.

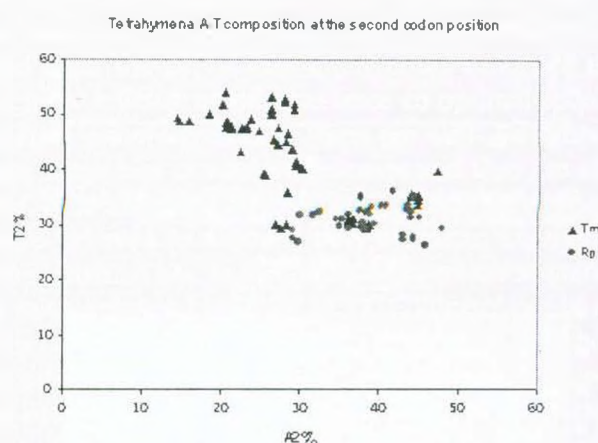


Fig. 3. The occurrence frequency of bases A and T at the second codon position for proteins in *Tetrahymena* mitochondrial genome.

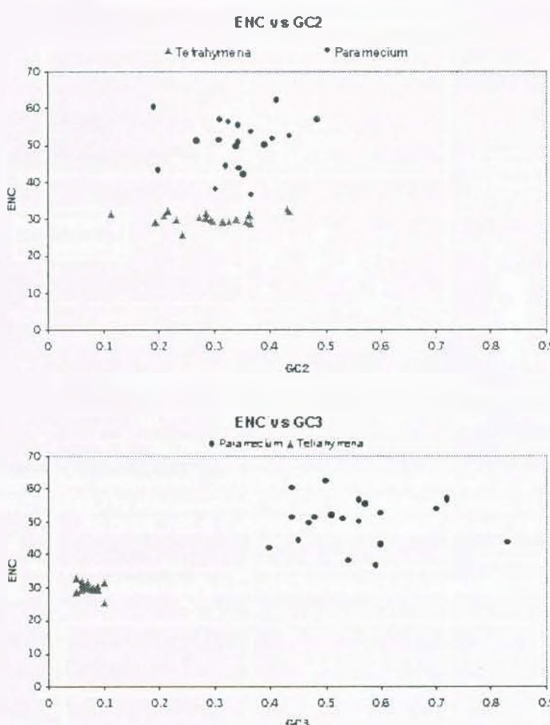


Fig. 4. Relations between GC content and ENCs (Nc plot). A) ENCs are plotted against GC2. B) ENCs are plotted against GC3.

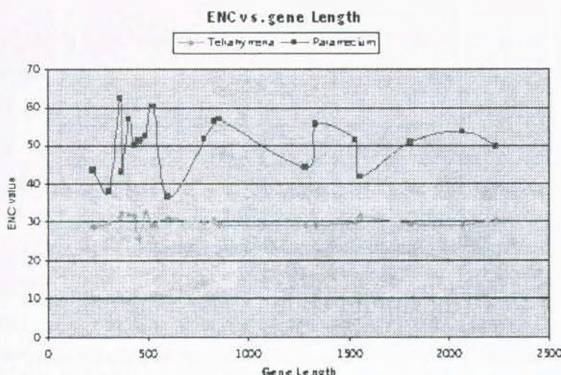


Fig. 5. Relations between gene lengths and ENCs are shown for *Tetrahymena* and *Paramecium* proteins.

with high and long genes (length > 1500 bp) with low ENC values (Figure 5).

It is widely accepted that codon usage in most organisms is controlled by a complex set of rules. Majority of the studies on codon preferences are on nuclear genomes, and consequently the rules that direct the codon usage are shown to be applicable to nuclear genomes. In this project I have identified codon usage bias in mitochondrial genomes of six different species of ciliates *Tetrahymena* and *Paramecium* (see materials and methods) to reveal insights in how mitochondria define their codon usage. The mitochondrial genomes of these two genera share

to 10% GC3, whereas their *Paramecium* counterparts show a wide distribution of 40% to 80%. Unlike GC3, when the ENC is compared with GC2, I observe that GC contents at the second codon position have a fairly similar distribution (Figure 4B). This indicates that the GC content at the third codon position is more likely to be responsible for a biased codon usage in *Tetrahymena*. Also, the relationship between ENCs and the gene lengths were analyzed to determine whether the length of the proteins affect the codon choices. Figure 5 demonstrates these relationships for *Tetrahymena* and *Paramecium* mt genomes. It is quite clear that in *Tetrahymena* mt genome the ENCs, which have a narrow distribution, have no correlation with gene lengths suggesting no apparent role for protein lengths in determining the codon choices. Although the ENCs for *Paramecium* proteins vary relatively more and swing between 40 and 60, the gene length is probably not affecting the codon usage since there are short genes (length < 500 bp)

four tRNAs with identical anticodon sequences. They also code for the same group of transmembrane and ribosomal proteins with very similar amino acid compositions. Although such similarities may suggest a comparable codon usage, actual results indicate a strong bias in *Tetrahymena* mt genomes. This bias results in exclusive use of AT rich codons in *Tetrahymena* where all amino acids, with the exception of Phe, are primarily encoded by codons ending in A or T. In contrast, *Paramecium* mt genome codon bias is less intense and is geared towards balanced use of GC rich codons. This is particularly interesting since mt genes from these two ciliates express proteins with quite similar sequences and identical functions. Although there are various reasons for codon usage bias in different organisms and gene families, a few such as highly expressed genes, mutational pressure, and tRNA availability are considered to play a major role in choosing the optimal codons. Rapidly expressed genes tend to use a particular codon more often than the other synonymous one(s), which allows them to supply sufficient copies of metabolically important proteins in shorter periods of time. In these genes codons may be under or over represented resulting in a different codon usage. Also, in some organism codon preferences may follow mutational pressure unique to that organism and consequently prefer codons with higher contents of a particular base(s). In several cases the tRNA availability could influence the codon choices and provide a more efficient translation since an optimal codon-anticodon pairing may accelerate protein synthesis. These are well-established reasons responsible for codon usage bias in nuclear genomes and they are also very likely to cause preferential codon usage in mt genomes. Ciliates *Tetrahymena* and *Paramecium* mt genes are believed to follow a poly-cystronic expression suggesting a single transcription initiation site. In fact, using comparative sequence analysis in five *Tetrahymena* mitochondria I have found a GC control box in an intergenic region where bidirectional transcription initiates (data not published). Therefore, expression levels may not be the major factor to generate a biased codon usage in *Tetrahymena* since I suppose that the entire mt genes may transcribe in one step. Also, since *Paramecium* mt genes are believed to go through the same poly-cystronic expression and have a single transcription initiation site, they too, should have an extreme preferential usage of codons. However this is not the case and *Paramecium* mitochondrion, which has a fairly balanced codon usage. An AT mutational pressure is quite clear in *Tetrahymena* mt genome, which reflects in its codon preferences where majority of the used codons are AT rich or end in one of these bases. There could be several reasons for this pressure such as different DNA polymerase activity, selection, and so on. Yet since it is shown that *Tetrahymena* mitochondria should import tRNA from cytosol [24], tRNA availability becomes a significant candidate responsible for codon usage bias in this organism and should not be ignored.

REFERENCES

1. Akashi H. Genetics 136: 927-935, 1994.
2. Bennetzen J.L., Hall B.D. J. Biol. Chem. 257: 3026-3031, 1982.

3. Brunk C.F., Hanawalt P.C. *Experimental Cell Research* 54:143-149, 1969.
4. Burger G., Zhu Y., Littlejohn Tim G., Greenwood S.J., Schnare M.N., Lang B.F., Gray M.W. *J. Mol. Biol.* 297(2). March 24, 365-380, 2000.
5. Chen S.L., Lee W., Hottes A.K., Shapiro L., McAdams H.H. *Proc. Natl. Acad. Sci. U S A.* Mar 9; 101 (10) 3480-5, 2004.
6. Chiapello H., Ollivier E., Lande's-Devauchelle C., Nitschke P., Risler J.-L. *Nucleic Acids Res.* 27, 2848-2851, 1999.
7. Duret L., Mouchiroud D. *Proc. Natl. Acad. Sci.* 96:4482-7, 1999.
8. Fuglsang A. Strong associations between gene function and codon usage. *APMIS* 111: 843-847, 2003.
9. Grantham R., Gautier C., Gouy M., Jacobzone M., Mercier R. *Nucleic Acids Res.* Jan 10;9(1):r43-74, 1981.
10. Ikemura T. *J. Mol. Biol.* Feb 15;146(1):1-21, 1981.
11. Jukes T.H., Bhushar V. *J. Mol. Evol.* 24: 39-44, 1986.
12. Kanaya S., Kinouchi M., Abe T., Kudo Y., Yamada Y., Nishi T., Mori H., Ikemura T. *Gene.* Oct 3; 276 (1-2) 89-99, 2001.
13. Kano A., Andachi Y., Ohama T., Osawa S. *J. Mol. Biol.* Sep 20;221(2):387-401, 1991.
14. Karlin S., Mrazek J., Campbell A.M. *Mol. Microbiol.* 29, 1341-1355, 1998.
15. Knight R.D., Landweber L.F., Yarus M. *J. Mol. Evol.* Oct-Nov; 53(4-5):299-313, 2001.
16. Marck C. *Nucleic Acids Res.* 1988 Mar 11;16(5):1829-36, 1988.
17. Medigue C., Rouxel T., Vigier P., Henaut A., Danchin A. *J. Mol. Biol.* 222, 851-856, 1991.
18. Moriyama E.N., Hartl D.L. *Genetics.* Jul; 134 (3):847-58, 1993.
19. Moriyama E.N., Powell J.R. *Nucleic Acids Res.*;26:3188-93, 1998.
20. Morton B.R. *J. Mol. Evol.* 37:273-280, 1993.
21. Oresic M., Shalloway D. *J. Mol. Biol.* 281: 31-48, 1998.
22. Osawa S., Ohama T., Yamao F., Muto A., Jukes T.H., Ozeki H., Umesono K. *Proc Natl Acad Sci U S A.* Feb;85(4):1124-8, 1988.
23. Rozas J., Rozas R. *Comput. Applic. Biosci.* 13: 307-311, 1997.
24. Rusconi C.P., Cech T.R. *J. 1996 Jul 1;15(13):3286-95, 1996A.*
25. Sharp P.M., Li W.H. *J. Mol. Evol.* 24: 24-38, 1986.
26. Sharp P.M., Lloyd A.T. *Nucleic Acids Res.* 21, 179-183, 1993.
27. Sueoka N. *Proc. Natl. Acad. Sci. U S A.* Apr;85(8):2653-7, 1988.
28. Sueoka N. *J. Mol. Evol.* Jul;49(1):49-62, 1999.
29. Tao X., Dafu D. *FEBS Lett.* 434:93-6, 1998.
30. Wright F. *Gene.* Mar 1; 87 (1): 23-9, 1990.

Поступила 25.VII.2005

Բιոլոգ. ժурн. Հայաստան, 3-4 (57), 2005

УДК 574.5:582.232/275/479.25

**ՄԱՐՄԱՐԻԿ ԳԵՏԻ ՖԻՏՈՓԼԱՆԿՈՆԱՅԻՆ ԴԱՍԱԿԵՑՈՒԹՅԱՆ
ՏՄՐԵԿԱՆ ԴԻՆԱՍՏԻԿԱՆ**

Վ.Լ. ԲԱԴԱԼՅԱՆ

ՀՀ ԳԱԱ Յիշուպէկոլոգիայի և ծկնարանության ինստիտուտ, 375019, Երևան

Նպատակ ունենալով պարզել Յրազդան գետի գլխավոր վտակի Մարմարիկ գետի ֆիտոպլանկտոնային (ֆիկոպլանկտոնային) համակեցության քանակական և տեսակային կազմը 2004թ. ընթացքում կատարվել են Մարմարիկ գետի ջրերի ջրակենսաբանական ուսումնասիրություններ: Նկարագրվել է գետի ֆիտոպլանկտոնային համակեցության տարեկան դինամիկան և ֆիտոպլանկտոնային առանձին ներկայացուցչներ, ինը ընդունելով որպես ջրերի աղտոտվածության և էվտրոֆացման կենսաբանական ինդիկատորներ բնութագրվել է գետի ջրի որակը: Պարզվել է, որ ըստ ջրակենսաբանական ցուցանիշների գետը դասվում է քիչ աղտոտված ջրային համակարգերի դասին:

Впервые в 2004 проведены гидробиологические исследования вод главного притока р. Раздан - р. Мармарик с целью выяснения количественного и видового состава сообщества фитопланктона (фиковпланктона). Показана годовая динамика сообщества фитопланктона. Рассматривая отдельные виды фитопланктона как биологические индикаторы загрязненности и эвтрофированности вод, описывается качество вод р. Мармарики. Показано, что по гидробиологическим показателям река относится к классу малозагрязненных водных систем.

In 2004 the hydrobiological researches of waters of the river Marmarik which is the main stream of the river Hrazdan were carried out for the first time and our objective was the definition of quantity and species diversity of phytoplankton. The annual dynamics of the community of phytoplankton of the river was given, and by taking individuals species of phytoplankton as biological indicators of pollution and eutrophication, it was defined the quality of water of river Marmarik. According to hydrobiological criteria the river Marmarik classifies in the category of the water system not much polluted.

**Ֆիտոպլանկտոն - էվտրոֆիկացիա - աղտոտվածություն - կենսագագաթ -
սուկցեսիա**

Զրային համակարգերում առաջնային օրգանական նյութի և թթվածնի սինթեզի դերը հիմնականում պատկանում է ավտոտրոֆ համակեցությանը: Դեռևարար այս տեսակետից կարևոր ցուցանիշ է հանդիսանում ֆիտոպլանկտոնի քանակական և տեսակային կազմի որոշումը: Մյուս կողմից, ֆիտոպլանկտոնի առանձին ներկայացուցչներ հանդիսանում են ջրերի աղտոտվածության և էվտրոֆացման կենսաբանական ինդիկատորներ:

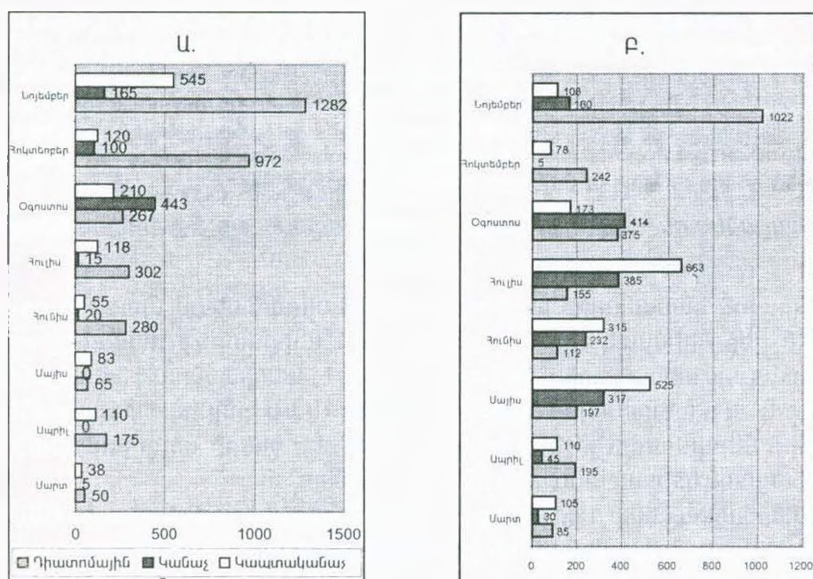
Մարմարիկ գետը, որը սկիզբ է առնում Փամբակի լեռնաշղթային Ծաղկունք լեռներից, բացի Յրազդան գետի ջրահավաք ավագանի գլխավոր բաղկացուցիչ լինելուց, հանդիսանում է նաև ջրակենսաբանական, ջրաէկոլոգիական և բնապահանական ուսումնասիրությունների կարևոր օբյեկտ շնորհիվ իր

աշխարհագրական, սոցիալ-տնտեսական, էներգետիկ և եթեկա առանձնահատկությունների: Գետի երկայնքով կատարելով ջրակենաբանական ուսումնասիրություններ կարելի է բացահայտել մարդածին, արդյունաբերական, գյուղատնտեսական, ռեկրեացիոն և այլ գործոնների ազդեցությունը գետի ջրի որակի անմիջական փոփոխությունների վրա:

Եյութ և մեթոդ: 2004թ. գարնան, ամռան և աշնան ամիսներին, բացառությամբ սեպտեմբերի փորձանուշներ են վերցվել Սարմարիկ գետի վերին և ստորին հոսանքներուն հասուկ ընդրված այնպիսի դիտակետներից, որոնք հանդիսանում են տվյալ տեղանքի համար առավել ինֆորմատիվ, դիտարկելով վերին հոսանքը որպես ֆոնային, իսկ ստորին հոսանքը որպես համեմատարար աղյուտված: Լարորուսոր հետազոտություններն անցկացվել են ՀՀ ԳԱԱ Դիրուկուլոգիայի և ծկնարանության ինստիտուտի ֆիտոպանկունային հետազոտությունների լաբորատորիայում. օգտագործվել են տեսակի հետնորդիկացման համընդհանուր ճանաչում գտած որոշիչներ և ուղեցույցներ [4, 5, 6, 7]:

Արդյունքներ և քննարկում: Մարմարիկ գետի ֆիտոպլանկտոնային համակեցության հետազոտությունների արդյունքում հայտնաբերվել են միայն երեք խմբերի ներկայացուցիչներ՝ դիատոմային, կանաչ և կապտականաչ ջրիմուներ:

Սարմարիկի վերին հոսանքում դիատոմային ջրիմուների առավելագույն թվաքանակ գրանցվել է նոյեմբերին 1.282.500 բջ/լ (նկ. 1Ա): Դոմինանտ տեսակներն են հանդիսացել *Navicula punctulata*, *N. placentula*, *N. anglica*, *N. bacilliformis*, *N. tuscula* – 242.000 բջ/լ և *Fragilaria capucina*, *F. construens* – 222.500 բջ/լ: Դիատոմայինների նվազագույն թվաքանակը գրանցվել է մարտին՝ 50.000 բջ/լ: Ջիմանական ցեղատեսակներն են եղել *Navicula* – 15.000 բջ/լ և *Fragilaria* – 10.000 բջ/լ: Եվ առհասարակ, դիտարկումների բոլոր ամիսներին դիատոմայինները հանդիսացել են գերակայող խումբը, բացառությամբ օգոստոսի:



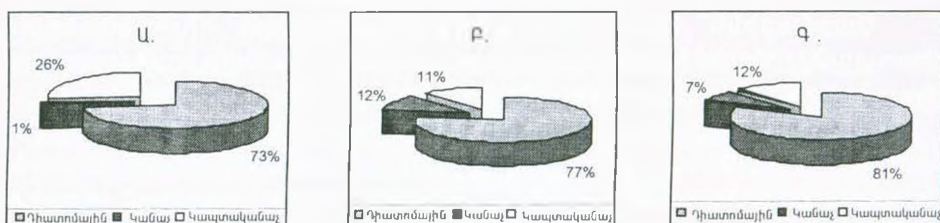
Նկ. 1. Ֆիտոպլանկտոնի տարեկան դիմանկան ըստ թվաքանակի (հազ. բջ/լ):
Մարմարիկի վերին (Ա) և ստորին (Բ) հոսանքներում 2004թ.

Մարմարիկի վերին հոսանքում կանաչ ջրիմուռների թվաքանակում առավելագույն ցուցանիշը գրանցվել է օգոստոսի 442.000 բջ/լ և հիմնական տեսակներն եղել են *Binuclearia lauterbornii* – 297.500 բջ/լ, ինչպես նաև *Coelastrum sp.* – 125.000 բջ/լ : Թվաքանակի զրոյական ցուցանիշներ են գրանցվել ապրիլին և մայիսին, իսկ նվազագույն թվաքանակը եղել է մարտին 5.000 բջ/լ, որն էլ ամբողջությամբ կազմել են *Staurastrum* ցեղի ներկայացուցիչները:

Կապտականաչ ջրիմուռների թվաքանակի դիմամիկայում առավելագույն ցուցանիշը գրանցվել է նոյեմբերին 545.000 բջ/լ, և այն աճրողությամբ կազմել է *Aphanatecea clathrata* W et G. S. West. տեսակը, ի դեպ նվազագույն արժեքի դեպքում, որը գրանցվել է մարտին 37.500 բջ/լ, նույնպես հայտնաբերվել է միայն *Aphanatecea clathrata* W et G. S. West. տեսակը:

Մարմարիկի վերին հոսանքի դիտակետից վերցված ջրերի հետազոտությունների տվյալներում սեզոնային ամփոփումներ կատարելով պարզվել է, որ գարնանը ըստ կենսագանգվածի դիատոմային ջրիմուռները կազմել են ֆիտոպլանկտոնային ողջ համակեցության 73%-ը, կանաչները 1%-ը և 26%-ը կազմել են կապտականաչ ջրիմուռները (նկ.2Ա) : Ամռանը ջրիմուռների այս հարաբերությունն եղել է համապատասխանաբար 77% : 12% : 11% (նկ.2Բ), իսկ աշնանը՝ 81% : 7% : 12% (նկ.2Գ) : Տարվա ընթացքում ֆիտոպլանկտոնային ողջ համակեցության ընդհանուր գումարային կենսագանգվածը տատանվել է 0,4 – 9,2 գ/մ³ սահմաններում:

Ֆիտոպլանկտոնային համակեցության նման տեսակային կազմը, նրանում դիատոմային խմբի խոչոր գաղութային ալգոբիոնտների, ինչպես նաև մյուս խմբերի էվտրոֆացնան կենսաբանական ինդիկատորների հանդիսացող տոքսիկ ցեղատեսակների բացակայությունը կամ առկայության համեմատաբար չնշին նաև արագին բույլ են տալիս Մարմարիկ գետի վերին հոսանքը դասել է կլորզիական տեսանկյունից չաղտոտված ջրային համարգերի դասին:



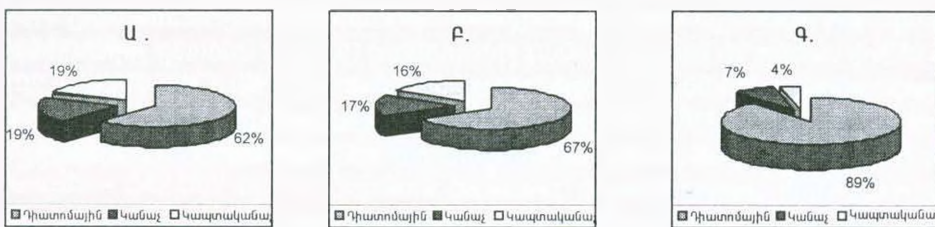
Նկ. 2. Մարմարիկի վերին հոսանքում ֆիտոպլանկտոնի տոկոսային հարաբերությունը ըստ կենսագանգվածի 2004թ. գարնանը (Ա), ամռանը (Բ) և աշնանը (Ծ):

Մարմարիկի հոսքի երկայնքով փոփոխությունները դիտարկելու նպատակով նմանատիպ հետազոտություններ են կատարվել նաև Մարմարիկի ստորին հոսանքում: Գրանցվել են հետևյալ արդյունքները. դիատոմային ջրիմուռների թվաքանակի առավելագույն արժեքը եղել է նոյեմբերին 1.022.500 բջ/լ (նկ.1Բ), որտեղ դոմինանտ տեսակներն եղել են *Navicula punctulata*, *N. tusculana*, *N. placentula*, *N. bacilliformis*, *N. anglica* – 205.000 բջ/լ և *Cymbella cistula*, *C. parva* – 182.500 բջ/լ: Այս խմբի ջրիմուռների նվազագույն արժեքը գրանցվել է մարտին՝ 85.000 բջ/լ և դոմինանտ տեսակները կրկին եղել են *Navicula* – 30.000 բջ/լ և

Cymbella – 15.000 բջ/լ ցեղատեսակները:

Կանաչ ջրիմուռների դեպքում գրանցվել է հետևյալ պատկերը. առավելագույնը օգոստոսին 413.500 բջ/լ, *Binuclearia lauterbornii* – 253.500 բջ/լ և *Coelastrum sp.* – 135.000 բջ/լ դոմինանտ տեսակներով, իսկ նվազագույն արժեքը հոկտեմբերին – 5000 բջ/լ, որոնք բոլորն ել եղել են *Oocystis* ցեղի ներկայացուցիչները *O. lacustris Chodat*, *O. gigas Archer*, *O. solitaria Witrock*, *O. elliptica West*.

Ըստ կենսագանգվածի դիատոմային, կանաչ և կապտականաչ ջրիմուռների տոկոսային հարաբերությունները սեզոնների ընթացքում ունեցել են հետևյալ ցուցանիշները. գարնանը՝ համապատասխանաբար 62% : 19% : 19% (Ակ.3Ա), ամռանը 67% : 17% : 16% (Ակ.3Բ) և աշնանը 89% : 7% : 4% (Ակ.3Գ): Տարվա ընթացքում ֆիտոպլանկտոնային ողջ համակեցության ընդհանուր գումարային կենսագանգվածը տատանվել է 1,2 – 8,8 գ/մա սահմաններում:



Ակ.3. Սարմարիկի ստորին հոսանքում ֆիտոպլանկտոնի տոկոսային հարաբերությունը ըստ կենսագանգվածի 2004թ. գարնանը (Ա), ամռանը (Բ) և աշնանը (Գ):

Ալգոպլանկտոնային համակեցության նման տեսակային և քանակական մասնաբաժինները բույլ են տալիս Մարմարիկի ստորին հոսանքը դասել եկոլոգիական տեսանկյունից քիչ աղտոտված ջրային համակարգերի դասին:

Մարմարիկի վերին և ստորին հոսանքների դիտակետներում ֆիտոպլանկտոնային համակեցության ցուցանիշների համարի համեմատական վերլուծության արդյունքում պարզվել են հետևյալ օրինաչափությունները

1. Գետի երկայնքով նկատվում է հետևյալ սուկցեսիոն երևույթը. եթե Մարմարիկի վերին հոսանքում տարվա ցանկացած սեզոնին գերակայող խումբ են հանդիսացել դիատոմային ջրիմուռները, ապա ստորին հոսանքում կապված գյուղատնտեսական աշխատանքների ծավալի ավելացման և եռուն շրջանի, գետի երկայնքով առկա բազմաթիվ հանգստյան տների աշխատանքային ծանրաբեռնված սեզոնի հետ և, անշուշտ, ջրի ցերմաստիճանի բարձր լինելու հետևանքով, մայիսից մինչև օգոստոս նկատվում է կանաչ և, առավելապես, կապտականաչ ջրիմուռների թվաքանակի շեշտակի աճ, ընհույս ի հայտ են գալիս ջրի «ծաղկում» առաջացնող այնպիսի տեսակներ, ինչպիսիքն են *Anabaena* ցեղի ներկայացուցիչները: Վերը նշված գործոնների ազդեցության բուլացմանը զուգընթաց նկատվում է հետադարձ սուկցեսիոն երևույթ և կրկին գլուխ են բարձրացնում դիատոմային ջրիմուռները նոյեմբերին հասնելով տարեկան իրենց առավելագույնին:

2. Ըստ ֆիտոպլանկտոնային համակեցության տարեկան դիմամիկայի ուսումնասիրությունների, Մարմարիկ գետը կարելի է դասել քիչ աղտոտված

ջրային համակարգերի դասին, քանի որ նրանում իիմնականում բացակայում են կապտականաչ ջրիմուռների տղօքսիկ տեսակները և խոշոր բջջային գաղութային ծևերը, իսկ աղձանագրված տեսակներն ել իրենց թվաքանակի և կեսնազանգվածի ցածր ցուցաիշներով չեն կարող գետը բնորոշել որպես էվտրոֆ ջրային համակարգ: Դատկանշական է, որ 2000 - 2004 թթ. Մարմարիկ գետի ջրաքիմիական համալիր ուսումնասիրությունների արդյունքում ևս գետի վերին հոսանքը դասվել է մաքուր, իսկ ստորին հոսանքը՝ համեմատաբար քիչ աղտոտված ջրային համակարգերի դասին [1, 2]:

ԳՐԱԿԱՆՈՒԹՅՈՒՆ

1. Գրիգորյան Վ. Դ. գիտ թեկ. սեղմագիր, Երևան, 2003:
2. Դամբարյան Լ. Ռ. Կրթությունը և գիտությունը Արցախում, 3, 176-177, Արցախ, 2004:
3. Труды Севанской гидробиологической станции, XIII, 171-213, Ереван, 1953.
4. Прошкина-Лавренко А. И. Водоросли планктона Каспийского моря. Л., 1968.
5. Киселев И.А. Определитель низших растений, Водоросли. М., 1953.
6. Strehle H., Krauter D. Das Leben im Wassertropfen. Prague, 2002.
7. Zweite Abteilung von Gustav Lindau von Hans Melchior. Die Algen. Berlin, 1930.

Поступила 25.V.2005

Биолог. журн. Армении, 3-4 (57), 2005

УДК 576.895.132

СЕЗОННАЯ ДИНАМИКА ИНВАЗИРОВАННОСТИ РЫБ ПРУДОВЫХ ХОЗЯЙСТВ АРАРАТСКОЙ РАВНИНЫ ДИПЛОСТОМАМИ

Р.Л. ОГАНЕСЯН

Институт зоологии НАН РА, 375014, Ереван

В 1982-99гг. в прудовых карповых хозяйствах Ааратской равнины проводили сезонные наблюдения инвазированности рыб диплостомами. Результаты исследований показали, что инвазированность рыб-фитофагов наблюдалась круглый год, а у карпов - в летний и осенний сезоны.

1982-99թթ. Արարատյան հարթավայրի լճակային կարպաջին տնտեսություններում կատարվել են դիպլոստոմներով ծկների վարակվածության սեզոնային դիտումներ։ Ուսումնասիրությունների արդյունքները ցույց են տվել, որ բուսակեր ծկների վարակվածությունը դիտվում է ամբողջ տարին, իսկ կարպերինը ամառային և աշնանային սեզոններին։

In 1988-1999 seasonal observations of fish invasion with diplostomids were carried out in carp pond farms of Ararat Valley. The invasion of herbivorous fishes with metacercaiae of diplostomids was observed during all the year, and invasion of carps - only in summer and autumn seasons.

*Диплостомы - сезонная инвазированность - карповые хозяйства -
Ааратская равнина*

Одним из важнейших вопросов экологической паразитологии является изучение зависимости паразитофауны животных от сезонных изменений. Исследование фауны паразитов в различные сезоны года помогает установить время максимальной зараженности животных различными видами паразитов и наиболее опасные для хозяев виды, определить благоприятные сроки проведения акклиматационных и других мероприятий. Сезонное изучение паразитофауны дает возможность проследить за уровнем приспособленности паразитов к сезонным изменениям биологии и поведения хозяина.

Поскольку паразиты имеют двоякую среду обитания — среду первого порядка, т.е. организм хозяина, и среду второго порядка, в которой живет сам хозяин, то сезонная динамика зараженности рыб гельминтами зависит от биотических и абиотических факторов.

Динамика зараженности рыб гельминтами каждого вида имеет специфические черты, выражющиеся в продолжительности периода встречаемости инвазированных рыб, продолжительности периода и уровня массовой зараженности рыб, в сроках от начала поступления инвазии в популяцию хозяев до достижения максимальной зараженности рыб. Указанные характеристики имеют специфические значения и относительно постоянны

для каждой конкретной паразитарной системы в разные годы и в разных водоемах [3].

Динамика зараженности зависит от степени контакта хозяев с инвазионными элементами, а также от количества инвазионных элементов в водоеме. Уменьшение численности инвазионных элементов в водоеме способно снижать уровень средней интенсивности инвазии.

В зависимости от времени года качественный и особенно количественный состав гельминтофауны претерпевает значительные изменения. Численность отдельных видов паразитов резко сокращается, а некоторые из них полностью выпадают, другие виды, наоборот, быстро размножаются и становятся массовыми. В связи с этим изменяется и практическое значение отдельных компонентов паразитофауны. Именно поэтому изучение паразитофауны рыб в ее динамике позволяет правильно оценить значение отдельных видов в эпизоотологическом процессе. В большинстве случаев у пресноводных рыб наиболее богатая и разнообразная паразитофауна свойственна летнему сезону, когда питание рыб идет более интенсивно и в прудах - высокая плотность инвазионных элементов [3, 14].

Следует также отметить, что летом усиливается инвазия и многими другими видами паразитов, которые активно (не через корм) заражают хозяина.

Догель указывает и на сезонное распространение многих видов паразитов в связи с годичным циклом жизни их хозяев [3]. По-видимому, это явление широко распространено, особенно у паразитов пресноводных рыб, и служит приспособлением к сезонным колебаниям температуры воды.

Изучению сезонной динамики зараженности рыб прудовых хозяйств отдельными видами паразитов посвящено довольно много работ [8, 4, 2, 5, 6, 7 и др.]. Однако в прудовых хозяйствах Армении вышеуказанные вопросы не изучались.

Нами проводились многолетние сезонные наблюдения инвазированности рыб карповых хозяйств Арагатской равнины дипlostомами.

Материал и методика. Материалом для настоящей работы послужили сборы гельминтов от карповых рыб прудовых хозяйств Арагатской равнины из отр. *Cypriniformes*, сем. *Cyprinidae*: *Cyprinus carpio* L., 1758 – карп, *Hypophthalmichthys molitrix* (Valenciennes, 1844) – белый толстолобик, *Aristichthys nobilis* (Rich.), 1844 – пестрый толстолобик, *Ctenopharyngodon idella* (Valenciennes, 1844) – белый амур. Всего добыто и обследовано 1540 экз. рыб разного возраста, в т.ч. 1297 экз. карпа, 132 экз. белого и пестрого толстолобика и 111 экз. белого амура.

Сбор гельминтологического материала проводили в 4-х прудовых карповых хозяйствах: Масисском рыбокомбинате, Ехегнутском карповом хозяйстве и Ехегнутском зональном рыбопитомнике Армавирского марза, Армашском карповом хозяйстве Арагатского марза (табл.1).

Рыб подвергали полному гельминтологическому вскрытию по методике Быховской-Павловской [2]. Вначале определяли видовую принадлежность рыбы, ее возраст, размеры (длина, высота и обхват) и вес. Глаза вырезали из орбиты острыми концами изогнутых ножниц. На стекле вскрывали глазные оболочки, стекловидное тело, хрусталик и отдельно просматривали под лупой. Извлечение личинок трематод из хрусталика глаза проводили механически. Личинки без фиксации в спирте окрашивали уксуснокислым кармином и просветляли в гвоздичном масле. Определение гельминтов проводили по "Определителю паразитов пресноводных рыб фауны СССР" [11, 12, 13]. Определение

вида личинок диплостом проводили по Шигину [15], под микроскопом Биолам с окуляр-микрометром измеряли длину и ширину личинок, ротовой и брюшной присосок, органа Брандеса и др.

Таблица 1. Количество исследованных рыб по хозяйствам

Карповые хозяйства	Всего исследовано	Количество вскрытых рыб		
		карп	толстолобик (2 вида)	белый амур
Масисский рыбокомбинат	634	543	56	35
Ехегнутское карповое хозяйство	431	373	34	24
Ехегнутский рыбопитомник	296	244	22	30
Армашское карповое хозяйство	179	137	20	22
Итого	1540	1297	132	111

С целью изучения сезонной динамики инвазированности диплостомами нами учитывался сезон года. Для количественной характеристики популяций гельминтов использовали общепринятые в гельминтологии показатели экстенсивности (ЭИ) и интенсивности (ИИ) инвазии.

Гельминтологический материал был обработан в лаборатории общей гельминтологии Института зоологии НАН РА, частично – в прудовых хозяйствах.

Результаты и обсуждение. Рыбы всех прудовых хозяйств сильно инвазированы метацеркариями диплостом, локализующимися в хрусталиках глаз[10]. Сезонные изменения инвазированности карпов метацеркариями диплостом показаны в табл. 2.

Таблица 2. Сезонная инвазированность карпов прудовых хозяйств диплостомами

Исследуемые хозяйства	Весна			Лето			Осень			Зима		
	Кол-во иссл. рыб	Кол-во зараж. рыб	ЭИ, %	Кол-во иссл. рыб	Кол-во зараж. рыб	ЭИ, %	Кол-во иссл. рыб	Кол-во зараж. рыб	ЭИ, %	Кол-во иссл. рыб	Кол-во зараж. рыб	ЭИ, %
Масисский рыбокомб.	74	--	0	148	28	20	190	61	32	64	16	25
Ехегнутское карп.хоз.	--	--	--	238	95	40	135	77	57	--	--	--
Армашское карп.хоз.	--	--	--	90	52	58	47	32	70	--	--	--
Ехегнутский рыбопит.	138	101	73	60	2	3	46	6	13	--	--	--

В Масисском рыбокомбинате (наш стационар, в котором проводились круглогодичные сезонные наблюдения) карпы весной не были инвазированы. Летом ЭИ составляла 20%, осенью – 32%, а зимой (в декабре) 25%.

В Ехегнутском карповом хозяйстве летом диплостомами были инвазированы 40% карпов, а осенью – 57%.

В Армашском карповом хозяйстве летом ЭИ карпов диплостомами составляла 58%, осенью – 70%.

Инвазированность карпов диплостомами приходится на летний и осенний сезоны. Оптимальные условия инвазирования рыб создаются летом,

в августе – сентябре достигая максимума. К ним относятся температура воды, обилие пресноводных моллюсков (промежуточных хозяев) и рыбоядных птиц (дефинитивных хозяев).

В Армении в связи с климатическими условиями Арагатской равнины весна сравнительно холодная и затяжная, жаркое лето, переходящее в теплый осенний календарный сезон. Осенний климат в районе исследования характеризуется высокими температурами, которые приравниваются к летнему температурному градиенту. Выстраивая графическое изображение ЭИ карпов, мы замечали повышение экстенсивности инвазии летом и осенью. Зимой зараженность начинает спадать, но не резко. Это объясняется естественным продолжением осенней картины. Далее пруды либо спускаются на зиму, либо замерзают (Армаш).

Итак, сезонная динамика ЭИ диплостомами у карпов характеризуется летне-осенним подъемом и весенним спадом. Это относится ко всем хозяйствам, кроме Ехегнутского рыбопитомника. Весной температура воды низкая, малое количество промежуточных и дефинитивных хозяев. Летом пруды прогреваются, температура воды повышается, становится наиболее оптимальной, моллюски становятся активными и включаются в жизненный цикл диплостом. Рыбы заражаются, становясь в свою очередь источником заражения дефинитивных хозяев – рыбоядных птиц. Учитывая, что осень в данном регионе долгая и теплая, инвазирование рыб диплостомами не только не снижается, но и превышает летние показатели, ибо сохраняются все оптимальные условия для заражения.

Наши результаты подтверждаются литературными данными. Биология диплостом досконально изучена Шигиным [15]. Автор отмечает, что продолжительность эмбрионального развития диплостом определяется главным образом температурой. Оптимальная температура развития составляет 20–25°. На всех этапах эмбриогенеза яйца очень чувствительны к воздействию минусовых температур и высушиванию. При высушивании они гибнут, а при низкой температуре воды яйца способны жить на дне водоема, не развиваясь, в течение всей зимы, если он не промерзает.

Иначе обстоит дело в Ехегнутском рыбопитомнике. Здесь весной ЭИ карпов диплостомами составляет 73%. Это перезимовавшие годовики, сохранившие инвазию с прошлого года. ИИ у них также высокая, доходит до 80 экз.. Летом ЭИ очень низкая, всего 3%. Это объясняется тем, что сеголетки вылупились весной, и в июне – июле они в основном бываюят неинвазированными. Осенью ЭИ сеголетков карпа заметно повышается и составляет уже 13%.

Наблюдались некоторые колебания ЭИ в разных хозяйствах. Как видно из рис. 1, наивысшая ЭИ диплостомами имела место в Армашском карповом хозяйстве (58% летом и 70% осенью). Мы объясняем это тем, что в этом хозяйстве наибольшая площадь зеркала прудов, около 1700 га, в связи с чем тут гнездится и обитает наибольшее количество колоний рыбоядных птиц, а также сорных рыб – карася и др. мелких карповых, являющихся источником дополнительного заражения. Кроме того, здесь наибольшая

зарастаемость прудов, и, следовательно, обилие пресноводных моллюсков — промежуточных хозяев диплостом. Необходимо также отметить, что нагульные пруды на зиму частично не опорожняются, а в опорожненных сохраняются большие участки очагов диплостомоза.

Толстолобики товарных прудовых хозяйств сильно инвазированы диплостомами. В Масисском карповом хозяйстве они в течение всего года стопроцентно были инвазированы диплостомами. В Ехегнутском и Армашском карповых хозяйствах и летом, и осенью они также все были инвазированы.

Что касается белых амуров, они, как и толстолобики, во всех карповых хозяйствах были инвазированы стопроцентно.

В Ехегнутском рыбопитомнике весной годовики и толстолобиков, и белых амуров были инвазированы. Летом из 10 сеголетков толстолобиков 8 были инвазированы (80%), а из 10 белых амуров было инвазировано 5 сеголеток (50%). ИИ у толстолобиков составляла 6-43 экз., у белых амуров - 6-162 экз. Это

Рис. 1. Сезонная динамика ЭИ карпов Масисского, Ехегнутского и Армашского хозяйств диплостомами

очень высокая ИИ для молоди рыб: у 6 из 12 толстолобиков (с ИИ = 35-43 экз.) и у 2 из 20 белых амуров (с ИИ = 90 и 162 экз.) наблюдалось полное помутнение хрусталика, т. е. слепота.

Приводятся рисунки метацеркариев диплостом.

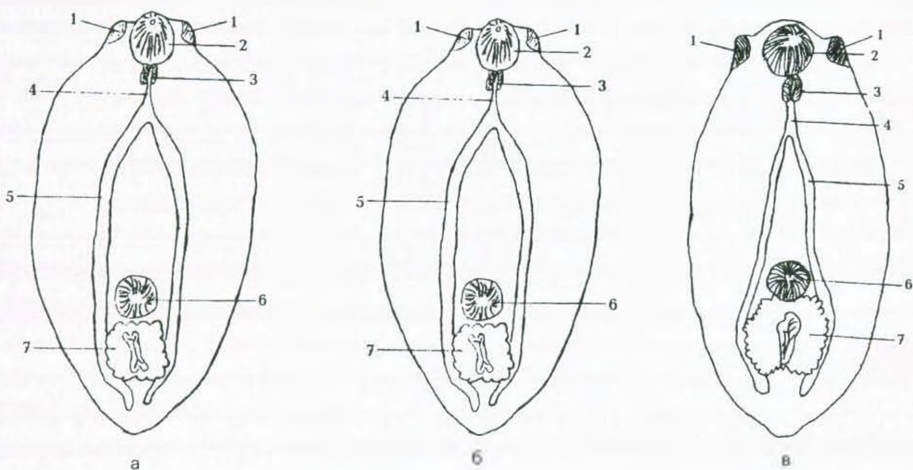


Рис. 2. Метацеркарии диплостом. а) *Diplostomum spathaceum* (Rudolphi, 1819); б) *Diplostomum rutili* Razmashkin, 1969; в) *Diplostomum paraspaphaceum* Shigin, 1965

Обозначения: 1. латеральные попасы, 2. ротовая присоска, 3. фаринкс, 4. пищевод, 5. кишечные ветви, 6. брюшная присоска, 7. орган Брандеса.

Таким образом, результаты наших исследований показали, что сезонная динамика ЭИ у карпов характеризуется летне-осенним подъемом и весенним спадом. Толстолобики и белые амуры, т.е. растительноядные рыбы, намного сильнее инвазированы диплостомами, чем карпы. Фактически, во всех хозяйствах в течение всего года у них наблюдалась стопроцентная инвазированность, они более восприимчивы к диплостомозу.

Анализ литературных данных подтверждает наши результаты. С первых лет культивирования растительноядных рыб в прудовых хозяйствах была установлена большая восприимчивость этих рыб к диплостомозам. При совместном содержании с карпом уровень их зараженности возбудителями диплостомозов оказался приблизительно на порядок выше [9]. Более высокая восприимчивость растительноядных рыб к местным видам возбудителей диплостомозов имела своим следствием, с одной стороны, более выраженную клинику заболевания (более раннюю и более полную слепоту, замедленный темп роста, более высокую гибель), а с другой - привела к резкой вспышке численности возбудителей диплостомозов и общему ухудшению эпизоотологической ситуации по диплостомозам не только в рыбоводных хозяйствах, но и в прилежащих к ним естественных водоемах. Все это привело к еще более высокому по сравнению с аборигенными видами рыб уровню зараженности вселенцев и сделало их менее жизнеспособными по сравнению с аборигенными рыбами. В этом, по мнению Шигина [15], проявляется участие возбудителей диплостомозов в защите биоценозов от чуждых элементов ихтиофауны.

ЛИТЕРАТУРА

1. Богданова Е.А. Сб. работ по гельминтологии, М., Изд. АН СССР, 72-78, 1958.
2. Быховская-Павловская И.Е. Паразиты рыб. Руководство к изучению. Л., Наука, 124 с., 1985.
3. Догель В.А. Основные проблемы паразитологии рыб. ЛГУ, 9-55, 1958.
4. Ивасик В.М. Паразиты и болезни рыб. Изд. ВНИОРХ, 42, 89-100, 1957.
5. Изюмова Н.А. Паразитолог. сб. Зоол. Ин-та АН СССР, М.-Л., 16, 229-243, 1956.
6. Ибрагимов Ш.Р. Автореф. канд. дисс., 22 с. Баку, 1977.
7. Курашили Б.Е., Микаилов Т.К., Гогебашвили И.В. Паразитофауна рыб бассейна реки Куры в пределах СССР. 238 с., Тбилиси, 1980.
8. Ляйман Э.М. Тр. Мосрыбвтуза, 7, 162-165, 1955.
9. Мусселиус В.А. Паразиты и болезни растительноядных рыб и меры борьбы с ними. 82 с., М., 1967.
10. Оганесян Р.Л. Канд. дисс., 135 с., Ереван, 2002.
11. Определитель паразитов рыб фауны СССР (под ред. Б.Е. Быховского), М.-Л., 1962.
12. Определитель паразитов пресноводных рыб фауны СССР (под ред. О.Н. Бауера), т.2, Л., 1985.
13. Определитель паразитов пресноводных рыб фауны СССР (под ред. О.Н. Бауера), т.3, Л., 1987.
14. Османов С.О. Паразиты рыб Узбекистана. 532 с., Ташкент, 1971.
15. Шигин А.А. Трематоды фауны СССР. Род *Diplostomum*. Метацеркарии. 252 с., М., 1986.

Поступила 15.X.2004

Биол. журн. Армении, 3-4 (57), 2005

УДК 592/599

**ԾԱԾԱՆԱՅԻՆ ԶԿՆԵՐԻ ԴԱՅԵՐԵՆ ԱՆՎԱՆՈՒՄՆԵՐԻ
ՎԵՐԼՈՒԾՅՈՒԹՅՈՒՆԸ ԵՎ ԹԵՂՐՏՈՒՄԸ**

Դ.Զ. ԳՐԻԳՈՐՅԱՆ

ՀՀ ԳԱԱ Կենդանաբանության ինստիտուտ, 375014, Երևան

Ցույց է տրված ժածանային ձկների հայերեն անվանումների միօրինակության բացակայությունը և խառնաշփոր վիճակը: Առաջարկված է ցույցը ամփոփված է ժածանային ձկների հայերեն նոր անվանումներ: Ցողվածը ամփոփված է ժածանային ձկների հայերեն առկա թարգմանությունների և հեղինակի կողմից առաջարկվող ճշգրտված և նոր անվանումների ցուցակով:

Показано отсутствие единобразия в переводах и путаница в армянских наименованиях карпообразных рыб, таких как сазан, карп, карась, плотва, быстрыняк и т.д. Предложены новые армянские наименования рыб - густера и карась. Статья обобщена перечнем имеющихся армянских переводов наименований карпообразных рыб и предложенных автором уточненных и новых наименований.

The article considers the problem of the disorderliness in the sphere of Armenian translation version of Cypriniformes fish. Here some new Armenian denominations of *Carassius carassius* and *Blicca bjoerkna* are suggested. The list of the present Armenian translation versions of the Cypriniformes fish in parallel with their exact and new denominations suggested by the author is given.

Ժածանային ձկներ - թարգմանություն

Կենդանիների հայերեն անվանումների խառնաշփության, անճշտության մասին արդեն ասվել է նախորդ հոդվածներում [5, 6, 18]: Այս հարցի վերլուծության շարունակությունը տրվում է ներկայացվող հոդվածում:

Մեծ դժվարությունների առաջ ենք կանգնում, եթե փորձում ենք պարզել որևէ կենդանու հայերեն անվանումը: Ինչպես բառարաններում, այնպես էլ մասնագիտական գրականության մեջ տիրող խառնաշփության հետևանքով դժվար է կողմնորոշվել, թե տվյալ կենդանու հայերեն ո՞ր անվանումն է ճիշտ: Այս իրավիճակը կենդանիների անվանումների կամայական թարգմանության արդյունք է: Դա վերաբերում է նաև ժածանային ձկներին:

Հայաստանի ձկնաբանների կողմից բավական լավ է ուսումնասիրված ձկնաշխարհը, ձկների ձևաբանությունը, կենսաբանությունը, կարգաբանությունը և այլն: Սակայն միշտ այժմ քիչ ուշադրություն է դարձվել ձկների հայերեն անվանումների ճշտությանը: Մասնավորապես, ժածանային ձկների հայերեն անվանումների մեջ քառային վիճակ է տիրում: Այսպես, ուստերեն սազան կոչվող ծուկը հայերեն թարգմանված է որպես *սազան* [14], *գետածածան* [10, 12], *ժածան* [7]: Որոշ թարգմանությունների համաձայն [13], սազան -ին կարելի է անվանել և ժածան, և գետածածան: Նույն հեղինակը [13] կարու կոչվող ձկանն էլ է անվանում

ծածան, գետածածան: Մյուս կողմից, ըստ Դամբարյանի [9] գետածածանը լուսական է և պահպանային է այլ աղբյուրներից իմանալ լուսական հայերեն անվանումը, ապա պարզվում է, որ այն թարգմանվում է որպես մանրածածան [14], կարմրակն [2, 7, 10, 12], կամ և մանրածածան, և կարմրակն [3, 13]:

Ըստ Դամբարյանի [9] կարծիքի մանրածածան է կոչվում ձկների մեկ այլ տեսակը՝ կարս ծուկը, իսկ Դամբարյանի [12] կարծիքով մանրածածան վերխօվկա ծուկն է: Այսպիսով, լուսական ունի հետևյալ հայերեն թարգմանությունները գետածածան [9], կարմրակն [2, 7, 10, 11, 12], մանրածածան [14]: Մյուս կողմից մանրածածան են անվանում վերխօվկա [12] և կարս [9] ձկներին: Ստացվում է, որ լուսական կարս ծուկը միևնույն տեսակն են մանրածածան: Այս երեք ձկները թեպետև մտնում են նույն ընտանիքի մեջ (ծածանայինների ընտ., *Cyprinidae*), այնուամենայնիվ սրանք պատկանում են տարբեր ցեղերի, համապատասխանորեն *Rutilus*, *Leucaspis* և *Carassius*, իսկ կարս ծուկը նույնիսկ մտցված է առանձին ենթաընտանիքի մեջ (*Cyprininae*):

Մեծ տարակարծիքի ենք հանդիպում նաև կարս անվանումը հայերեն թարգմանելիս: Այսպես, մի շարք հեղինակների կարծիքով [4, 11, 12, 13] այս ձկան հայերեն անվանումը ծածան է, ըստ Դամբարյանի [9] մանրածածան, իսկ ըստ Զիվանյան և ուրիշն. [15] լճածածան: Մյուս կողմից, ինչպես արդեն նշեցինք վազան ծուկն է թարգմանված ծածան [2, 7, 9]: Դայոց լեզվի հոմանիշների թառարանում [16] որպես հոմանիշներ են տրված ծածան, գետածածան, լճածածան անվանումները:

Ի մի բերելով նշված գրական տվյալները, ստացվում է, որ կարս, վազան, կար ծուկները հայերեն կոչվում են միանման ծածան: Այդպիսի մոտեցում է դիտվում Ղարիբյանի [13] թառարանում:

Եթե կարս և վազան ծուկներին, որոնք տարբեր տեսակներ են (*Carassius carassius*, *Cyprinus carpio*), ծածան անվանենք, ապա այդ դեպքում ինչպես պետք է անվանել կարպիկն, որի անունից է բխում կարգի անվանումը օրյած կարտօնբազինե, հայերեն կարգ ծածանակերպելու: Ուստի, ճիշտ կիրարի եթե միայն կար ծուկը հայերեն կոչվի ծածան, իսկ վազան-ին անվանենք գետածածան կամ սազան:

Կրկին անրադառանալով կարս ծուկնը, նշենք որ նա ունի նույնիսկ այսպիսի թարգմանություն՝ ծովային ծածան [14], որն անթույլատրելի է, քանի որ կարս օբյեկտային (Carassius carassius) և կարս մօրսկոյ (Diplodus annularis) տարրեր տեսակներ են և պատկանում են տարրեր կարգերի, առաջինը ծածանակերպերին (*Cypriniformes*), երկրորդը պերկեսակերպերին (*Perciformes*):

Դամաձայն հայերեն արմատական թառարանի [1], ուստերեն կարս, ինչպես նաև մորդվիներեն կարաշա նշանակում է «կարաս»: Դիմք ընդունելով նաև այն, որ այս ձկան անվանումը և լատիներեն, և ուստերեն ունի միևնույն արտասանությունը, իսկ ժողովուրդը նրան կարաս է անվանում, և, մանավանդ, որ արտաքինով նման է լայնափոր ամանի կարասի, առաջարկում եմ կարս ծուկը հայերեն անվանել կարասածուկ (կարասի հետ չշփորելու համար):

Նման խառնաշփոր իրավիճակ է տիրում նաև ծածանային ձկների այլ տեսակների հայերեն անվանումների մեջ: Այսպես, ցուցակում (*Blicca bjoerkna*) հայերեն նույնպես անվանում են գուստերա [7, 9, 10]: Մինչդեռ գրականության

մեջ նշվում է, որ ցւերա ծուկը իր անունը ստացել է «ցստ» բառից, քանի որ ինչպես աշնանը, այնպես էլ գարնանը նա կազմում է հսկայական վտառներ [20]: Այս ձկան ընդունակությունը խիստ վտառներ առաջացնելու հիմք է հանդիսացել նրան այդպես անվանելուն [21]:

Դայտնի ձկնաբան Դադիկյանը [7] այսպես է նկարագրում այս ձկան վարքը. «... Այդ տեղերում նա ապրում է վտառներով, որոնք կազմված են լինում մի քանի հարյուր ձկնիկներից... Վուանգի դեպքում ցրվում են, այնուհետև նորից կուտակվում են նույն տեղում: Փախտատի դեպքում վտաօի բոլոր առանձնյակները լողում են միևնույն արագությամբ և միևնույն ուղղությամբ: Փոքրաթիվ վտառներում ձկները լողում են մեկը մյուսի հետևից քարավանի նման: Ի տարբերություն մյուս տեսակների այս ձկները վտառներ են կազմում նաև ձվադրման համար...»: Սակայն, չնայած այսպիսի նկարագրությանը, գրքի հեղինակը այս ձկանը նույնպես գուստերա է անվանում: Ըստ Երևույթին, դա կարելի է բացատրել նրանով, որ հեղինակը իր առջև ձկների հայերեն անվանումների շտկման խնդիր չի դրել:

Դանդիպում է նաև ցւերա ձկան այսպիսի բարգմանություն արժարքրամ [12]: Ծիշտ է, այս ձկան մարմինը արծաթագույն է, և արտաքինով նա հիշեցնում է բրամի [21], սակայն այդ բարգմանությունը չի կարելի ծիշտ համարել, քանի որ կա ձկան տեսակ՝ սերեբրանարդ (լեռ - *Pterycottus brama* (լեռ ծուկը հայերեն բարգմանվում է բրամ), որը պատկանում է պերկեսակերպերի կարգի ծովային բրամների ընտանիքին:

Որոշ հեղինակների մոտ [2] ցւերա-ն բարգմանված է որպես գոճի: Իր հերթին հազար ծուկն է բարգմանված գոճի [12]: Սա նույնպես ծիշտ համարել չի կարելի: Ըստ Երևույթին, գոճի անվանումը պետք է ընդունվի միայն որպես ժողովրդական:

Այսպիսով, Ելենելով վերը շարադրածից առաջարկում ենք ցւերա ծուկը հայերեն անվանել վտառածուկ, որը, ինչպես և ուստեղնում, բնութափում է նրա ապրելակերպը, վարքը:

Կանգ առնենք ևս մեկ ծածանային ձկան նաև ցւերանկա-ի *Alburnoides biuncinatus* հայերեն բարգմանության վրա: Բազմաթիվ գրական աղբյուրներում, այդ քվում նաև ձկնաբանների աշխատություններում [2, 7, 9, 10, 12], այս ծուկը բարգմանված է տառեխսիկ: Արդյո՞ք կարելի է ծիշտ համարել այս բարգմանությունը: Չե՞ որ տառեխները (սելզմ) պատկանում են տառեխսակերպերի կարգին *Clupeiformes* [9, 14, 15] և կապ չունեն ծածանակերպերի կարգի հետ: Դպրոցական դասագրում [15] տառեխսիկ է անվանված շպրոտը:

Գրականության մեջ [2] կա նաև ցւերանկա-ի ձկան նաև այսպիսի անվանում ճապալ: Սա, իհարկե, գրական անուն չէ: Ժողովուրդն է այդպես անվանում այս փոքրիկ, արագաշարժ ձկանը: Կան նաև ժողովրդական այլ անվանումներ՝ փիշխոլ (փոքր չափերի պատճառով), զմբուռ: Արագաշարժության պատճառով նրան ուստեղն նաև ցւերանկա են ասում: Այդ իմաստն է արտահայտում նաև «ճապալ» բառը, որը հավանաբար իր ծագումը ստացել է «ճապուկ» բառից [2], ինչը նշանակում է արագ, շուտ. այստեղից էլ հայերեն ճեպ, հապճեպ բառերը [1]: Այսպիսով, ճապալ անվանումը շատ բնորոշ է այս ձկան համար, և ծիշտ կլինի այդպես անվանել սրան և գերծ մնալ տառեխսիկ անունից:

Վերլուծենք նաև յեսպ-չահար *Barbus capito* ձկան հայերեն բարգմանությունները: Այս ծուկը հայերեն պետք է կոչվի ճանար [7, 9]: Մինչդեռ

թե ժողովուրդը, և թե որոշ գրականության մեջ ճանարդ շփոթում են մոլոքա *Barbus mursa* տեսակի հետ: Բառարանները ավելի են խորացնում այդ շփոթությունը: Այսպես, հայոց լեզվի հոմանիշների բառարաններում [16, 17] տրված է, որ ճանարդ ծուկն ունի հետևյալ անվանումները մոլոքա, մոլորձի, մոլորզա, մոլորգի, նույնիսկ գետածածան [17]: Մոլորզա և գետային ծածան անվանումները նշվում են նաև «ժամանակակից հայոց լեզվի բացադրական բառարանում» [8]: Ըստ հայուսերեն բառարանի [11] ճանարդ սովորական բեղածուկն է *Barbus barbus*:

Անփոփելով այս վերլուծությունը կարելի է անել հետևյալ ճշգրտումը, որ մոլոքա *Barbus mursa* տեսակը ուստի ճանարդ բառարանում *Barbus capito* սաւ-չանար կամ սաւ բուլտման: Վերջին անվանումը պայմանավորված է նրանով, որ այս ձկան մեջքը և կողքերը մինչև կողագիծը մուգ պողպատագույն են, իսկ կողագիծից ցած և փորը դեղին է: Պողպատյա գույնն այնքան բնորոշ է ճանարին և գույների սահմանն այնքան արտահայտված, որ իրանում ճանարին անվանում են պողպատյա ծուկ փուլաբ մահ [7, 19]:

Անհասկանալի են գրականության մեջ հանդիպող ձկների որոշ ընտանիքների լատիներեն անվանումները: Այսպես, ծածանայինների ընտանիքը (*Cyprinidae*) անվանել են *Cobitidae*, այն դեպքում, երբ այդպես է կոչվում ոլորածկնայինների ընտանիքը, իսկ օձածկնայինների ընտանիքը (*Anguillidae*) անվանել են *Cyprinidae* [10]:

Այսպիսով, վերլուծելով ծածանային ձկների հայերեն անվանումների խառնաշփոթ վիճակը, ինչպես նաև հաշվի առնելով այդ ձկների ապոելակերպը, կենսաբանական և ծևաբանական առանձնահատկությունները (չափը, ձեռք), ստուգաբանելով նրանց լատիներեն և ուստի անվանումները առաջարկվում է այսուհետև մասնագիտական գրականության մեջ, բառարաններում, բուհական և դպրոցական դասագրքներում և այլուր օգտագործել ծածանակերպերի կարգին պատկանող ձկների հետևյալ հայերեն անվանումները:

ձկան ուստի անվանումը	գործածվում կամ հանդիպում է գրականության մեջ	առաջարկվող հայերեն անվանումներ
աչան	ծածան, գետածածան, սազան, հայելային ծածան, գոճի	գետածածան, սազան
карп	ծածան	ծածան
карась	ծածան, մանրածածան, լճածածան, ծովային ծածան	կարմրակն
плотва	մանրածածան, գետածածան, կարմրակն	մանրածածան, կարմրակն
густера	գուստերա, գոճի	վտառածուկ
быстрыняка	տառեխիկ, ճապալ	ճապալ
усач-чанари	ճանար, մոլորձա, մոլործի, մոլորզա, մոլորգի, գետածածան, բեղլու	ճանար
мурца	ճանար, մոլորձա, մոլործի	մոլործա

ԳՐԱԿԱՆՈՒԹՅՈՒՆ

- Աճառյան Յ. Հայերեն արմատական բառարան: Բ հատոր, Ե-Ց, Եր.: Երևանի համալսարանի հրատ., 687 էջ, 1973:
- Անանյան Վ. Հայաստանի կենդանական աշխարհը: Երևան: Հայաստան, 451 էջ, 1975:
- Ավանյան Ա.Ա. Հայաստանի կենդանական աշխարհը: «Հայկական ՍՍՀ ֆիզիկական

- աշխարհագրություն» գրքում: Եր., ՀՍՍՀ ԳԱ հրատ., 258-269, 1971:
4. Բեղիրյան Պ.Ս., Անմեղիկյան Դ.Ե. Ղարիբյան Զ.Ա. Ոռուս-հայերեն, հայ-ռուսերեն բառարան: Երևան: Հայաստանի Կենսաբ. հանդես, 1-2, 55, 173-176, 2003:
 5. Գրիգորյան Դ.Զ. Հայաստանի կենսաբ. հանդես, 1-2, 55, 173-176, 2003:
 6. Գրիգորյան Դ.Զ. ՀՊԱՍ Զեկուցներ, 105, 2, 178-182, 2005:
 7. Ղաղիկյան Մ.Գ. Հայաստանի ծկները: Երևան: ՀՍՍՀ ԳԱ հրատ, 212 էջ, 1971:
 8. Ժամանակակից հայոց լեզվի բացատրական բառարան: Դ Խ Կ-Մ. Կազմ. Ա.Ա. Սութիասյան, Ե.Գ. Տեր-Սիննասյան և ուրիշներ, Եր., ՀՍՍՀ ԳԱ հրատ, 574 էջ, 1974:
 9. Համբարյան Մ.Ե. Ողնաշարավորների կենդանաբանություն: Յ. 3, Երևան, 207 էջ, 1999:
 10. Հայաստանի կենսաբազմածնությունը: Առաջին ազգային գեկույց: Երևան, 158 էջ, 1999:
 11. Հայ-ռուսերեն բառարան: Գլխ. խմբ. Ե.Յ. Գալստյան: Երևան, ՀՍՍՀ ԳԱ հրատ, 724 էջ, 1987:
 12. Ղազարյան Ռ.Ս. Կենդանիների անունների հայերեն-ռուսերեն-լատիններեն կարգաբանական բառարան: Գիրք Դ, Զկներ: Երևան: Մակմիլան Արմանիա հրատ., 451 էջ, 2000:
 13. Ղարիբյան Ա.Ա. Ոռուս-հայերեն բառարան, Երևան: Հայաստան, 1434 էջ, 1982:
 14. Նաումով Ս.Պ. Ողնաշարավորների կենդանաբանություն: Երևան: Հայպետուսմանկ-հրատ, 505 էջ, 1956:
 15. Զիվանյան Կ.Ա., Ղամիելյան Ֆ.Դ., Ոուլսկյան Ռ.Յ., Յավորոյան Է.Գ. Կենսաբանություն: Կենդանիներ, (դասագիրք հանրակրթ. դպ. 7-րդ դաս. համար): Երևան: Մակմիլան-Արմանիա հրատ., 158 էջ, 2000:
 16. Սութիասյան Ս.Ս. Հայոց լեզվի հոմանիշների բառարան, Երևան, ՀՍՍՀ ԳԱ հրատ, 683 էջ, 1967:
 17. Սութիասյան Ս.Ս. Հայոց լեզվի հոմանիշների բացատրական բառարան: Եր.: Երևանի համալսարանի հրատարակչություն, 1237 էջ, 2003:
 18. Григорян А.Дж. Вестник МАНЭБ, 9, 8, 210-212, 2004.
 19. Дадикянн М.Г. Рыбы Армении. Ереван. Изд. АН Арм ССР, 245 стр., 1986.
 20. Жизнь животных. Т 4. Ред. Т. С. Расс, М., Просвещение, 575 стр., 1983.
 21. Рыбы. Попул. энцикл. справочник. Ред П.И. Жуков. Минск,: Белорус. Сов. Энциклопедия, 311 стр., 1989.

Postupila 05.IX.2005

Բιոլոգ. журн. Армении, 3-4 (57), 2005

УДК 574.5+582.232/275/479.25

**ՅՈՍԶԴԱՆ ԳԵՏԻ ԵՐԵՎԱՆՅԱՍ ՀԱՏՎԱԾԻ ՖԻՏՈՊԼԱՆԿՏՈՆԱՅԻՆ
ՀԱՄԱԳԵՑՈՒԹՅԱՆ ԴԻՆԱՄԻԿԱՆ**

Լ.Գ. ՍՏԵՓԱՆՅԱՆ, Լ.Ռ. ՋԱՄԲԱՐՅԱՆ, Ռ.Ռ. ՋՈՎՃԱՆՆԻՍՅԱՆ

ՀՀ ԳԱԱ Եղիդրոէկոլոգիայի և ձկնաբանության ինստիտուտ, 375019, Երևան

Յիտազոտություններ են կատարվել Հրազդան գետի Երևանյան հատվածի հիդրոէկոհամակարգի ֆիտոպլանկտոնային համակեցության ուսումնասիրման ուղղությամբ: Յիտազոտվել է ջրիմունքների տեսակային կազմը, տրվել է նրանց կենսազանգվածի և քարագանակի սեզոնային դիմամիկան:

Были проведены исследования фитопланктонного сообщества гидроэкосистемы Ереванского участка реки Раздан. Определены видовой состав водорослей, а также сезонная динамика их численности и биомассы.

Phytoplankton's community in the hydroecosystem of river Hrazdan in the area of Yerevan has been studied. The specific structure of algae has been investigated and also has been discovered seasonal dynamics of quantity and biomass of algae.

**Ֆիտոպլանկտոն - տեսակային կազմ – կենսազանգված-հիմովիկատորային
տեսակներ**

Ֆիտոպլանկտոնը ջրային էկոհամակարգի տարրերից է, որը ջրի որակի կարևորագույն ցուցանիշներից մեկն է հանդիսանում: Ֆիտոպլանկտոնի ինդիկատորային հատկությունները որոշվում են ինչպես նրա տեսակային կազմով այնպես էլ քանակական զարգացմանը [6, 7]:

Հրազդանը հանդիսանում է Արաքս գետի վտակներից մեկը: Գետն ունի 146 կմ երկարություն [2], իսկ Երևանի տարածքում երկարությունը կազմում է 42 կմ: Գետի վրա տեղակայված խոշոր բնակավայրերը հատկապես մայրաքաղաք Երևանը, գետի համար հանդիսանում են կենցաղային և արտադրական թափոնացրերով աղտոտման աղբյուր, քանի որ ներկայում ոչ մի արտադրական համալիր չունի ժամանակակից պահանջներին բավարարող ջրի մաքրման կայաններ [3]: Սույն աշխատանքի նպատակը հանդիսանում է Հրազդան գետի Երևանյան հատվածի (ՀԵՅ) ֆիտոպլանկտոնային համակեցության տեսակային կազմի և կենսազանգվածի ուսումնասիրությունները սկսվել են 2004 թ. մարտից: Կատարվել են սեզոնային ամենամյա հետազոտություններ վերցնելով փորձանմուշները 6 դիտակետերից: Քիմիական դիտակետը հանդիսանում է Երևանը գյուղ և Վ. Չարբախ հատվածներում: Կետերի ընտրությունը կատարվել է կողլոփական ժամանակակից մննիտորինքի սկզբունքի համաձայն: Դիտարկվում է առաջին կետը որպես ֆոնային (համեմատաբար թիզ աղտոտվող) և Երևանը կետը առավել աղտոտված: Մնացած չորս դիտակետերը տեղակայված են ստուգիչ հանդիսացող դիտակետերի միջև և լրացուցիչ տեղեկություն են տալիս աղտոտվածության աստիճանի մասին: Փորձանմուշների կոնսերվացումը և մշակումը կատարվել են հիդրոէկոլոգիայում ընդունված

Եյութ և մեթոդ: ՀԵՅ-ի ֆիտոպլանկտոնային համակեցության տեսակային կազմի և կենսազանգվածի ուսումնասիրությունները սկսվել են 2004 թ. մարտից: Կատարվել են սեզոնային ամենամյա հետազոտություններ վերցնելով փորձանմուշները 6 դիտակետերից: Քիմիական դիտակետը հանդիսանում է Երևանը գյուղ և Վ. Չարբախ հատվածներում: Կետերի ընտրությունը կատարվել է կողլոփական ժամանակակից մննիտորինքի սկզբունքի համաձայն: Դիտարկվում է առաջին կետը որպես ֆոնային (համեմատաբար թիզ աղտոտվող) և Երևանը կետը առավել աղտոտված: Մնացած չորս դիտակետերը տեղակայված են ստուգիչ հանդիսացող դիտակետերի միջև և լրացուցիչ տեղեկություն են տալիս աղտոտվածության աստիճանի մասին: Փորձանմուշների կոնսերվացումը և մշակումը կատարվել են հիդրոէկոլոգիայում ընդունված

Ժամանակակից մեթոդներով [5]: Զրիմությունների տեսակային կազմի որոշումը կատարվել է որոշչների օգնությամբ [1, 4, 9, 12]:

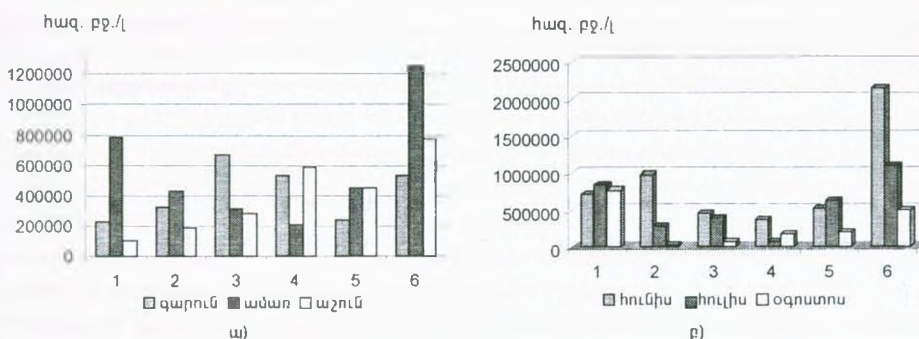
Արդյունքներ և քննարկում: Դայտնի է որ, ջրաքիմիական և ջրակենսաբանական ցուցանիշներով, այդ թվում նաև ֆիտոպլանկտոնի կենսազանգվածով կարելի է բնութագրել ջրի որակը [8]: ՆԵՐ ֆիտոպլանկտոնի դոմինանտ կազմը ներկայացված է 3 հիմնական խնբերով՝ դիատոմային, կապտականաչ և կանաչ ջրինութեր:

2004 թ. կատարված հետազոտությունների ընթացքում պարզվել է, որ ՀՀ ալգոֆլորայի հիմքը ըստ թվաքանակի և կենսազանգվածի կազմում են դիատոնային ջրիմուներ՝ 53% և 70% համապատասխանաբար (Աղ. 1):



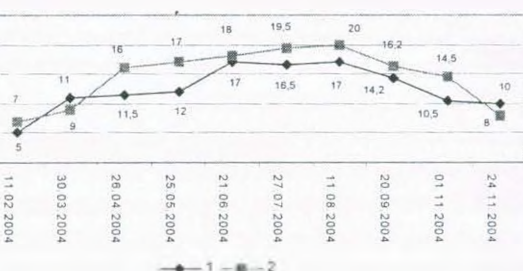
Նկ.1. 2004 թվականին Հրազդան գետի Երևանյամ հատվածում ջրիմուռների թվաքանակի (ա) և կենսագանգածի (բ) տոկոսային հարաբերությունը:

Դիտումային ջրիմուռները, որպես պլանկտոնային ֆիլոցենոզի բաղադրամաս առավել բնութագրական են կենսածին տարրերով հարուստ գետերի և ջրամբարների համար [10, 11, 13, 14]:



Ըստ թվաքանակի դիատոմային ջրիմուռների ամենաբարձր ցուցանիշը դիտվում է ամռան ամիսներին հատկապես հունիսին՝ Վ. Չարբախ հատվածում (նկ. 2): Առավելագույն թվաքանակով հանդիպում են ոչ գաղութային, ցիլինդրային *Centrophyceae* դասին պատկանող *Cyclotella comta* (մոտ 1600 մլն. բջ/լ), *Stephanodiscus hantzschii* (205 հազ. բջ/լ) տեսակները: Ամռան ամիսներին ջերմաստիճանային օպտիմումը այս ջրիմուռների համար կազմել է 17-20°: Յիմնական դիտակետերի՝ Գետամեջ և Վ. Չարբախ, ջերմաստիճանային ցուցանիշների տվյալները բերված են ստորև (նկ 3):

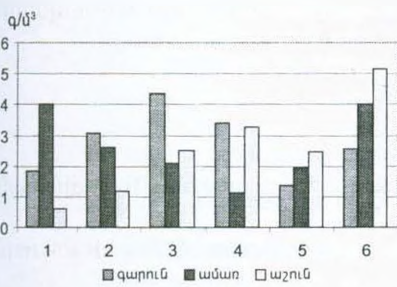
Ըստ կենսագանգվածի դիատոմային ջրիմուռների առավելագույն զարգացում յարագդանում նկատվել է աշնանը՝ սեպտեմբերին (նկ.4): Դիատոմային ջրիմուռների կ են սագանգած առավելագույն ցուցանիշը դիտվել է Վ. Չարբախ հատվածում՝ 6.6 գ/մ³:



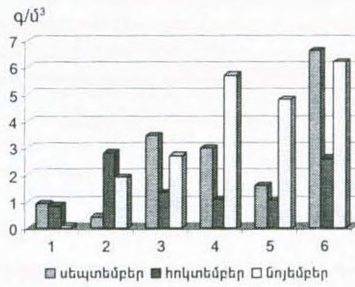
Նկ.3. 2004 թվականին յարագդան գետի երևանյան հատվածի գտնանք (1) և Վ. Չարբախ (2) դիտակետերում ցոյն ջերմաստիճանի ցուցանիշները:

Սեպտեմբերին հատվածում՝ 6.6 գ/մ³:

Դիմինանտ են եղել *Pennatae* դասին պատկանող *Navicula lineolatae* (2.2 գ/մ³) և *Centrophyceae* դասին պատկանող *Melosira Grun.* (1.3 գ/մ³) տեսակները: *Melosira Grun.* բազմաթիվ գաղութային, իսկ *Navicula lineolatae* խոշոր միաբջիջ օրգանիզմներ են, որով և պայմանավորված է դրանց մեջ կենսագանգվածը: Այս տեսակները հանդիսանում են էվտրոֆ ջրամբարներին հատուկ ինդիկատորներ [10,13]:



ա)



բ)

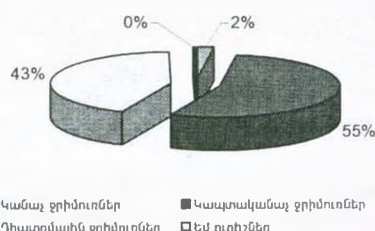
Նկ.4. ա) դիատոմային ջրիմուռների սեզոնային դիմանական ըստ կենսագանգվածի բ) ամռանը դիատոմային ջրիմուռների դիմանական ըստ կենսագանգվածի: Նամարակալումը ըստ նկ.2:

Դիատոմային ջրիմուռների նվազագույն թվաքանակ (17500 բջ/լ) և կենսագանգված (0.1 գ/մ³) դիտվել է նոյեմբերին: Գետամեջի հատվածում: Ջրի ջերմաստիճանը եղել է 10°:

Գարնանային պլանկտոնային ֆիտոգենոզում ջրիմուռների հիմնական խումբը կազմում են կապտականաչները՝ 55% (նկ.5):

Ըստ թվաքանակի և կենսագանգվածի (31% և 17%) կապտականաչները դիատոմայիններից ենտո երկրորդ տեղն են գրավում գետի ֆիտոգենոզում: Ներկա կապտականաչների տաքսոնոմիկ կառուցվածքը հիմնականում ծևավորվում է *Chroococcales* կարգի ջրիմուռների հաշվին:

Տարվա բոլոր սեզոններին դրմինանտ են հանդիսացել *Aphanothecace* և *Microcystis* ցեղատեսակները: Նվազագույն քանակներով հանդիպել են



Նկ. 5. յարագդան գետի երևանյան հատվածում ջրիմուռների տոկոսային հարաբերությունը զարնանը ըստ թվաքանակի:

Gomphosphaeria, Gloeocapsa, Anabaena, Aphanizomenon ցեղատեսակները:

Ուսումնասիրման շրջանում հայտնաբերված է, որ կանաչ ջրիմուռների դերը նվազագույն է ընդիանուր պլանկտոնային ֆիտոցենոզի համար, քանի որ այս խմբի ջրիմուռները բնորոշ են կանգնած ջրով ջրամբարներին և լճային ջրահամակարգերին:

Կանաչ ջրիմուռների առավելագույն աճ նկատվում է ամռանը (27%): Առավել հանդիպող տեսակներ են *Coelastrum microporum*, *Coelastrum sphaericum*, *Binuclearia lauterbornii*. Ավելի քիչ քանակներով սակայն տարվա բոլոր սեզոններին հանդիպել են *Oocystis* և *Ankistrodesmus* ցեղերի ջրիմուռները:

Այսպիսով, 2004 թ. մարտից առաջին անգամ կատարվել է Յրազդան գետի Երևանյան հատվածի ֆիտոպլանկտոնային համակեցության տեսակային կազմի և կենսազանգվածի ուսումնասիրություններ: Եզրակացվել է, որ դոմինանտ են եղել դիատոմային ջրիմուռներ՝ *Cyclotella comta*, *Stephanodiscus hantzchii*, *Navicula lineolatae*, *Melosira Grun* տեսակներով, որոնք և հանդիսանում են էվլորֆ ջրահամակարգերի կենսահիմնիկատորներ: Կարևոր է նշել, որ այս տեսակները առավելագույն քվաքանակով հանդիպում են ջրի ջերմաստիճանի ամենաբարձր արժեքների դեպքում, որից և կարելի է եզրակացնել, որ ջրի քարձոր ջերմաստիճանը նպաստում է դիատոմային ջրիմուռների այս տեսակների զարգացմանը:

ԳՐԱԿԱՆՈՒԹՅՈՒՆ

- Գուրեվիչ Ա.Ա. Քաղցրահամ ջրերի ջրիմուռներ: Երևան, 1973.
- Դարութունյան Ս., Գրիգորյան Վ., Դովիհանիս Ռ. 1, Դայաստանի էկոլոգիական թանգիս, 107-113, 2002.
- Ակոնյան Հ., Ղուկասյան Է., Սաակյան Դ., Արդյունյան Հ., Այրառելյան Ա. Տез Междунар. семинара, Севан, 17, 2003.
- Киселев И.А., Зинова А.Д., Курсанов Л.И., Определитель низших растений. Водоросли, 2. М., 1953
- Методические указания по сбору и обработке материалов при гидробиологических исследованиях на пресноводных водоемах, 32, Л., 1981.
- Михеева Т.М. Сукцессия видов в фитопланктоне: определяющие факторы. 72, Минск, Изд. БГУ, 1983.
- Петрова Н.А. Автореф. докт. дисс., Л., 1986.
- Романенко В.Д. Экологическая оценка. Воздействие гидротехнического строительства на водные объекты, Киев, 218-221, 1990.
- Belcher H., Swale E., Freshwater Algae, Institute of Terrestrial Ecology Natural Environment Research Council, 1978.
- Decamps H., Capblancq J., Tourenq J.N., Lot. Ecology of European Rivers. Oxford: Blakwell Sci. Publ., 1984.
- Dobler E., Schmid A., Weiter vergleichende Beträge zur Kenntnis limnologischer Verhältnisse der Donae und Thesis, Riscia (Szeged), V.15. 1980.
- Strebler H., Krauter D., Das Leben im Wassertropfen, 2002.
- Swale E.M.F. A study of phytoplankton of a calcereous river. J. Ecol. 52, 2, 433-446, 1964.
- Swale E.M.F. Phytoplankton of two English rivers. J. Ecol. 57, 1, 1-23, 1969.

Պոստупила 15.VII.2005

ԴՐԻՄՅԱՆ ՍՈճՈՒ ՄՈՂԵԼԱՅԻՆ ԾԱՌԵՐԻ ԿԵՆՍԱԶԱՆԳՎԱԾԻ
ԳՆԱԳԱՏՈՒՄԸ ՐԱՅԱՍԱԾՆԻ ՀՅՈՒՍԻՍ-ԱՐԵՎԵԼՅԱՆ ԳՈՏՈՒՄ

Ա.Վ. ԳԵՎՈՐԳՅԱՆ

Բուսաբանության ինստիտուտ, 375063, Երևան

Ուսումնամիջուկ է Ղրիմյան սոճու (*Pinus pallasiana*) մողելային ծառերի վերգետնյա կենսազանգվածը Հայաստանի հյուսիս-արևելյան գոտու տարբեր աճման պայմաններում: Աշխատանքի արդյունքներով բացահայտվել է ծառերի տարբեր բաղադրիչ մասերի կենսազանգվածային հարաբերակցությունները:

Изучали надземную биомассу модельных деревьев крымской сосны (*Pinus pallasiana*) северо-восточной зоны Армении в разных условиях местопроизрастания. Выявили соотношения различных фракций биомассы деревьев.

The biomass of pine model trees has been studied in the north-eastern region of Armenia for different growing conditions. As a result of research work it has been found out the relationship of different tree fractions in biomass matter.

Ղրիմյան սոճի - կենսազանգվածի գնահատում

Անտառային կենսազանգվածի գնահատումը Հայաստանում մի ուղղություն է, որը դեռևս կարիք ունի հետագա զարգացման: Ներկայումս կլիմայի փոփոխության շրջանակում մեծապես կարևորվում է անտառների դերն աժխածնի գլոբալ շրջապատճեցի գործընթացում: Համեմատաբար երկարատև ժամանակահատվածի ընթացքում այն նաև նպաստում է հողի օրգանական նյութի ավելացմանը:

Ծառը ըստ հիմնական մորֆոլոգիական առանձնահատկությունների բաժանվում է 3 հատվածների բնի, սաղարթի և արմատների: Այդ հատվածների ծավալային հարաբերակցությունը միանման չէ տարբեր ծառատեսակների համար, այդ իսկ պատճառով աշխատանքը նպատակ ունի պարզելու այն դրիմյան սոճու ծառատեսակի պարագայում:

Նյութ և մեթոդ: Ղրիմյան սոճու անտառաշակույթների կենսազանգվածի գնահատման նպատակով Լալվարի և Զիլիզայի անտառատեսությունների տարածքում ուսումնամիջուկ է սոճու 4 մողելային ծառերի բնի աճման ընթացքը և կատարվել վերլուծություն ծառի սաղարթային կենսազանգվածը (կենդանի և չոր ծյուղեր, ասեղնատերևներ և այլն): Կերպինիս դեպքում կիրառվել են տաքսացիայի ֆիգիկական կշռային եղանակները [1, 2, 3]: Ստորգետնյա արմատային կենսազանգվածը հաշվարկվել է բուն/արմատային հարաբերակցության միջոցով [4]:

Արդյունքներ և քննարկում: Մողելային ծառերի բնի աճման ընթացքի վերլուծությունը հնարավորություն է տվել բացահայտելու ծառի ծավալների զարգացման միտումը ըստ ժամանակահատվածների, տարեկան ընթացիկ և միջին աճերը, ընթացիկ աճի տոկոսը և այլն (աղ. 1):

Աղյուսակ 1. Մողելային ծառերի անտառգնահատման հիմնական ցուցանիշները

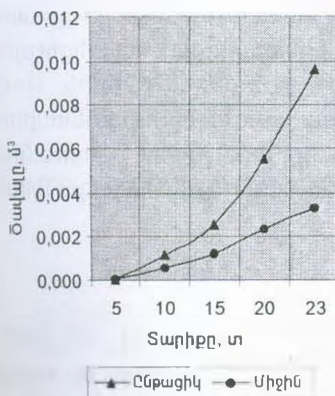
Մողելային ծառեր, N	Տարիքը	Բնի ծավալը մ³, առանց կեղևի	Տարեկան աճը. մ³ ըստ ծավալի		Ընթացիկ աճի %-ը (իրական)	Տեսակային թիվը
			Ընթացիկ	Միջին		
N 1	0	0				
	5	0,0003	0,00006	0,00006	40,0	
	10	0,0058	0,0011	0,0006	36,3	0,570
	15	0,0184	0,0025	0,0012	20,8	0,550
	20	0,0462	0,0056	0,0023	17,2	0,578
	23	0,0749	0,0096	0,0033	15,8	0,591
N 2	23 կեղևով	0,0889				0,549
	0	0				
	5	0,00005	0,00001	0,00001	40,0	
	10	0,0012	0,0002	0,0001	37,1	
	15	0,0082	0,0014	0,0005	29,7	0,824
	20	0,0244	0,0032	0,0012	19,9	0,615
	25	0,0465	0,0044	0,0019	12,5	0,586
	29	0,0653	0,0047	0,0023	8,4	0,569
N 3	29 կեղևով	0,0882				0,569
	0	0				
	5	0,0001	0,00002	0,00002	40,0	
	10	0,0023	0,0004	0,0002	36,9	0,946
	15	0,0104	0,0016	0,0007	25,6	0,587
	20	0,0284	0,0036	0,0014	18,6	0,625
	25	0,0528	0,0049	0,0021	12,0	0,641
N 4	25 կեղևով	0,0702				0,595
	0	0				
	5	0,0003	0,0001	0,0001	40,0	
	10	0,0087	0,0017	0,0009	37,5	
	15	0,0223	0,0027	0,0015	17,5	0,560
	20	0,0457	0,0047	0,0023	13,7	0,521
	23	0,0688	0,0077	0,0030	13,5	0,512

Բացահայտվել են նաև ծառուտների անտառգնահատման համար անհրաժեշտ տեսակային թվի գործակիցները, ըստ տարբեր ժամանակահատվածների:

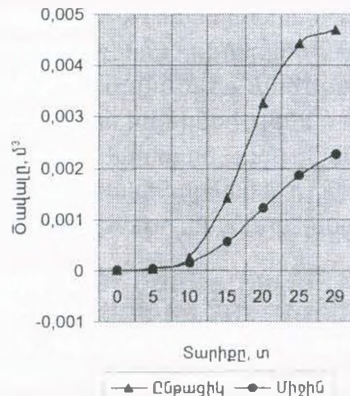
Սողելային ծառերի ընթացիկ և միջին տարեկան ծավալային աճերի վերլուծությունից ակնհայտ է, որ բոլոր չորս դեպքերում էլ ընթացիկ աճը զգալի գերազանցում է միջին աճին (Ըկ. 1):

Աղյուսակ 2. Մողելային ծառերի չոր կենսազանգվածի բնութագրերը

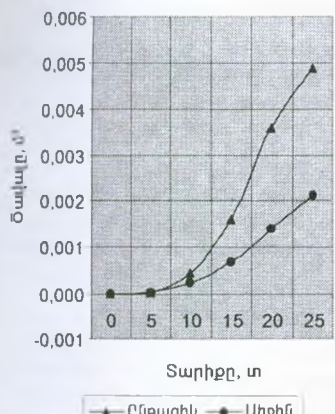
Մողելային ծառերի N	Տրամա- գիծը. սմ	Բարձրու- թյունը. մ	Բնի կենսա- զանգվածը (կեղևով), կգ	Սաղարթ			Վերգետնյա կենսա- զանգված	Արմատներ
				Ասեղնա- տերներ	Ենուդեր	Ընդա- մենը		
1	13,0	12,20	37,3380	6,64	9,261	15,903	53,241	14,269
2	13,7	10,51	37,0440	4,54	12,285	16,826	53,870	14,437
3	12,1	10,09	29,3580	2,47	7,266	9,738	39,096	10,478
4	16,5	8,99	37,9260	9,12	16,372	25,493	63,419	19,787



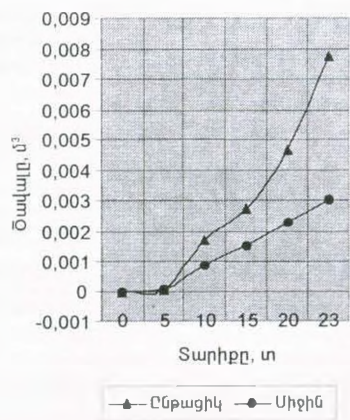
Մոդելային ծառ N 1:



Մոդելային ծառ N 2:



Մոդելային ծառ N 3:



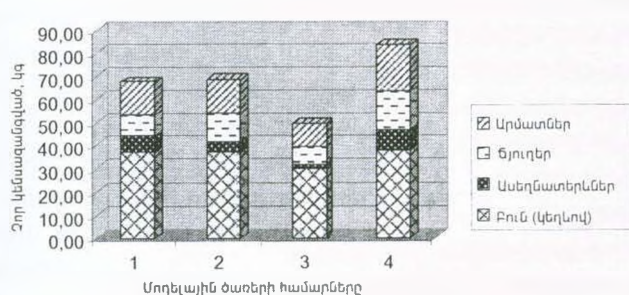
Նկ. 1. Մոդելային ծառերի ընթացիկ և միջին տարեկան ծավալային աճը:

Ծառի ընդհանուր կենսագանգվածի գնահատման համար կարևոր նշանակություն ունի սաղարթային ճյուղերի և ասեղնատերևների հաշվառումը, որոնց արդյունքները ներկայացված են ստորև (աղ. 2):

Մոդելային ծառերի ընդհանուր կենսագանգվածում ծառերի սաղարթները և արմատները ունեն զգալի չափաբարձրություն (նկ. 2):

Նայաստանի լեռ-

նային պայմաններում անտառվերականգնման և անտառապատման տեսանկյունից մեծապես կարևորվում է հիմնադրվելիք ծառուտների ընդհանուր կենսաբանական արտադրողականության բացահայտումը:



Նկ. 2. Մոդելային ծառերի կենսագանգվածի բաղադրիչ մասերը:

Մասնավորապես կլիմայի փոփոխության շրջանակում ածխածնի կլանճան շնորհիվ հնարավոր է ապահովել միջազգային ֆինանսական աջակցություն անտառվերականգնման և անտառապատման աշխատանքներին։ Սույն աշխատանքը, հենվելով մոդելային ծառերի կենսազանգվածի ուսումնասիրությունների վրա, նպատակ ունի բացահայտելու դրիմյան սոճու ծառուտների ընդհանուր կենսազանգվածային արտադրողականությունը և գնահատելու նրանց ածխածնի կլանճան ունակությունը։

ԳՐԱԿԱՆՈՒԹՅՈՒՆ

1. *Анучин Н.П.* Лесная таксация, Изд. “Лесная Промышленность”, М., 512, 1977.
2. *Вагин А.В., Мурахтанов Е.С., Ушаков А.И. Харин О.А.* Практикум по лесной таксации и лесоустройству, Изд. “Лесная Промышленность”, М., 184, 1979.
3. *Колособа А.Е., Мурахтанов Е.С.* Лесная таксация, Изд. ВЗЛТИ, Л., 291, 1960.
4. *Уткин А.И.* Биологическая продуктивность лесов Поволжья, Изд. “Наука”, М., 1982.

Поступила 09.IX.2005

Биолог. журн. Армении, 3-4 (57), 2005

УДК 577.1:575.24

ИЗМЕНЕНИЕ СОДЕРЖАНИЯ ГЛОБУЛИНОВ В СЕМЕНАХ ФАСОЛИ ПРИ ХИМИЧЕСКОМ МУТАГЕНЕЗЕ

Дж.А. ВАРДАНЯН, К.А. ВАРДАНЯН, М.А. ДАВТЯН

Ереванский государственный университет, кафедра биохимии, 375049

The sum total of saltsoluble proteins of initial and mutant seeds of Armenian red haricot has been studied. With the help of helfiltration and ionic exchange chromatography methods have been found out essential qualitative and quantitative changes in the globulins of mutant seeds: the content of vicilin-like proteins has increased.

Семена фасоли - глобулин - химический мутагенез

По количественному содержанию глобулины являются основными запасными азотсодержащими веществами семян бобовых.

Глобулины, выделенные из семян трибы виковых, получили название вицилинов и легуминов. В семенах других триб семейства бобовых обнаружены близкие, но не идентичные им белки, которые принято называть вицилино- и легуминоподобными глобулинами [1, 7, 10].

Запасные белки семян бобовых легулины и вицилины представляют собой иммунологически различные белки глобулиновой природы с высокой молекулярной массой. Кроме двух основных глобулинов, в семенах бобовых присутствуют и второстепенные глобулиновые компоненты [6].

Предыдущие наши исследования показали, что у хозяйствственно ценных мутантов семян фасоли наблюдаются значительные отклонения в азотном обмене, что сопровождается изменением содержания белка и аминокислот [2, 3].

Целью наших исследований явилось изучение влияния химических мутагенов на возможные качественные и количественные сдвиги в составе суммарных глобулинов. Выделение однородных белков важно для изучения не только их физико-химических свойств и аминокислотного состава, но и их биологической роли в растении.

Материал и методика. Объектом исследования служили семена исходной формы и мутанта 26 фасоли сорта Армянская красная, полученного в результате обработки семян этиленимином (ЭИ).

Семена фасоли измельчали в тонкую муку, которую обезжиривали петролейным эфиром при комнатной температуре. Для получения суммарного солерастворимого экстракта

навеску муки заливали десятикратным объемом 1 М NaCl, pH 7.0 и оставляли при постоянном помешивании при 4-5° на сутки.

Остаток отделяли от экстрактов центрифугированием при 8000 об/мин в центрифуге с охлаждением, снова заливали растворителем и после трехчетырехчасового настаивания экстракт отделяли центрифугированием. Экстракты белков объединяли и доводили до соответствующего объема. При такой обработке было извлечено 95-97% белков семядолей.

Результаты и обсуждение. Исследования белков семян фасоли различными методами подтвердили, что глобулины представлены двумя основными - вицилино- и легуминоподобными белками.

Для исследования этих белков исходных семян фасоли и мутанта сначала получили суммарный солевой экстракт, после чего высаливанием постепенно возрастающими концентрациями сернокислого аммония выделили соответственно 0-30, 30-60 и 60-100 фракции.

Полученные белковые фракции исследовали методами гельфильтрации на сефадексе G-100 и ионообменной хроматографии на ДЭАЭ целлюлозе.

Сначала выделенные три солерасторимые белковые фракции семян фасоли (мутанта и исходной формы) пропускали через колонку с сефадексом G-100, который предварительно был уравновешен 0.02М трис-ацетатным буфером, pH 8.0. Элюцию проводили тем же буфером. Количество белка определяли спектрофотометрическим методом при длине волны 280 нм.

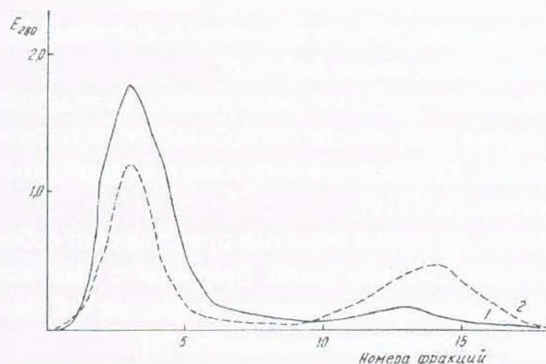


Рис. 1. Гельфильтрация фракции 0-30 солерасторимых белков семян фасоли на сефадексе G-100.

1 - исходная форма, 2 - мутант 26.

белков фасоли [8, 9].

Легуминоподобные белки семян фасоли (фракции 30-60) также разделились на два пика (рис. 2). Сравнительная картина количественного содержания белковых пиков мутантной и исходной форм почти сходна с таковой первой фракции (0-30), а именно уровень высокомолекулярных белков заметно выше у исходной, а низкомолекулярных - в 2 раза выше у мутантной формы.

Третья фракция солерасторимых белков фасоли (60-100), которая содержит в основном вицилиноподобные белки, при гельфильтрации разделилась также на 2 белковых пика (рис. 3).

Фракция 0-30 (рис. 1) в обоих случаях (мутантная и исходная формы) дает 2 белковых пика. Уровень высокомолекулярных белков (1 пик) исходной формы заметно выше такового мутантной, а уровень низкомолекулярных белков мутантной формы в 2.5 раза превышает таковой исходной (по данным СФ).

Согласно литературным данным, при низкой концентрации сульфата аммония (0-30) осаждаются минорные компоненты солерасторимых

Однако в отличие от предыдущих фракций, в данном случае оба белковых пика мутантной формы количественно превышают таковые исходной, причем II пик - в 17 раз.

Поскольку особенно заметные изменения были обнаружены в третьей (60-100) фракции в дальнейшем изучали ее. Полученные при гельфильтрации 2 белковых пика были объединены и подвергнуты ионообменной хроматографии на ДЭАЗ целлюлозе, предварительно уравновешенной 0,02M триас-ацетатным буфером, pH 8.0. Элюцию осуществляли ступенчато растворами NaCl в буфере 0.1, 0.2, 0.25, 0.35, 0.45, 0.5, 0.6 и 0.7M.

Как видно из представленной кривой (рис. 4), смесь белковых пиков семян исходной формы фасоли разделилась на 4 фракции, элюируемые при различных концентрациях NaCl.

В случае мутанта (рис. 5) также были получены четыре белковые фракции, две из которых, однако, элюировались исходным буфером.

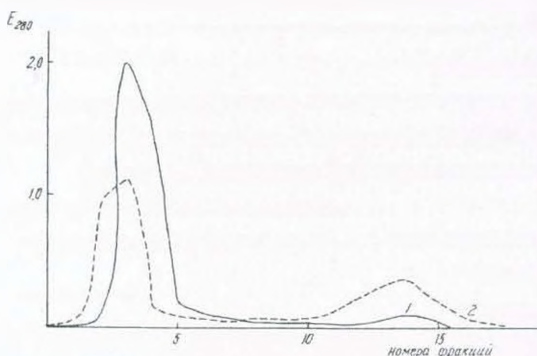


Рис. 2. Гельфильтрация фракции 30-60 солерастворимых белков семян фасоли на сепадексе G-100.
1 - исходная форма, 2 - мутант 26.

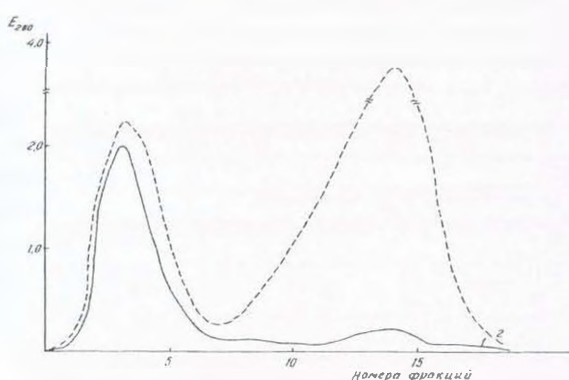


Рис. 3. Гельфильтрация фракции 60-100 солерастворимых белков семян фасоли на сепадексе G-100.
1- исходная форма, 2 – мутант 26

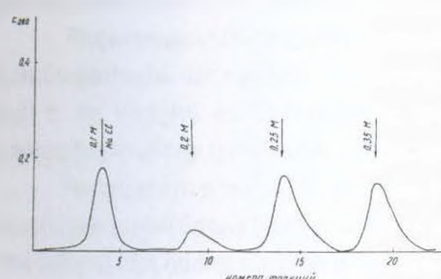


Рис. 4. Ионообменная хроматография на ДЭАЗ целлюлозе суммы белковых пиков фракции 60-100 исходной формы семян фасоли.

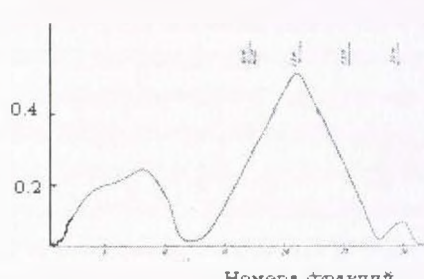


Рис. 5. Ионообменная хроматография на ДЭАЗ целлюлозе суммы белковых пиков фракции 60-100 мутанта 26 семян фасоли.

Согласно данным спектрофотометрии, количество элюируемой 0.2 М NaCl белковой фракции мутанта в 17 раз превосходит уровень соответствующей фракции исходной формы.

Обобщение результатов данного и предыдущих опытов [4, 5], проведенных с семенами фасоли сорта Армянская красная, позволяет заключить, что, по сравнению с исходной формой фасоли, в белках семян мутанта, индуцированного этиленимином, произошли глубокие качественные, количественные изменения, что связано, по всей вероятности, с увеличением вицилиноподобных глобулинов.

ЛИТЕРАТУРА

1. Вайнтрауб И.А. Докт. дисс. Кишинев, 1970.
2. Варданян К.А., Варданян Дж.А. Биолог. ж. Армении, 35, 11, 930-932, 1982.
3. Варданян Дж.А., Варданян К.А. Ученые записки, I, 121-123, 1987.
4. Варданян Дж.А., Варданян К.А., Давтян М.А. Биолог. ж. Армении, 55, 1-2, 179-180, 2003.
5. Варданян Дж.А., Варданян К.А., Давтян М.А. Ученые записки, I, 88-91, 2005.
6. Гоник С.А., Гуринович О.И., Агаркова С.Н., Варлахов М.Д., Володин В.И. Химический мутагенез и иммунитет, М., Наука 174-181, 1980.
7. Клименко В.Г. Растительные белки и их биосинтез. М., Наука 97-116, 1975.
8. Саянова В.В. Труды по химии природы соединений, Кишинев 8, 14-25, 1969.
9. Шутов А.Д., Вайнтрауб И.А. Биохимия 32, 1120, 1967.
10. Bailey C.J., Baulter D. Phytochemistry, II, 59-62, 1972.

Поступила 05.IX.2005

Բիոլոգ. журн. Армении, 3-4 (57), 2005

УДК 636.061.8

ՏՆՏԵՍԱԿԱՆ ԱՐԴՅՈՒՆԱՎԵՏՈՒԹՅԱՆ ՈՐՈՇՈՒՄԸ ՀՈՌԹԵՐԻՆ ԼԱԿՏՈԲԱԿՏԵՐԻՆ-6 ԿԵՆՍԱՊԱՏՐԱՍՏՈՒԿՈՎ ԿԵՐԱԿՐԵԼԻՄ

Գ.Ռ. ՀԱՄԲԱՐՁՈՒՄՅԱՆ

Դայկական գյուղատնտեսական ակադեմիա, 375009, Երևան

30-60% from dairy feed-portion of experimental group of the calves was substituted for "Laktobakterine-6". During 30% substitution of the dairy milk portion of the calves its live mass increased to 36,12%, during 50% to 48,34% and during 60% to 46,47%. For high economical efficiency more advisable 50% of the feed-portion of the calves substituted with "L-6" biodrug.

Տնտեսական արդյունավետություն - լակտոբակտերին-6 - հորթեր - քաշած - կարճաթթվային մթերքներ

Դիվանդությունների դեմ կիրառվող պայքարի յուրահատուկ միջոցների հետ կարևոր նշանակություն ունեն նաև ոչ յուրահատուկ միջոցները, որոնք հիմնականում ուղղված են օրգանիզմի բնական դիմադրողականության բարձրացմանը:

Տարբեր հետազոտողներ բնական դիմադրողականության խթանման համար առաջարկում են զանազան ֆիզիկական, քիմիական (հակարիտիկներ, վիտամինային խտանյութեր), կենսաբանական (պրոբիոտիկներ, կարճաթթվային մթերքներ) միջոցներ: Դիվանդությունների կանխարգելման և բուժման նպատակով ներկայում թե թժշկության, թե անասնապահության մեջ առավել մեծ նշանակություն են տալիս տարրեր տեսակի կենդանի մանրեների պատրաստուկներին (պրոբիոտիկներ) և կարճաթթվային մթերքներին [1-9]: Դրանք չունեն կողմնակի, բացասական ազդեցություն նույնիսկ երկարատև և բարձր չափաբանակներով օգտագործման դեպքում:

Դիվանդությունների կանխարգելման և բուժման համար պրոբիոտիկների և կարճաթթվային մթերքների օգտագործման հիմնական պատճառներից մեկն էլ այն է, որ վերջին ժամանակներս առավել շատ տվյալներ են կուտակվում հակարիտիկների կողմնակի բացասական ազդեցությունների վերաբերյալ:

Գրականությունում բազմաթիվ տվյալներ կան այն մասին, որ կարճաթթվային մթերքները խթանում են նաև կենդանիների քաշակուտակումը: Դիմնվելով այդ հանգամանքի վրա, ուսումնասիրել ենք լակտոբակտերին-6 (L-6) կենսապատրաստուկի ազդեցությունը հորթերի բնական դիմադրողականության և քաշածի վրա:

Եյութ և մեթոդ: Դետազոտությունների համար համանանամության սկզբունքով կազմվել է կովկասյան գորշ ցեղին պատկանող, կենդիկապես առողջ հորթերի պայմանական 4 խումբ, ամեն խմբում 6-ական գլուխ: Դետազոտությունները կատարվել են 2000-2002 թ.թ. ՀԱ Բայահովիտի ուսումնական հիգրոծնական տնտեսությունում և Արարատի մարզի գյուղացիական անհատական տնտեսություններից մեկում:

Բոլոր խմբերի կենդանիների պահվածքի, խնամքի և կերակրման պայմանները եղել են միանման: Առաջին խումբը հանդիսացել է որպես ստուգիչ: Փորձնական երկրորդ, երրորդ և չորրորդ խմբերի հորթերը խփային շրջանում լրացրւիչ կերակրվել են L-6 պատրաստուկով՝ օրական 300 մլ/գլուխ չափաբանակով, իսկ այնուհետև՝ նրանց հասանելիք օրական կաթի համապատասխանաբար 30, 50 և 60 %-ը փոխարինվել է վերոհիշյալ պատրաստուկով: Հորթերը կաթը ստացել են տվյալ տնտեսություններում ընդունված չափաբանով: L-6 պատրաստուկով հորթերին տրվել է մերած կաթի ծեռվ:

Դետազոտությունները կատարվել են մինչև հորթերի 60 օրական հասակը:

L-6 կենսապատրաստուկի օգտագործման տնտեսական արդյունավետությունը ստուգվել է ըստ Բելուսակի [8]: Ստացված աղյունները մշակվել են վիճակագրական մեթոդներով [10]:

Տնտեսական վնասի չափը որոշվել է հետևյալ բանաձևով.

$$C = (\text{Աս -Ահ})x\theta\hbar\chi\sigma\chi\delta,$$

որտեղ Վ - տնտեսական վնաս, որն առաջացել է հիվանդությունների պատճառով կենդանիների մթերատվության նվազումից, դրամ, Աս - առողջ կենդանիների միջին օրական քաշաճը, Կգ. Ահ - հիվանդ կենդանիների միջին օրական քաշաճը, Կգ. Քհ - հիվանդների գլխարակը, Ժ - հիվանդության միջին տևողությունը. օր. Գ - 1 կգ կենդանի զանգվածի գնման արժեքը. դրամ:

Արդյունքներ և քննարկում: Ստուգիչ և փորձնական երկրորդ, երրորդ և չորրորդ խմբերի նորածին հորթերի կենդանի զանգվածները կազմում են 29,77, 30,23, 29,08 և 28,63 կգ, իսկ 60 օրականում համապատասխանաբար 53,83, 62,98, 64,77 և 63,87 կգ:

Ինչպես վկայում են ստացված տվյալները, փորձնական բոլոր հորթերը՝ ստուգիչ հորթերի համեմատությամբ, աչքի են ընկնում բացարձակ և միջին օրական բարձր քաշաճներով: Այսպես, եթե ստուգիչ հորթերի միջին օրական քաշաճը կազմում է 0.401 կգ, ապա երկրորդ և չորրորդ խմբերի հորթերի մոտ այն կազմում է 0.546 և 0.587 կգ, իսկ առավելագույն ցուցանիշը երրորդ խմբի հորթերի մոտ է 0.595 կգ: Ըստ այդ տվյալների, ստուգիչ հորթերի համեմատությամբ, երկրորդ խմբի հորթերի քաշաճն ավելացել է 36.12 %, իսկ երրորդ և չորրորդ խմբերի հորթերինը համապատասխանաբար՝ 48.34 և 46.48 % (աղ. 1):

Աղյուսակ 1. Հորթերի քաշաճի և տնտեսական արդյունավետության ցուցանիշները

Խումբներ	Խումբ	1-ին խումբ	2-րդ խումբ	3-րդ խումբ	4-րդ խումբ
Հորթերի կենդ. զանգվ., կգ M±m	Առածին	29.77±0.97	30.23±1.02	29.08±0.86	28.63±0.77
	60 օրական	53.83±1.64	62.98±0.69	64.77±0.93	63.87±0.87
Միջին օրական քաշաճ, կգ		0.401	0.546	0.595	0.587
Քաշաճը 1-ին խմբի համեմատությամբ, %		100.0	136.12	148.34	146.48
Տնտեսական արդյունավետություն, դրամ	1 դ-ի հաշվով	-	11.93	15.01	13.06
	100 գլխի հաշվով	-	220750.0	300100.0	285066.66

Օգտագործվող L-6 պատրաստուկի չափաքանակի և հորթերի օրական քաշաճի միջև եղած կապի բնույթը որոշել ենք կոռելացիայի գործակցի (r) միջոցով։ Տվյալ դեպքում $r=0,75$ -ի, որը վկայում է հորթերի օրական քաշաճի և վերոհիշյալ կենսապատրաստուկի չափաքանակի միջև եղած ուղիղ համեմատական և ուժեղ կապի մասին։

L-6 կենսապատրաստուկի օգտագործման տնտեսական արդյունավետության որոշման ժամանակ հաշվի ենք առել այն, որ ստուգիչ խմբում 3 զլուխ հորթեր հիվանդացել են դիսպեսիայով (հիվանդության պոտենցիալ գործակցը տվյալ դեպքում հավասար է 0,5-ի), իսկ փորձնական հորթերի խմբերից ոչ մեկում հիվանդության դեպքեր չեն գրանցվել (փաստացի վնասը հավասար է զրոյի)։

Հաշվարկները վկայում են, որ 0,5 հիվանդության պոտենցիալ գործակցի դեպքում տնտեսական վնասը երկրորդ խմբում կկազմի 14355.0 դ, երրորդ խմբում 19206.0 դ, իսկ չորրորդ խմբում 18414.0 դ, տնտեսական վնասի գործակցը համապատասխանաբար՝ 4785.0 դ, 6402.0 դ և 6138.0 դ։

L-6 կենսապատրաստուկի օգտագործման հետևանքով կանխված վնասը կազմում է 14355.0 դ (երկրորդ խումբ), 19206.0 դ (երրորդ խումբ) և 18414.0 դ (չորրորդ խումբ)։ Կանխված վնասի և անասնաբուժական միջոցառումների անցկացման ծախսերի տարբերությամբ որոշված տնտեսական արդյունքի ամենաբարձր ցուցանիշը երրորդ խմբում է 18006.0 դ, իսկ երկրորդ և չորրորդ խմբերի մոտ այն կազմում է համապատասխանաբար՝ 13245.0 և 17104.0 դ։

Տնտեսական արդյունավետությունը ծախսված 1 դ-ի դիմաց կազմում է 11.93 դ (երկրորդ խումբ), 15.01 դ (երրորդ խումբ) և 13.06 դ (չորրորդ խումբ)։

Տնտեսական արդյունավետության ամենաբարձր ցուցանիշը 100 զլոխ հաշվով երրորդ խմբի հորթերի մոտ է 300100.0 դ, իսկ երկրորդ և չորրորդ խմբերում այն կազմում է համապատասխանաբար՝ 220750.0 և 285066.66 դ։

Փորձնական խմբերում հորթերի հիվանդության դեպքերի նվազման ապացուցման համար կիրառել ենք χ^2 -ու որոշման մեթոդը։

Ստացված χ^2 -ու արժեքը (7,11) վկայում է փորձնական խմբերում հորթերի հիվանդությունների նվազման վարկածը ($p<0,05$)։

Կորելյացիայի գործակցը համանման հատկանիշների համար՝ (-0.786) վկայում է, որ ուժեղ արտահայտված հակադարձ կապ կա L-6 կենսապատրաստուկի օգտագործման և հիվանդությունների նվազման միջև։

Այսպիսով, հորթերի օրական կաթի չափաքանի 30-60 % փոխարինումը L-6 կենսապատրաստուկով նպաստում է դրանց քաշաճի ավելացմանը։ Տնտեսապես առավել արդյունավետ է հորթերի օրական կաթի չափաքանակի 50%-ի փոխարինումը L-6 կենսապատրաստուկով, որի դեպքում ծախսված 1 դրամի դիմաց ստացվող շահույթը կազմում է 15.01 դրամ։

ԳՐԱԿԱՆՈՒԹՅՈՒՆ

1. Արարեկյան Գ.Ա. Դանձնարարականներ հորթերի աճեցման համար անարատ կարի փոխարինիչների օգտագործելու վերաբերյալ. Երևան, 1987:
2. Դիլանյան Զ.Ք. Թուցումներ հորթերին մածնով կերակրելու վերաբերյալ. Երևան, 1961:
3. Երգինկյան Լ.Ք. Ացիդոֆիլ կաթ.- Երևան, ՀՍՍՈ Ա, 1948:
4. Երգինկյան Լ.Ք. Ացիդոֆիլ կաթը. Արա պատրաստումը և կիրառումը անանարուժության մեջ: Երևան, ՀՍՍՈ Ա, 26-59, 1955:
5. Ավագյան Յ. Մ. Տез. դոկլ. կոնֆ., Երևան, 1986.
6. Անատևսկий Ա.Վ., Պարուշեա Ս.Վ. Բιոմոլոկո и его лечебное свойство.- Орджоникидзе: Сев.- Осет. кн. изд., 1956
7. Արդյունյան Բ. Выращивание телят и поросят с применением мацуна.- Кишинев; Изд. с.-х. лит., 14 с., 1962.
8. Белоусов Ф.Ф. Организация и экономика ветеринарного дела.-М.: 1982.
9. Դիլանյան Զ.Խ. Молочная промышленность, 2, 37-39, 1963.
10. Մերկուրյեա Ե. Կ. Բиометрия в селекции и генетике сельскохозяйственных животных. М.: -424 с., 1990.
11. Սեմենիչև Ա.Ի. Кисломолочные продукты при выращивании молодняка.- 2-е изд.- М.: Колос, 1983.

Поступила 04.IX.2003

Биолог. журн. Армении, 3-4 (57), 2005

УДК 58+615.3

ВЛИЯНИЕ УСЛОВИЙ МИНЕРАЛЬНОГО ПИТАНИЯ НА РОСТ И РАЗВИТИЕ ЦИАМОПСИСА - *CYAMOPSIS TETRAGONOLOBA* (L.) TAUBERT

К.Г. ДУМАНЯН, Е.А. МЕЛИКЯН, А.С. КАРАГЕЗЯН

ЕрГМУ им. М. Гераси, кафедра клинической фармакологии, фармакогнозии и ботаники, 375025

The influence of mineral regimen conditions on the growth and development of *Cyamopsis tetragonoloba* (L.) Taubert was studied. Several variants of mineral nutrition were tested and the optimal variant was confirmed. And the influence of mineral nutrition on the chemical compound of Guar seeds also was studied.

Циамопсис (гуар) - минеральное питание

Минеральное питание является одним из основных условий для нормального роста и развития растений, от которого зависит продуктивность целого растения. Скорость процессов обмена веществ растений в основном определяется содержанием минеральных элементов в корнеобитаемой среде в основном количеством азота, фосфора и калия [1, 3, 6].

Известно, что зернобобовые входят в симбиоз с клубеньковыми бактериями и удовлетворяют потребность в азоте за счет азота атмосферы. В этой связи некоторые ученые считают, что бобовым растениям минеральный азот не нужен благодаря симбиотической азотфиксации [2, 8]. Посыпанов [7] считает, что надо отказаться от симбиотического азота вообще и возделывать зернобобовые только на минеральном азоте. Некоторые авторы [4, 5] считают, что под зернобобовые культуры необходимо вносить небольшие дозы азота, чтобы в первые фазы развития клубеньки растений имели источник азотного питания.

Целью нашей работы было определение зависимости жизнедеятельности циамопсиса от удобрения и соотношения питательных элементов.

Материал и методика. Объектом изучения явилось интродуцированное в Армении растение *Cyamopsis tetragonoloba* (L.) Taubert, широко известное под названием гуар.

Для определения зависимости жизнедеятельности гуара от удобрения и соотношения питательных элементов почвы нами впервые на территории Института ботаники НАН РА проведены соответствующие исследования.

Опыты были заложены в десятилитровых вегетационных сосудах Кирсанова (содержащих 15кг почвы), куда добавляли азотные, фосфорные, калийные (в форме аммиачной селитры, суперфосфата и сульфата калия) удобрения по следующей схеме:

I вариант - контроль - почва без удобрения.

II вариант - азот в виде NH_4NO_3 , в дозе 0,1 г на 1 кг почвы (N_2 - 0,525 г действующего вещества),

фосфор в виде $\text{Ca}(\text{H}_2\text{PO}_4)_2$ в дозе 0,1 г на 1 кг почвы (P_2O_5 - 0,91 г действующего вещества),

калий в виде K_2SO_4 в дозе 0,05 г на 1 кг почвы (K_2O - 0,40 г действующего вещества).

III вариант - азот (0,2 г/кг) + фосфор (0,2 г/кг) + калий (0,1 г/кг).

IV вариант - азот (0,4 г/кг) + фосфор (0,4 г/кг) + калий (0,2 г/кг).

Посев проводили с 11 - 12 июня. Повторность опытов четырехкратная.

Опыты проводили на открытом воздухе. Посев проводили с 11 - 12 июня. Частота полива во всех вариантах - по утрам через каждые 2-3 дня. Повторность опытов четырехкратная. Продолжительность опытов 90 - 100 дней.

Результаты и обсуждение. Наблюдения показали, что почти во всех вариантах всходы (4-5 в каждом сосуде) появлялись одновременно.

Для определения оптимального варианта минерального питания во время вегетации проводили учет прорастания, а также некоторых показателей биопродуктивности гуара (табл. 1).

Таблица 1. Рост и развитие циамопсиса в зависимости от типа минерального питания

N	Варианты опыта	Появление всходов, сут	Цветение, сут	Плodoобразование, сут	Масса 100 семян, г	Масса всего растения, г
I	Контроль	7	39	44	3,6	48
II	$\text{N}_{0,1}\text{P}_{0,1}\text{K}_{0,05}$	7	38	43	4,0	55
III	$\text{N}_{0,2}\text{P}_{0,2}\text{K}_{0,1}$	6	34	37	4,5	69
IV	$\text{N}_{0,4}\text{P}_{0,4}\text{K}_{0,2}$	7	42	49	2,8	34

Внесение азотно - фосфорно - калийных удобрений в дозе соответственно 0,1; 0,1 и 0,05 г/кг почвы оказалось менее эффективным (отмечалась прибавка урожая на 14,6% по сравнению с контролем). Увеличение дозы минеральных удобрений до 0,2; 0,2 и 0,1 г/кг почвы обеспечивало максимальный рост и продуктивность гуара (прибавка урожая на 41%). В этом варианте констатировано образование большего количества бобов и вегетативной массы. Дальнейшее увеличение доз минеральных удобрений до 0,4; 0,4 и 0,2 г/кг почвы снизило урожай почти на 30% (по сравнению с контролем).

Нормальный рост и развитие гуара зависят от типа минерального питания. Из таблицы видно, что, начиная с появления всходов, темп развития растений резко меняется. Массовое цветение начинается с 34 сут, массовое плodoобразование - с 37 сут. В четвертом варианте, где доза минеральных удобрений увеличивалась до максимума, цветение начиналось с 42 сут, а плodoобразование - с 49 сут.

Полученные результаты показали, что наиболее оптимальным является третий вариант эксперимента, а именно добавление в почву азотного (0,2 г/кг), фосфорного (0,2 г/кг) и калийного (0,1 г/кг) удобрений. В этом варианте отмечается возрастание продуктивности гуара на 41% по сравнению с контролем.

Под действием минеральных удобрений одновременно происходят определенные биохимические изменения, приводящие к неодинаковому накоплению белков, жиров и полисахаридов (табл. 2).

Таблица 2. Влияние минерального питания на химический состав семян гуара, %

N	Варианты	Сырой белок	Сырой жир	Полисахариды
I	Контроль	25,4	7,2	35,6
II	$N_{0,1}P_{0,1}K_{0,05}$	25,9	7,5	36,3
III	$N_{0,2}P_{0,2}K_{0,1}$	27,3	7,9	37,5
IV	$N_{0,4}P_{0,4}K_{0,2}$	24,6	6,7	34,7

Результаты исследований показали, что содержание сырого белка в семенах гуара в зависимости от дозы минеральных удобрений меняется: во втором варианте увеличивается на 1,9%, в третьем - на 7,5%, а в четвертом уменьшается на 3,1% по сравнению с контролем. Содержание сырого жира соответственно во втором увеличивается - на 4,1%, в третьем - на 9,7%, а в четвертом - уменьшается на 6,9%. Содержание полисахаридов соответственно во втором варианте увеличивается на 1,9%, в третьем - на 5,3%, а в четвертом - уменьшается на 2,5% по сравнению с контролем. Оптимальным является третий вариант, где при внесении в почву минеральных удобрений $N_{0,2}P_{0,2}K_{0,1}$ увеличивается содержание сырых белков, жиров и полисахаридов.

Таким образом, анализируя вышеизложенные данные, можно сделать вывод, что с увеличением доз минеральных удобрений, увеличивается продуктивность гуара только до определенного предела. Дальнейшее повышение дозы удобрений вызывает снижение продуктивности растений, а также влияет на химический состав семян.

ЛИТЕРАТУРА

1. Андреева Е.Ф., Фадеева Т.А., Власова М.Г., и др. Физиол. растений, 18, вып. 4, 701-706, 1971.
2. Жуков М.С. Азотные удобрения под зернобобовые. Изд-во Зернобобовое хозяйство, 9, 69-72, 1972.
3. Зайцева М.Г., Воробьева Е.А., Сарсенбаев Б. Физиол. растений, 18, вып. 4, 760-766, 1971.
4. Зиганишин А.А. Азотные удобрения под зернобобовые. Изд-во Зернобобовое хозяйство, 9, 73-76, 1972.
5. Калиберда К.П., Губанов П.Е., Руденко В.И. Соя при орошении. М., 152 с., 1980.
6. Пащенко В.Н. Физиол. растений, 18, вып. 4, 695- 700, 1971.
7. Посьпанов Г.С. В кн. Технология производства зернобобовых культур. М., 216-225, 1977.
8. Слибко Ю.И. Автореф. канд. дисс., Владивосток, 1967.

Поступила 16.II.2005

Биолог. журн. Армении, 3-4 (57), 2005

УДК 58+615.3

ВЛИЯНИЕ ЧАСТОТЫ ПОЛИВА НА РОСТ И РАЗВИТИЕ ЦИАМОПСИСА *CYAMOPSIS TETRAGONOLOBA* (L.) TAUBERT

К.Г. ДУМАНЯН, Е.А. МЕЛИКЯН, А.С. КАРАГЕЗЯН

ЕрГМУ им. М. Гераци, кафедра клинической фармакологии, фармакогнозии и
ботаники, 375025

The influence of the frequency of watering on the growth and development of *Cyamopsis tetragonoloba* (L.) Taubert was studied. Several variants of water regimen were tested and the optimal variant was confirmed.

Циамопсис (гуар) - водный режим

В жизни растений вода выполняет незаменимую роль: участвует в восходящем и нисходящем токе, транспорте веществ, выполняет функции растворителя и биохимической среды, в которой совершаются процессы обмена веществ. Ее высокая удельная теплоемкость способствует стабилизации температуры растения, высокое поверхностное натяжение воды влияет на ход адсорбционных процессов, полярность обуславливает гидратацию и т.д. [3, 4].

Установлено, что изменение количества воды вызывает в клетках сдвиги физиологических процессов [1], действует на дыхание [8], фотосинтез, интенсивность транспирации [2], углеводный и азотный обмен [9].

Недостаток воды влечет за собой мелкоклеточность, а следовательно замедление роста. Мелкоклеточность наряду с другими морфофизиологическими признаками наблюдается у ксерофитов, обитающих в условиях устойчивого недостатка влаги [5].

Согласно исследованиям Кобозевой [6], глубокие изменения водного режима почвы сказываются на процессе роста и формирования урожая. Влажность почвы или частота полива прежде всего влияют на рост корней. В условиях обильного водоснабжения замедляется развитие корневой системы, тогда как надземные органы достигают максимальной мощности. В условиях водного дефицита почвы, наоборот, ослабляется рост надземных органов, а корневая система развивается очень энергично. В оптимальных условиях увлажнения интенсифицируется рост листьев, благодаря чему возрастает число закладываемых генеративных органов и повышается продуктивность растений.

Недостаточное увлажнение почвы угнетает рост растений на всех стадиях, особенно в период цветения [7], и вызывает резкое замедление

развития и созревания плодов [10].

В климатических условиях Армении влияние водного режима на рост и продуктивность гуара пока не исследовано. Цель нашей работы изучение влияния различных режимов полива посевов гуара на их рост и продуктивность.

Материал и методика. Объектом изучения явилось интродуцированное в Армении лекарственное растение циамопсис (*Cyatopsis tetragonoloba* (L.) Taubert), широко известное под названием гуар.

На участке лаборатории физиологии растений Института ботаники НАН РА были выделены по четыре делянки, каждая по 4м², разделенные изоляционной полосой.

После образования третьего настоящего листа растения были разделены на четыре варианта:

первый вариант - полив через день,

второй вариант - через каждые три дня,

третий вариант - через каждые пять - шесть дней,

четвертый вариант - через каждые восемь - десять дней (при температуре ночной + 20-22°, дневной + 33-35°). Продолжительность опыта 90-105 дней.

Результаты и обсуждение. Наблюдения показали (рис.), что растения первого варианта растут очень медленно, на поверхности почвы развивается корневая гниль, листья приобретают желтоватый оттенок, некоторые экземпляры погибают. Гуар не выносит затопления или сильного переувлажнения почвы. По нашим наблюдениям, частые поливы (через день) отрицательно сказываются на росте и развитии растений.

Растения второго варианта росли удовлетворительно, бутонизация, цветение и плодоношение наступали по сравнению с третьей группой медленнее, соцветия были более редкие, бобы средние, чиcло семян в бобах в среднем четыре - пять штук.

Растения третьего варианта росли хорошо, надземная часть была пышной, бутонизация, цветение, плодоношение наступали раньше, чем во второй группе, соцветия были более густые, бобы крупные, число семян в бобах в среднем по семь - восемь штук.

У растений четвертого варианта отмечен медленный рост по сравнению с третьим и вторым вариантами. При этом растения крепкие, суховатые, бутонизация, цветение, плодоношение запаздывшие, соцветия редкие, бобы маленькие, число семян в них не более 3-4-х штук.

Ценной биологической особенностью гуара является то, что его рост абсолютно не угнетается при высокой летней температуре (до 40-42°) и

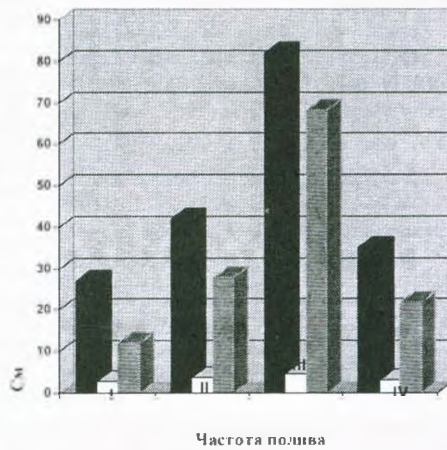


Рис. Влияние частоты полива на продуктивность циамопсиса.
 ■ - рост растения
 □ - масса 100 семян
 ■■ - масса всего растения

низкой относительной влажности воздуха, что указывает на его чрезвычайную жаро - и засухоустойчивость.

Таким образом можно заключить, что для получения высокого урожая гуара, оптимальным водным режимом является третий вариант, то-есть полив через каждые пять - шесть дней.

ЛИТЕРАТУРА

1. Алексеев А.М., Гусев Н.А. Влияние минерального питания на водный режим растений. М., Изд-во АН СССР, 224, 1957.
2. Алексеев А.М. Водный режим растений и влияние на него засухи. Казань, 353, 1948.
3. Гусев Н.А. Физиол. раст., 13, 4, 677-681, 1966.
4. Гусев Н.А., Каримова Ф.Г., Седых Н.Б. В кн: Водообмен раст. при неблагоприятных условиях среды. Кишинев, Штиинца, 13-19, 1975.
5. Журбин А.И. Ботаника с основами биологии. Изд-во Медицина, М., 152, 1968.
6. Кобозева Е.А. Уч. зап. ЛГПИ им. А.И. Герцена, 109, 52-57, 1955.
7. Лерман Р.И., Сказкин Ф.Д. Уч. зап. ЛГПИ им. А.И. Герцена, 109, 23-26, 1955.
8. Палладин В.И., Шелоумова А.М. Изв., РАН, сер. 6, 8, 70-76, 1918.
9. Петинов Н.С., Коршунова К.М. Физиол. раст., 4, 4, 365-371, 1957.
10. Щербаков Б.И. Физиол. раст., 8, 2, 196-208, 1961.

Поступила 16.II.2005

Ակնարկներ • Обзоры • Reviews

Биолог. журн. Армении, 3-4 (57), 2005

УДК 616.9(075)

**СИНДРОМ ПРИОБРЕТЕННОГО ИММУНОДЕФИЦИТА
(некоторые особенности развития и возможные пути блокирования
жизненного цикла ВИЧ)**

А.С. АГАБАЛЯН, Ал.М. КУШКЯН, С.Д. АДЖЯН

Ереванский государственный медицинский колледж «Эребуни», 375078

Проведен анализ литературных источников, посвященных вопросам развития, предупреждения и лечения ВИЧ-инфекции. Особое внимание уделено особенностям репродукции медленных ретровирусов: их транскрипции, трансляции и сборки. Охарактеризован геном ВИЧ, состоящий из 9 генов. Обсуждены возможные пути воздействия на ВИЧ с перечислением наиболее широко распространенных сегодня антиретровирусных препаратов.

Կատարված է գրականության աղբյուրների վերլուծությունը նվիրված ՄԻԱՎ ինֆեկցիայի զարգացման, կանխարգելման և բուժման հարցերին: Հատուկ ուշադրություն է դարձված ինունային ռետրովիրուսների ռեպրոդուկցիայի առանձնահատկություններին տրանսկրիպցիային, տրանսլյացիային և հավաքմանը: Բնութագրված է ՄԻԱՎ-ի գենոմը, որը բաղկացած է 9 գեներից: Քննարկվում է ՄԻԱՎ-ի վրա ազդյան հնարավոր ճանապարհները. Երկայացված են այսօր առավել լայն տարածված հակառակությունները:

The analysis of literature devoted to issues of development, prevention and treatment of HIV infection is presented. A special attention is paid to peculiarities of slow retrovirus reproduction, their transcription, translation and assembling. HIV genome comprises 9 genes is characterized. The possible ways of influencing on HIV with the enumeration of currently and widely-used antiretrovirus preparations are discussed.

ВИЧ-гены - иммунодефицит - интерферон - ДНК

Синдром приобретенного иммунодефицита (СПИД) – медленная вирусная инфекция человека, характеризующаяся избирательным поражением иммунокомpetентных клеток и клеток мозга, выражающаяся прогрессирующим дефектом иммунной системы и проявляющаяся упорной лихорадкой, лимфоаденопатией, деменцией, нарастающей слабостью, потерей массы тела и смертью в основном от оппортунистических инфекций.

Особую группу медленных инфекций составляют заболевания, обусловленные ретровирусами, генетическим материалом которых является РНК, встраивающаяся в геном инфицированной клетки в виде ДНК-провируса. Одним из представителей этой группы вирусов является ВИЧ-вирус иммунодефицита человека

Вирус, вызывающий СПИД, был открыт в 1983г. во Франции и

США двумя разными группами исследователей. В связи с тем, что названия, предложенные авторами (LAV и HTLV-III), также как и их объединенное обозначение «LAV/HTLV-III» не полностью отражают проявление инфекции, Таксономический комитет утвердил для данного вируса следующий термин «вирус иммунодефицита человека» **ВИЧ/HIV**.

В 1986 г. было объявлено об открытии нового вируса у двух больных СПИДом. По своему строению он не отличался от ВИЧ и также убивал Т-хелперы. Однако в сыворотках этих больных отсутствовали антитела к ВИЧ-1, а ДНК обоих вирусов не были идентичны. Этот вирус получил название HIV-2 (ВИЧ-2). Сравнительное изучение генов ВИЧ-1 и ВИЧ-2 показало, что в эволюционном плане ВИЧ-2 далеко отстоит от ВИЧ-1.

ВИЧ-представитель семейства ретровирусов, подсемейства лентивирусов. Зрелый вирион имеет диаметр ~ 100 нм. ВИЧ-1 представлен оболочкой, матричным слоем, оболочкой нуклеотида, геномной РНК. Наружная мембрана вируса состоит из оболочечных белков gp41 и gp120-гликопротеины с молекулярной массой 41 и 120 kD. Молекулы gp120 могут отрываться от вирусной частицы и с током крови поступать в ткани, что может иметь существенное значение в патогенезе ВИЧ-инфекции.

Геном ВИЧ состоит из 9 генов, которые представлены тремя структурными генами: *Gag*-group-specific-antigens, *Pol*-polymerase, *Env*-envelope. Кроме того, геном ВИЧ представлен также 6 регуляторными генами. Гены вируса иммунодефицита и кодируемые ими белки приведены в табл. 1.

Таблица 1. Гены вируса иммунодефицита человека

Гены	Функции	Кодируемые белки	
		ВИЧ-1	ВИЧ-2
1. Структурные			
<i>gag</i>	Белки ядерные	p13, p24, p35	p26
<i>pol</i>	Ферментные системы	p31/33, p34, p53, p64	p36, p6
<i>env</i>	Белки оболочечные	p41, gp120, gp160	gp40, gp105, gp140
2. Регуляторные			
<i>tat</i>	Позитивный регулятор	p13/14	p19
<i>rev</i>	Избирательный регулятор	p17/18	p15
<i>nef</i>	Негативный регулятор	p27	p27
<i>vif</i>	Фактор инфекционности	p23	p23

ВИЧ от остальных вирусов отличается исключительно высокой генетической изменчивостью, которая, по некоторым данным, почти в миллион раз выше, чем у вируса гриппа. Частота генетических ошибок при репликации ВИЧ составляет 10^4 – 10^5 ошибок/на ген/на цикл репликации, т.е. ни один ВИЧ, содержащий 10^4 нуклеотидов, не производит при репликации точной копии родительского вириона, что позволяет вирусу выжить в инфицированном организме.

Вместе с генетическими особенностями ВИЧ-1 имеет также фенотипические отличия. Показано, что по репликативной активности у ВИЧ-инфициро-

ванных выделяются две группы: *rapid/high*-высокоинфекционные, эффективно реплицирующие изоляты и *slow/low*-низкоинфекционные, слабо реплицирующие изоляты. По тропизму изоляты классифицируют лимфоцитотропные (разгар болезни) и макроцитотропные (начальные стадии болезни). Прогрессирование ВИЧ-инфекции связано с тропизмом вируса к Т-хелперам, способности индуцировать синцитий и высокой репликативной активностью [18].

Инфекционный процесс при заражении ВИЧ носит последовательный фазовый характер: проникновение вируса через слизистую оболочку половых путей или непосредственное поступление в кровоток, связывание вириона с поверхностью клетки, которое обеспечивается как специфическими рецепторами лимфоцитов (молекула CD4), так и неспецифическими компонентами, слияние мембранных клетки и вириона, проникновение внутрь клетки, высвобождение вирусной РНК, интеграция генома вируса в геном инфицированной клетки с помощью фермента интегразы, латентная фаза, фаза активации транскрипции с ДНК-провируса и последующая трансляция белков вируса, сборка и формирование дочерних вирионов, их высвобождение из клетки. Последнее сопровождается цитопатическим эффектом для клетки-мишени.

Процесс инфицирования клетки вирусом осуществляется в две фазы: прикрепления и слияния. Прикрепленный через gp120 к рецептору CD4 клетки-мишени вирус белком gp41 оболочки сливается с мембраной клетки. Белок вируса gp41 обеспечивает не только слияние вирусной оболочки с мембраной клетки, но также слияние мембран соседних инфицированных клеток с образованием синцития.

В цитоплазме клетки-мишени репликация ВИЧ осуществляется аналогично для репликации ретровирусов. Информация вирусной РНК переписывается на ДНК клетки с помощью ОТ с образованием промежуточной дсДНК, которая, перенесясь в ядро, циркулируется и в виде кольцевой ДНК интегрирует в геном клетки, превращаясь в ДНК-провирус. Отличительная особенность ВИЧ от других ретровирусов заключается в сохранении части ДНК в свободном неинтегрированном состоянии, функционирующей самостоятельно как репликон, обеспечивая нахождение ВИЧ в организме в двух вариантах.

Заканчивается морфогенез ЦПД вируса, характеризующийся прямой деструкцией и цитолизом инфицированной клетки, образованием синцития, хронической инфекцией без выраженного цитолиза, патогенными эффектами некоторых белков ВИЧ. Динамика жизненного цикла ВИЧ отражена в табл. 2.

Исследованиями установлено, что обусловленные ВИЧ-1 и ВИЧ-2 заболевания являются самостоятельными инфекциями, вследствие различий в особенностях возбудителей, клинике и эпидемиологии. Изучение структуры ВИЧ-2 показало, что при определенном сходстве с ВИЧ-1 он отличается от последнего как по антигенной структуре, так и по последовательности оснований в нуклеиновых кислотах. Выявлено, что белок ВИЧ-2 более близок по своим свойствам антигенной структуре и составу

генетического материала к вирусу иммунодефицита обезьян, чем к ВИЧ-1. Принципиальными отличиями между двумя вирусами являются: наличие у ВИЧ-1 гена ури, отсутствующего у ВИЧ-2, и, наоборот, наличие в ВИЧ-2 гена урх, не выявленного у ВИЧ-1 [8]. Имеются небольшие различия и в молекулярной массе белков этих вирусов. Так, наружный гликопротеин ВИЧ-1 имеет молекулярную массу 120 kD, а у ВИЧ-2 она равна 140 kD. Белки, кодируемые геном gag, у ВИЧ-1 имеют молекулярную массу 24 и 17 kD, и 26 и 15 kD у ВИЧ-2. Различаются также молекулярные массы трансмембранных белков у ВИЧ-1 и ВИЧ-2, составляющие 36 и 41 kD соответственно. Более того, сыворотки крови основной массы людей, инфицированных ВИЧ-2, не реагируют с оболочечными антигенами ВИЧ-1. В то же время оба вируса инфицируют те же популяции клеток, связываются с теми же CD4-рецепторами [10].

Таблица 2. Клеточная и вирусная динамика ВИЧ

Жизненный цикл инфицированной клетки	22 дня
Полная ВИЧ-1 продукция	10,3 x 10 вирионов в день
Минимальная продолжительность жизненного цикла ВИЧ-1 <i>in vitro</i>	2,6 дня
Длительность жизни вируса в плазме	0,3 дня
Внутриклеточная фаза	0,9 дней
Среднее время для продукции ВИЧ-1 новой генерации	2,6 дня

В организме человека ВИЧ поражает клетки, имеющие на поверхности рецептор СД-4: лимфоциты, моноциты, макрофаги, промиелоциты, мегакариоциты, дендритические клетки лимфоузлов, глиальные клетки мозга, астроциты, эндотелий капилляров мозга, олигодендроциты, энтерохромофинные клетки кишечника.

При СПИДе формирование состояния иммунодефицита происходит в результате заражения ВИЧ Т-хелперов. Вирус вызывает слияние клеточных мембран и образование синцития или симпластов, в состав которых вовлекаются интактные клетки. Таким путем вирус распространяется, вызывая гибель зараженных клеток, что в свою очередь приводит к развитию лимфопении и выраженному снижению числа Т-хелперов, приводя к 2-3 -кратному снижению отношения Т-хелперов к Т-супрессорам [9]. Выключение или резкое ослабление Т-хелперов приводит к выраженному ингибированию как цитотоксической функции Т-клеток, так и к подавлению активности Т-супрессоров. Наступает расстройство антителообразующей функции В-лимфоцитов, которые при СПИДе в течение долгого времени секретируют большое количество неспецифических иммуноглобулинов, иными словами развивается гипергаммаглобулинемия.

При СПИДе происходит нарушение синтеза и секреции интерлейкина-2, что обуславливает снижение скорости роста клонов зрелых Т-лимфоцитов. В свою очередь снижение синтеза интерлейкина-2 и γ-интерферона приводит к уменьшению активности естественных киллеров и макрофагов.

Как отмечалось выше, ВИЧ способен, помимо CD4, заражать также клетки другого происхождения. Так, резервуаром вируса служат макрофаги, тромбоциты, мегакариоциты, нейроны, микроглия, астроциты, И-лимфоциты и др.

Репродукция ВИЧ в эндотелиоцитах кровеносных и лимфатических сосудов, эпителиальных клетках кожи объясняет патогенетические особенности СПИДа. Одним из важнейших патогенетических механизмов СПИДа является вирусспецифическое повреждение ткани мозга. Показано, что ВИЧ не только проникает в мозг, но и поражает его клетки. ВИЧ обнаружен в гигантских многоядерных клетках мозга, образованных из макрофагов, а вирусспецифические белки — астроцитах и нейронах, что говорит о выраженной для ВИЧ нейротропности. Кроме того, было обнаружено, что ВИЧ, выделенный из ткани мозга, легче заражает и репродуцируется в тканях мозга, чем Т-клетки [3, 12].

По всей вероятности, повреждающее действие ВИЧ на клетки обусловлено не столько репродукцией самого вируса, сколько связано с поверхностными структурами вирионов. Установлено, что инактивированный УФ-лучами ВИЧ индуцирует в Т4-лимфоцитах цитопатический эффект и гибель клеток, аналогичные таковым при заражении культуры Т4-лимфоцитов живым ВИЧ [6, 7].

Еще одной особенностью патогенеза СПИД является возможное участие других вирусов в реализации патологического процесса в организме, зараженном ВИЧ. Такое представление основывается на способности ВИЧ формировать и поддерживать в организме человека бессимптомную инфекцию, опасную для окружающих. Предполагается, что такие вирусы, как вирус Эпштейн-Барр, цитомегаловирус, вирусы папова, микоплазмы и другие могут иметь важное значение в патогенезе СПИДа [15, 16].

Ключевым вопросом в патогенезе ВИЧ-инфекции является механизм иммунного повреждения. Образование иммунодефицита при ВИЧ-инфекции не ограничивается только поражением лимфоцитов с CD4-фенотипом. Так, известно, что нарушение синтеза белков HLA I ведет к подавлению функции лимфоцитов с CD8-фенотипом, а белок вируса p15 оказывает супрессивное действие на продукцию Т-клетками ИЛ-2 и γ -интерферона, а как известно, для дифференцировки Т-эффекторов из Т-предшественников необходимы ИЛ-2, γ -интерферон и ИЛ-6. С продукцией же ИЛ-2 и других цитокинов связана функция цитотоксических Т-лимфоцитов, ответственных за противовирусную и противоопухолевую защиту организма. Наряду с поражением иммунной системы, в патологический процесс вовлекается и кроветворная ткань. Для заболевания характерны лейкопения, анемия, тромбоцитопения, наблюдается подавление функциональной активности гранулоцитов. Все сказанное однозначно говорит о том, что поражение иммунной системы при ВИЧ-инфекции носит системный характер.

Клинически нарушение иммунного статуса проявляется инфекционным аллергическим, аутоиммунным и лимфопролиферативным синдромами иммунологической недостаточности, в основном определяющих клинику

ВИЧ-инфекции.

На фоне проведенных эпидемиологических, вирусологических, иммунологических, биохимических, молекулярно-биологических и клинических исследований предложен ряд путей возможного воздействия на вирус:

- блокирование рецепторов, которыми ВИЧ прикрепляется к клетке,
- блокирование СД-4 рецепторов клетки,
- создание СД-4 иммитаторов для блокировки «шипов» ВИЧ,
- подавление активности фермента обратной транскриптазы (ОТ),
- подавление сборки вируса,
- создание эффективной профилактической ВИЧ-вакцины.

Лечение СПИДа направлено как на клинические проявления заболевания, так и на восстановление иммунитета, что может быть достигнуто назначением антиретровирусной терапии, рациональной последовательностью применения препаратов, сохранением резервных схем лечения [17, 19, 20]. Сегодня с учетом жизненного цикла ВИЧ созданы препараты, ингибирующие активность обратной транскриптазы и протеазы. Среди активных антиретровирусных препаратов в основном используются аналоги нуклеозидов, которые, встраиваясь во вновь синтезируемые РНК или ДНК, подавляют дальнейший синтез нукleinовой кислоты вируса.

Наиболее достоверный клинический эффект к настоящему моменту был получен при попытке блокировать один из этапов жизненного цикла ВИЧ, а именно процесс сборки ДНК-провируса при помощи ОТ. Впервые эффективность такого подхода была показана при использовании так называемых «аналогов нуклеотидов». Как оказалось, включение в нуклеотидную цепь ВИЧ нуклеотида с измененной структурой приводит к ингибированию синтеза ДНК [13, 19].

Другая группа ингибиторов ОТ представлена ингибиторами ненуклеотидной природы, которые, в отличие от нуклеотидов, не встраиваются в нить ДНК, а связываются с ОТ и блокируют её. Следующий способ влияния на жизненный цикл ВИЧ – воздействие на процесс интеграции вирусной ДНК в геном пораженных клеток при участии вирусного фермента-интегразы.

Предполагается, что на уровне сборки новой частицы ВИЧ, как и в случае других вирусов, на него могут эффективно воздействовать интерфероны (ИФН), подавляя синтез вирусспецифических белков. Сегодня имеются данные об определенном клиническом эффекте ИФН и их индукторов при лечении больных ВИЧ. Отмечается некоторая эффективность реаферона, циклоферона и др. [2, 3, 4, 11]. В настоящее время в клинической практике применяют три основных класса антивирусных препаратов [1, 8, 9].

нуклеозидные аналоги ОТ ВИЧ: АЗТ (азидотимидин, тимазид, ретровир, зидовудин), никавир (фосфозид), Д4Т (ставудин, зерит), ABC (абакавир, зиаген), ADV (адефовир, превеон), ddL (диданозин, видекс), ddC

(зальцитибин, хивид), ЗТС (ламивудин, эпивир);

- **нуклеозидные ингибиторы ОТ ВИЧ:** NVP (невирапин, вирамун), DLV (делавердин, рескриптор), EFV (эфавирен, сустива, стокрин);

- **ингибиторы протеазы ВИЧ:** саквинавир в твердой желатиновой оболочке (sgv, инвираза), саквинавир в мягкой желатиновой оболочке (фортаваза), JDK (индинавир, криксиван), RTV (ритонавир, норвир), NFV (нейльфинавир, вирасепт), 141W94 (ампренавир, агенераза).

Особый интерес представляют препараты, обладающие как противовирусной активностью, так и способностью стимулировать иммунную систему пораженных. К числу таких препаратов относятся ацикловир, интерлейкин-2, α -интерферон и др. [1, 5, 8].

Большое в место борьбе с ВИЧ-инфекцией занимает разработка и создание эффективной профилактической вакцины против инфекции. Во многих лабораториях мира проходят испытания потенциальных терапевтических вакцин против ВИЧ, созданных на основе олигопептидов, гомологичных различным участкам вирусных белков, рекомбинантных белков ВИЧ, ДНК-вакцин и др. [14, 15, 18]. Кроме того, возможно создание «региональных терапевтических вакцин, созданных на основе штаммов, циркулирующих на данной территории. Широко обсуждается целесообразность использования схем, включающих ненуклеозидный ингибитор ОТ в качестве стартового терапевтического режима. Создание эффективной профилактической вакцины против ВИЧ-инфекции – кардинальная задача современных медико-биологических исследований. Генетическая изменчивость ВИЧ-1 реализуется в вариабельности антигенных свойств изолятов, зависящих от белка-предшественника оболочки (gp120), который определяет тропность вируса к клеткам, проникновение вируса внутрь клеток и характер патологического процесса.

В заключение нужно сказать, что, несмотря на значительные успехи в изучении ВИЧ-инфекции, многое еще, особенно в аспекте профилактики и лечения, остается неясным и для своего разрешения требует усилия исследователей различных медико-биологических специальностей и больших материальных затрат.

ЛИТЕРАТУРА

1. Агабалян А.С. Глобус науки, 2, 63-66, 2002.
2. Агабалян А.С. Биолог. журн. Армении, 55, 3-4, 248-252, 2003.
3. Агабалян А.С., Захарян Р.А., Акопян Ж.И. и др. “Междунар.симпозиум “Мозг и иммунная система”, Ереван, 2, 1997.
4. Агабалян А.С., Казарян А.В., Карагезян К.Г. Вопр.теорет.и клин.медицины, 2, 3-5, 1999.
5. Белозёров Е.С., Машкевич В.С., Шортанбаев А.А. Клиническая иммунология и аллергология, “Кайнар”, Алматы, 406, 1992.
6. Бобкова М.Р., Бобков А.Ф., Буравцова Е.В. и др. Вопр.вирусол., 3, 220-224, 1993.
7. Бобков А.Ф., Покровский В.В. Эпидемиол. и инфекц. болезни, 6, 53-54, 2001.
8. Змущко Е.И., Белозеров Е.С.“ВИЧ-инфекция”, “Питер”, Санкт-Петербург, 320,

- 2000.
9. Змушко Е.И., Белозёров Е.С., Митин Ю.А. Клиническая иммунология, «Питер», Санкт-Петербург, 575, 2001.
 10. Ирова Т.И., Резников Ю.П., Покровский В.В. и др. Тер. Архив, 7, 14-16, 1988.
 11. Исаков В.А. Циклоферон: применение в терапии хламидиоза и герпетической инфекции, СПб, 40, 1997.
 12. Калинина Н.М., Рахманова А.Г. Актуальные вопросы ВИЧ-инфекции, СПб., 7-11, 1997.
 13. Кравченко А.В. Эпидемиол.и инфекц. болезни, 1, 59-62, 2001.
 14. Кравченко А.В., Саламов Г.П., Богославская Е.В. и др. Эпидемиол.и инфекц. болезни, 4, 32-35, 2001.
 15. Лысенко А.Я., Лавдовская М.В. СПИД-ассоциируемые инфекции и инвазии, М., 327, 1992.
 16. Лысенко А.Я., Турьянов М.Х., Лавдовская М.В. и др. ВИЧ-инфекция и СПИД-ассоциируемые заболевания, М., 624, 1996.
 17. Покровский В.И., Ермак Т.Н., Беляев В.В. и др. ВИЧ-инфекция: клиника, диагностика и лечение, М., 215, 2000.
 18. Picchio G., Gulizia R., Wehrly K. et al. J.of virology. 72, 2002-2009, 1998.
 19. Qingsheng L., Gerard K., Schacer T. et al. J. Virology, 1997, 71, 7080-7082
 20. Pavlakis G. AIDS, Philadelphia-New-York. 746, 115-118, 1997.

Поступила 16.V.2005

Биолог. журн. Армении, 3-4 (57), 2005

УДК 630.56

ՂՐԻՄՅԱՆ ՍՈճՈՒ ՍՈՂԵԼԱՅԻՆ ԾԱՌԵՐԻ ԲՆԻ ԱԲՍԱՆ ԸՆԹԱՑՔԻ ՎԵՐԼՈՒԾՈՒԹՅՈՒՆԸ ՀԱՅԱՍՏԱՆԻ ՀՅՈՒՄԻՍ-ԱՐԵՎԵԼՅԱՆ ԳՈՏՈՒՄ

Ա.Վ. ԳԵՎՈՐԳՅԱՆ

Բուսաբանության ինստիտուտ, 375063, Երևան

Ուսումնասիրվել է ղրիմյան սոճու (*Pinus pallasiana*) մոդելային ծառերի բնի աճման ընթացքը Հայաստանի հյուսիս-արևելյան գոտու տարրեր աճման պայմաններում: Ներկայացված են սոճու ծառերի ըստ բարձրության և տրամագծի աճման անտառգնահատման ցուցանիշներ տարրեր ժամանակահատվածներում, բացահայտելով սոճիների զարգացման որոշակի առանձնահատկություններ ուսումնասիրվող տարածաշրջանում:

Изучен рост стволовой древесины модельных деревьев крымской сосны в северо-восточной зоне Армении в разных условиях произрастания. Представлены лесотаксационные показатели роста сосновых деревьев по высоте и по диаметру в разные периоды времени, выявлены некоторые особенности развития сосны в исследуемом районе.

The growth rate of pine (*Pinus pallasiana*) model tree stemwood has been studied in the north-eastern region of Armenia. Forest measurement data are presented for pine trees based on height and diameter growth for different time periods, finding out certain development particularities of pine trees in the research area.

Ղրիմյան սոճի - աճման ընթացք

Եներգետիկ ճգնաժամով սկզբնավորված և հաջորդող ժամանակահատվածի ընթացքում մեծ չափերի է հասել անտառային պաշարների վրա առկա ճնշումները, տեղիք տալով զանգվածային ծառահատումների և անտառածածկ տարածքների անկմանը: Երկրում հրատապ խնդիր է դարձել վերջին տարիներին համատարած և մասնակի հատված անտառտարածքների վերականգնումը և անտառապատումը: Անտառային պաշարների վերարտադրության ապահովման ուղղությամբ աշխատանքների ճիշտ պլանավորումը և հետագա իրականացումը պահանջում է գիտական լուրջ հիմնավորում: Վերջինս պետք է արտացոլի անտառվերականգնման և անտառապատման աշխատանքների նպատակով առավել նպատակահարմար տեսակները և անտառային տնտեսության վարման գերակա ուղղությունները: Ներկայիս անցումային տնտեսության պայմաններում առավել չափով կարևորվում է հիմնադրվելիք անտառմշակույթների տնտեսական արդյունավետությունը, որը կարող է արտահայտվել ոչ միայն հնարավոր բնափայտի ստացմանք, այլ նաև բնապահպանական ասպեկտներով պայմանավորված այլ տնտեսական օգուտներով՝ մասնավորապես ածխածնի կլաննան շնորհիվ: Անտառների

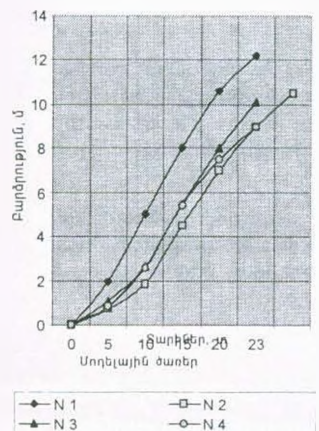
կենսաբանական արտադրողականության բացահայտման ուղղությամբ Դայաստանում դեռևս բավարար չափով աշխատանքներ չեն տարվել, որոնք թույլ կտային ճշգրիտ կանխատեսումներ կատարել այս կամ այն ծառութի կենսազանգվածի փոփոխության դինամիկայի վերաբերյալ: Մոդելային սոճու *R. pallasiana* ծառերի բնի աճման ընթացքի վերլուծությունը նպատակ ունի պարզեցնելու ծառի զարգացման դինամիկան սկսած հիմնադրման տարեթվից:

Նյութ և մեթոդ: Բնի աճման ընթացքի վերլուծություն ասելով հասկացվում է հատուկ ուսումնասիրությունների մի այնպիսի գործընթաց, որը հնարավորություն է տալիս ամբողջական պատկերացում կազմելու բոլոր տարսացին ցուցանիշների ժամանակի մեջ տեղ գտած փոփոխությունները: Ուսումնաբորնան նպատակով Լալվարի և Զիլիզայի անտառատնտեսությունների տարածում 2004 թվին հատվել են տարերե սոճու անտառնշակույթներում տիպիկ մոդելային ծառեր, որոնց հատման ընտրությունը և հետագա բնի աճման ընթացքի վերլուծությունը տարվել է գործող մեթոդով գիտական պահանջների համաձայն [1, 2, 3]:

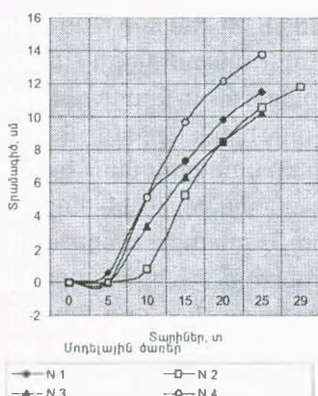
Արդյունքներ և քննարկում: Սոճու անտառնշակույթների մոդելային ծառերի բնի աճման ընթացքի վերլուծությունը հնարավորություն է տվել հստակ պատկերացում կազմել անտառգնահատման հիմնական ցուցանիշների

վերաբերյալ: Վերջինիս բացահայտումը կարևոր նշանակություն ունի նաև ծառութների զարգացման վերաբերյալ ճշշտ պատկերացում կազմելու համամբ:

Մոդելային N 1 ծառը հատվել է Զիլիզային անտառատնտեսության, նոճկանի անտառպետության տարածքում փորձահրապարակ N 1-ում: Ծառութի տարիքը 23 տարեկան է, կազմը 10 սոճի (Ս), անտառային տիպը բնութագրող խոտածածկը սեզախոտային, տեղադրությունը և ռելիեֆը արևմտյան 15° , ծովի մակարդակից ունեցած բարձրությունը 1300 մ, ծառատեսակը դրիմյան սոճի (*Rinus pallasiana*), կրծքի բարձրության տրամագիծը 13.0սմ, ծառի բարձրությունը 12.20 մ, հողային տիպը դարչնագույն անտառային: Ծառի սաղարթի պրոյեկցիան ունի հյուսիս-հարավ ուղղությամբ 2.8 մ, իսկ արևելք-արևմուտք 3.9 մ ծգվածություն:



Նկ. 1. Մոդելային ծառերի ըստ բարձրության աճման կորագծեր:



Նկ. 2. Մոդելային ծառերի ըստ տրամագիծի (d 1.3) աճման կորագծեր:

Մոդելային N 2 ծառը հատվել է Զիլիզային անտառատնտեսության, նոճկանի անտառպետության տարածքում փորձահրապարակ N 2-ում: Ծառութի տարիքը 29 տարեկան է, կազմը 10 Ս, անտառային տիպը բնութագրող խոտածածկը հացախոտային, տեղադրությունը և ռելիեֆը սարահարթ, ծովի մակարդակից բարձրությունը 1250 մ, կրծքի բարձրության տրամագիծը 13.7սմ, ծառի բարձրությունը 10.51 մ, հողատիպը դարչնագույն անտառային: Ծառի սաղարթի

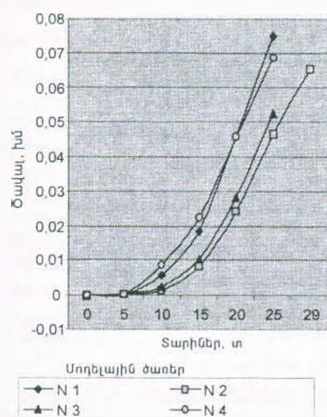
**Աղյուսակ 1. Մոդելային ծառերի աճման ընթացքի ցուցանիշները ըստ
բարձրության և տրամագծի**

Մոդելային ծառ, N	Տարիքը	Աճման ընթացքը ըստ բարձրության, մ		Աճման ընթացքը ըստ տրամագծի, սն	
		Բարձրությունը, մ	Ընթացիկ աճը (պարբերական)	Տրամագիծը մ 1,3 առանց կեղևի	Ընթացիկ աճը
N1	5	2,0	0,40	0,6	0,12
	10	5,0	0,60	5,1	0,90
	15	8,0	0,60	7,3	0,44
	20	10,6	0,52	9,8	0,50
	23	12,2	0,53	11,5	0,57
	23 կեղևով	12,2		13,0	
N2	5	0,71	0,14	0	0,00
	10	1,86	0,23	0,8	0,16
	15	4,50	0,53	5,3	0,90
	20	7,00	0,50	8,5	0,64
	25	9,00	0,40	10,6	0,42
	29	10,51	0,38	11,8	0,30
	29 կեղևով	10,51		13,7	
N3	5	1,08	0,22	0	
	10	2,65	0,31	3,4	0,68
	15	5,50	0,57	6,4	0,60
	20	8,00	0,50	8,5	0,42
	25	10,09	0,42	10,2	0,34
	25 կեղևով	10,09		12,2	
N4	5	0,83	0,17	0	
	10	2,58	0,35	5,1	0,92
	15	5,40	0,56	9,7	0,50
	20	7,50	0,42	12,2	0,32
	23	8,99	0,50	13,8	0,90
	23 կեղևով	8,99		16,5	

պրոյեկցիան ունի հյուսիս-հարավ ուղղությամբ 1.70 մ, իսկ արևելք-արևմուտք ուղղությամբ 2.70 մ ձգվածություն:

Մոդելային N 3 ծառը հատվել է Ֆիլիզային անտառունտեսության, ճոճկանի անտառ-պետության տարածքում փորձահրապարակ N 3-ում: Ծառութիւն տարիքը 25 տարեկան է, կազմը 10 ս, անտառային տիպը բնութագրող խոտածածկը հացախոտային, տեղադրությունը և ռելիեֆը հարավ-արևելյան 15°, ծովի մակարդակից ունեցած բարձրությունը 1230 մ, ծառատեսակը դրիմյան սոճի (*Pinus pallasiana*), կրծքի բարձրության տրամագիծը 12.1սմ, ծառի բարձրությունը 10.09 մ, հողատիպը դարչնագույն անտառային: Ծառի սաղարթի պրոյեկցիան ունի հյուսիս-հարավ ուղղությամբ 3.40 մ, իսկ արևելք-արևմուտք ուղղությամբ 2.60 մ ձգվածություն:

Մոդելային N 4 ծառը հատվել է Լալվարի անտառունտեսության, Շամլուդի անտառ-պետության տարածքում փորձահրապարակ N 4-ում: Ծառութիւն տարիքը 23 տարեկան է, կազմը 10 ս, անտառային տիպը գետնաստղային, տեղադրությունը և ռելիեֆը հարավարևմտյան 13°, ծովի մակարդակից ունեցած բարձրությունը 1700 մ, ծառատեսակը դրիմյան սոճի (*P. pallasiana*), կրծքի



Ակ. 3. Սոդելային ծառերի
ծավալային աճերի կորագծեր:

Թասխան արտադրողականություն:

ԳՐԱԿԱՆՈՒԹՅՈՒՆ

1. Анучин Н.П. Лесная таксация, Изд. "Лесная Промышленность", М., 512 с, 1977.
 2. Вагин А.В., Мурахтанов Е.С., Ушаков А.И. Харин О.А. Практикум по лесной таксации и лесоустройству, Изд. "Лесная Промышленность", М., 184, 1979.
 3. Колосова А.Е., Мурахтанов Е.С. Лесная таксация, Изд. ВЗЛТИ, Л., 291, 1960.

Поступила 09.IX.2005

Lրառու • Хроника • Chronics

Биолог. журн. Армении, 3-4 (57), 2005

Памяти Ашота Агасиевича Чарчогляна



Биологическая наука Армении понесла тяжелую утрату: 28-го сентября 2005 г. скончался директор Института ботаники НАН РА, заведующий отделом растительных ресурсов, академик Российской Академии естественных наук и Международной академии по проблемам национальной безопасности, кандидат биологических наук - Ашот Агасиевич Чарчоглян.

Родился Ашот Агасиевич 23 июня 1950 г. в городе Ереване в семье служащих. После окончания средней школы в 1967 году поступил в Ереванский государственный университет и в 1972 г. успешно окончил биологический факультет с рекомендацией в аспирантуру при Институте ботаники НАН РА. Учебу в аспирантуре проходил в Ереване при отделе систематики и географии высших растений названного института и в Санкт-Петербурге (Ленинграде).

Диссертационная тема - "Сравнительный анализ результатов иммунохимических, диск - электрофоретического и анатомо-карлогического методов исследований в целях систематики цветковых растений (на примере подтриб *Centaureinae*, семейства *Asteraceae*" выполнялась под руководством академика Академии наук СССР Армена Леоновича Тахтаджяна. Успешная защита на соискание ученой степени кандидата биологических наук состоялась в 1978 г. в Ереване.

Навыки в изучении анатомии растений им были приобретены еще в студенческие годы под руководством профессора А.П. Меликяна. Со своими маститыми научными руководителями он был в самых тесных дружеских отношениях, чему способствовали его семейное воспитание и образованность.

В 1981 г. он поступил без отрыва от производства в Институт народного хозяйства г. Еревана и в 1985 г. окончил его, получив вторую специальность - экономиста. Свою трудовую деятельность Ашот Агасиевич Чарчоглян начал в Ереване в 1976 году в Институте экспериментальной биологии, где работал в качестве научного сотрудника до 1978 года. Впоследствии А.А. Чарчоглян руководил различными научно-производственными учреждениями: с 1978 по 1981 гг. был директором Национального парка "Севан", с 1984 по 1987 гг. - заместителем директора Института ботаники, с 1987 по 1993 гг. - Генеральным директором Научно-производственного объединения "Парен" Министерства хлебопродуктов. С 1993 года и до последнего дня жизни Ашот Агасиевич руководил Институтом ботаники НАН РА. А.А. Чарчоглян в любой работе проявлял себя как

высококвалифицированный, широкообразованный, эрудированный, скрупулезный, требовательный к себе и к сотрудникам. Он был чутким руководителем всего коллектива.

Научная деятельность А.А.Чарчогляна была посвящена изучению растительных ресурсов Армении. Основным направлением являлось выявление новых перспективных сырьевых ресурсов флоры Армении - лекарственных и витаминоносных, пищевых, пряно-вкусовых и пряно-ароматических, а также полезных растений.

Его многолетние исследования обобщены в 65 научных статьях и монографиях. В 2004 году совместно с М.С. Мусаелян издан: "Латинско-русско-армянско-английско-немецко-французский словарь названий ядовитых растений".

Под руководством А. Чарчогляна подготовлен ряд ценных работ, которые находятся в процессе издания.

Организаторские способности А.А. Чарчогляна особенно проявились в последние десятилетия, когда в тяжелые годы энергетического кризиса Армении он сумел организовать работу Института ботаники и сохранить уникальную коллекцию растений Ереванского, Севанского и Ванадзорского ботанических садов.

В этот же период Ашот Агасиевич приложил огромные усилия для сохранения кадрового и научного персонала института. Он активно помогал коллегам сотрудничать с международными научными и природоохранными организациями, выполняя различные программы по грантам, участвовал во многих научных конгрессах, международных съездах и выставках.

Ашот Чарчоглян являлся членом и экспертом различных республиканских и международных научных советов и комиссий. Научная эрудиция, приверженность к искусству в широком диапазоне, прекрасное знание английского языка дополняли его общее обаяние и способствовали успешному достижению поставленных целей.

Память об энергичном опытном научном организаторе, хорошем друге и большом патриоте навсегда останется в сердцах коллектива и всех тех, кто когда-либо сотрудничал с Ашотом Агасиевичем Чарчогляном.

Аветисян В.Е., Мусаелян М.С.

ԲՈՎԱՆԴԱԿՈՒԹՅՈՒՆ

Օրիգինալ հոդվածներ

Գրիգորյան Դ.Ա., Ջամբարծումյան Ա.Ա., Մկրտչյան Մ.Վ., Թոփուզյան Վ.Օ., Ջալեյյան Դ.Պ. α,β-դեհիդրոամինաթթուների ամինաթիլ էսթերները որպես խոլինէսթերազների դարձելի նոր արգելակիշներ 3
Արծորունի Գ.Գ., Բատիկյան Թ.Բ., Թաղումոյան Յ.Վ. Թաղանքային ֆուֆատիդիլսոլիների վերացիւցումը արտաքին էլեկտրաստատիկ դաշտի ազդեցությունից հետո 8
Ավետիսյան Դ.Ա., Մարտոսյան Մ.Բ., Շովիաննիսյան Վ.Ա., Էլբակյան Ե.Գ. Նոր սերնդի ներկանյութերի ազդեցությունը <i>Drosophila melanogaster</i> վրա 13
Քոչարյան Ն.Ի., Բարսեղյան Ա.Ա., Զիրոյան Ա.Ն., Սատինյան Ի.Գ. Արարատյան հարրավայրի հալիֆիտների ֆիզիոլոգիական առանձնահատկությունները 18
Գաբրիելյան Լ.Ա., Զավորչյան Զ.Ս. Բարձր ջերմաստիճանների և ուլտրամանուշակագույն ճառագայթների ազդեցությունը միկրոջրիմունների ֆոտոսինթետիկ ապարատի կառուցվածքի և ֆունկցիայի վրա 27
Դավթյան Վ.Ա., Ջարուբրունյան Ո.Յ., Առուստամյան Ա.Վ. Ծառային ինտրոդուցենտների արդյունավետության կախվածությունը նյութափոխանակությունից և հորմոնայ հաշվեկշռից Հայաստանի տարբեր անտառաբուսական գոտիներում 33
Մելիքյան Կ.Ա. Շիկակարմիր տառեխի <i>Ardea purpurea</i> L., 1766 էկոլոգիան Արարատյան հարրավայրի Արմաշի ծկնաբուժական տնտեսության պայմաններում 37
Միրզոյան Վ.Ս. Տարագույզ մետաքսագործի նյութափոխանակության և ֆիզիոլոգիական վիճակի առանձնահատկությունները կերաբույսի փոփոխության դեպքում 48
Միրումյան Լ.Ս. Գալամլակները Հայաստանի լանդշաֆտում տեսակային կազմը, տարածվածությունը և տնտեսական նշանակությունը 56
Զախարյան Ա.Ա. Պորլիմին կենսասինթեզի ֆերմենտների ակտիվության կարգավորումը իշխանի <i>Praesalmo mikiss</i> տարբեր օրգաններում 61
Ստեփանյան Ա.Ա., Մանուկյան Կ.Դ., Լևոնյան Կ.Լ., Ղազարյան Տ.Ի., Կիրակոսյան Լ.Գ. Արմետի գլխուղեղի արտոնության սահմանակուցային և լիպիդային կուպոննենտների առանձնահատկությունները 66
Ստեփանյան Ա.Յու. Համակարգչային լաբիրինթային խնդրի կատարման ուղեային ապահովման առանձնահատկությունները ձախիկների և աջիկների մոտ 72
Մարգարյան Ա.Ս. Առնետների լարողի փորձարարական ցիոռը և հակաօքսիդանտային գործոնների կարգավորիչ ազդեցությունը ԱՏՖ ֆուֆոիդոլազի ակտիվության վրա 77
Անտոնյան Լ.Գ. Գոգիմյան Վ.Բ., Գևորգյան Ս.Ս. Բարձրակարգ ուտելի սննդի աճեցման համար արտադրական թափունների օգտագործման վերաբերյալ 82
Անտոնյան Լ.Գ. Մեթանային խմորման օգտագործումը խմորող արդյունաբերության բափոնների վերամշակման համար 88
Կարայան Ա.Ա. Մարդու հերպես վիրուս և ինֆեկցիան և տուբերկուլոզային մննինգունցեֆալիտի առաջացումը 93
Դակորյան Լ.Դ. Բույսերի եպիֆիտ միկրոֆլորայից և կաթնամթերեններից ֆագակայուն կարնաթթվային բակտերիաների ստացումը 100
Վարդանյան Ն.Ս. <i>Leptospirillum</i> sp. ցեղին պատկանող ֆակուլտատիվ ավտոտրոֆ բակտերիա Հայաստանի սուլֆիդային հանքավայրերից 107
Համառոտ հաղորդումներ
Սիմոնյան Ո.Կ. Արագած լեռան տարբեր բարձրություններում աճող որոշ բարձրլեռնային բրուսերի մոխրային տարբերի պարունակության փոփոխության մասին 113
Նիկոլոսյան Վ.Գ. <i>Azotobacter vinelandii</i> առվույտի ոլգոպահանում 116

Կարապետյան Ս.Ա., Թամրազյան Ա.Դ., Պետրոսյան Լ.Ա., Ղավթյան Ս.Ա. <i>Paramecium multimicronucleatum</i> ինֆուզորիաների միտոքոնդրյալ գյուտամինազայի հզունակինմերի կարգավորումը	119
Աղաջամյան Ա.Խ., Զախարյան Ա.Ա., Աղաջամյան Ա.Ա., Արտիհրոսյան Ս.Ս. Պրոլինի կենսասինթեզի ֆերմենտների առանձնահատկությունները իշխան ծկան տարբեր օրգաններում	123
Թաղյուսյան Յ.Յ. Ծանր մետաղների աղերի կարծաժամկետ ազդեցությունը քլորելայի պիզմենտների վրա	127
Միրզոյան Վ.Ս., Աճեմյան Լ.Յ., Ստեփանյան Ա.Ա. Սատչ ինսեկտիցիդի մնացորդային քանակների որոշման մեթոդ	130
Ավետիսյան Կ.Կ. Ինսեկտիցիդի ակտարայի միկրոքանակների որոշման նրբաշերտ քրոմատոգրաֆիայի մեթոդ	133
Մեհրաբյան Ա.Չ., Աղաջամյան Ժ.Գ. «ՀԱՄ» ՍՊԸ ի բնական չորանոցների տեխնիկական ցուցանիշների ճշգրտում	135
Գիտության պատմություն	
Ալեքսանյան Յու.Թ. Դայաստանում մոլեկուլային կենսաբանության կազմավորման և զարգացման պատմության վերաբերյալ	138
Բանավեճ	
Վարդանյան Ի.Յ. Իմունային համակարգը որպես կարգավորող ինտերֆեյս արտաքին միջավայրի հետ և արհեստական ինտելեկտի հիմնահարցը	147

Լրատու

Եվոհիկ Գեղամի Աֆրիկյան	161
------------------------------	-----

Биолог. журн. Армении, 1-2 (57), 2005

СОДЕРЖАНИЕ

Оригинальные статьи

Григорян А.А., Амбарцумян А.А., Мкртчян М.В., Топузян В.Օ., Алебян Г.П. Новые обратимые ингибиторы холинэстераз на основе аминоэтиловых эфиров α - β -дегидроаминокислот	3
Арцруни Г.Г., Батикян Т.Б., Тадевосян Ю.В. Реацилирование мембранных фосфатидилхолинов после действия внешнего электростатического поля	8
Аветисян А.А., Матевосян М.Б., Оганесян В.А., Элбакян Е.Г. Фотодинамическое действие красителей нового поколения	13
Кочарян Н.И., Барсегян А.М., Зироян А.Н., Матинян И.Г. Физиологические особенности галофитов Арагатской равнины	18
Габриелян Л.С., Джаворшян Дж.М. Воздействие высоких температур и ультрафиолетового излучения на структуру и функции фотосинтетического аппарата микроводорослей	27
Давтян В.А., Арутюнян Р.Г., Арутсамян А.В. О зависимости продуктивности древесных интродукентов от обмена веществ и гормонального баланса в различных лесорастительных зонах Армении	33
Меликян К.А. Экология рыжей цапли <i>Ardea purpurea</i> L., 1766 - в условиях армашского рыболовного хозяйства Арагатской равнины	37
Мирзоян В.С. Особенности обмена веществ и физиологическое состояние непарного шелкопряда при смене кормовой породы	48

<i>Миругян Л.С. Галлицы (Diptera, Cecidomyiidae) в ландшафте Армении: видовой состав, распространение и хозяйственное значение</i>	56
<i>Захарян А.А. Регуляция активности ферментов биосинтеза пролина в различных органах форели (<i>Parasalmo mikiss</i>)</i>	61
<i>Степанян А.А., Манукян К.Г., Левонян К.Л., Казарян Т.И., Киракосян Л.Г. К характеристике белковых и липидных компонентов протеолипидов головного мозга крысы</i>	66
<i>Степанян А.Ю. Особенности мозгового обеспечения выполнения компьютерной лабиринтной задачи у левшей и правшей</i>	72
<i>Маргарян А.С. Экспериментальный цирроз печени крыс и регулирующее действие антиоксидантных факторов в активности АТФ-fosfогидролаз</i>	77
<i>Антонян Л.Г., Гогинян В.Б., Геворкян С.А. Об использовании отходов производств для выращивания высших съедобных грибов</i>	82
<i>Антонян Л.Г. Использование метанового брожения для переработки отходов бродильного производства</i>	88
<i>Каралаян М.А. Роль вируса простого герпеса человека в развитии туберкулезного менингоэнцефалита</i>	93
<i>Акопян Л.Г. Получение фагоустойчивых молочнокислых бактерий из эпифитной микрофлоры растений и кисломолочных продуктов</i>	100
<i>Варданян Н.С. Факультативно автотрофные <i>Leptospirillum sp.</i> бактерии из сульфидных месторождений Армении</i>	107

Краткие сообщения

<i>Симонян Р.К. Об изменении содержания зольных элементов у некоторых высокогорных растений на разных высотах произрастания горы Арагац</i>	113
<i>Никогосян В.Г. <i>Azotobacter vinelandii</i> в ризоплане люцерны</i>	116
<i>Карапетян С.А., Тамразян А.А., Петросян Л.А., Давтян М.А. Регуляция изоферментов митохондриальной глутаминазы аэробных инфузорий <i>Paramecium multimicronucleatum</i></i>	119
<i>Агаджанян А.Х., Захарян А.А., Агаджанян А.А., Мартиросян М.С. Особенности ферментов биосинтеза пролина в различных органах форели <i>Parasalmo mikis</i></i>	123
<i>Тадевосян А.Г. Кратковременное действие солей тяжелых металлов на пигменты хлореллы</i>	127
<i>Мирзоян В.С., Аджемян Л.А., Степанян А.С. Метод определения остаточных количеств инсектицида матча</i>	130
<i>Аветисян К.В. Тонкослойно-хроматографический метод определения микроколичеств инсектицида актары</i>	133
<i>Меграбян А.Ч., Агаджанян Ж.Г. Уточнение технических показателей природных сушилок ООО "Гам"</i>	135

История науки

<i>Алексанян Ю.Т. К истории становления и развития молекулярной биологии в Армении</i>	138
--	-----

Дискуссии

<i>Варданян И.А. Иммунная система как управляющий интерфейс с окружающей средой и проблема искусственного интеллекта</i>	147
--	-----

Хроника

<i>Эврик Гегамович Африкан</i>	161
--------------------------------------	-----

CONTENTS

Original articles

<i>Grigoryan H.A., Hambardzumyan A.A., Mkrtchyan M.V., Topuzyan V.O., Halebian G.P.</i>	
New reversible inhibitors of cholinesterases on basis of aminoethylesters of α,β -dehydroaminoacids	3
<i>Artsruni G.G., Batikyan T.B., Tadevosyan Yu.V.</i> Reacylation of membrane phosphatidylcholines after the influence of electrostatic field	8
<i>Avetisyan A.A., Matevosyan M., Hovhannisyan V., Elbakyan E.</i> The influence of new generation dyes to <i>Drosophila melanogaster</i>	13
<i>Kocharyan N.I., Baghramyan A.M., Ziroyan A.N., Matinyan I.G.</i> Physiological peculiarities of halophytes of the Ararat plain	18
<i>Gabrielyan L.S., Javrshyan J.M.</i> Effects of high temperatures and ultraviolet light on structure and functions of microalgae photosynthetic apparatus	27
<i>Davtyan V.A., Harutunyan R.H., Arustamyan A.V.</i> On depending of the introduced trees productivity from the metabolism and hormonal balance in the different forest vegetable zones of Armenia	33
<i>Melikyan K.A.</i> The ecology of purple heron <i>Ardea purpurea</i> L., 1766 in the conditions of Armash's fish-farm on the Ararat level	37
<i>Mirzoyan V.S.</i> Metabolism peculiarities and physiological state of gypsy moth	48
<i>Mirumyan L.S.</i> Gall mides (<i>Diptera, Cecidomyiidae</i>) in landscape of Armenia: specific composition distribution and economical importance	56
<i>Zakharyan A.A.</i> Regulation of the activity of the proline biosynthesis in the different organs of Ichkhian	61
<i>Stepanian H.A., Manukian K.H., Levonian K.L., Kazarian T.I., Kirakosian L.G.</i> Specific features of protein and lipid moieties of proteolipids from rat brain	66
<i>Stepanyan A.Yu.</i> Features of brain mechanisms of the maze-model task solving in right- and left-handed examinees	72
<i>Margaryan A.S.</i> Experimental liver cirrhosis of rats and coppeling action of antioxidant factors in the activity of ATP-phosphohydrolases	77
<i>Antonyan L.G., Goginyan V.B., Gevorgyan S.A.</i> On the use of industrial by-products for cultivation of edible mushrooms	82
<i>Antonyan L.G.</i> On the use of methane fermentation for treatment of by-products of fermentation industry	88
<i>Karalyan M.A.</i> The infection of human herpes virus and tuberculos meningoencephalitis development	93
<i>Hakobyan L.G.</i> Obtention of phagostable lactic and bacteria from epiphytic microflora of plants and acido-lactic products	100
<i>Vardanyan N.S.</i> Facultatively autotroph <i>Leptospirillum</i> sp. bacteria from sulfide ores of Armenia	107

Short communications

<i>Simonyan R.K.</i> On the change of ash elements content of some highmountainous plants growing on different height of mountain Aragats	113
<i>Nikoghosyan V.G.</i> <i>Azotobacter vinelandii</i> in the rhizoplan of the lucerne	116
<i>Karapetyan S.A., Tamrazyan A.H., Petrosyan L.A., Davtyan M.A.</i> Regulation of <i>Paramecium multimicronucleatum</i> mitochondrial glutaminase isoenzymes	119
<i>Aghajanyan A.Kh., Zakharyan A.A., Aghajanyan A.A., Martirosyan M.S.</i> The peculiarities of enzymes of proline biosynthesis in different organs of Ichkhian	123

Tadevosyan H.H. Short-term effect of heavy metals salts on pigments of <i>Chlorella</i>	127
Mirzoyan V.S., Ajemyan L.A., Stepanyan A.S. Method for residue analytical determination of Match	130
Avetisian K.V. Thin layer chromatographic method for analytical Determination of the residues of Actara insecticide	133
Mehrabyan A.Ch., Agajanyan Zh.G. Refinement of technical indices of natural dryers of "HAM" Ltd.	135

History of science

Aleksanyan Yu.T. To the history of establishment and development of molecular biology in Armenia	138
--	-----

Discussion

Vardanyan I.H. Immune system as controlling interface with environment and the problem of artificial intelligence	147
---	-----

Reviews

Evrik G. Afrikian	161
-------------------------	-----

Հայաստանի կենսաբան. հանդես, 3-4 (57), 2005

ԲՈԿԱՆՊԱԿՈՒԹՅՈՒՆ

Օրիգինալ հոդվածներ

Ղարագյուղան Գ.Գ., Սարգսյան Ա.Ա., Դովսեփյան Լ.Մ., Միմոնյան Ա.Ա., Միմոնյան Լ.Ա., Բատիկյան Ի.Շ., Բաղդասարյան Ռ.Բ. Եակաօքսիդանտային գործոնների պահպանիչ ազդեցությունը ֆոսֆոլիպինների որակական և քանակական կազմի վրա առնենքների սարդում ցիոնզի դեպքում	165
---	-----

Ալեքսանյան Ա.Ս., Միմոնյան Գ.Ա., Միմոնյան Ռ.Ս., Մտեփանյան Ա.Ա., Ալեքսանյան Ս.Ս., Միմոնյան Ս.Ս. Արյան հակա-և պրոօքսիդանտային ստատուսի փոփոխությունը շաքարախտից բարդացած խրոնիկական գլուխությունների դեպքում	170
---	-----

Ներսեսյան Լ.Ս., Ղազարյան Ա.Գ., Մելիքսեթյան Գ.Օ., Մկրտչյան Զ.Ս., Մկրտչյան Ս.Ս., Ղազարյան Ա.Ս., Ղազարյան Ռ.Ս. Կրեատինկինազա ԲԲ-իզոֆերմենտը որպես արդյունաբերական բույս ուկրինոլով առաջացած քրոնիկ ինտոկսիկացիայի բիոթիմիական ցուցանիշ	176
---	-----

Պեպանյան Ա.Ա., Ղազարյան Պ.Ա. ՎԱՍ-195-ի ազդեցությունը գլիկոլիզի վերջնային արգասիկների քանակության վրա ինիդզացնող ճառագայթման ժամանակ	181
---	-----

Սահակյան Ռ.Խ. Կարդիոմիոցիտների ֆոսֆոլիպինների որակական և քանակական տեղաշարժերը ինիդզացնող ճառագայթման ժամանակ և ՎԱՍ-167 միացության օգտագործումից հետո	185
---	-----

Երվանդյան Ս.Գ. Ներիշ Ա.Ա., Ղարությունյան Ռ.Ս. Rosaceae Juss. ընտանիքի բուսերի միկրոզանեստոֆիտային փոփոխականության վերլուծությունը տեխնածին ծանրաբենվածության պայմաններում	189
---	-----

Պողոսյան Վ.Ա., Աղաջանյան Է.Ա., Աթոյան Ա.Լ., Վարժապետյան Ա.Ա., Ղարությունյան Ռ.Ս. Միմավիրի մարդի արտեզյան ջերի կաստոգենությունը Trad-MCN և Allium cepa -ի կիրառմամբ	195
--	-----

Զարարյան Ա.Ե., Սեֆերյան Թ.Ե. Քիմլումինեսցենտային անալիզը որպես տարբեր ջերի մաքրության որոշման մերու	199
---	-----

Հովհաննիսյան Յ. Յ. Ծրջանառու կարմիր արյան ցուցանիշների ռեակցիան աղմուկի և մատուտակի արմատների համակցված ազդեցության պայմաններում	203
Հակոբյան Դ. Է. Ֆուֆովզիցերատ մուտագի և էնոլազի փոխագրեցության և թունելային անցման համակարգչային մոդելավորում	208
Աղաջանյան Ա. Խ., Կարապետյան Գ. Մ., Աղաջանյան Ա. Ա., Մարտիրոսյան Մ. Մ., Միսակյան Գ. Բ., Մարկոսյան Ռ. Ռ. Ռենտգենյան ճառագայթների ազդեցությունը պրոլինի փոխանակության ֆերմենտների ակտիվության վրա լորու ընդակերի բթեցներում <i>Acanthoscelides obtectus</i> Say	215
Աղաջանյան Ա. Խ., Շուրարյան Ս. Վ., Թումանյան Լ. Ի., Աղաջանյան Ա. Ա., Նիկոյան Ա. Ա., Մարտիրոսյան Մ. Մ., Անանյան Լ. Գ. Արզինինի և որոշ շաքարիչեցնող միացությունների ազդեցությունը <i>Candida guilliermondii</i> ՄՊ-4 շաքարասնկերի կենսագագածի կուտակման վրա	220
Սահակյան Դ. Յ. Գյուտանատ դեհիդրոգենազի գենի բազմապատկման ազդեցությունը <i>Corynebacterium glutamicum</i> C-25 շտամի՝ սերինի գերարտադրության վրա	225
Սորայյան Մ. Մ. <i>Tetrahymena</i> և <i>Paramecium</i> -ի միտոխոնորիալ գենունների էքստրեմայ կողոնի տեղաշարժի տարերությունները	232
Բադայյան Կ. Լ. Մարմարիկ գետի ֆիտոպլանկտոնյային համակեցության տարեկան դինամիկան	243
Հովհաննիսյան Ռ. Լ. Մարաքայան հարթավայրի լճակային տնտեսություններում դիպլոստոմներով ծկների վարակվածության սեզոնային դինամիկան	248
Գրիգորյան Յ. Զ. Ծածանային ծկների հայերեն անվանումների վերլուծությունը և ճշգրտումը	254
Սոլեվանյան Լ. Գ., Դամբարյան Լ. Ռ., Հովհաննիսյան Ռ. Յ. Հրազդան գետի Երևանյան հատվածի ֆիտոպլանկտոնյային համակեցության դինամիկան	259
Գևորգյան Ա. Վ. Ղրիմյան սոճու մոդելային ծառերի բնի աճնան ընթացքի վերլուծությունը Հայաստանի հյուսիս-արևելյան գոտում	263
Գևորգյան Ա. Վ. Ղրիմյան սոճու մոդելային ծառերի բնի աճնան ընթացքի վերլուծությունը Հայաստանի հյուսիս-արևելյան գոտում	267
Համառոտ հաղորդումներ	
Վարդանյան Զ. Դ., Վարդանյան Ք. Դ., Դավթյան Մ. Մ. Քիմիական մուտագենեզի ժամանակ լրու սերմերում գլոբուլինների պարունակության փոփոխությունը	271
Համբարձումյան Գ. Ռ. Տնտեսական արյունավանտության որոշումը հորթերին լակտոբակտերին-6 կանսապատրաստուկով կերակրելիս	275
Դումանյան Կ. Դ. Մելիքյան Ե. Ա., Դարայովյան Ա. Ա. Ջանքային սննդառության պայմանների ազդեցությունը ցիամոնպսիսի <i>Cyamopsis tetragonoloba</i> (L.) Taubert աճի և զարգացման վրա	279
Դումանյան Կ. Դ., Մելիքյան Ե. Ա., Դարայովյան Ա. Ա. Ջրման հաճախականության ազդեցությունը ցիամոնպսիսի - <i>Cyamopsis tetragonoloba</i> (L.) Taubert աճի և զարգացման վրա	282
Ակնարկներ	
Աղաբայան Ա. Ա., Քուչիկյան Ալ. Ա., Դաշյան Ա. Զ. Ձեռքբերովի իմունային ամբավարության համախտանիշ (ՄիԱՎ-ի զարգացման օրոշ յուրահատկությունները և կենսական ցիկլի կանխարգելման հնարավոր ուղիները)	285
Հրատու	
Աշոտ Աղասու Զարչօղյանի հիշատակին	293

СОДЕРЖАНИЕ

Оригинальные статьи

Карагезян К.Г., Маргарян А.С., Овсепян Л.М., Симонян А.А., Симонян Л.А., Батикян И.Г., Бадалян Р.Б. Протекторное действие антиоксидантных факторов на качественно-количественный состав фосфолипидов в печени белых крыс при циррозе	165
Алексанян А.С., Симонян Г.М., Симонян Р.М., Степанян А.А., Алексанян С.С., Симонян М.А. Изменение анти- и прооксидантного статуса крови при хроническом гломерулонефрите, осложненном сахарным диабетом	170
Нерсесова Л.С., Газарянц М.Г., Меликсян Г.О., Мкртчян З.С., Мкртчян С.А., Казарян А.С., Акопян Ж.И. ВВ-изофермент креатинкиназы - биохимический маркер хронической интоксикации, вызванной промышленным ядом укринол	176
Пеланян А.А., Казарян П.А. Состояние конечного этапа гликополиза при лучевой патологии и после применения производного пиразолона ВАС-195	181
Саакян Р.Х. Количественные и качественные перестройки фосфолипидов кардиомиоцитов при ионизирующем облучении и после применения соединения ВАС-167	185
Ервандян С.Г., Небиш А.А., Арутюнян Р.М. Анализ микрогаметофитной изменчивости растений семейства Rosaceae Juss. в условиях техногенной нагрузки	189
Погосян В.С., Агаджанян Э.А., Атоянц А.Л., Варжапетян А.С., Арутюнян Р.М. Кластогенность артезианских вод Армавирского марза с применением тестов Trad-MCN и Allium сера	195
Закарян А.Е., Сеферян Т.Е. Хемиллюминесцентный анализ как метод определения чистоты вод из различных источников	199
Оганисян А.О. Реакция показателей красной периферической крови в условиях комбинированного влияния шума и корней солодки	203
Акопян Д.Э. Взаимодействие фосфоглицерат мутазы и енолазы и выявление эффекта туннелирования при помощи компьютерной симуляции	208
Агаджанян А.Х., Карапетян А.М., Агаджанян А.А., Мартиросян М.С., Мисакян Г.С., Маркосян Р.Р. Влияние рентгеновского облучения на активность ферментов метаболизма пропилена у фасоловой зерновки <i>Acanthoscelides obtectus</i> Say	215
Агаджанян А.Х., Чубарян С.В., Туманян Л.Р., Агаджанян А.А., Никоян А.А., Мартиросян М.С., Ананян Л.Г. Влияние аргинина и некоторых сахаропоникающих соединений на накопление биомассы дрожжей <i>Candida guilliermondii</i> НП-4	220
Саакян О.Ю. Влияние амплификации гена глутамат дегидрогеназы на сверхпродукцию серина у штамма <i>Corynebacterium glutamicum</i> C-25	225
Морадян М.М. Различия в смещении экстремального кодона митохондриальных геномов <i>Tetrahymena</i> и <i>Paramecium</i>	232
Бадалян К.Л. Годовая динамика сообщества фитопланктона р. Мармариқ	243
Оганесян Р.Л. Сезонная динамика инвазированности рыб прудовых хозяйств Араратской равнины диплостомами	248
Григорян А.Дж. Анализ и уточнение армянских наименований карпообразных рыб	254
Степанян Л.Г., Гамбaryan L.R., Oganessian R.O. Динамика фитопланктонного сообщества в Ереванской части реки Раздан	259
Геворгян А.В. Оценка биомассы модельных деревьев крымской сосны в северо-восточной части Армении	263
Геворгян А.В. Изучение хода роста стволовой древесины модельных деревьев крымской сосны в северо-восточной части Армении	267

Краткие сообщения

Варданян Дж.А., Варданян К.А., Давтян М.А. Изменение содержания глобулинов в семенах фасоли при химическом мутагенезе	271
Амбарцумян Г.Р. Определение экономической эффективности при кормлении телят биопрепаратором лактобактерин-6	275
Думанян К.Г., Меликян Е.А., Карагезян А.С. Влияние условий минерального питания на рост и развитие циамопсиса - <i>Cyatopsis tetragonoloba</i> (L.) Taubert	279
Думанян К.Г., Меликян Е.А., Карагезян А.С. Влияние частоты полива на рост и развитие циамопсиса <i>Cyatopsis tetragonoloba</i> (L.) Taubert	282

Обзоры

Агабалян А.С., Кушлян Ал. М., Аджян С.Д. Синдром приобретенного иммунодефицита (некоторые особенности развития и возможные пути блокирования жизненного цикла ВИЧ)	285
--	-----

Хроника

Памяти Ашота Агасиевича Чарчогляна	293
--	-----

Biolog. J. Armenia, 3-4 (57), 2005

CONTENTS

Original articles

Karageuzyan K.G., Margaryan A.S., Hovsepyan L.M., Simonyan A.A., Simonyan L.A., Batikyan I.H., Badalyan R.B. Protective action of antioxidant factors on qualitative and quantitative composition of phospholipids in rats liver with cirrhosis	165
Alexanyan A.S., Simonyan G.M., Simonyan R.M., Stepanyan A.A., Alexanyan S.S., Simonyan M.A. Changes of antioxidant and prooxidant blood status at chronic glomerulonephritis complicated with diabetes	170
Nersesova L.S., Gazaryants M.G., Meliksetyan G.O., Mkrtchyan Z.S., Mkrtchyan S.A., Kazaryan A.S., Akopian J.I. Creatine kinase BB-isoenzyme as a biochemical marker of chronic intoxication impacted by ukrinol, an industrial toxin	176
Pepanyan A.A., Kazaryan P.A. Effect of VAS-195 on concentration of glycolysis terminal products at ionizing irradiation	181
Sahakyan R.Kh. Quantified and qualified movements of phospholipids of cardiomiocytes at ionizing irradiation and after VAS-167 usage	185
Yervandyan S.G., Nebish A.A., Arutyunyan R.M. Analysis microgametophyte variability of plants of family Rosaceae Juss. in technogen loading conditions	189
Pogosyan V.S., Agadjanyan E.A., Atoyants A.L., Varjapetyan A.S., Arutyunyan R.M. Clastogene of artesian waters of Armavir area with application of Trad-MCN and <i>Allium cepa</i> tests	195
Zakharyan A.E., Seferyan T.Ye. Chemiluminescence analysis as a method for determination of purity level of waters from different sources	199
Hovhannisyan H.H. The reaction of circulating red blood indicators in the condition of combined influence of noise and roots of <i>Glicirrhiza glabra</i> L.	203
Hakobyan D.E. Computer simulation of interaction of phosphoglycerate mutase and enolase and detection of channelling	208
Aghajanyan A.Kh., Karapetyan H.M., Aghajanyan A.A., Martirosyan M.S., Misakyan G.S., Markosyan R.R. The influence of X-rays on activity of the enzymes of proline metabolitical processes of haricot beetles <i>Acanthoscelides obtectus</i> Say	215

Aghajanyan A.Kh., Chubaryan S.B., Tumanyan L.R., Aghajanyan A.A., Mikoyan A.A., Martirosyan M.S., Ananyan L.G. The influence of arginine and some of sugar-falling preparations on accumulation of yeast <i>Candida guilliermondii</i> NP-4 biomass	220
Sahakyan H.Y. The influence of amplification of glutamate dehydrogenase gene on serine superproduction with <i>Corynebacterium glutamicum</i> strain C-25	225
<input checked="" type="checkbox"/> Moradian M.M. Extreme Codon Bias Differences in Mitochondrial Genomes of <i>Tetrahymena</i> and <i>Paramecium</i>	232
Badalyan K.L. The annual dynamics of phytoplankton community in the Marmarik river	243
Hovhannisyan R.L. Seasonal dynamics of fish invasion with diplostomas in pond farms of Ararat Valley	248
Grigoryan H.G. The analysis and precision of the Armenian translation versions of <i>Cypriniformes</i> fish	254
Stepanyan L.G., Hambaryan L.R., Hovhannisyan R.O. Phytoplankton community dynamics in the river Hrazdan in Yerevan area	259
Gevorgyan A.V. Assessment of pine (<i>P. pallasiana</i>) model tree biomass in the north-eastern region of Armenia	263
Gevorgyan A.V. The study of pine (<i>P. pallasiana</i>) model tree stem wood growth in the north-eastern region of Armenia	267

Short communications

Vardanyan J.H., Bardanyan K.H., Davtyan M.A. The globulin content change in haricot seeds during chemical mutagens	271
Hambardzumayn G.R. Determination cost efficiency of calf's feeding by biological laktobakterin-6	275
Dumanyan K.H. Melikyan E.A., Karagezyan A.S. The influence of mineral regimen conditions on the growth and development of <i>Cyamopsis tetragonoloba</i> (L.) Taubert	280
Dumanyan K.H., Melikyan E.A., Karagezyan A.S. The influence of the frequency of watering on the growth and development of <i>Cyamopsis tetragonoloba</i> (L.) Taubert	282

Reviews

Agabalian A.S., Kushkian Al.M., Hajian S.G. Acquired immune deficiency syndrome (Some peculiarities of development and possible ways of blocking life cycle of HIV)	285
---	-----

Chronics

The memory of Ashot A. Charchoghlyan	293
--	-----